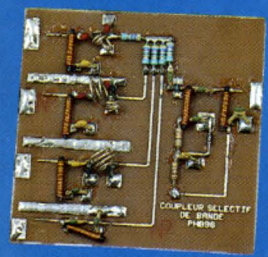




**MILLIWATTMETRE
HF**

**COMMUTATEUR
DE TETES
SATELLITE
22 kHz**



**LIAISON RS232
HF HALF
DUPLEX**

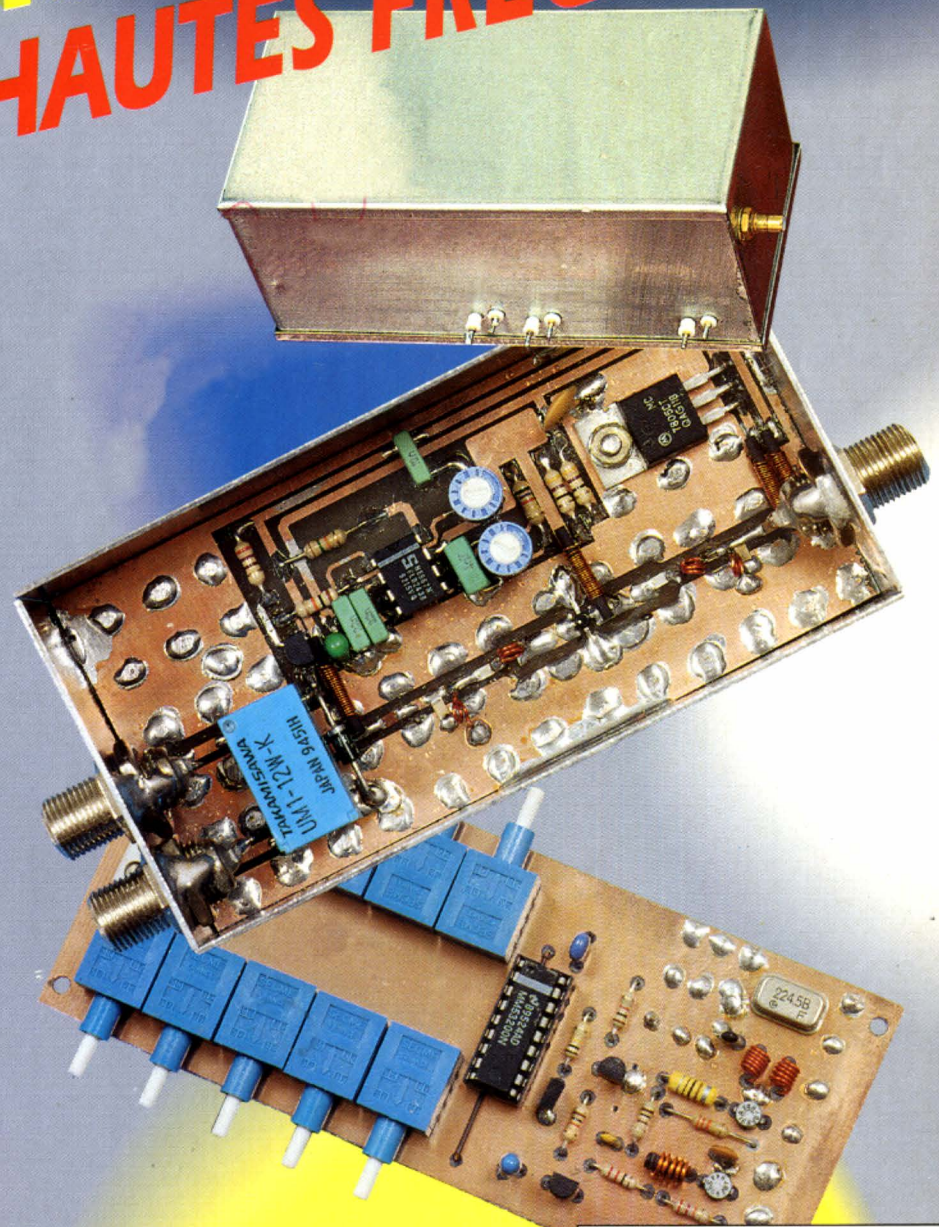
**AMPLIFICATEUR
DE DISTRIBUTION
TV**

**AMPLIFICATEUR
DE LIGNE
SATELLITE**

**PROGRAMMATEUR
DE PIC**



SPECIAL MONTAGES HAUTES FREQUENCES



T 2437 - 205 - 25,00 F



La famille **WAVETEK** s'agrandit

Avec les **Nouveaux** Multimètres de la série XL...

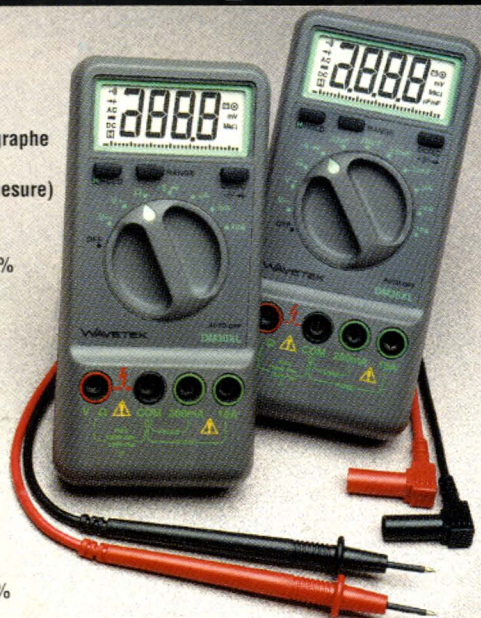
Les Automatiques

DM30XL

- Sélection automatique et verrouillage de calibre
- Affichage numérique et bargraphe
- Affichage 3200 points
- Data Hold (maintien de la mesure)
- V, Ω , A
- Extinction automatique
- Excellente précision de 0,5%

DM35XL

- Sélection automatique et verrouillage de calibre
- Affichage numérique et bargraphe
- Affichage 3200 points
- Data Hold (maintien de la mesure)
- V, Ω , A et capacité
- Extinction automatique
- Excellente précision de 0,5%



Le plus complet

DM16XL

- Multimètre numérique testeur de composants. Fonction test logique
- Plus de fonctions: V, Ω , A, capacité, fréquence, logique, transistors
- Data Hold (maintien de la mesure)



...et le testeur de composants

MODELES	DM5XL	DM10XL	DM15XL	DM16XL	DM30XL	DM35XL
Affichage/Résolution	1999 pts	1999 pts	1999 pts	1999 pts	3200 pts+bargraphe	3200 pts+bargraphe
Précision de base	0.8%	0.7%	0.5%	0.8%	0.5%	0.5%
Tension cc Calibres / entrée max	5/1000V	5/1000V	5/1000V	5/600V	5/600V	5/600V
Tension ca Calibres / entrée max	2/500V	2/750V	5/750V	5/600V	4/600V	4/600V
Courant cc Calibres / entrée max	4/200mA	5/10A	5/10A	3/10A	5/10A	5/10A
Courant ca Calibres / entrée max	—	—	5/10A	3/10A	5/10A	5/10A
Résistance Calibres / entrée max	5/2M Ω	6/20M Ω	7/2000M Ω	6/20M Ω	6/30M Ω	6/30M Ω
Capacité Calibres / entrée max				5/20 μ F		4/32mF
Compteur de fréquence				jusqu'à 15MHz		
Transistor H _{FE}				■		
Test logique			■	■		
Test de diode	■	■	■	■	■	■
Bip de continuité	■	■	■	■	■	■
Testeur de Sécurité [®]		■				
Alarme, branchem. incorrect	■	■	■	■	■	■
Extinction automatique					■	■
Data Hold (maintien mesure)				■	■	■
Prix TTC	406 F	466 F	544 F	788 F	803 F	923 F

CR50

- Capacimètre et Ohmmètre multicalibre (C + R)
- Double ajustage du zéro (potentiomètres)
- Calibre résistances faibles (20 Ω)
- Cordons haute qualité avec pinces crocodile



Prix TTC 816 F

Coordonnées des «Partenaires Distributeurs» de la gamme Bi-Wavetek

ECELI	17, rue du Petit-Change - BP 183 - 28004 Chartres	Tél. 37 21 45 97	Fax. 37 36 01 65
CPF	3, av. Marcelin-Berthelot - 38100 Grenoble	Tél. 76 85 34 63	Fax. 76 85 34 64
TOUT POUR LA RADIO	66, cours Lafayette - 69003 Lyon	Tél. 78 60 26 23	Fax. 78 71 78 87
1000 VOLTS	8-10, rue de Rambouillet - 75012 Paris	Tél. 46 28 28 55	Fax. 46 28 02 03
CIBOTRONIC	16-20, av. du Général Michel-Bizot - 75012 Paris	Tél. 44 74 83 83	Fax. 44 74 98 55
TERAL	24 bis, rue Traversière - 75012 Paris	Tél. 43 07 87 74	Fax. 43 07 60 32

ELECTRONIQUE
PRATIQUEN° 205 JUILLET/AOÛT 1996
I.S.S.N. : 0243 4911

PUBLICATIONS GEORGES VENTILLARD

S.A. au capital de 5 160 000 F
2 à 12, rue Bellevue, 75019 PARIS
Tél. : 44.84.84.84 - Fax : 42.41.89.40
Téléc. : 220 409 F
Principaux actionnaires :
M. Jean-Pierre VENTILLARD
Mme Paule VENTILLARDPrésident-Directeur Général
Directeur de la Publication :

Jean-Pierre VENTILLARD

Directeur honoraire : Henri FIGHIERA

Directeur de la rédaction : Bernard FIGHIERA

Rédacteur en chef : Claude DUCROS

Maquette : Jean-Pierre RAFINI

Couverture : R. MARAI

Avec la participation de U. Bouteville, J. Cerf,
C. Galles, A. Garrigou, F. Jongbloët, R. Knoerr,
E. Larchevêque, L. Lellu, M. Morin, P. Oguic,
M. Ousset, D. Roverch, A. Sorokine.La Rédaction d'Electronique Pratique décline
toute responsabilité quant aux opinions
formulées dans les articles, celles-ci n'engagent
que leurs auteurs.

Marketing/Ventes : Jean-Louis PARBOT

Tél. : 44.84.84.85

Inspection des Ventes :

Société PROMEVENTE : Lauric MONFORT

6 bis, rue Fournier, 92110 CLICHY

Tél. : (1) 41.34.96.00 - Fax : (1) 41.34.95.55

Publicité : Société Auxiliaire de Publicité

70, rue Compans, 75019 PARIS

Tél. : 44.84.84.85 - CCP Paris 3793-60

Directeur général : Jean-Pierre REITER

Chef de publicité : Pascal DECLERCK

Assisté de : Karine JEUFRALT

Abonnement : Annie DE BUJADOUX

Voir nos tarifs (spécial abonnements, p. 102).

Préciser sur l'enveloppe « SERVICE ABONNEMENTS ».

Important : Ne pas mentionner notre numéro de
compte pour les paiements par chèque postal.Les règlements en espèces par courrier sont
strictement interdits. **ATTENTION !** Si vous êtes déjà
abonné, vous faciliterez notre tâche en joignant à
votre règlement soit l'une de vos dernières bandes-
adresses, soit le relevé des indications qui y figurent.
• Pour tout changement d'adresse, joindre 2,80 F et la
dernière bande.

Aucun règlement en timbre poste.

Forfait 1 à 10 photocopies : 30 F.

Distribué par : TRANSPORTS PRESSE

Abonnements USA - Canada : Pour vous abonner à
Electronique Pratique aux USA ou au Canada,
communiquiez avec Express Mag par téléphone au
1-800-363-1310 ou par fax au (514) 374-4742. Le tarif
d'abonnement annuel (11 numéros) pour les USA est
de 49 \$US et de 68 \$can pour le Canada.**Electronique Pratique**, ISSN number 0243 4911, is
published 11 issues per year by Publications
Ventillard at 1320 Route 9, Champlain, N.Y., 12919 for
49 \$US per year. Second-class postage paid at
Champlain, N.Y. POSTMASTER : Send address
changes to *Electronique Pratique*, c/o Express
Mag, P.O. Box 7, Rouses Point, N.Y., 12979.« Ce numéro
a été tiré
à 77 000
exemplaires »REALISEZ
VOUS-MEME

- 26 Wattmètre secteur 40 W-4 kW
- 31 Clignoteur aléatoire quatre voies
- 37 Programmeur de PIC 16C5x
- 105 Interrupteur crépusculaire
- 110 Compteur horaire

DOSSIER H.F.

47 : Liaison H.F. RS 232 bidirectionnelle - 52 : Télé-
commande H.F. multicanaux - 58 : Commutateur
22 kHz TV Sat - 61 : Coupleur/Répartiteur sélectif -
63 : Coupleur deux paraboles - 65 : Ampli canal 36
UHF - 69 : Préampli TV faible bruit - 72 : Modulateur
TV norme L expérimental - 84 : Radio FM sur PC -
101 : Distributeur 4 voies (FM, TV, TV Sat, AUX) -
103 : Ampli de distribution 40/860 MHz

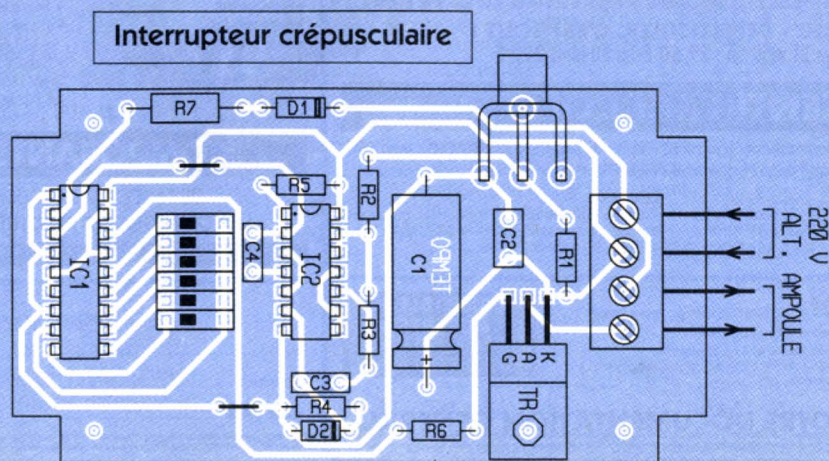
MESURES

- 78 Milliwattmètre H.F. 10 mW à 100 W
- 88 Fréquencemètre H.F. 10 Hz-2,5 GHz
- 114 Le scope numérique PC VDATA
- 115 Mesure des inductances

INFOS
OPPORTUNITES

DIVERS

- 98 Fiche technique : atténuateurs HF
- 126 Courrier des lecteurs





WATTMETRE SECTEUR A DIODES

Ce dispositif permet d'évaluer rapidement la puissance absorbée par une charge connectée au secteur, sans acrobaties de branchement et sans faire appel à un appareillage coûteux et fragile. Il peut donc être mis entre les mains de profanes sans entraîner de difficultés d'interprétation ou d'appréciation.

De façon classique, pour quantifier une puissance, on mesure la tension et l'intensité efficaces et l'on multiplie les deux valeurs pour obtenir : $W = U \cdot I \cdot \cos\phi$, $\cos\phi$ (facteur de puissance) étant, le plus souvent très voisin de 1. Si l'on

considère que la tension du secteur est fixe, la valeur de la puissance est proportionnelle à l'intensité du courant circulant dans la charge. Il suffit donc d'étalonner les indications de courant en watts pour lire la puissance consommée.

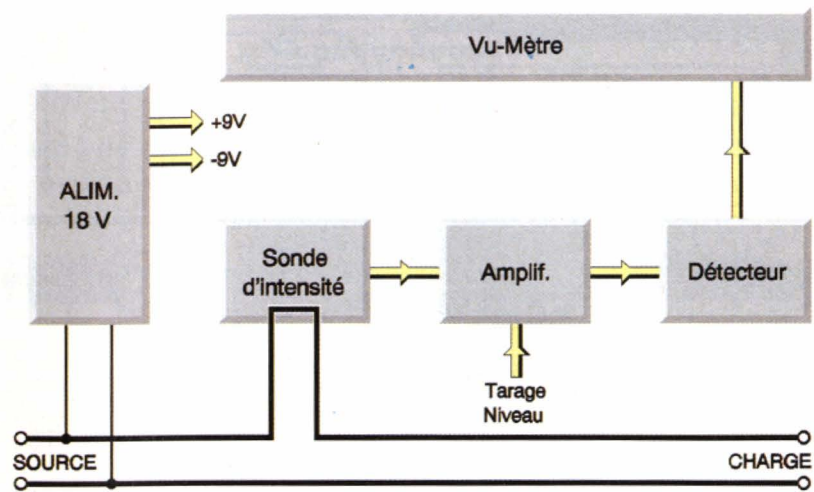
En fait, la difficulté réside dans la mise en oeuvre d'une mesure d'intensité qui nécessite la séparation de l'un des fils d'alimentation de la charge (pince ampèremétrique) ou sa coupure (ampèremètre alternatif). Même en faisant appel à des précautions élémentaires, ces opérations restent délicates, voire dangereuses.

Le wattmètre que nous proposons s'insère simplement entre une prise secteur bipolaire + terre et le connecteur correspondant de la charge, à la manière d'un simple prolongateur. Il comporte un petit boîtier intermédiaire présentant une échelle de diodes électroluminescentes qui indique la valeur instantanée de la puissance absorbée. On peut ainsi apprécier le bon fonctionnement d'un appareil électroménager (par exemple), d'un thermostat ou de toute une installation dans des limites que nous avons arbitrairement fixées de 40 à 4000 W en deux gammes. Bien entendu, la conception de cet appareil ne peut lui permettre d'offrir une grande précision, ce qui d'ailleurs est rarement

demandé dans ce type d'appréciation. On se limite donc à environ 15 % dans la plupart des cas, sans prendre de précautions particulières. En fait, des erreurs peuvent être commises si le facteur de puissance ($\cos\phi$) est très différent de 1, si la tension secteur varie pendant la mesure ou si des parasites très virulents sont présents sur la ligne. Pour éviter ces écueils, on tiendra compte du $\cos\phi$ le cas échéant et l'on évitera de faire une mesure en présence de parasites ou d'instabilités du secteur.

Principe de fonctionnement

Le schéma synoptique de la figure 1 permet de comprendre le fonctionnement de l'appareil. Une sonde d'intensité recueille la tension induite par une boucle disposée en série sur l'un des conducteurs reliant la charge à la source (secteur alternatif). Cette tension est amplifiée puis détectée. La tension continue résultante est envoyée vers un afficheur de type "Vumètre" à diodes LED. Prélevée en amont de la boucle de mesure, la tension secteur est envoyée vers une alimentation continue symétrique de $\pm 9V$ destinée à activer l'électronique de mesure. Le réglage de l'amplificateur (tarage de niveau) permet d'obtenir sur l'afficheur les illuminations de LED qui correspondent à la puissance consommée.

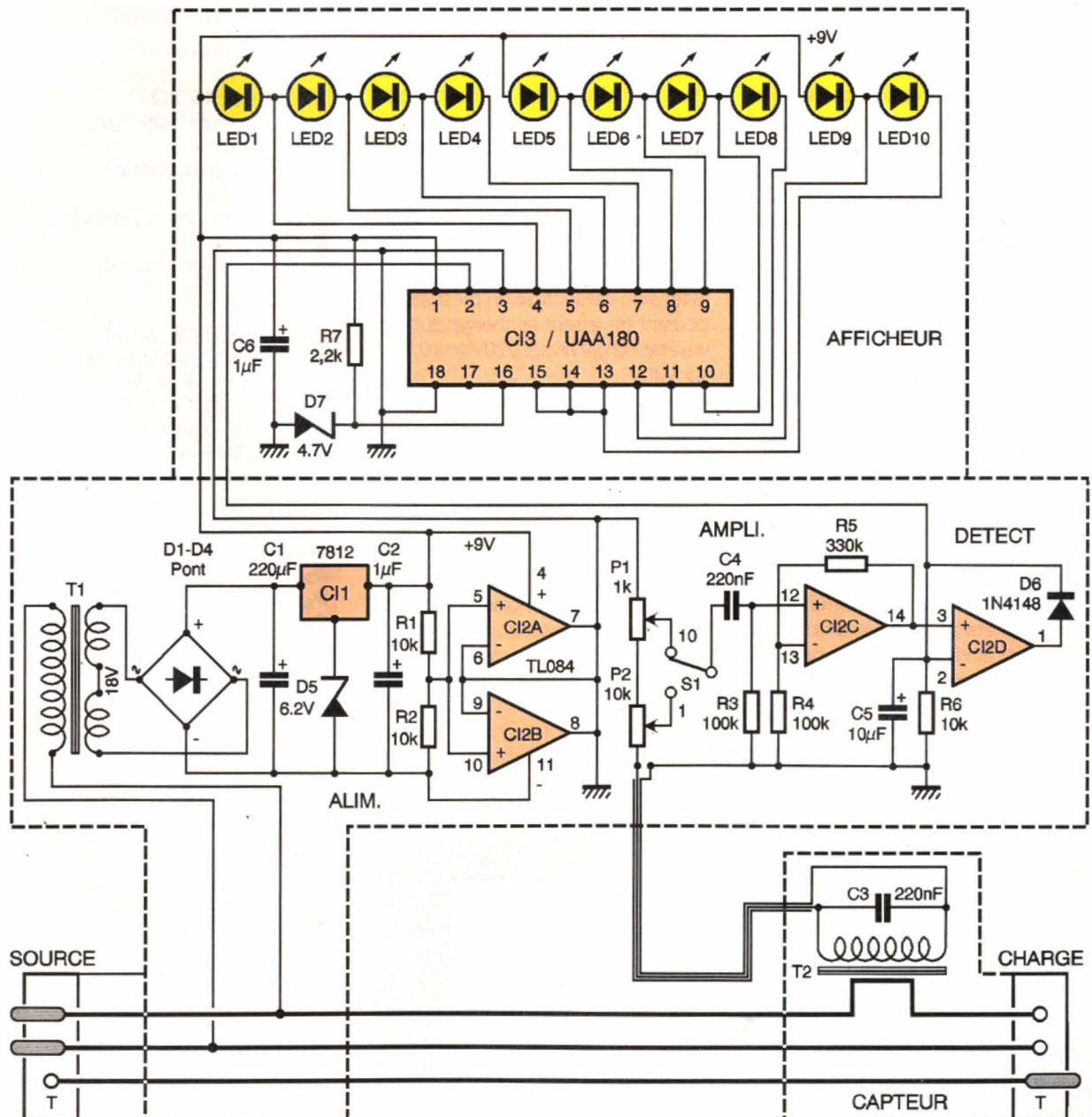


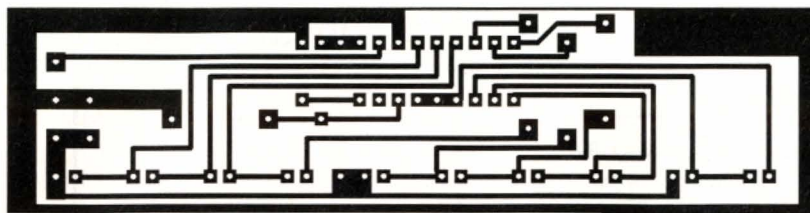
1

SYNOPTIQUE DU WATTMÈTRE
SECTEUR.

2

LE SCHÉMA COMPLET : CARTE
AFFICHAGE + CARTE MESURE.



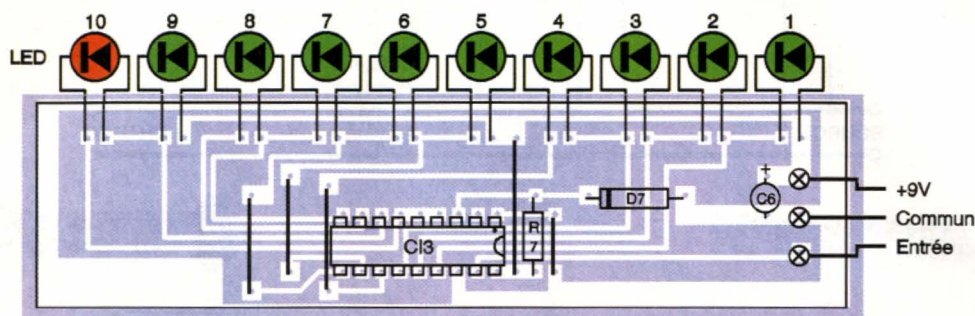


4

CI CARTE AFFICHAGE CÔTÉ
CUIVRE...

6

... ET SON IMPLANTATION.



respecter le sens de branchement des condensateurs polarisés C_1 , C_2 , C_5 , et des diodes D_1 - 4 , D_5 et D_6 . On n'oubliera pas de disposer les deux straps dont l'un est en partie placé sous le circuit intégré CI_2 . La carte affichage supporte le circuit intégré CI_3 , quelques composants et une échelle de dix diodes LED. Ces diodes ont une section rectangulaire de $5 \times 2,5$ mm et ont 10 mm de hauteur pour être assez visibles, mais rien ne s'oppose à l'installation de diodes cylindriques conventionnelles. Les diodes 1 à 9 sont de couleur verte ; la diode 10 est rouge pour indiquer le dépassement de gamme. Les boîtiers électronique et CHARGE sont des modèles tout plastique. Les dimensions intérieures minimales sont de $125 \times 52 \times 33$ mm pour le premier et de $80 \times 52 \times 30$ pour le second. De nombreux constructeurs offrent des modèles pouvant satisfaire ces critères. On augmentera éventuellement les dimensions des cartes imprimées pour leur assurer une fixation adéquate dans le boîtier.

Mise au point

Si l'on veut effectuer un réglage correct, il est souhaitable de disposer d'un bon multimètre pouvant mesurer la tension secteur et l'intensité traversant la charge.

On définira une charge résistive de 200W en faisant appel, par exemple, à des ampoules d'éclairage montées en parallèle (ne pas se fier aux indications portées). Après avoir vérifié la tension du secteur on mesurera le courant traversant la charge qui devra être de 0,91A sur 220V (ou 0,87A sur 230V).

On mettra S_1 sur la position (x1) et on connectera la charge de 200W en sortie du wattmètre. On réglera le potentiomètre P_2 jusqu'à obtenir l'illumination des LED 1 à 5 incluses.

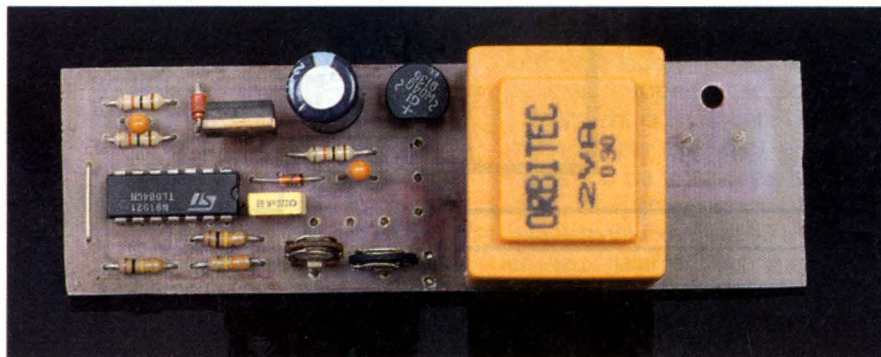
On opérera de même sur la gamme (x10) en faisant appel à une charge ohmique de 2000W (radiateur électrique, fer à repasser, etc.) en réglant P_1 pour avoir la même indication sur l'échelle de mesure de l'afficheur.

Nomenclature

R_1, R_2, R_6 : 10 k Ω
(marron, noir, orange)
 R_3, R_4 : 100 k Ω
(marron, noir, jaune)
 R_5 : 330 k Ω
(orange, orange, jaune)
 R_7 : 2,2 k Ω
(rouge, rouge, rouge)
 P_1 : 1 k Ω
 P_2 : 10 k Ω
 C_1 : 220 μ F/50V radial
 C_2, C_6 : 1 μ F/35V tantale
 C_3, C_4 : 220 nF milfeuillet
 C_5 : 10 μ F/35V tantale
 T_1 : Transformateur
220V/2x9V moulé 3VA
 T_2 : Transformateur modifié
(voir texte) (1 ou 2 VA)
 D_1 à D_4 : Pont de diodes
moulé
 D_5 : Zener 6,2V
 D_6 : Diode silicium 1N4148
 D_7 : Zener 4,7V
LED 1 à 9 : LED
rectangulaires vertes
LED 10 : LED rectangulaire
rouge
 CI_1 : Régulateur de tension
7812 (12V)
 CI_2 : Quadruple ampli
opérationnel TL084
 CI_3 : Commande de LED
UAA180
 S_1 : Simple inverseur à
glissière 2 positions
Coffrets tout plastique (voir
texte)
Barrette 3 dominos
Câble 2 cond. + terre
adaptés à la charge
Connecteur (source) et
embase femelle
Décolletage divers

LA CARTE "MESURE".

J. CERF



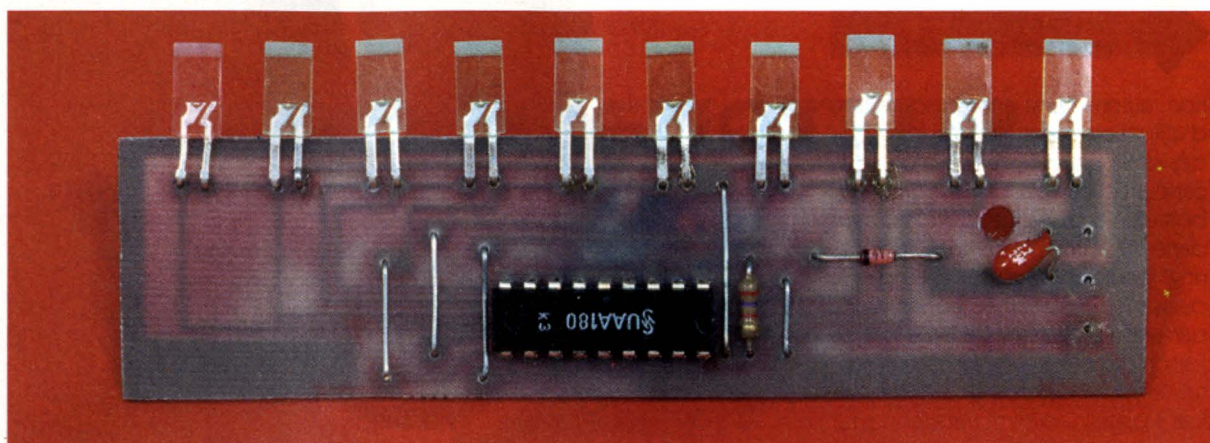


Schéma détaillé

La **figure 2** présente le schéma électrique de l'appareil. La boucle de mesure de l'un des conducteurs du câble SOURCE-CHARGE constitue le primaire du transformateur T_2 dont le secondaire est accordé par C_3 . La tension alternative à 50 Hz correspondante est envoyée par un câble blindé vers les deux potentiomètres de réglage P_1 et P_2 montés en série. L'inverseur S_1 permet de prélever une fraction de tension ($\times 1$) ou ($\times 10$) constituant ainsi, après étalonnage, deux niveaux dans un rapport de 10 correspondant aux gammes de mesure. Le signal provenant du commun de S_1 est envoyé, à travers C_4 , vers l'amplificateur opérationnel Cl_2-C qui assure un gain de 10 dB, par R_4 et R_5 , afin d'attaquer l'étage de détection dans de bonnes conditions. La liaison est directe vers Cl_2-D monté très simplement en détecteur sans seuil au moyen de la diode D_6 entre la sortie et l'entrée inverseuse. La tension continue positive résultante est prélevée aux bornes de la résistance R_6 , découplée par C_5 , et envoyée vers l'afficheur. L'afficheur est un vumètre conventionnel. Il comporte un circuit intégré Cl_3 (UAA180) capable d'assurer l'allumage d'une bande lumineuse de 12 LED dont la longueur est proportionnelle à la tension positive présente sur l'entrée (broche 16). Celle-ci, en provenance du détecteur, est proportionnelle au courant traversant la charge, c'est à dire, à la puissance absorbée. La polarisation de la broche 3, fixée à 4,7V par la diode zener D_7 , alimentée par R_7 , assure une transition assez

brusque d'une LED à l'autre afin d'améliorer la lisibilité lorsque la tension d'entrée varie.

Pour simplifier le montage, nous avons limité à 10 le nombre de diodes commandées, ce qui semble suffisant, compte tenu de la précision recherchée avec cet appareil. L'étalonnage de l'échelle de 10 diodes a été réalisé à raison de 40W par diode, ce qui donne 40 à 400 W pour la gamme ($\times 1$) et 400 W à 4 kW pour la gamme ($\times 10$). On peut naturellement choisir d'autres valeurs : la limite inférieure est liée à la sensibilité de l'appareil et la supérieure aux caractéristiques du câble d'alimentation et aux performances des connecteurs SOURCE et CHARGE. Le **tableau T1** indique les valeurs nominales associées aux diodes LED :

L'alimentation comprend le transformateur T_1 (220V/18V ou 2x9V) de 3VA dont le secondaire est connecté à un pont de diodes moulé tout à fait classique. Le condensateur C_1 assure l'essentiel du filtrage de la tension redressée envoyée vers le régulateur intégré Cl_1 7812 de 12V associé à une zener D_5 de 6,2V afin d'obtenir une tension de sortie régulée de 18,2V. On peut aussi faire appel directement à un régulateur 7818 de 18V (donc sans zener), mais ce dernier composant est moins répandu (et donc plus difficile à trouver) que le 7812. C_2 entre 0 et + 18V assure une meilleure stabilité du régulateur. La transformation de la tension unipolaire de 18V en deux tensions symétriques de + 9V et -9V est assurée par les deux amplis opérationnels Cl_2-A et Cl_2-B montés en parallèle. Les entrées non inverseuses reçoivent une tension médiane obtenue par les deux résistances série R_1 et R_2 placées entre 0 et + 18V. Les

LA CARTE AFFICHAGE CÂBLÉE.

entrées inverseuses sont réunies aux sorties pour constituer le commun de l'alimentation symétrique (référence 0V).

Ce procédé de symétrisation est classique. Dans le cas présent, la mise en parallèle de deux amplis opérationnels diminue de moitié la résistance apparente vers la masse : les amplis C et D sont bien alimentés en + et -9V, mais l'afficheur ne sollicite que la tension positive créant un déséquilibre de courant qui, dans ce cas, ne se traduit que par une très légère dissymétrie des tensions + et -.

Réalisation

Ce dispositif fait appel à un cordon mâle (SOURCE) de 2 conducteurs + terre suffisamment dimensionné pour accepter le courant maximal requis. Ce cordon est réuni à un boîtier électronique qui contient la carte principale et celle de l'afficheur. Un boîtier de dimensions réduites (CHARGE) supporte une embase femelle et contient le capteur d'intensité T_2 et le condensateur d'accord C_3 . Un conducteur de 3 fils, de même section que le précédent, doublé d'un fil blindé, réunit ce petit sous-ensemble au boîtier électronique (voir figure 2). Les longueurs des conducteurs seront adaptées au type d'utilisation envisagé. La décomposition de cet appareil en modules, outre qu'elle facilite la réalisation

T1

PUISSANCE INDICUÉE SELON LES LED ILLUMINÉES ET LE COEFFICIENT MULTIPLICATEUR.

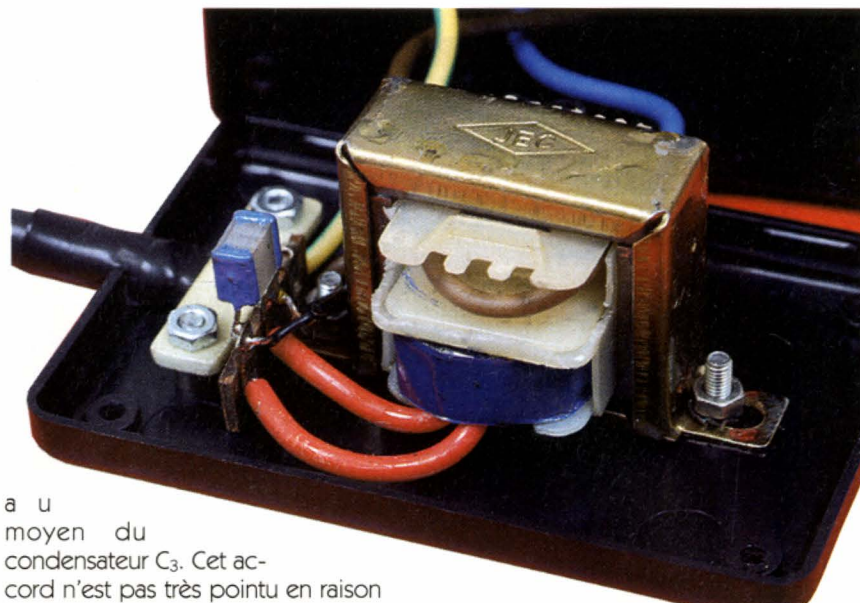
LED N°	1	2	3	4	5	6	7	8	9	10
Watts x1	40	80	120	160	200	240	280	320	360	400 +
Watts x10	400	800	1200	1600	2000	2400	2800	3200	3600	4000

RÉALISATION DU CAPTEUR D'INTENSITÉ.

tion, autorise une grande souplesse d'utilisation et évite un couplage indésirable entre T_2 et T_3 . En outre, la carte afficheur peut être séparée du boîtier électronique et incorporée dans un autre boîtier de "monitoring" pour surveiller, par exemple, la puissance instantanée consommée par une installation. Dans ce cas, la liaison par paire blindée est suffisante. Le transformateur T_2 doit être réalisé à partir d'un petit transformateur d'alimentation de 1 ou 2VA, non moulé ni imprégné, sur lequel il est possible de retirer l'enroulement secondaire à basse tension sans nuire à l'intégrité de l'enroulement primaire 220V qui constituera le secondaire du capteur d'intensité.

Le meilleur résultat sera obtenu à partir d'un petit transformateur à enroulements juxtaposés et non superposés.

Le circuit primaire comporte une seule spire de fil isolé de fort diamètre logée dans l'espace libéré par le débobinage. Un montage sur étrier facilitera la fixation de ce capteur dans le boîtier approprié. Le filtrage sommaire de la tension induite sera obtenu en accordant le bobinage secondaire du capteur sur 50 Hz



a u moyen du condensateur C_3 . Cet accord n'est pas très pointu en raison de la résistance interne du secondaire de T_2 (de quelques milliers d' Ω), mais il suffit à abaisser le niveau de parasites de façon significative. Si on ne dispose pas de moyens capables de vérifier l'accord de ce circuit, on se contentera de disposer un condensateur de 200 ou 330 nF. Les figures 3 et 4 présentent respectivement le dessin des cartes imprimées principale et afficheur. Les figures 5 et 6 montrent l'implantation des composants sur ces cartes. La carte principale reçoit : La tension secteur 220 ou 230V ré-

unie au primaire de T_1 ,

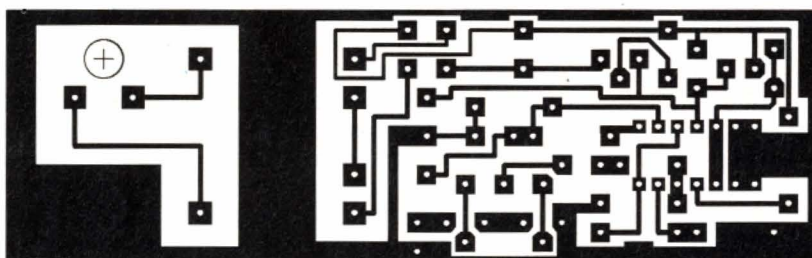
La tension de mesure issue du capteur d'intensité, véhiculée par un câble blindé.

Elle sort les connexions suivantes :

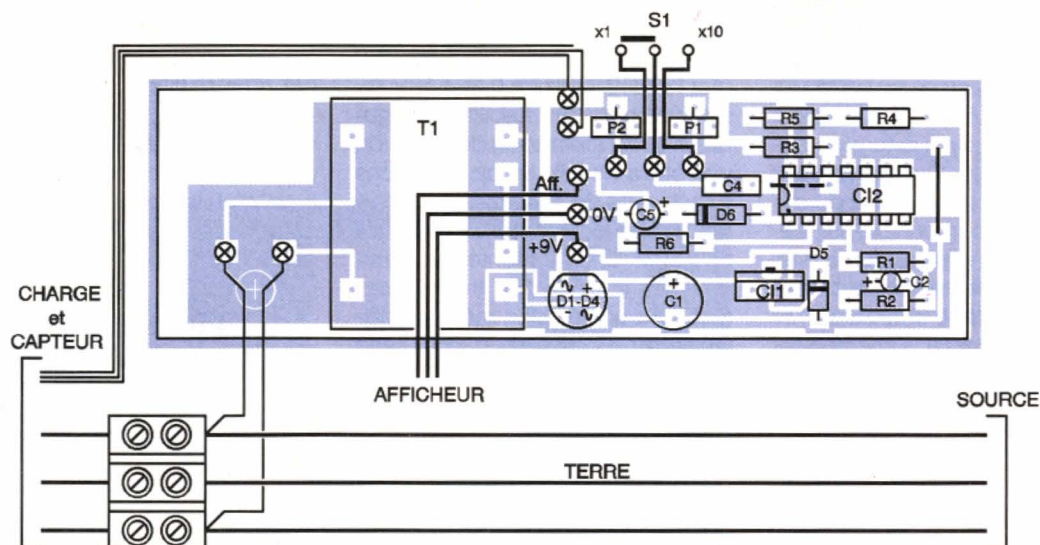
Un liaison trois fils avec l'inverseur de gammes,

La liaison trois fils vers l'afficheur soit : un fil commun 0V, un fil d'alimentation de +9V et un fil de commande de l'affichage.

Le câblage très simple de ce sous-ensemble n'attire pas de commentaires particuliers. On veillera à bien



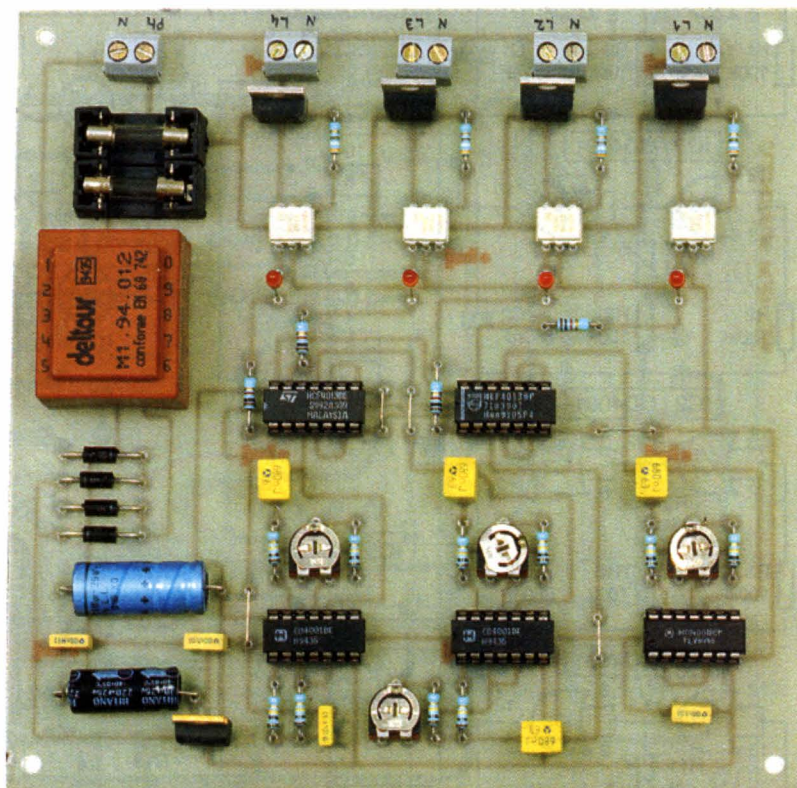
3 CIRCUIT IMPRIMÉ DE LA CARTE MESURE CÔTÉ CUIVRE.



5 IMPLANTATION DE LA CARTE MESURE.

CLIGNOTEUR ALÉATOIRE 4 VOIES

Les effets lumineux rencontrent toujours un franc succès auprès des amateurs de soirées entre amis. Pour compléter votre équipement dans ce domaine, nous vous proposons un clignoteur. Afin d'éviter une répétition monotone de la séquence, l'allumage des spots est indépendant pour chacune des voies, et s'effectue de façon totalement aléatoire. Ce montage utilise des composants très classiques, donc disponibles facilement et la mise au point s'effectue avec une facilité surprenante.



Principe de fonctionnement

La **figure 1** représente l'organisation du montage. Chaque voie comporte une bascule dotée de 2 entrées. La première reçoit un signal issu d'un oscillateur H.F. (haute fréquence) commun à toutes les voies. En revanche, la seconde entrée est connectée à un oscillateur T.B.F. (très basse fréquence) indépendant pour chacune des voies.

Etant donné l'importante différence entre les fréquences haute et basse, lors du changement d'état de cette dernière, il n'est pas possible de prévoir l'état de la fréquence haute. Dans ces conditions, la sortie de la bascule correspondante sera imprévisible.

Pour des raisons de sécurité, nous avons voulu une isolation électrique

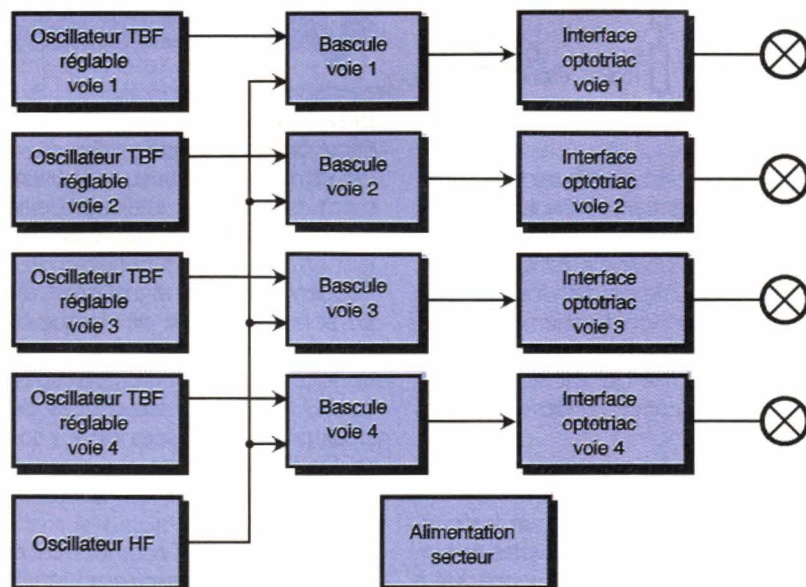
entre la partie logique du montage et le réseau 220V.

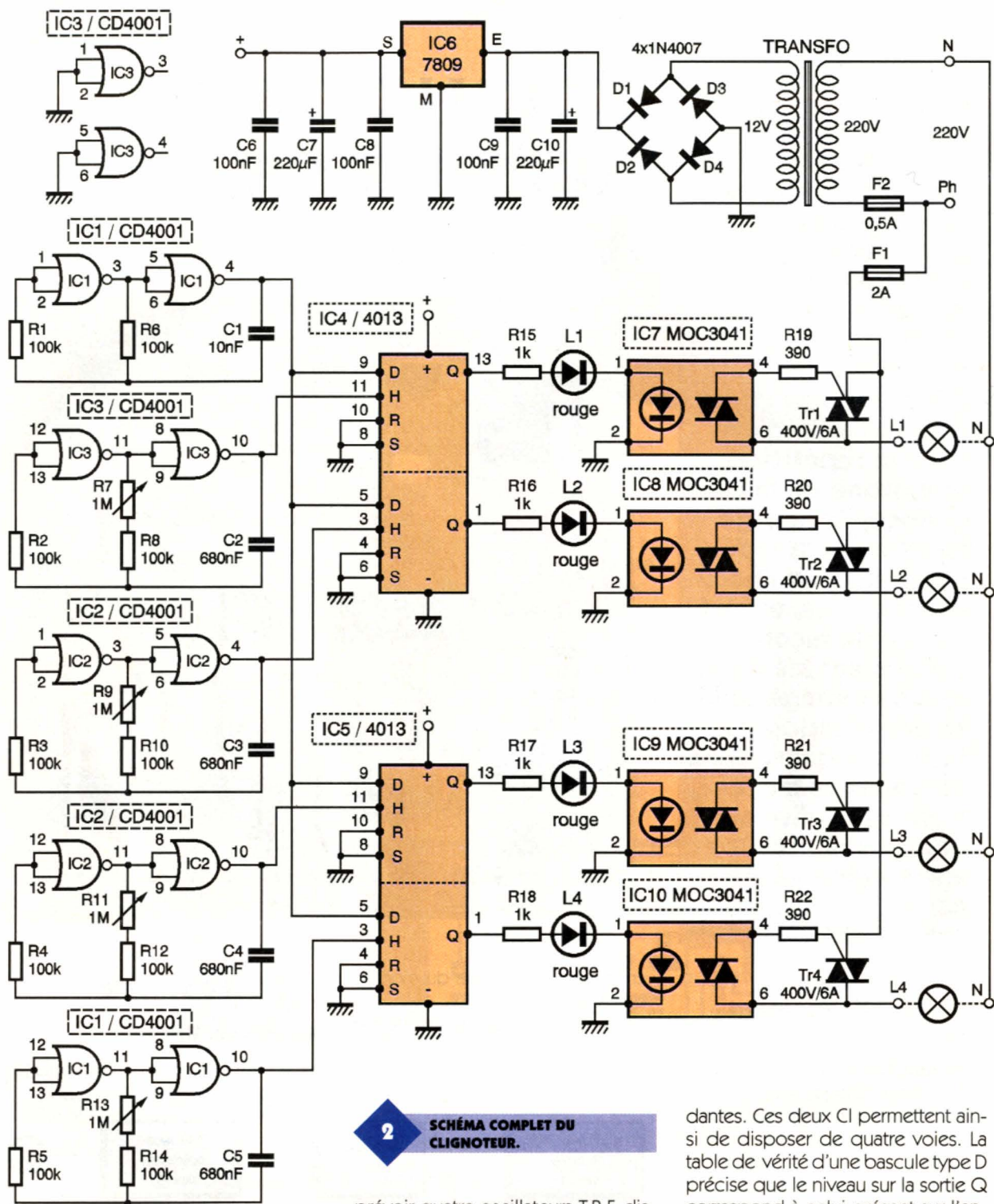
Les triacs commandant les lampes sont pilotés par l'intermédiaire d'une interface par optocoupleur.

Le schéma

Oscillateur HF

Le schéma de principe du montage





2

SCHEMA COMPLET DU CLIGNOTEUR.

est représenté à la **figure 2**. L'oscillateur H.F. est réalisé à l'aide des deux portes NOR de IC₁. Rappelons que la fréquence de sortie est déterminée par C₁ et R₄. R₁ permet une meilleure stabilité de fonctionnement. Sur la sortie 4, nous obtenons donc un signal carré fixe qui est appliqué sur toutes les entrées D des différentes bascules.

Oscillateurs TBF

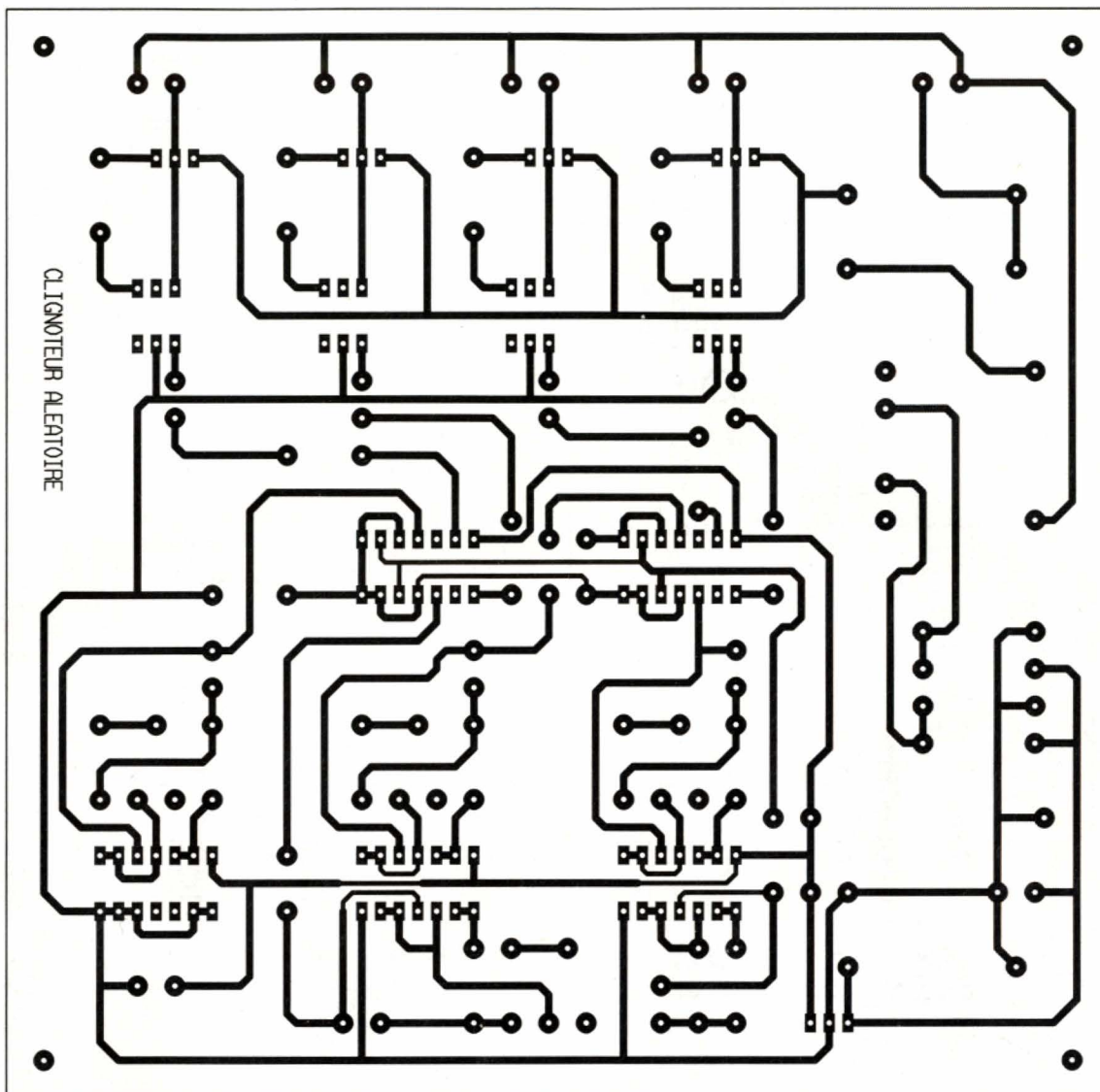
Nous avons souhaité que le fonctionnement des quatre voies soit indépendant. Cela nous a conduit à

prévoir quatre oscillateurs T.B.F. distincts. Le fonctionnement de ceux-ci est identique à celui vu précédemment. Néanmoins, chaque oscillateur est doté d'un ajustable permettant un réglage personnalisé de la fréquence T.B.F. Le signal carré disponible sur la sortie de chaque oscillateur est appliqué sur l'entrée horloge de la bascule correspondante. Notez que les entrées des deux portes inutilisées de IC₃ sont reliées à la masse.

Bascules

Les circuits IC₄ et IC₅ comportent en fait chacun deux bascules indépen-

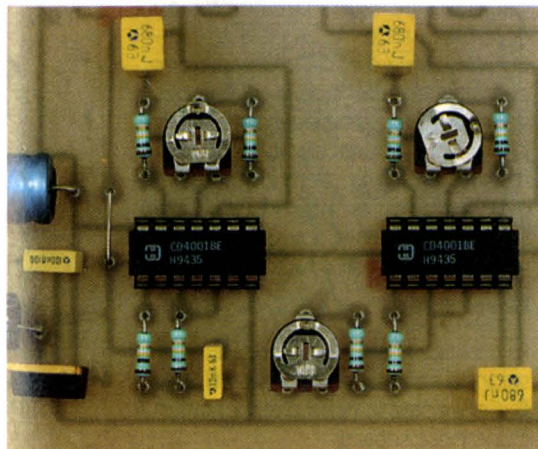
dantes. Ces deux CI permettent ainsi de disposer de quatre voies. La table de vérité d'une bascule type D précise que le niveau sur la sortie Q correspond à celui présent sur l'entrée D (Data) au moment du passage au niveau 1 de l'entrée horloge. Notre montage profite de cette possibilité: l'entrée D reçoit un signal de fréquence élevée. En revanche, le signal appliqué sur l'entrée H (horloge) présente une fréquence très basse. Au moment du passage de niveau 0 à niveau 1, il n'est donc pas possible de prévoir quelle sera l'état du signal H.F. Dans ces conditions, l'état logique disponible sur la sortie Q de la bascule est pratiquement aléatoire. Notez que les entrées R (Reset) et S (Set) ne sont pas utilisées, et donc reliées à la masse.



Interface de sortie

Pour des raisons évidentes de sécurité, nous avons choisi d'isoler le montage du secteur. Ce rôle est confié à des optotriacs. On peut di-

AJUSTABLES POUR LE RÉGLAGE DE LA FRÉQUENCE.



re en simplifiant que ce composant comporte un élément actif (LED) et un élément passif (optodiode). En alimentant la LED, le rayonnement lumineux de celle-ci permet de commander l'optodiode. L'intérêt réside dans l'absence de liaison électrique entre ces deux parties.

Les LED des optotriacs sont alimentées via une LED de contrôle (L_1 pour la voie 1), et une résistance de limitation du courant (R_{15}). L'optodiode est reliée au triac via une résistance de gâchette. Le triac assure la commande de la lampe.

Afin d'éviter la génération de parasites toujours désagréables, le modèle des optotriacs choisis est doté d'un étage de détection du zéro secteur. En effet, si un triac commande une lampe alors que la tension secteur instantanée (position sur la sinusoïde) est importante, le courant dans la lampe passera très rapidement de zéro au courant nominal. Cette brusque transition est généra-

3

LE CIRCUIT IMPRIMÉ COTÉ CUIVRE.

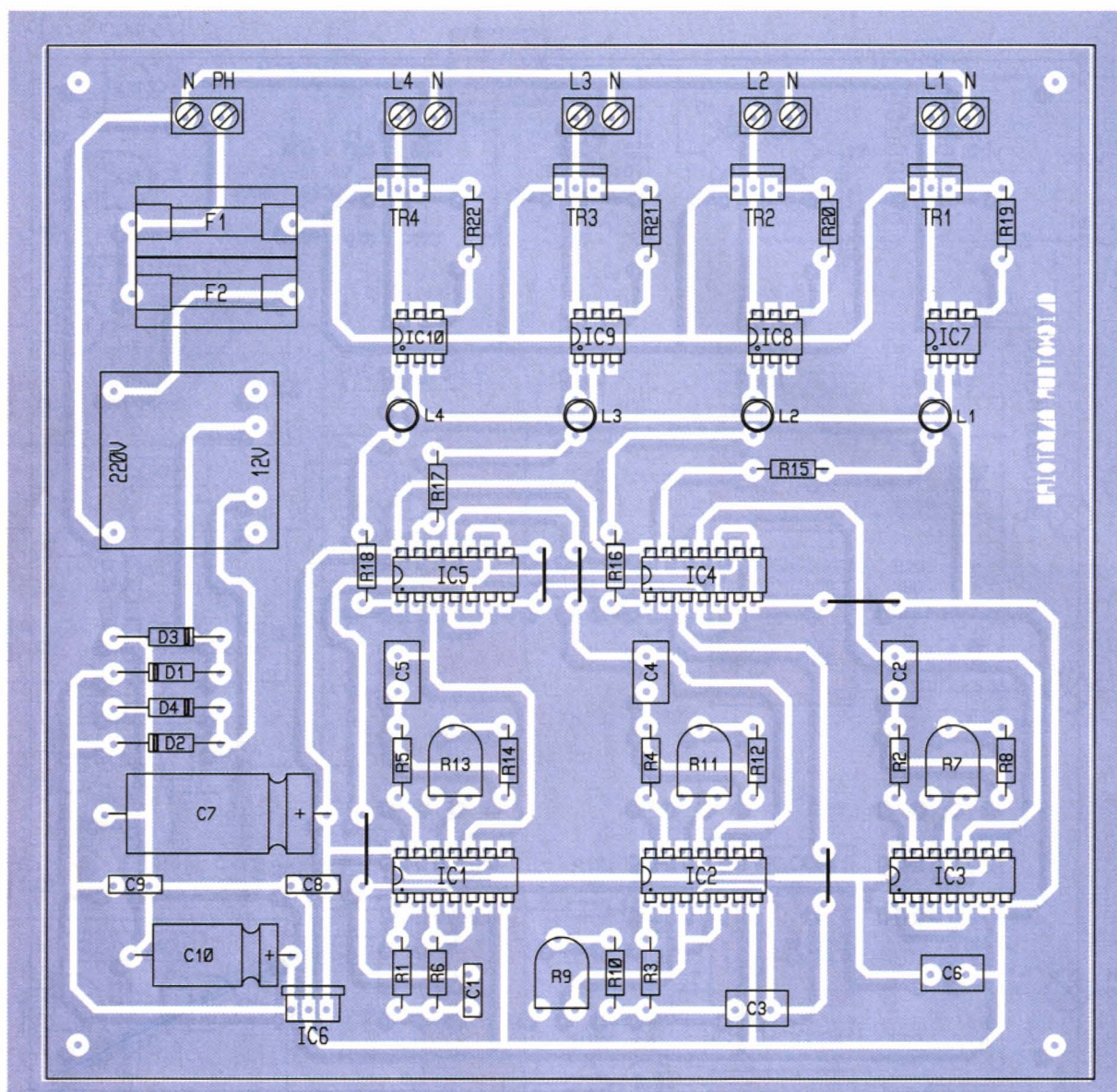
trice de parasites. Pour éviter ce phénomène, il suffit d'attendre que la sinusoïde passe à zéro pour commander le triac, c'est exactement ce que fait notre optocoupleur MOC 3041.

Alimentation

Peu de remarques au sujet de l'alimentation qui reste très classique, mais particulièrement éprouvée. Le transfo délivre une tension de l'ordre de 12V. La tension est ramenée à 9V par le régulateur intégré IC₆.

Réalisation pratique

Le tracé du circuit imprimé supportant les différents composants est représenté à la **figure 3**. En optant pour la réalisation de la carte par la méthode photographique, c'est l'assurance d'obtenir rapidement un



4

L'IMPLANTATION AÉRÉE AVEC CINQ STRAPS.

circuit rigoureusement conforme à celui proposé dans l'article. A l'issue

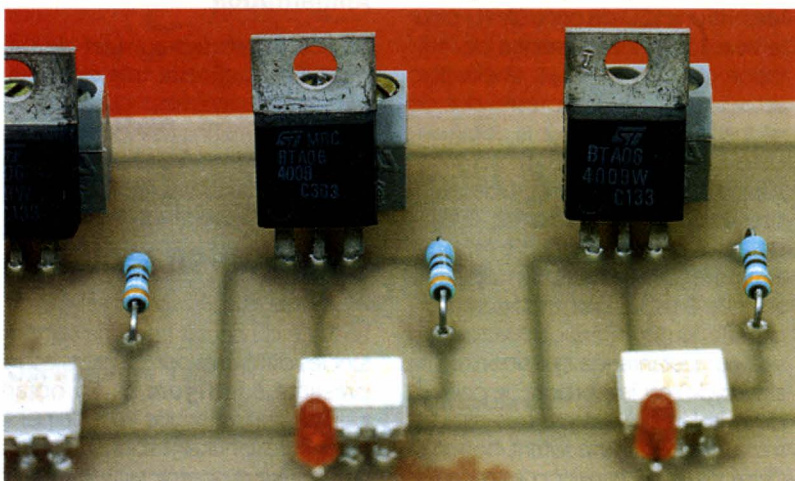
LES SORTIES AVEC OPTOTRIACS ET TRIACS.

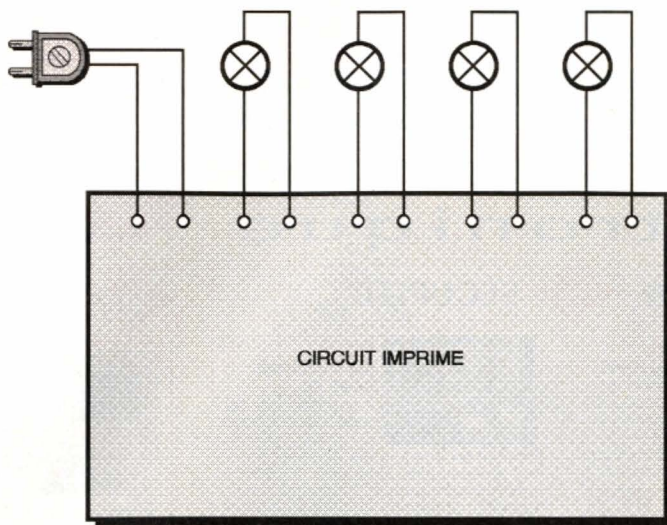
de la gravure, rincez soigneusement puis séchez la plaquette. Le perçage s'effectuera à 0,8 mm pour la majorité des composants, tandis que les porte-fusibles, ajustables, bornes, transfo, triacs et régulateur seront percés à 1,2 mm. Terminer par les trous de fixations à 3 mm. La **figure 4** représente l'implantation des

composants. L'expérience montre qu'il est préférable de souder les éléments en fonction de leur taille. Commencer par mettre en place les straps de liaison. Nous vous recommandons d'employer des supports pour les circuits intégrés. Leur coût est dérisoire dans le montage et facilite largement un éventuel remplacement de circuit intégré. Le montage étant achevé, procédez au contrôle final comprenant la vérification de la valeur et de la polarité des composants ainsi que la qualité des soudures. En cas de doute, n'hésitez pas à vous référer aux photos correspondantes. En dernier lieu, placez les circuits intégrés sur leur support respectif, en veillant soigneusement à l'orientation.

Essai final

Raccordez votre clignoteur aléatoire selon le schéma proposé en **figure 5**. Connectez la fiche d'alimentation à une prise secteur.





5

LE RACCORDEMENT.

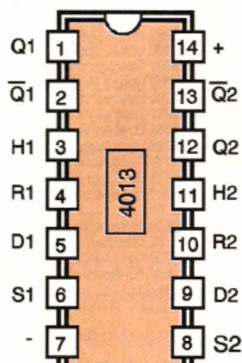
Dès lors, on ne devra plus intervenir sur les borniers, triacs et optocoupleurs qui sont reliés au secteur. Réglez les résistances ajustables en butée dans le sens anti-horaire. Le clignotement des lampes doit être lent, aléatoire et indépendant pour chacune des voies. Positionnez les ajustables en position inverse. L'allumage doit être désormais beaucoup plus rapide, mais toujours aléatoire et indépendant.

Vous pouvez dès à présent régler les résistances ajustables à votre convenance selon l'effet lumineux recherché. Votre montage est alors prêt à fonctionner. Il pourra ainsi commander spots lumineux ou guirlande extérieure pour sapin de Noël.

Ce montage, très simple à réaliser et à mettre au point, complètera utilement votre panoplie de jeux de lumières. Nous sommes sûrs qu'il vous rendra de bons services pour les prochaines soirées que vous avez déjà prévues avec vos ami(e)s...

BROCHAGE DES ÉLÉMENTS ACTIFS.

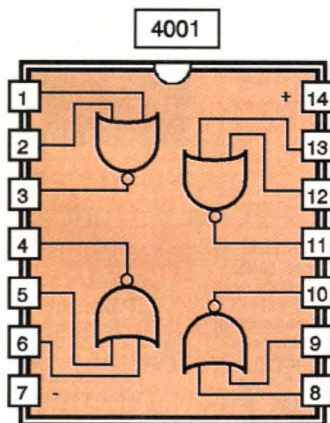
D. ROVERCH



Double bascule D

	H	D	R	S	Q	Q
	↑	0	0	0	0	1
	↑	1	0	0	1	0
	↓	X	0	0	Q	Q-bar
X	X	1	0	0	0	1
X	X	1	0	0	0	1
X	X	0	1	1	1	0
X	X	1	1	1	1	1

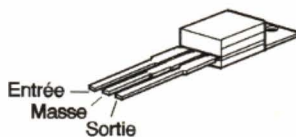
(X) sans importance



4 portes NOR

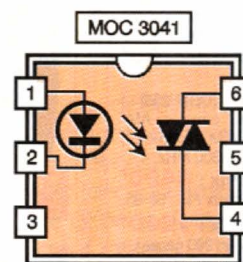
E1	E2	S
0	0	1
1	0	0
0	1	0
1	1	0

7809

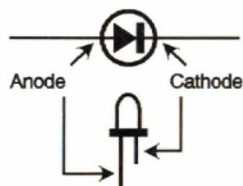


Nomenclature

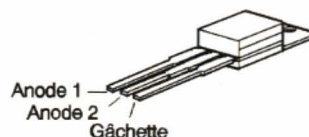
R₁ à R₆, R₈, R₁₀, R₁₂, R₁₄ :
100 kΩ (marron, noir, jaune)
R₇, R₉, R₁₁, R₁₃ : 1 MΩ
(ajustable horizontal)
R₁₅ à R₁₈ : 1 kΩ
(marron, noir, rouge)
R₁₉ à R₂₂ : 390 Ω
(orange, blanc, marron)
C₁ : 10 nF plastique
C₂ à C₅ : 680 nF plastique
C₆, C₈, C₉ : 100 nF plastique
C₇, C₁₀ : 220 μF/25V chimique horizontal
D₁ à D₄ : 1N4007
IC₁ à IC₃ : 4001
IC₄, IC₅ : 4013
IC₆ : régulateur 7809
IC₇ à IC₁₀ : optotriac MOC 3041
TR₁ à TR₄ : Triac 400V/6A
L₁ à L₄ : LED Ø 3mm rouge
F₁ : Fusible 2A (5 x 20) verre
F₂ : Fusible 0,5A (5 x 20) verre
1 Transfo 220V/12V 1VA
2 Supports fusible 5x20 pour circuit imprimé
5 Borniers doubles à vis
5 Supports DIL 14



Opto-triac à détection zéro secteur



Triac



Nouvelle donne
à Paris
Le magasin
Les Cyclades
s'agrandit et vous
dévoile son jeu !

les cyclades

électronique

11, bd Diderot
75012 Paris
Métro : Gare de Lyon
Tél. : (1) 46 28 91 54
Fax : (1) 43 46 57 17



T127
ROTOR D'ANTENNE AUTOMATIQUE
Avec télécommande pour une orientation rapide de 360°. Idéal pour les antennes satellites, TV, radio et CB
Prix : 390^F



T135
KIT DE RECHERCHE SATELLITE
Permet l'installation rapide des antennes paraboliques. Comprend : 1 boussole, 1 mesureur de gain. Alimenté par piles R6 (non fournies).
Prix : 395^F



T136
MESUREUR DE SIGNAL
Pour un alignement précis des antennes paraboliques. Modèle pro livre dans une sacoche.
Prix : 1080^F

COMMUNICATION

SCANNERS COMMTEL

Homologués DGPT PORTABLES

B110G (COM 112) : 20 canaux FM : 68-88, 137-174, 406-512 MHz
Prix : 895^F
B110D (COM 202) : 50 canaux AM-FM : 66-88, 108-174, 380-512 MHz
Prix : 1290^F
B110E (COM 213) : Jetscan 100 canaux AM-FM : 66-88, 108-174, 406-512, 806-960 MHz
Prix : 1799^F
B110 (COM 203) : 200 canaux AM-FM : 66-88, 108-174, 380-512, 806-960 MHz
Prix : 2190^F

STATIONS

B111 (COM 205) : 400 canaux AM-WWFM : 25-520, 760-1300 MHz
Prix : 3490^F
B111A (COM 101) : 200 canaux FM : 66-88, 137-174, 380-512 MHz
Prix : 1290^F
B111B (COM 215) : Turboscan 200 canaux : 66-88, 108-174, 216-512, 806-956 MHz
Prix : 2650^F

ANTENNES

B115J : antenne mobile avec support magnétique.
Prix : 189^F
B115V : antenne omnidirectionnelle intérieur/extérieur, combine 4 antennes.
Prix : 149^F

CATALOGUE COMMTEL SUR DEMANDE

MESURE

Y123BD
MULTIMETRE DIGITAL 9 plages de mesure, 5 fonctions dont test de piles, alimentation 9V. Livré complet.
Prix : 87^F
Y122BM
MULTIMETRE DIGITAL DE POCHE Tension AC/DC, courant DC, résistance et test de diodes.
Prix : 139^F
Y123BA
MULTIMETRE DIGITAL Affichage LCD géant, 19 plages et 6 fonctions. Alim. 9V. Livré complet.
Prix : 199^F
Y123B (MX800)
MULTIMETRE DIGITAL professionnel 42 plages avec capacimètre. Coque escamotable.
PROMO Prix : 645^F

ALARME



F652A
KIT D'ALARME
Prêt à installer comprenant : une centrale d'alarme, un détecteur I.R., 3 contacts de porte, un interrupteur panique, une sirène, 50 m de câble. Livré complet avec schéma et instruction de montage.
Prix : 1290^F



F656
CENTRALE D'ALARME 4 ZONES de protection indépendantes équipées de résistances de fin de lignes.
Prix : 1199^F

F604E détecteur IR haute protection, protégé contre les fausses alertes
279^F
F436U détecteur ILS de porte
29^F
F436SC détecteur de bris de glace
39^F
F436SB contact de porte basculante
90^F
P013A batterie optionnelle de réserve
159^F



F604C
BARRIERE INFRA ROUGE à double rayon - portée 30 m - sortie relai 0,5A/250V - alim - 12 à 20 Vdc
Prix : 349^F

T003F sirène int./ext. 100 dB
99^F
T003G sirène int./ext. 100 dB avec stroboscope
130^F

SÉCURITÉ



F659
KIT D'ALARME SANS FIL
Polyvalente qui fait appel à la technologie la plus récente.
Extrêmement facile à installer. 4 zones de détection indépendantes. Commande à distance avec fonction panique. Transmetteur codé. Sirène 120 dB incorporée. Livrée avec un détecteur IR sans fil, un transmetteur de contacts, une télécommande codée ainsi qu'un manuel d'installation.
Prix : 1490^F

Accessoires complémentaires :
F604G télécommande sup. **165^F**
F604F détecteur IR **419^F**
F436PA transmetteur de contacts **275^F**
F604H sirène externe avec stroboscope **299^F**



P725
KIT TELESURVEILLANCE CCD
Système de surveillance complet comprenant un moniteur N/B (25 cm), une caméra CCD avec micro, H.P. incorporé et 6 LEDs infrarouges permettant une surveillance dans l'obscurité, ainsi qu'un câble de liaison de 20 m et des supports à pince et fixes pour la caméra et le moniteur. Ce système qui permet de communiquer dans les deux sens, effectue également la commutation automatique de quatre caméras maximum. Entrées et sorties vidéo par fiches RCA.
Prix : 2990^F

LE COUP DE CŒUR DU MOIS

B118G
Récepteur multibandes 54-108-145-176 MHz. CB du 1 au 80 AM.
Prix : 169^F

P011AA
Chargeur + 4 accus R6
Prix : 79^F

A013B
Amplificateur d'audition avec micro haute sensibilité
Prix : 95^F

COMMUNICATION DE PROXIMITE

Public Address **EAGLE**

P646U
Amplificateur 40 WRMS pour utilisation mobile ou fixe. 1 entrée micro et 2 entrées AUX. Talkover. Sorties HP 8 Ω et ligne 100 V. Alim. 220 V/12 V
Prix : 1890^F

P648W
Amplificateur 120 WRMS de haute puissance pour systèmes PA importants. 3 entrées micro et 2 entrées AUX. Talkover. Sorties HP 8 Ω et ligne 100 V Alim 220 V/24 V.
Prix : 2999^F

P602Q
Eceintes d'ambiance 25 W. 2 voies. Ligne 100 V et 8 Ω. Avec étrier de fixation. La paire :
Prix : 549^F

A180A
Projecteur de son 25 W. Hifi pour l'extérieur. sélecteur de puissance. Entrée 8 Ω ou ligne 100 V
Prix : 499^F

P111C
HP à chambre de compression ext. Ligne 100 V/15 W.
Prix : 465^F

P113
Mod. 8 Ω/25 W.
Prix : 280^F

CATALOGUE EAGLE SUR DEMANDE

DIVERS

P011K
CHARGEUR/DECHARGEUR RAPIDE pour 1 à 4 batteries Ni-Cad R3/R6/R14/R20 ou 9V. Commutation automatique en fin de charge sur charge de maintien.
Prix : 199^F

Y136F
CHRONOMETRE DIGITAL multifonctions, précision au 100^{es}, temps par piste et fonction alarme. Avec compartiment bloc-notes à l'arrière et stylo.
Prix : 49^F

B123A
INTERPHONE AUTO MOTO pour communication entre passager et pilote. Fonctionne en main libre.
Prix : 198^F

DÉTECTEUR DE MÉTAUX

Y090 avec contrôle de sensibilité **249^F**
Y090A Vumètre, fiche pour casque **479^F**

ANTEX FERS A SOUDER

professionnels de grande qualité (normes CE) livrés avec pannes longue durée.
C15 15 W, 220 V 145 F • CS18 18 W, 220 V 130 F • XS25 25 W, 220 V 145 F • TCS 50 W, thermorégulé 220 V 350 F ST6 support de fer ajustable avec éponge **40 F •** Stations thermorégulables de 65 à 450° par potentiomètre **660 TC 660 F •** 690SD caractéristiques idem + affich. digit **1495 F •** Pompe à dessouder Minidesold **66 F •** Pompe à dessouder Prodesold **110 F**

velleman-kit



le kit du mois

K7103 Oscilloscope PC à mémoire digitale **1390 F TTC**
K7104 Deuxième canal pour le K7103 **515 F TTC**
U57103 Enregistreur de transitoire **166 F TTC**

K1771 Oscillateur FM **69 F TTC**
K1803 Préamplificateur mono universel **56 F TTC**
K1823 Alimentation 1 amp. **79 F TTC**
K2543 Système d'allumage électronique pour voiture **129 F TTC**
K2570 Alim. universelle 5 à 14 VDC/1A **79 F TTC**
K2572 Préamplificateur stéréo universel **79 F TTC**
K2573 Amplificateur de correction RIAA stéréo **79 F TTC**
K2574 Compt. «UP/DOWN» univ. à 4 chiffres **425 F TTC**
K2579 Minuterie univ. mise en marche/arrêt **99 F TTC**
K2599 Robot pour essuie-glace **135 F TTC**
K2601 Stroboscope **129 F TTC**
K2604 Sirène Kojak **89 F TTC**
K2622 Amplificateur d'antenne AM-FM **105 F TTC**
K2637 Amplificateur audio supermini 2,5 W **89 F TTC**
K2639 Détecteur de niveau de liquide **145 F TTC**
K2644 Annonceur de gel **85 F TTC**
K2649 Thermostat à écran LCD **415 F TTC**
K2655 Chien de garde électronique **245 F TTC**
K2657 Variat. d'allumage et d'extinc. prog. **159 F TTC**
K3400 Double dé électronique **115 F TTC**
K3504 Dispositif d'alarme de voiture **165 F TTC**
K4001 Amplificateur 7 W **85 F TTC**
K4003 Amplificateur stéréo 2 x 30 W **195 F TTC**
K4400 Module d'enreg./restitution électronique **299 F TTC**
K4401 Générateur de bruits **210 F TTC**
K4601 Modulateur audio/vidéo **299 F TTC**
K5001 Variateur de déparasite de 3,5 A **119 F TTC**
K5002 Variateur pour éclairage halogène **175 F TTC**
K5200 Chenillard multifonction à 4 canaux **179 F TTC**
K5201 Ordinateur à effets lumineux **269 F TTC**
K5202 Jeu de lumières à 3 canaux **335 F TTC**
K6400 Serrure codée **205 F TTC**
K6501 Télécommande par téléphone **415 F TTC**
K6600 Gong à tonalités multiples **125 F TTC**
K6700 Emetteur télécommande bifaïre **99 F TTC**
K6701 Récepteur télécommande bifaïre **165 F TTC**
K6706 Emetteur code à 2 canaux **99 F TTC**
K6707 Récepteur code **189 F TTC**
K6710 Emetteur infrarouge à 15 canaux **390 F TTC**
K6711 Récepteur infrarouge à 15 canaux **345 F TTC**
K6712 Variateur commande à distance par IR **310 F TTC**
K7000 Injecteur/suiveur de signal **115 F TTC**
K7102 Détecteur de métaux **75 F TTC**
K8000 Carte interface ordinateur **750 F TTC**
K8004 Transform. de tension continue en impuls. **145 F TTC**

Le catalogue qui tombe à pic

Prix au magasin : **20^F**
Par correspondance **35^F**
Remboursable à la 1^{re} commande dépassant 250 F



TUBES
La liste complète des tubes vous sera adressée sur simple demande contre une enveloppe timbrée à 3 F.

Ouvert tous les jours sauf dimanche et jours fériés

Du lundi au vendredi de 9 h 30 à 18 h 30 sans interruption
Le samedi de 9 h à 12 h 30 et de 13 h 30 à 18 h 30

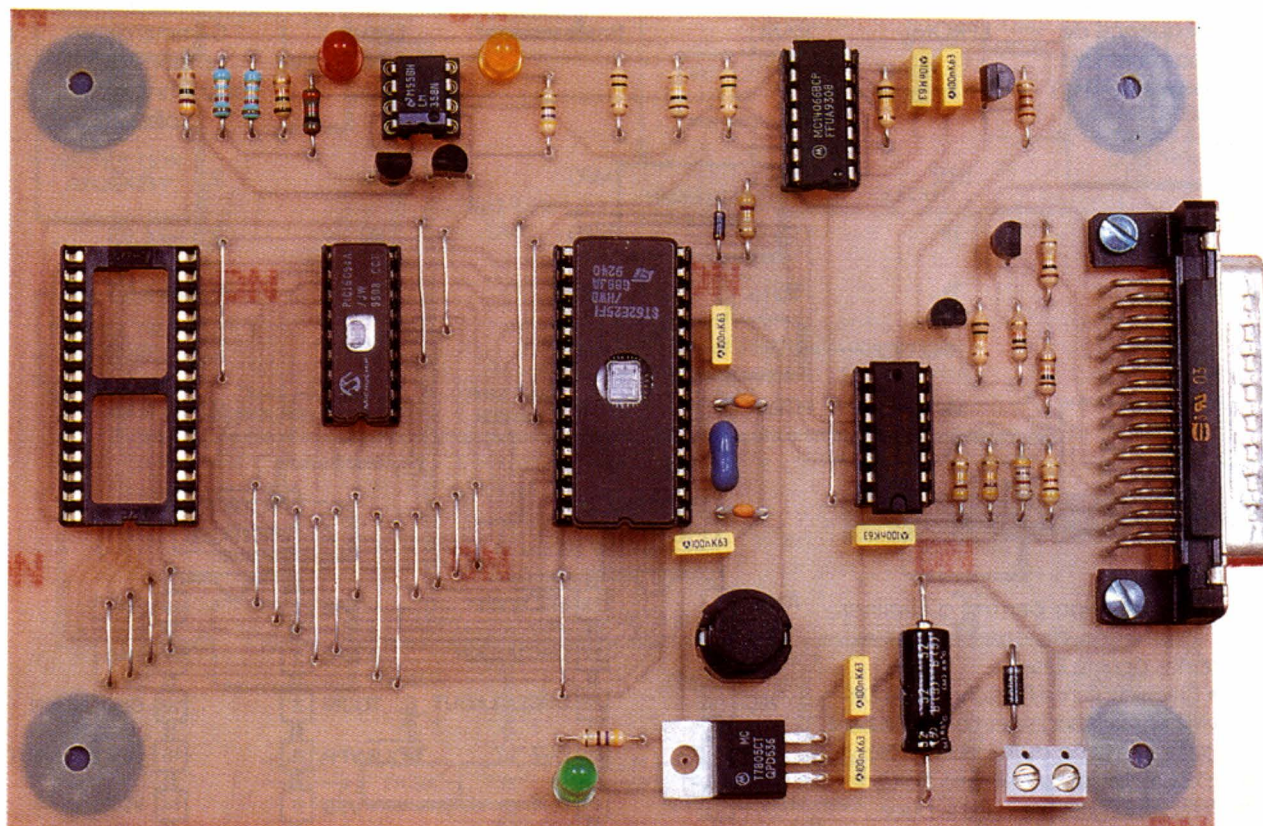
Paiement : Chèques bancaires, postaux ou mandats à l'ordre de la SOCIÉTÉ LES CYCLES - Timbres acceptés jusqu'à 100 F. Joignez votre règlement avec votre commande, sinon l'envoi et le paiement s'effectueront en contre-remboursement. N'oubliez pas avec le total de la facture, les frais d'emballage et de transport - Port et emballage : jusqu'à 1 kg : 30 F - 1 à 3 kg : 43 F - 3 à 5 kg : 51 F - 5 à 10 kg : 70 F - 10 kg : par transporteur - Envoi collissimo sur demande : + 10 F Port : étranger et DOM-TOM nous consulter

DISTRIBUONS : ALTAI - VARTA - SAFICO - METRIX - MAXICRAFT - KF - CIF MECANORMA - VELLEMAN - TSM - ANTEX - SOUND LAB - EAGLE - COMMTEL

Prix donnés à titre indicatif pouvant varier suivant les marques et les approvisionnements.



ELEC. PROG.



Afin d'étendre la gamme de microcontrôleurs avec laquelle vous pouvez aisément vous familiariser, Electronique Pratique vous propose dans ce numéro un kit de programmation destiné à la série PIC16C5X de Microchip. Il vous permettra, à l'aide de la sortie parallèle d'un PC, de programmer les versions EPROM (UV) et OTP. Vous pourrez alors mettre en œuvre les réalisations basées sur cette famille de microcontrôleur en version UVPROM, qui suivront dans les prochains numéros.

PROGRAMMATEUR DE PIC16C5X

Présentation de la famille PIC16C5X

Les microcontrôleurs Microchip de la famille PIC16C5X présentent des caractéristiques forts intéressantes qui ne manqueront pas de vous séduire :

- Architecture RISC (Reduce Instruction Set Computer), c'est à dire avec un code à jeux d'instructions réduit. Au total, 33 instructions très puissantes sont disponibles.

Le code d'une application compilée est extrêmement compact du fait du codage sur 12 bits de chaque instruction, opérande(s) comprise(s). Une instruction peut effectuer plusieurs tâches simultanément, permettant ainsi de gagner du temps sur la vitesse d'exécution du programme et d'économiser de la mémoire programme. Microchip rapporte un taux de compression du code programme dans un rapport 2/1 par rapport aux autres microcontrôleurs 8 bits de la même catégorie ! Un jeu d'instructions réduit, facile à utiliser, qui permet à un

programmeur débutant d'appréhender aisément le développement d'applications.

- Vitesse de fonctionnement maximale élevée : 20MHz. Toutes les instructions, sauf celles de branchement, s'exécutent au mieux en 200ns, ce qui correspond à un cadencement de 5 millions d'instructions par seconde. Les instructions de branchement nécessitent 400ns pour s'exécuter.

- Bien que faisant partie des microcontrôleurs d'entrée de gamme de Microchip, la famille PIC16C5X est déclinée en 5 versions différenciées par le nombre d'entrées/sorties, la mémoire RAM et la ROM (**tableau 1**).

- Gamme de tension de fonctionnement étendue pouvant aller de 2,5V pour la version EPROM (2V en masqué) à 6,25V.

- Un prix très attractif.

Les autres caractéristiques générales des PIC16C5X sont :

- Power On Reset (POR) : Initialisation du microcontrôleur à la mise sous tension grâce à une circuiterie interne basée sur la surveillance du niveau de la tension d'alimentation.

Composant	Horloge	Mémoire		Périphérique	Caractéristiques		
		EPROM	RAM (Mots)		Lignes d'Entrée/Sortie	Gamme de tensions de fonctionnement (volts)	Nombre d'instructions
PIC16C54	20	512	25	TMRO	12	2,5 → 6,25	33
PIC16C55	20	1k	25	TMRO	20	2,5 → 6,25	33
PIC16C56	20	1k	25	TMRO	12	2,5 → 6,25	33
PIC16C57	20	2k	72	TMRO	20	2,5 → 6,25	33
PIC16C58	20	2k	72	TMRO	12	2,5 → 6,25	33

T1

TABEAU 1 : CARACTÉRISTIQUES PRINCIPALES DES PIC16C5X.

Cette fonction permet d'éliminer l'adjonction de composants externes pour le Reset.

- Chien de garde (Watchdog ou Device Reset Timer) sélectionnable par programmation du microcontrôleur, c'est-à-dire durant l'étape de transfert du programme dans la puce.

- Données codées sur 8 bits.
- Possibilité de protection du code au moment de la programmation. Attention à cette opération car il est absolument impossible de relire le contenu de la mémoire.

- Courant maximal sur chaque sortie élevée : 25mA en sortie, 20mA en entrée.

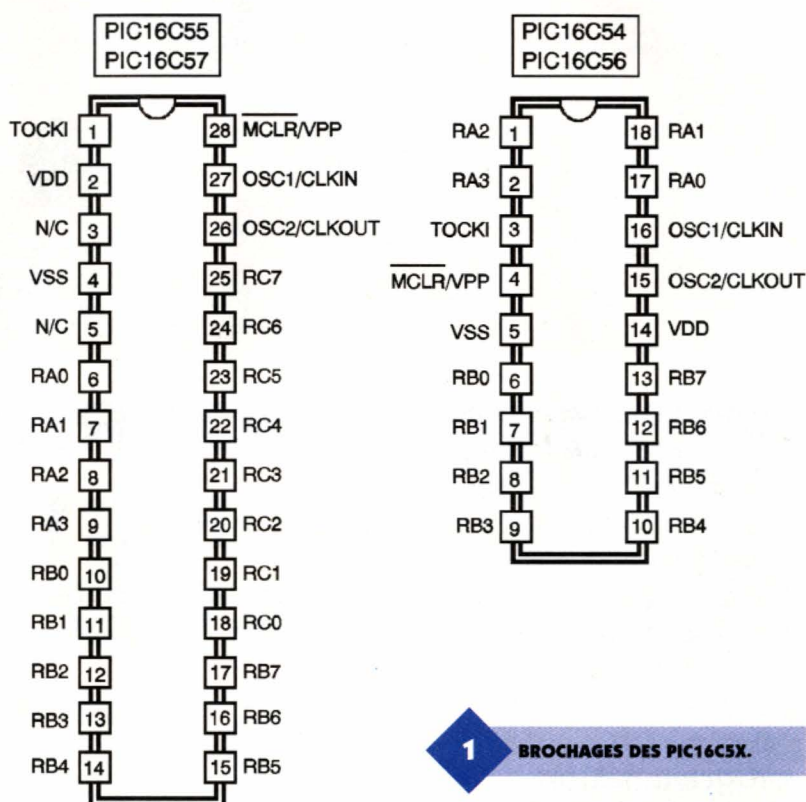
- Sélection, au moment de la programmation, du type d'oscillateur parmi quatre possibles : oscillateur à quartz du type basse consommation (LP c'est à dire Low Power, fréquence de fonctionnement jusqu'à 200 kHz), oscillateur à quartz ou résonateur de fréquence comprise entre 100 kHz et 4 MHz (XT pour Xtal), oscillateur à quartz ou résonateur céramique de fréquence comprise entre 4 MHz et 20 MHz (HS, High Speed) et enfin oscillateur du type Résistance-Condensateur (RC).

Une horloge externe peut également servir à cadencer le microcontrôleur.

- Possibilité d'une consommation très réduite de quelques micro-am-pères (11 μ A à 32 kHz sous 2,5V) avec la version PIC16LC5X-04. La consommation maximale est de 16mA sous 5,5V à 20 MHz, c'est-à-dire dans le pire des cas !

- Disponibilité en boîtier DIP (Dual In Line Package), SOIC (Small Outline IC) et SSOP (Shrink Small Outline Package).

- Timer programmable sur 8 bits.



1

BROCHAGES DES PIC16C5X.

- Mode veille (Sleep) de réduction de la puissance consommée en cas d'attente.

- Conception de puce CMOS totalement statique permettant un fonctionnement à très basse vitesse.

Le brochage des PIC16C5X est donné en **figure 1**.

Aperçu de l'architecture interne des PIC16C5X

La structure RISC des PIC16C5X, **figure 2**, utilise une architecture du type Harvard dans laquelle le code programme et les données peuvent être accédées par deux bus différents. Cela permet l'accès simultané au code et aux données améliorant ainsi la vitesse, et d'utiliser une taille différente pour les instructions (12 bits par exemple) et

les données (8 bits par exemple). Le code instruction est lu en un unique cycle alors que sa largeur dépasse celle des données. L'ALU (Arithmetic and Logic Unit) sur 8 bits effectue des opérations arithmétiques et booléennes entre le registre de travail (W) et n'importe quel registre de données.

Programmation des PIC16C5X

Voyons maintenant la façon de procéder pour programmer la famille PIC16C5X. Le microcontrôleur entre dans le mode programmation en appliquant la tension Vpp de 13,0V nominale sur la patte /Mpp. Dès lors, le microcontrôleur est en

microcontrôleur, soit l'écrire et le vérifier. Examinons ces deux cas.

Lecture du programme

Le but principal de cette fonction est de vérifier rapidement la virginité d'une puce devant être programmée. Le PIC16C5X est configuré en sortie en forçant le signal TOCKI au niveau haut, **figure 3**.

Lors de chaque front montant sur OSC1, le PIC16C5X place le contenu de sa mémoire, pointée par le compteur de programmation, sur ses sorties DO-D11 (port A et port B). L'utilisateur peut alors lire ces informations pour les exploiter. Un front descendant sur OSC1 incrémente le compteur de programme sur l'adresse suivante. Le cycle de lecture peut alors recommencer.

Programmation et vérification du programme

Le PIC16C5X est initialisé comme indiqué ci-dessus. Une séquence de programmation consiste d'abord à appliquer les données sur D0-D11 (port A et port B), puis à envoyer une impulsion de mémorisation au niveau bas d'une durée minimale de 10ms sur TOCKI, **figure 4**. Une autre impulsion au niveau bas sur TOCKI (obligatoire) conduit le microcontrôleur à placer les données venant d'être programmées sur D0-D11 afin de vérifier que la programmation s'est correctement déroulée. Dans le cas contraire, une nouvelle impulsion longue (10ms), suivie par une impulsion courte peuvent être de nouveau envoyées et cela, autant de fois que nécessaire. Une fois le mot correctement programmé, une impulsion au niveau haut sur OSC1 permet de passer à l'adresse suivante pointée par le compteur de programme (PC).

Le PIC renvoie le contenu de l'adresse courante sur le front montant de OSC1, puis incrémente le PC sur le front descendant. Cette séquence de programmation sera répétée jusqu'à la programmation complète du PIC16C5X.

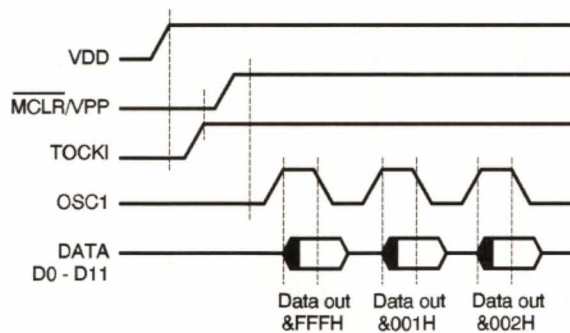


Schéma bloc du programmeur

3

CHRONOGRAMMES DE LECTURE.

Il apparaît donc, à la suite de cette description, qu'il est obligatoire pour programmer un PIC16C5X, d'avoir :

- 12 entrées-sorties bidirectionnelles pour les données,
- 2 sorties de contrôle,
- 2 lignes d'alimentation "contrôlables",
- 1 masse.

Malheureusement pour la simplicité du montage, il n'a pas été possible d'utiliser directement le port parallèle du PC qui possède 12 lignes de données en sortie et 5 lignes en entrée. Les dernières évolutions du port d'imprimantes désignées par l'Epp (Enhanced Parallel Port : port parallèle amélioré) puis par l'Ecp (Enhanced Capabilities Parallel Port : possibilités du port parallèle amélioré) pourraient permettre une programmation directe grâce aux lignes bidirectionnelles ... mais peut-être pas avec tous les PC, surtout les anciens. Une solution à ce problème a été trouvée avec le microcontrôleur ST6225 de Thomson, qui joue le rôle d'interface entre le port d'imprimante et le PIC16C5X, selon la synoptique de la **figure 5**. Cette solution présente l'énorme avantage de simplifier la schématique tout en garantissant la sécurité de la programmation. Le buffer d'entrée-sortie transmet les informations échangées

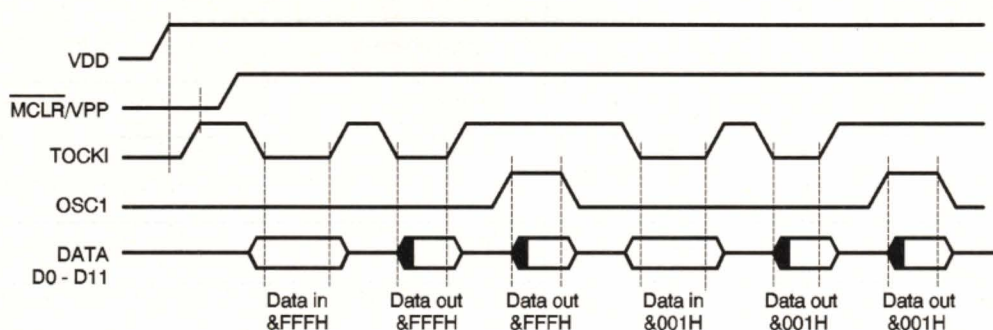
entre le PC et le ST6225 et isole ce dernier du milieu extérieur. L'alimentation du programmeur est délivrée par une source continue, non régulée de 15V. Le PIC16C5X recevra chacune de ses tensions d'alimentation si les 3 conditions suivantes sont réunies, afin de réduire les risques d'alimentation accidentelle:

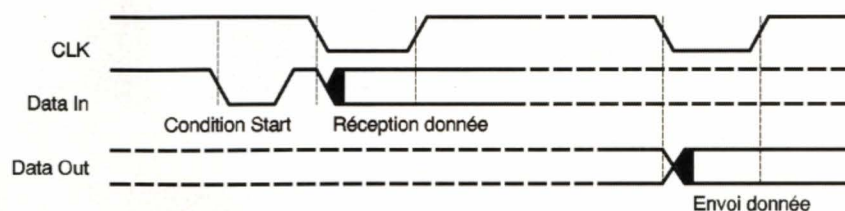
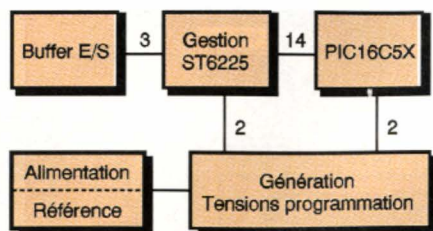
① Le port d'imprimante donne l'ordre de programmation.
② Le ST6225 n'est pas en cours de Reset. Bien que hors du commun, cette condition est nécessaire car les ports du ST6225 sont dans un état indéterminé lors de la phase de mise à zéro.

③ Le ST6225 donne l'ordre d'appliquer les tensions de programmation. La tension d'alimentation du PIC16C5X et la tension de programmation sont issues d'une source de référence de 5V précisément. Le ST6225 gère l'application de chacune de ces tensions au PIC16C5X. Deux connecteurs séparés DIL18 et DIL28 ont été adoptés afin de pouvoir connecter tous les microcontrôleurs de la gamme des PIC16C5X. La grande différence entre le brochage des deux boîtiers, et le souci d'une réalisation la plus simple possible,

4

CHRONOGRAMMES DE PROGRAMMATION ET DE VÉRIFICATION.





5 SCHÉMA BLOC DU PROGRAMMEUR.

ont conduit à ce choix. Le transit des données entre le PIC16C5X et le ST6225 est rendu bidirectionnel par redirection des ports d'entrée-sortie. Tous les ports du ST6225, reliés aux connecteurs du PIC16C5X, sont placés en sortie (état haute impédance), et les tensions d'alimentation VDD et VPP à 0 volt, avant et après une opération de programmation. De ce fait, le PIC16C5X peut être inséré et retiré du support sans risque de choc électrique.

Protocole de communication entre le PC et le programmeur

Une liaison synchrone entre le PC et le programmeur a été choisie. Le PC a le rôle de maître en générant le signal d'horloge. Deux lignes, l'une en entrée et l'autre en sortie, permettent l'échange des données. Dans une période d'attente, le signal d'horloge est au niveau haut. Une donnée en entrée ou en sortie peut changer lorsque le signal d'horloge est au niveau bas, **figure 6**. Elle est lue lors du front montant de l'horloge. Les informations échangées depuis le PC vers le programmeur sont réparties en mot de commande sur 4 bits. Le **tableau 3** donne le récapitulatif de ces commandes. Toute commande envoyée débute par

T3 RÉSUMÉ DES COMMANDES.

Commande	Action	Commande	Action
0	VDD=5V	8	OSC1=0
1	VDD=Off	9	OSC1=1
2	Vpp=13V	10	Port de données entre ST6 et PIC en entrée
3	Vpp=Off	11	Port de données entre ST6 et PIC en sortie
4	TOCKI=0	12	Transfert données du PIC vers PC
5	TOCKI=1	13	Transfert données du PC vers PIC
6	TOCKI=0 pendant 10ms	14	Port de contrôle entre ST6 et PIC en entrée
7	TOCKI=0 pendant 50µs	15	Port de contrôle entre ST6 et PIC en sortie

une condition dite "Start", caractérisée par l'apparition d'un front descendant sur le signal de donnée (data out), du PC vers le programmeur, alors que le signal d'horloge est au niveau haut. Dès que le ST6225 détecte la condition "Start", il se place en attente d'une commande, quel que soit l'état précédent dans lequel il se trouvait.

6 CHRONOGRAMME D'ÉCHANGE DES DONNÉES ENTRE LE PC ET LE PROGRAMMEUR.

grammeur à partir du 15V continu non-stabilisé. Celle-ci pourra se présenter sous la forme de bloc-prise moulée qu'il est très facile de se procurer au meilleur prix. La diode D₁, en série sur l'entrée d'alimentation,

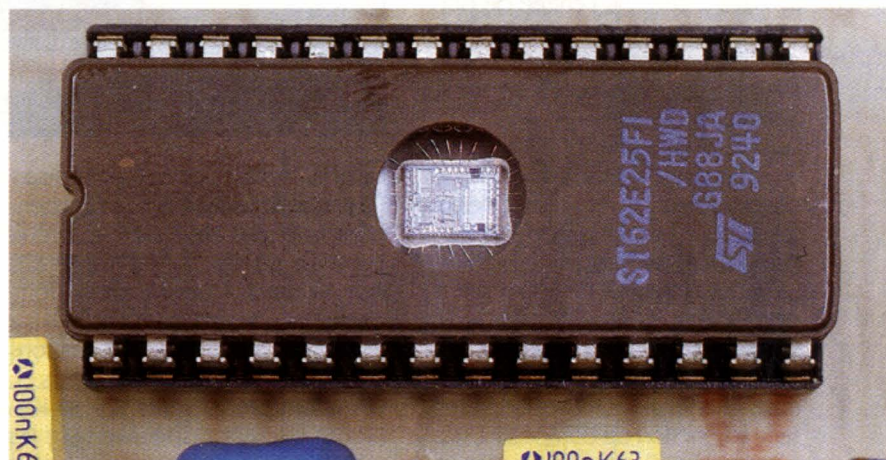


Schéma de principe

Le schéma de principe est donné sur la **figure 7**. Le cœur du montage est un ST6225 caractérisé par ses deux ports A et B d'entrée-sortie de 8 bits, et son port C d'entrée-sortie de 4 bits. Les ports C et B sont utilisés pour l'échange des données entre le ST6225 et le PIC16C5X, et le port A pour la gestion des signaux de contrôle, **tableau 4**. Le régulateur intégré IC₁ délivre la tension d'alimentation 5V du pro-

LE ST6225 DÉDIÉ À LA GESTION DU PROGRAMMEUR.

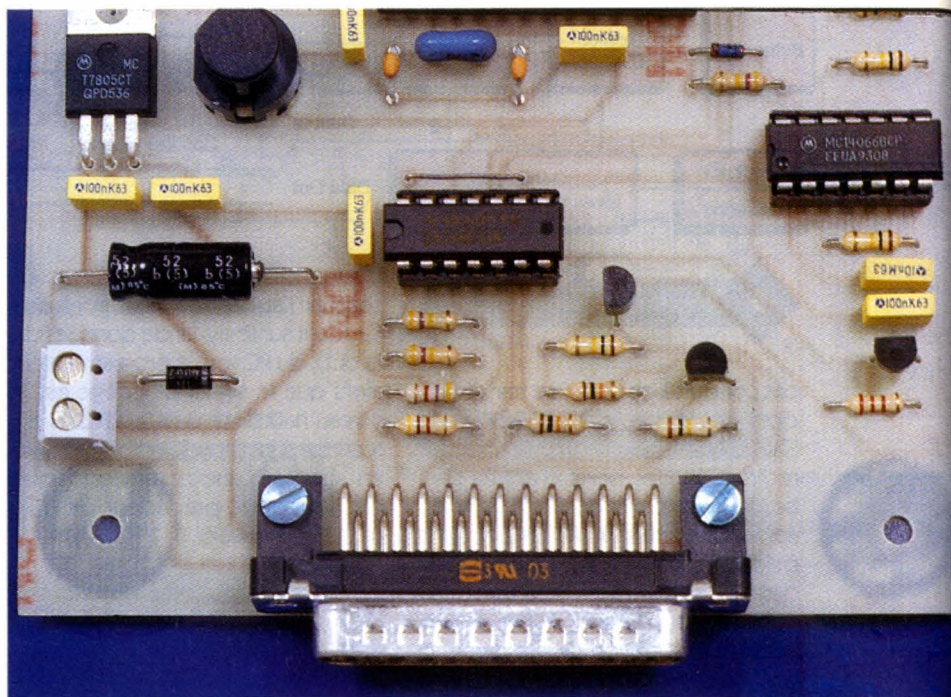
sert à protéger le programmeur contre toute inversion accidentelle. Le condensateur C₂ assure un meilleur filtrage amont de la tension, alors que C₁ et C₂, placés au plus du régulateur, permettent son découplage. La diode électroluminescente DS₁, traversée par un courant de 7mA limité par R₁, signale la mise sous tension du programmeur. Les

données d'entrée en provenance de l'imprimante sont bufferisées et mises en forme par les inverseurs 1 et 6 de IC₂ (74HC14). La résistance R₃, de tirage au 5V, fixe le potentiel d'entrée au niveau haut en l'absence de la connexion du programmeur à l'imprimante. La résistance R₂, en série sur l'entrée, limite le courant d'entrée sur la patte 1 de IC₂ lorsque le programmeur n'est plus sous tension, mais toujours connecté au PC. En effet, supposons Data In à 5V, le programmeur n'étant pas alimenté. La diode de clamp d'entrée du 74HC14 est alors passante et une tension résiduelle apparaît alors sur sa ligne d'alimentation positive. La structure de l'entrée horloge CLK est similaire à celle de l'entrée de données Data In. La sortie série Data Out est simplement bufferisée par les deux portes inverseuses 3 et 4 de IC₂ connectées en série.

Le ST6225 est cadencé à 4 MHz par le résonateur céramique Y₁. Les condensateurs C₇ et C₈ sont nécessaires pour assurer le bon fonctionnement de l'oscillateur.

Le condensateur C₄ de 100nF sert au découplage du ST6225.

Bien que le ST6225 génère son propre signal de remise à zéro à la mise sous tension (Power On Reset), sans adjonction de composant supplémentaire, C₄ est là pour garantir que la remise à zéro se produise même lorsque la tension d'alimentation s'accroît lentement. La charge de C₁₀, et ainsi la durée de la mise à zéro, s'effectue par la résistance interne du ST6225 de tirage à V_{cc}. Le bouton poussoir S₁ monté en parallèle sur C₁₀, permet de réinitialiser manuellement le ST6225. Etant don-



né que l'état des ports d'entrée-sortie n'est pas parfaitement défini pendant la phase de Reset, le circuit constitué par R₂₁, D₂, C₉, IC_{3A} et IC_{3B} sert à retarder l'application de la connexion des ports PA4 et PA5 sur les entrées de contrôle des tensions d'alimentation du PIC16C5X.

Les interrupteurs actifs IC_{3C} et IC_{3D} (4066) pilotent respectivement les tensions de programmation V_{dd} et V_{pp}. Leurs entrées de commande 6 et 12 sont connectées respectivement, via IC_{3B} et IC_{3A}, sur les ports de contrôle PA5 et PA4. Si l'entrée Reset du ST6225 est au niveau haut (Reset inactif), alors les switches IC_{3A} et IC_{3B} sont passants. Le réseau R₂₁ et C₉ a pour but de rendre passant IC_{3A} et IC_{3B} après que le ST6225 ait fini sa phase de réinitialisation.

La diode D₂, en parallèle avec R₂₁, permet la décharge rapide de C₉

L'INTERFACE PORT PARALLÈLE PC / PROGRAMMEUR.

lorsque l'interrupteur S₁ est fermé. D₂ est bloquée durant la charge de C₉. Les résistances R₁₁ et R₁₄ ramènent à la masse les entrées de contrôle 6 et 12 de IC_{3C} et IC_{3D} respectivement lorsque les switches IC_{3B} et IC_{3A} sont ouverts. La diode zener de précision IC₆, le LM336-5,0V, délivre la tension de référence de 5V servant à générer les deux tensions de programmation. Son courant est limité à 5mA environ par R₇. L'ensemble constitué par T₁, T₂, R₆, R₈, R₉ et R₁₀ sert à commuter la tension d'alimentation de 15V au circuit de génération des tensions de programmation.

Le transistor T₁ commute l'alimentation lorsque le transistor T₂ est passant. Son courant de base est limité par R₉. R₆ permet d'assurer un blocage parfait de T₁ lorsque T₂ est bloqué. T₂ est contrôlé directement par le port parallèle de l'ordinateur. Si le programmeur n'est pas connecté au port, alors T₂ est bloqué à cause de R₁₀ qui relie sa base et son émetteur. La seule façon de rendre T₂ passant lorsque le programmeur est relié au PC, consiste à placer un niveau haut sur la ligne de données D₂ (pin 4) et un niveau bas sur D₃ (pin 5) du connecteur d'imprimante. Le courant de base est limité par la résistance R₈. Toute autre combinaison logique sur D₂ et D₃ aura pour conséquence de bloquer T₂. Lorsque toutes les conditions sont réunies, c'est-à-dire T₁, T₂, IC_{3A} à IC_{3B} passants, la tension de référence 5V est appliquée sur les entrées non-inver-

T4

UTILISATION DU PORT A.

Bit	Signification
0	OSC1 : horloge PIC16C5X
1	TOCKI : contrôle PIC16C5X
2	Data In (du PC vers le programmeur)
3	Data Out (du programmeur vers le PC)
4	Contrôle de V _{pp} (tension de programmation 13V)
5	Contrôle de V _{DD} (tension d'alimentation 5V)
6	CLK : horloge en provenance du PC
7	Non utilisé



seuses du double amplificateur opérationnel IC₇ (LM358). Les résistances R₁₂ et R₁₅ fixent le potentiel de ces entrées à 0V lorsque IC_{3C} et IC_{3D} sont ouverts.

L'amplificateur opérationnel IC_{7A} est bufferisé par T₃ pour délivrer le courant nécessaire pour l'alimentation 5V du PIC16C5X. L'ensemble composé de IC_{7A} et T₃ est configuré en suiveur de tension par la liaison directe entre l'émetteur de T₃ et l'entrée non-inverseuse. Ainsi, l'émetteur de T₃ recopie la tension appliquée sur l'entrée non-inverseuse 3 avec, en plus, la possibilité de délivrer du courant. La diode électroluminescente DS₂ alimentée via R₁₃ signale la présence de la tension d'alimentation du PIC16C5X. La tension de programmation VPP de 13V est obtenue par l'ensemble IC_{7B}, T₄, R₁₆ et R₁₈. L'amplificateur opérationnel IC_{7B} est bufferisé par T₄. La contre-réaction réalisée par les résistances R₁₆ à R₁₈ donne un gain à l'ensemble d'exactement 2,6, c'est-à-dire 13,0V/5,0V.

La seule combinaison simple et minimale de résistances de la série E12 permettant d'obtenir ce gain, consiste à placer en série R₁₇ et R₁₈ avec la même valeur de 12 k Ω , et de donner à R₁₆ la valeur de 15 k Ω . La diode électroluminescente DS₃ alimentée via R₁₉ signale la présence de la tension de programmation. La résistance tampon R₂₀ de faible valeur, 47 Ω , sert à limiter les pointes de courant. Les signaux de programmation du PIC16C5X sont connectés

aux pattes portant le même nom pour chacun des boîtiers DIL18 et DIL28. Le numéro des pattes étant différent, il nous a semblé plus simple de prévoir l'emplacement pour chacun des boîtiers et d'assurer la connectique au niveau du circuit imprimé.

Le prix à payer pour la simplicité du schéma se retrouve par une légère complication du circuit imprimé. Après ces explications sur le fonctionnement du programmeur, nous pouvons passer à sa réalisation pratique.

Réalisation

L'ensemble du montage tient sur un unique circuit imprimé. Son dessin est donné sur la **figure 8**. Il devra être réalisé avec le plus grand soin possible à cause de la largeur réduite de la plupart des pistes en 0,3mm et de leur densité élevée, notamment sous le ST6225. Toutes les pastilles seront percées à l'aide d'un foret de 0,8mm de diamètre, sauf celles du bornier d'alimentation CN₁, de la diode d'entrée D₁, de la capacité de filtrage C₂, du régulateur intégré IC₁ et du bouton poussoir S₁, qui seront percés avec un foret de 1 ou 1,2mm de diamètre.

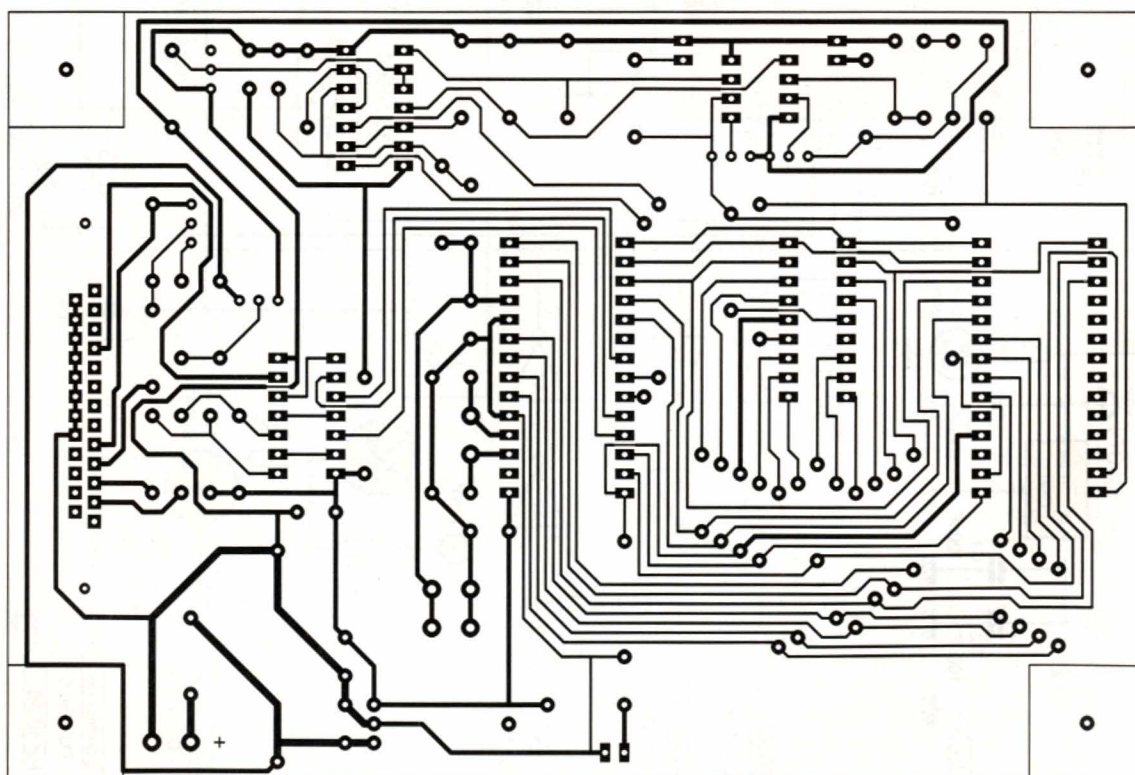
L'implantation du circuit imprimé, **figure 9**, sera grandement simplifiée en commençant par les composants les plus plats. Il est donc recommandé de débiter par l'implantation des 23 straps. Leur nombre élevé est dû

au choix de la double implantation retenue pour le PIC16C5X.

Une astuce pour placer rapidement et simplement les straps, consiste à disposer d'une bonne longueur de fil dénudé, suffisante pour les réaliser tous. Sur un emplacement de straps, faites traverser une extrémité du fil du côté soudure vers le côté composant, puis à l'autre extrémité du strap, faites passer le fil du côté composant vers le côté soudure. Soudez l'extrémité libre, coupez le surplus de fil au raz de la soudure. Servez-vous de l'autre extrémité du fil pour tirer, avec une pince si nécessaire pour tendre et plaquer le strap. Attention à ne pas le casser en tirant trop fort. Guidez le strap si nécessaire. Lorsque tous les straps sont implantés, passer aux résistances, diodes, régulateur intégré couché, supports de circuits intégrés (tous dans le même sens), condensateurs, résonateur céramique, transistors, LED et borniers. Attention à bien respecter le sens des transistors et des LED. Veillez à bien planter un connecteur mâle DB25, car un connecteur femelle ne permettrait pas le fonctionnement du montage. Le ST6225 sera programmé avec le contenu du fichier PROPIC0.HEX que vous pourrez vous procurer par téléchargement sur les serveurs Minitel et Internet. Le fichier source avec l'extension ASM est également

8

CIRCUIT IMPRIMÉ SIMPLE FACE
VU CÔTÉ CUIVRE.



disponible. Si vous n'avez pas la possibilité de télécharger les fichiers, vous pouvez adresser une demande à la rédaction en joignant une disquette formatée, accompagnée d'une enveloppe self-adressée convenablement affranchie.

Test du programmeur

Vérifiez le sens des composants polarisés (CI, diodes, transistors, condensateurs), les soudures, la présence de tous les straps, les valeurs des résistances. Retirez l'ensemble des circuits intégrés de leurs supports et appliquez la tension d'alimentation de 15V. Vérifiez alors la présence du 5V sur la patte 1 du support du ST6225 (IC₄), la patte 14 du support du 74HC14 (IC₂) et la patte 14 du support du 4066 (IC₃). Si ce test est correct, continuez, sinon vérifiez de nouveau votre circuit. Appliquez maintenant sur la patte 4 du connecteur d'imprimante, à l'aide d'un grip-fil par exemple, une tension comprise entre 15V et 5V, et placez la patte 5 à la masse. Vérifiez que vous avez bien 5,0V aux bornes du LM336-5,0V (IC₆) et que vous retrouvez votre tension d'alimentation, 15V moins 0,6V environ, sur la patte 8 du support du LM358 (IC₇). Débranchez l'alimentation, mettez en place le LM358 (IC₇) et rebran-

chez. Conservez les grip-fils sur le connecteur d'imprimante. Placez maintenant un strap dans les contacts 8 et 9 du support du 4066 (IC₃). La LED orange doit s'allumer. Vérifiez la présence du 5,0V sur la patte 14 de IC₅ et sur la patte 2 de IC₈. Branchez à présent le strap entre les contacts 10 et 11 du support 4066 (IC₃). La LED rouge doit s'allumer. Vérifiez la présence du 13,0V sur la patte 4 du support de IC₅ et sur la patte 28 du support de IC₈. Tous ces tests s'étant déroulés avec succès, vous pouvez mettre en place les circuits intégrés dans leurs supports après avoir débranché l'alimentation. Votre programmeur est prêt à être utilisé. Nous pouvons à présent aborder l'aspect programmation depuis le PC.

Utilisation du programmeur

Connectez le programmeur au port parallèle de votre PC à l'aide d'un câble d'extension DB25 mâle-femelle.

Alimentez le programmeur avec son alimentation de 15V. Lancez le programme PROPIC0.EXE, que vous vous serez procuré auprès des serveurs d'Electronique Pratique (3615 EPRAT ou sur Internet <http://www.EPRAT.com>) ou auprès de la rédaction.

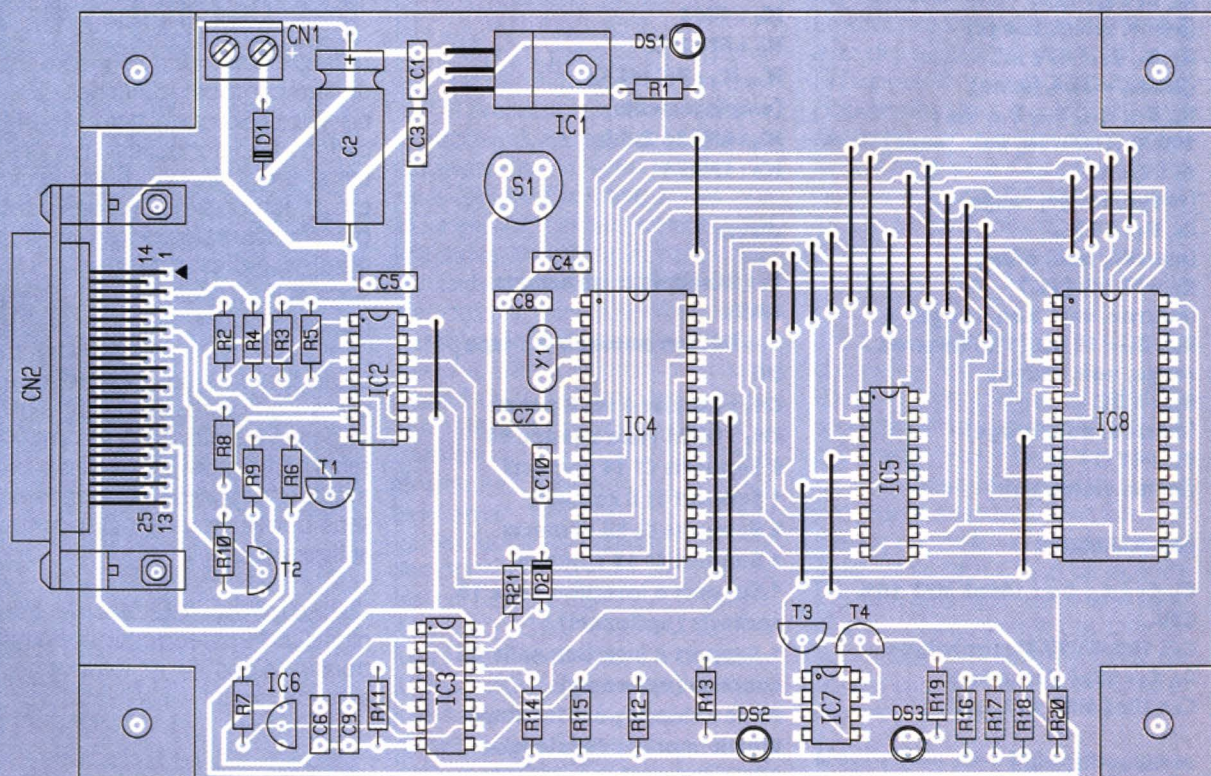
Dès à présent, vous pouvez insérer le PIC16C5X sur son support adéquat, les LED orange et rouge étant éteintes. Le programme commence par vous demander le nom du fichier à transférer. Le programme doit être au format intel HEX qui est très répandu et produit par la plupart des assembleurs. Donnez le chemin complet suivi du nom du fichier avec son extension (.HEX). Attention, aucune extension par défaut n'est prise en compte. Si le chargement du fichier s'est bien déroulé, une fenêtre indique le contenu des adresses de base et le nom du fichier.

Dans le cas contraire le programme vous demande à nouveau le nom du fichier. Vous choisissez ensuite le port d'imprimante sur lequel le programmeur est connecté, le type de microcontrôleur PIC16C5X que vous voulez programmer, le type d'oscillateur qui cadence le microcontrôleur en cours de programmation, l'utilisation du watchdog.

Dès que vous avez répondu à cette dernière question, le programme commence par vérifier que le PIC16C5X inséré est bien effacé. Si

9

UNE IMPLANTATION QUI RESTE AÉRIÉE MAIS AVEC DE NOMBREUX STRAPS À INSÉRER EN PRIORITÉ.



tel est le cas, il procède au transfert du programme, sinon il vous demande si vous voulez procéder quand même à la programmation. Afin que le ST6225 puisse suivre la cadence du PC auquel il est connecté, une procédure de temporisation calibrée sur la vitesse du PC a été rajoutée au programme. Le programme ne permet pas de protéger le code à programmer, de façon irréversible même sur la version EPROM, pour éviter toute fausse manœuvre désastreuse. Toutefois, le source du programme est disponible et une modification mineure permet de rajouter cette option.

Conclusion

Vous voilà en présence d'une réalisation qui devrait vous rendre de nombreux services pour développer vos propres applications sur la base de microcontrôleurs puissants de la famille PIC16C5X.

Vous pourrez vous procurer les fichiers sources du programme du ST6225 et du programme PC écrit en Turbo-Pascal, pour les étudier et fai-

re vos propres arrangements ainsi que l'ensemble des logiciels. Nous remercions la société Microchip pour son aide précieuse.

Microchip

Arizona Microchip Technology
2 rue du Buisson aux Fraises
91300 Massy - France

Bibliographie:

Christian Tavernier

- Les Microcontrôleurs, description et mise en œuvre
- Les Microcontrôleurs PIC, description et mise en œuvre
- Les Microcontrôleurs PIC, applications.

Ces trois ouvrages sont édités par Dunod.

Signalons enfin qu'après accord avec Microchip, le package logiciel MPASM (assembleur universel pour les PIC 16/17 XX) sera disponible sur notre serveur Internet uniquement.

Vous y trouverez les modalités opératoires, configurations matérielle et logicielle requises, ainsi que la littérature disponible.

Nomenclature

résistances (1/4W)

R₁, R₁₃ : 470 Ω
(jaune, violet, marron)
R₂, R₄ : 4,7 kΩ
(jaune, violet, rouge)
R₃, R₅, R₂₁ : 470 kΩ
(jaune, violet, jaune)
R₆, R₁₀, R₁₁, R₁₂, R₁₄, R₁₅ :
100 kΩ (marron, noir, jaune)
R₇ : 2,2 kΩ
(rouge, rouge, rouge)
R₈, R₉ : 10 kΩ
(marron, noir, orange)
R₁₆ : 15 kΩ (1%)
(marron, vert, noir, rouge)
R₁₇, R₁₈ : 12 kΩ (1%) (marron,
rouge, noir, rouge)
R₁₉ : 1 kΩ
(marron, noir, rouge)
R₂₀ : 47 Ω
(jaune, violet, noir)

condensateurs

C₁, C₃ à C₆, C₁₀ : 100nF MKT 10% 63V
C₂ : 100μF/25V Electrolytique
C₇, C₈ : 22pF Céramique
C₉ : 10nF MKT 10% 63V

semiconducteurs

D₁ : 1N4001
D₂ : 1N4148

DS₁ : LED Verte Ø5mm
DS₂ : LED Orange Ø5mm
DS₃ : LED Rouge Ø5mm
T₁ : BC557
T₂ à T₄ : BC547
IC₁ : LM7805CT
IC₂ : 74HC14
IC₃ : 4066
IC₄ : ST62E25
IC₅, IC₈ : PIC16C5X
(emplacements)
IC₆ : LM336 Z-5.0
IC₇ : LM358

divers

Y₁ : Résonateur céramique 4MHz
S₁ : Bouton poussoir ITT type D6
CN₁ : Bornier à vis 2 points
CN₂ : DB25 Mâle coudée 90°
2 Supports CI 14 contacts
1 Support CI 8 contacts
2 Supports CI 28 contacts
1 Support CI 18 contacts
1 Support à insertion nulle 18 contacts (optionnel)
1 Support à insertion nulle 28 contacts (optionnel)
Fil de câblage pour les straps
Circuit imprimé simple face 155 x 105 mm²
4 pieds

JEUX DE LUMIÈRE



Du gradateur sensitif ou télécommandé au laser, découvrez des montages faciles à réaliser vous-même.

Les jeux de lumière sont souvent un tremplin pour les jeunes électroniciens. Sans négliger les applications traditionnelles: modulateurs, stroboscopes, chenillards, etc., l'auteur propose dans cet ouvrage des réalisations plus originales, telles qu'un laser de spectacle, facilement réalisables par un débutant.

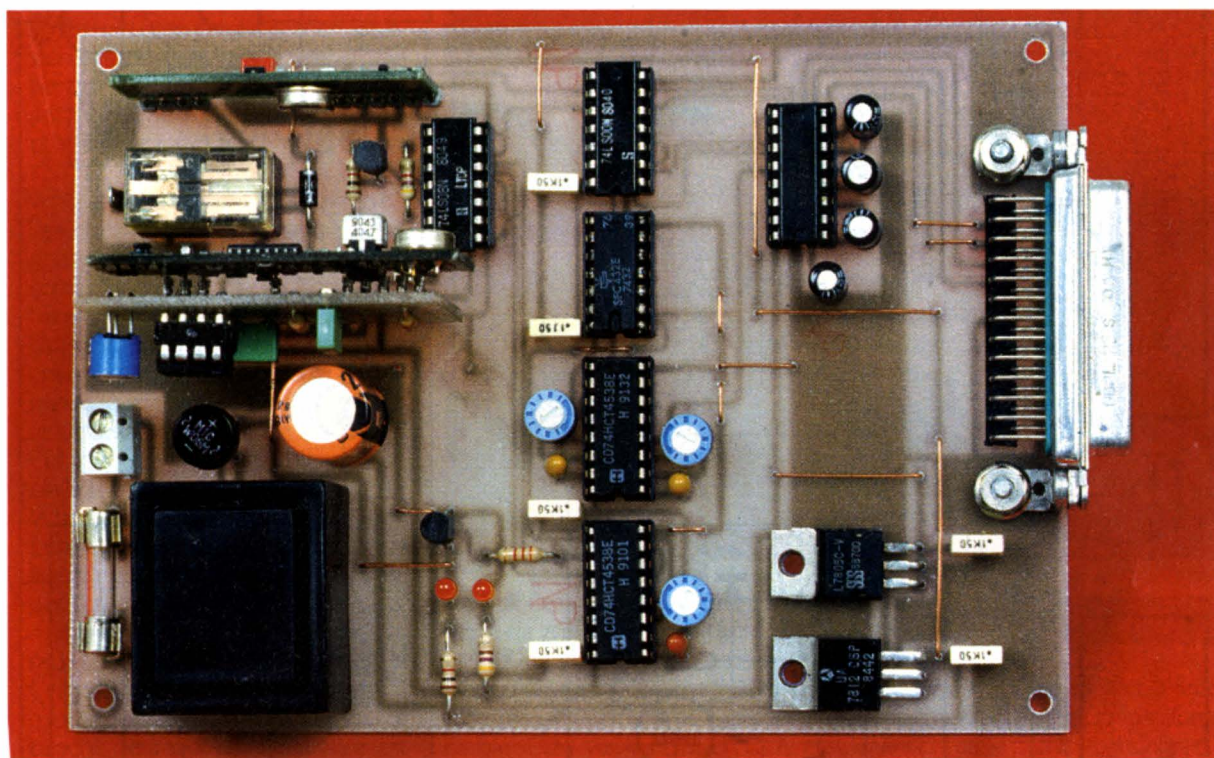
Les débutants ou les électroniciens conformés pourront ainsi apprendre à utiliser des composants particuliers: diodes laser ou moteurs pas à pas ou continus, sans oublier tous les dispositifs antiparasites.

L'utilisation de l'interface Centronics d'un PC et les possibilités des transmissions HF et infrarouges sont également exploitées.

Un volume broché de 242 pages, 148 F TTC.
Editions ETSF



RADIO



TRANSMISSION SÉRIE BIDIRECTIONNELLE H.F.

Il arrive qu'il soit nécessaire de procéder à un échange de données entre deux ordinateurs, ou entre un circuit à microprocesseur et un ordinateur. Dans ce cas se pose toujours le problème de la longueur de la ligne de transmission qui excède parfois la dizaine de mètres.

Le montage que nous proposons permettra, en half duplex, de s'affranchir de toute liaison filaire entre les deux systèmes.

Schéma de principe

Le schéma de principe de la platine est donné en **figure 1**. Bien qu'il soit, à première vue, d'une certaine complexité, cette dernière n'est qu'apparente. En effet, tous les circuits logiques ne sont utilisés que pour pallier "certains défauts" des modules émetteur et récepteur courants de marque MIPOT.

Ces défauts, bien que minimes, ont notablement compliqués la réalisation du système. Le premier est la nécessité de laisser s'écouler une durée relativement longue entre le moment où la broche 2 du module émetteur est mise au niveau haut (validation de l'émission) et le moment où le module est capable d'émettre les données qu'on lui transmet. Le second défaut concerne le récepteur. La broche 15, qui indique par un niveau haut (> 4,5V) la présence d'une porteuse, présente un niveau bas supérieur à 2,5V. Ce niveau rend ce signal inutilisable tel quel avec les circuits logiques. Ces détails étant signalés, passons au schéma de principe. La liaison à l'ordinateur PC s'ef-

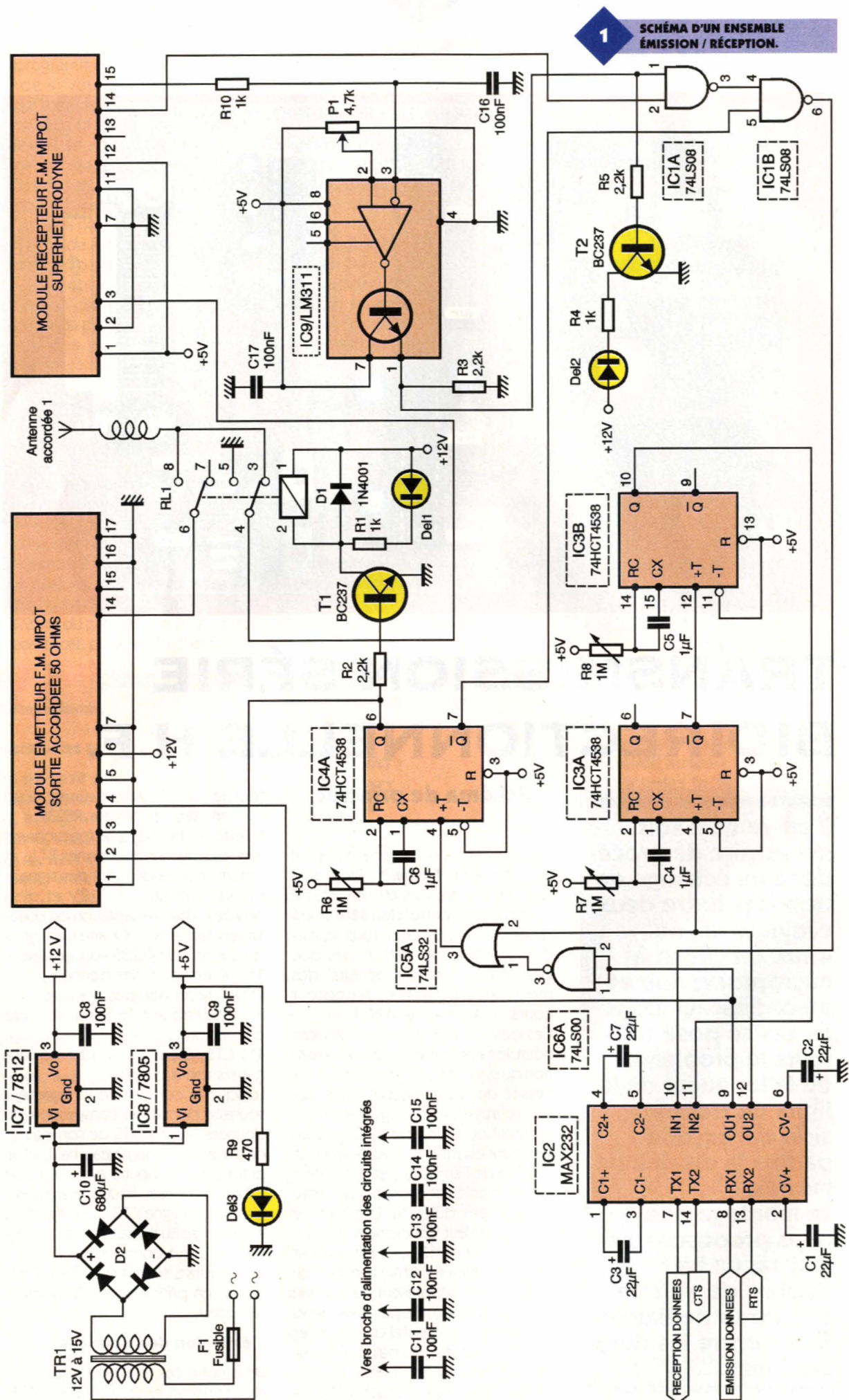
fectue par l'intermédiaire d'un convertisseur de niveaux RS232.

En effet, notre montage fonctionnant avec des signaux aux normes T.T.L., et l'interface série délivrant des signaux pouvant monter à + 12V et descendre à -12V, l'adaptation est absolument nécessaire. Quatre des lignes du connecteur RS232 sont utilisées : 1°) TX, émission des données, 2°) RX, réception des données, 3°) RTS, Request To Send (requête d'émission), 4°) CTS, Clear To Send (requête d'émission acceptée).

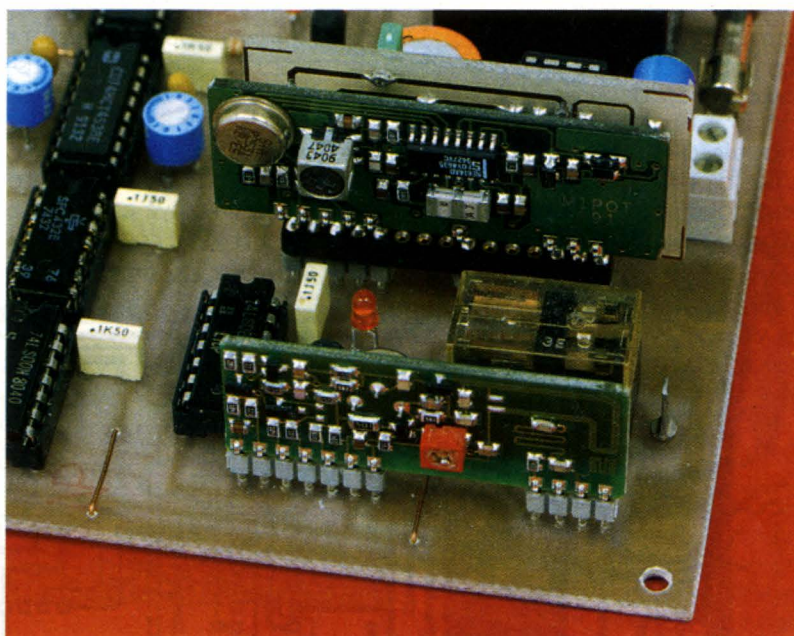
Lorsque le compatible PC émetteur souhaite débiter la transmission de données, la ligne RTS de son interface série passe au niveau haut, et la procédure ne pourra avoir lieu que lorsque un niveau haut aura été enregistré sur sa ligne CTS. A ce moment RTS repasse au niveau bas et la transmission peut commencer. L'impulsion positive sur la ligne CTS est envoyée, en principe, par l'ordinateur récepteur.

L'émission des données

Dans notre cas, il aurait été suffisant de connecter ensemble RTS et CTS.



Mais alors la transmission des données aurait débuter immédiatement, sans laisser le temps au module émetteur de se positionner en émission. Il a donc été nécessaire d'utiliser des temporisateurs. Ces derniers sont des monostables redéclenchant de type 74HCT4538 (IC₃ et IC₄). Le fonctionnement est le suivant : lorsque la ligne RTS passe au niveau haut, le front montant de ce signal déclenche IC₃A et IC₄A. A la sortie Q de ce dernier est connectée l'entrée 2 de validation d'émission du module émetteur. Cette sortie commute égale le transistor T₁ qui alimente le relais RL₁, relais qui connecte l'antenne à l'entrée de l'émetteur. Cet état est signalé par l'illumination de la LED connectée en parallèle sur la bobine du relais. La temporisation permettant au module de se positionner en émission est déterminée par les deux monostables IC₃A et IC₄B. IC₃A est déclenché sur le front montant du signal RTS. Sa sortie Q/passe au niveau bas. Lors de la remontée au niveau haut de cette broche, le second monostable est déclenché et sa sortie Q signale à l'ordinateur, par sa ligne CTS, que la transmission peut avoir lieu. La durée de fonctionnement des monostables



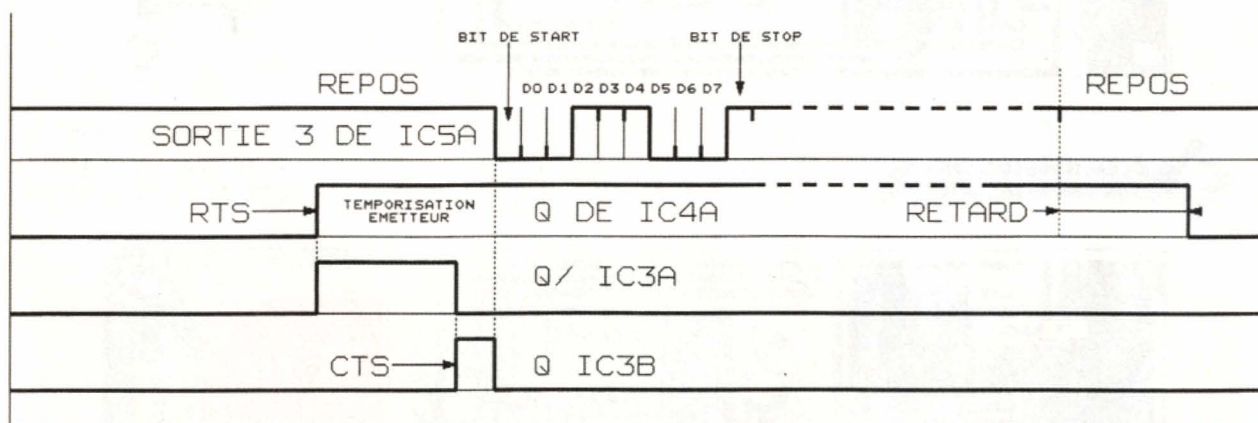
de 1 μ F. Ces valeurs permettent un réglage de la durée compris entre 8 ms et 1000 ms environ. Les données sont alors envoyées vers le module émetteur, mais également vers le monostable IC₄A, via les portes IC₅A et IC₆A. Le monostable étant de type redéclenchable, sa sortie Q se maintiendra au niveau haut tant que durera l'envoi des données, ce qui rend le

LES MODULES E / R.

récepteur. Les figures 2 et 3 représentent le diagramme de fonctionnement de cette partie du montage.

La réception des données

Le récepteur, en l'absence de porteuse, reçoit toute une myriade de



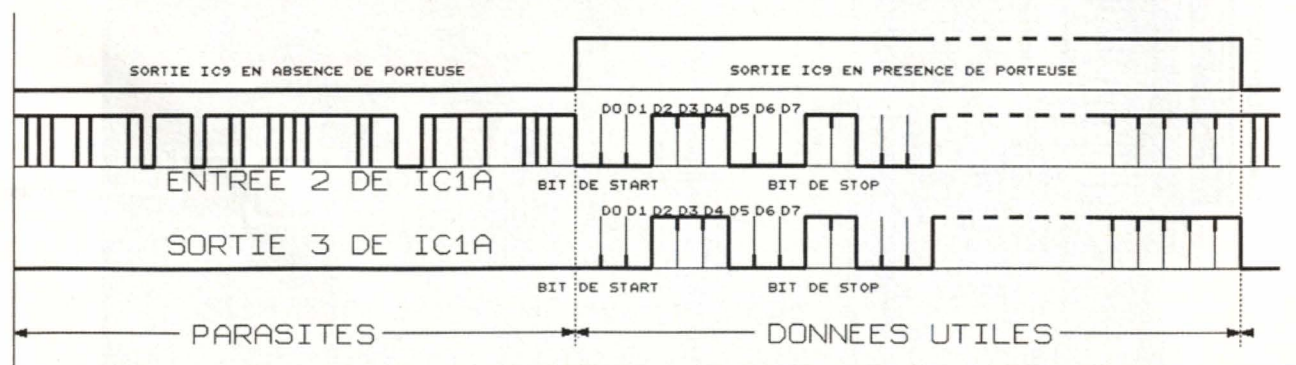
EMISSION DES DONNEES

est déterminée par les réseaux RC constitués par les résistances ajustables de 1 M Ω et les condensateurs

processus automatique. A la fin de la transmission, l'émetteur sera mis en veille et l'antenne sera connectée au

2/3

CHRONOGRAMMES DE FONCTIONNEMENT EN ÉMISSION ET RÉCEPTION.

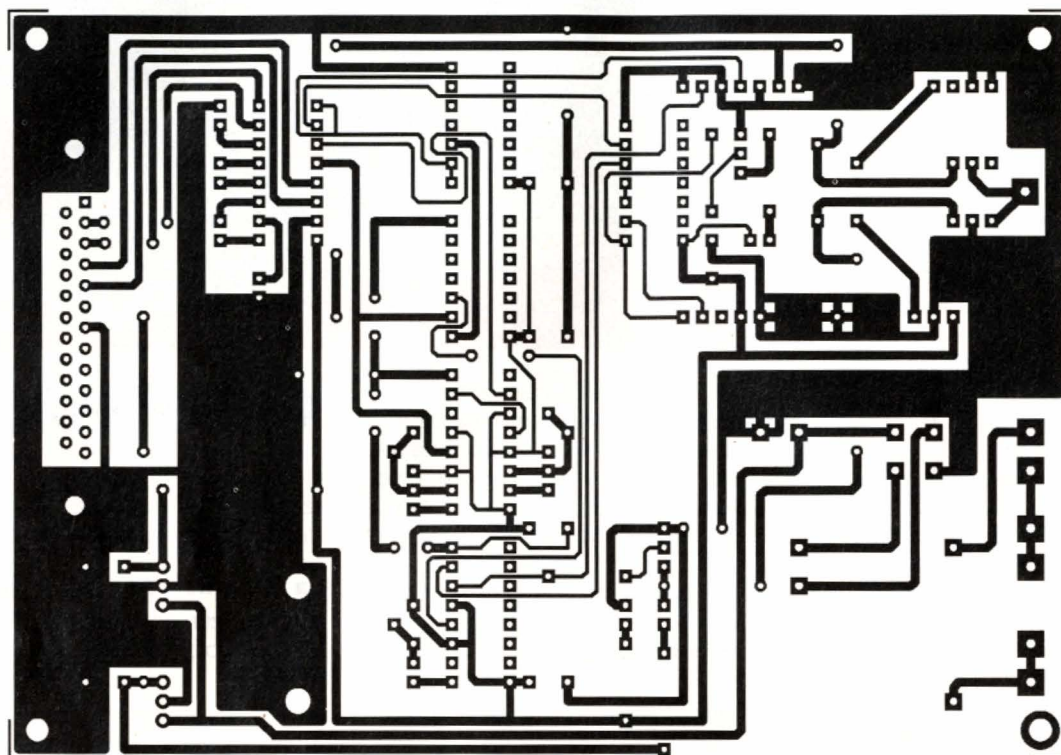


RÉCEPTION DES DONNEES

parasites qui sont interprétés par le PC comme des données. On voit alors s'afficher sur son écran toute une série de signes incohérents, ce qui est franchement gênant. Le module dispose heureusement d'une broche de détection de porteuse que nous allons utiliser afin d'éliminer ces parasites. Mais, com-

me nous l'avons signalé plus haut, les niveaux ne sont pas entièrement compatibles avec la norme T.T.L. Aussi, nous avons dû prévoir un comparateur rapide dont le rôle sera de détecter d'une façon sûre la présence ou l'absence d'une porteuse. Le comparateur employé est de type LM311 dont la sortie commande un

Lorsque la porteuse n'est pas présente, un niveau bas est appliqué sur l'une des entrées de la porte AND IC_{1A}, dont la seconde entrée est connectée à la broche de sortie des données du récepteur. La porte est donc bloquée et aucun signal indésirable ne peut parvenir à l'interface RS232. Au contraire, lorsque

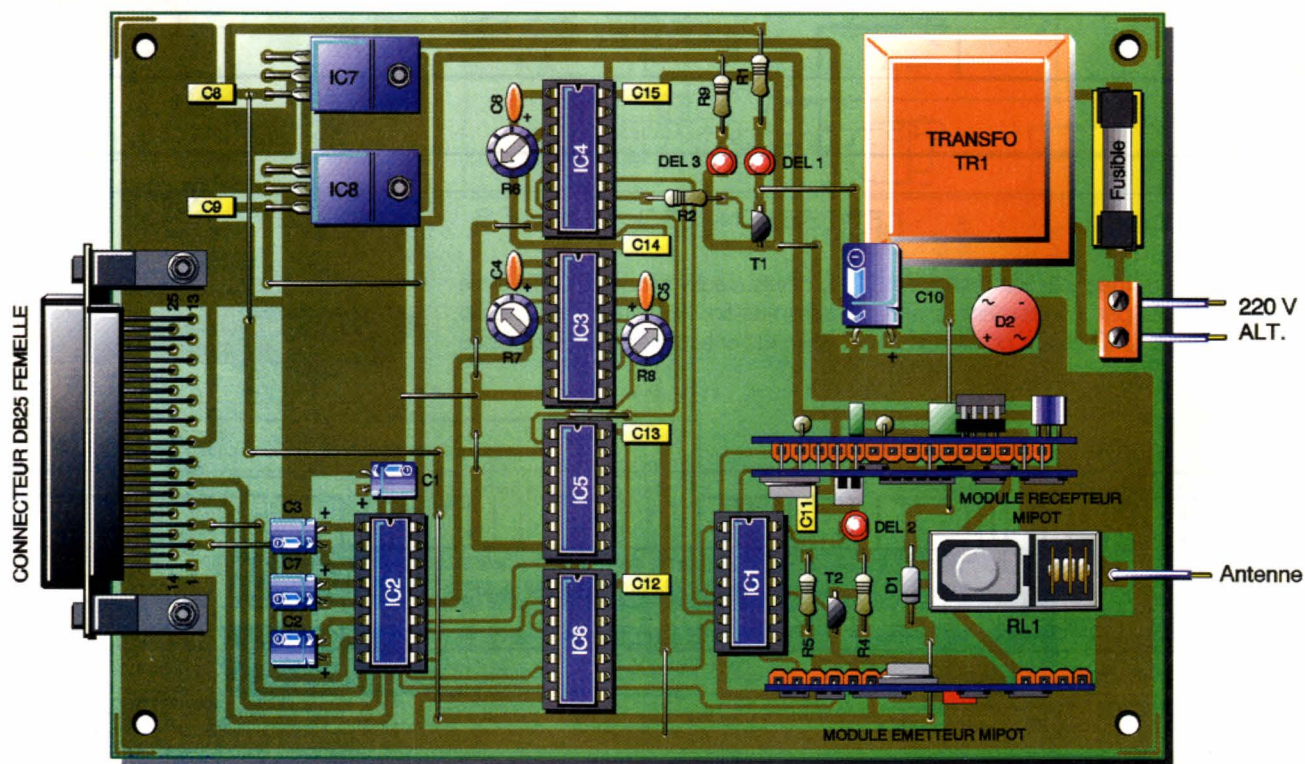


4/6

LA CARTE VUE CÔTÉ CUIVRE
AVEC SON IMPLANTATION.

transistor interne. Le niveau de déclenchement est fixé par la résistance ajustable P_1 d'une valeur de $4,7\text{ k}\Omega$.

l'émetteur est sous tension, la broche 15 du module passe à l'état haut et la sortie du comparateur fait



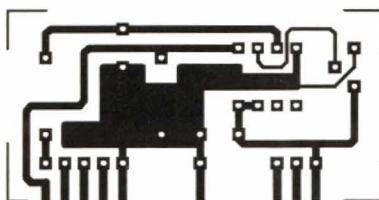
de même. La porte AND débloquée peut laisser passer les signaux reçus. La seconde porte AND IC_{1B} est utilisée afin de stopper tout signal lorsque l'émetteur est en fonctionnement. Pour cela, la broche Q/du monostable utilisée pour la validation de l'émission est connectée à l'une des entrées de la porte, y appliquant un niveau bas. Le transistor T₂ alimente une LED qui signale par son illumination la réception d'une porteuse.

L'ensemble du montage nécessite deux tensions d'alimentation : + 5V pour toute la partie logique et le module récepteur, et + 12V pour le fonctionnement de l'émetteur. Ces deux tensions sont fournies par un transformateur dont le secondaire délivre une tension de 12V à 15V. La tension redressée et filtrée est régulée par les circuits 7805 et 7812. Une LED signale la mise sous tension du circuit.

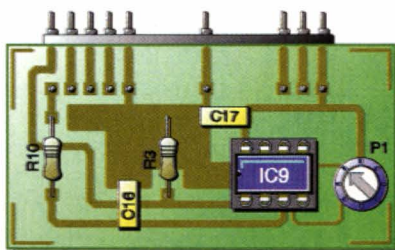
Est-ce bien utile de rappeler qu'il sera nécessaire de disposer de deux platines identiques afin d'établir une liaison bidirectionnelle ?

Réalisation pratique

Les dessins des circuits imprimés sont donnés en **figures 4 et 5**. Le plus petit des circuits imprimés supporte le module récepteur MIPOT et le comparateur LM311 et ses composants périphériques. Il a été conçu de telle sorte que ses broches de sortie correspondent exactement aux broches du module. Il pourra ainsi être utilisé dans



5/7 LE PETIT MODULE COMPAREUR QUI S'ASSOCIE AU RÉCEPTEUR.



d'autres montages. Ses broches seront constituées de picots provenant d'un morceau de barrette sécable. On utilisera les schémas d'implantation des composants représentés en **figures 6 et 7** afin de câbler les platines. Le câblage débutera par la mise en place des nombreux straps. Tous les circuits intégrés seront placés sur des supports. Nous avons directement soudé les trois LED sur le circuit imprimé afin de faciliter les essais. Le montage étant destiné à être placé dans un coffret, ces trois LED devront être apparentes.

On les reliera donc à la platine à l'aide de fil de câblage. Les modules MIPOT seront insérés dans des supports marguerite prélevés sur un

morceau de barrette sécable. Il est inutile de prévoir un dissipateur pour les régulateurs de tension, ces derniers ne devant débiter qu'un faible courant.

Les essais

Avant de placer les circuits intégrés sur leur support, on procédera aux essais de l'alimentation qui devra fournir des tensions de + 5V et + 12V. On réalisera le câble de liaison au PC et on effectuera la connexion.

Les résistances ajustables R₆, R₇ et R₈ seront réglées en position médiane. Celle ajustant le niveau de basculement du comparateur aura son curseur positionné aux 3/4 de sa course vers le + 5V. Les deux platines sous tension, on retouchera ce dernier réglage jusqu'à ce que les LED DELA s'illuminent. A ce moment des caractères devront s'inscrire sur les écrans. On reviendra en arrière jusqu'à ce que les deux LED s'éteignent.

Les essais pourront être effectués sous WINDOWS. On passera en mode terminal sur les deux ordinateurs et un envoi de fichier sera demandé. Le relais de la platine qui transmettra les données devra immédiatement coller, alors que la LED de la platine réceptrice devra s'illuminer, signalant la réception de la porteuse.

P. OGUIC

Nomenclature pour un émetteur-récepteur

Résistances

R₁, R₄, R₁₀ : 1 kΩ
(marron, noir, rouge)
R₂, R₃, R₅ : 2,2 kΩ
(rouge, rouge, rouge)
R₆, R₇, R₈ : résistances ajustables 1 MΩ
R₉ : 470 Ω
(jaune, violet, marron)
P₁ : résistance ajustable 4,7 kΩ

Condensateurs

C₁, C₂, C₃, C₇ : 22 µF/16V radial
C₄, C₅, C₆ : 1 µF
C₈, C₉, C₁₁ à C₁₇ : 10 nF à 150 nF
C₁₀ : 680 µF/25V

Semi-conducteurs

T₁, T₂ : BC237 ou PN 2222A
D₁ : 1N4001
D₂ : pont redresseur B80C1000 ou W06M
DEL₁, DEL₂, DEL₃ : diodes électroluminescentes rouges

Circuits intégrés

IC₁ : 74LS08
IC₂ : MAX232
IC₃, IC₄ : 74HCT438
IC₅ : 74LS32
IC₆ : 74LS00
IC₇ : régulateur de tension 7812
IC₈ : régulateur de tension 7805
IC₉ : LM311

Divers

1 module émetteur MIPOT F.M. 12V

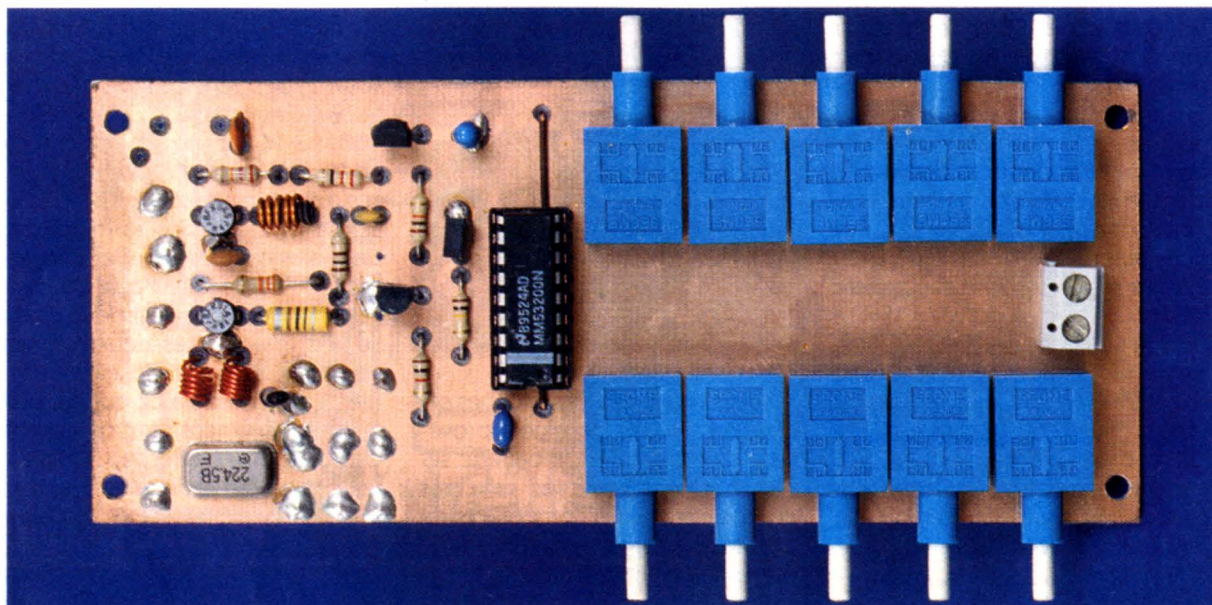
1 module récepteur MIPOT F.M. 5V

1 relais HB2 NATIONAL bobine 12V
3 supports pour circuit intégré 16 broches
3 supports pour circuit intégré 14 broches
1 support pour circuit intégré 8 broches
1 morceau de barrette sécable support marguerite
1 morceau de barrette sécable à picots
1 transformateur 220V/15V 150 mA
1 porte-fusible
1 fusible rapide 100 mA
1 antenne accordée
1 connecteur DB25 femelle soudé pour circuit imprimé
1 bornier à vis à deux points



RADIO

TÉLÉCOMMANDE H.F. UNIVERSELLE



La télécommande, dont nous proposons la réalisation, permettra de disposer de 10 canaux de réception pouvant être utilisés pour n'importe quelle fonction de commutation, la sortie de chaque récepteur étant un relais.

La portée de l'ensemble est suffisante pour couvrir la surface d'une habitation, et ce, sur deux niveaux.

L'émetteur

Le schéma de principe de l'émetteur est donné en **figure 1**. Plutôt que d'utiliser un module hybride d'émission (de marque MIPOT ou AUREL), nous avons opté pour la réalisation

d'un émetteur en technologie discrète, ce qui apporte deux avantages: tout d'abord le prix qui se trouve au minimum divisé par deux, et ensuite une plus grande puissance transmise à l'antenne, donc une portée accrue du système.

Etant donné que l'ensemble de télécommande comporte 10 canaux, il a évidemment été nécessaire de coder l'émission.

Ce codage est assuré par un circuit intégré de type MM53200, circuit maintenant bien connu de nos lecteurs. La durée d'un cycle est déterminée par le réseau RC (R_5 de 100 kohms et C_6 de 220 pF) connecté entre + alimentation, masse, et entrée OSC du circuit.

Le choix du canal s'effectue par l'appui d'un bouton poussoir (parmi dix) qui connecte dans le même temps l'une des broches de codage du MM53200 à la masse et la tension d'alimentation au circuit.

La télécommande ne consomme donc qu'un courant négligeable lorsqu'aucune touche n'est sollicitée. Le signal codé est disponible en broche 17 (OUT). Il commande le transistor T_4 qui commande à son tour T_1 .

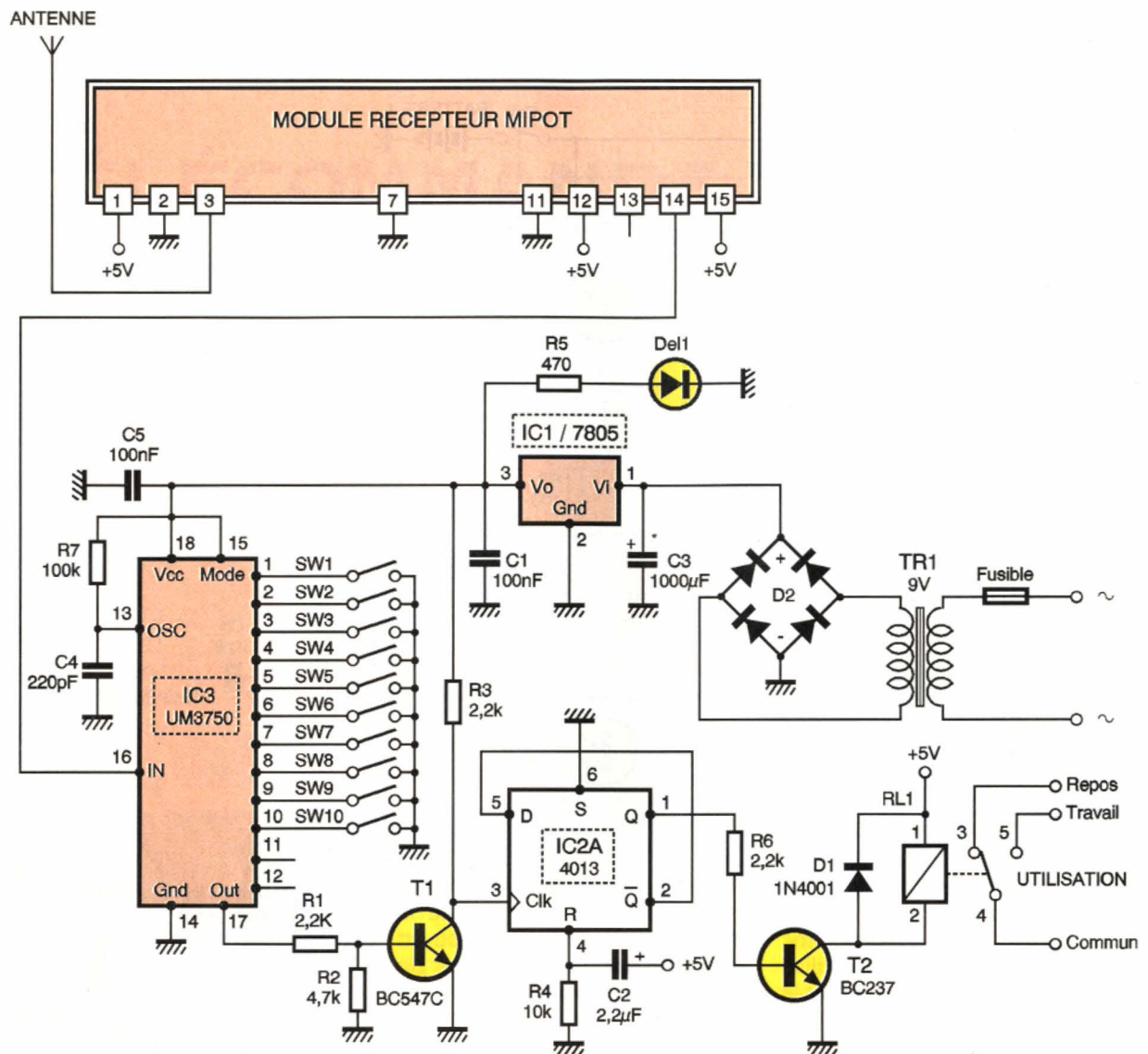
Ce dernier permet d'alimenter l'émetteur proprement dit. Celui-ci est constitué par les transistors T_2 et T_3 , respectivement de type BFR91A et BFR96S. Le transistor T_2 est l'oscil-

lateur pilote dont la fréquence de fonctionnement est fixée par le résonateur à ondes de surface de type SAR224 (SAW). Cette fréquence est de 224,5 MHz. La mise en oscillation du circuit est produite par les deux selfs (L_1 et L_2) qui introduisent le déphasage nécessaire.

Les deux selfs seront fabriquées de la manière suivante: on utilisera un mandrin de 3 mm de diamètre (queue de forêt de perçage) sur lequel on bobinera 6 à 7 spires de fil émaillé de 3/10^{ème} de mm que l'on espacera ou non pour un fonctionnement correct.

Le courant de collecteur de T_2 est fixé par la résistance R_3 d'une valeur de 100 ohms et la base est polarisée par R_1 (33 k Ω). La self L_4 , insérée après R_3 , joue le rôle de self de choc et présente une haute impédance à la fréquence de fonctionnement, sa valeur est d'environ 10 μ H.

Le signal disponible sur le collecteur de T_2 est relativement faible (environ 4 dBm) et il est nécessaire de l'amplifier afin de pouvoir dispenser une puissance suffisante à l'antenne (environ +15 dBm). Cette amplification est assurée par le transistor T_3 . La liaison entre T_2 et T_3 est capacitive (C_4 de 100 pF). La résistance R_4 de 39 Ω fixe le courant consommé par cet étage. La self L_5 sera constituée par 5 spires de fil émaillé de 6/10 à 7/10^{ème} de mm bobiné sur un diamètre de 3 mm.



2

SCHÉMA D'UN RÉCEPTEUR.

nécessaire au fonctionnement du montage. Une LED signale le fonctionnement de l'alimentation.

LA PLATINE RÉCEPTEUR.

Réalisation pratique

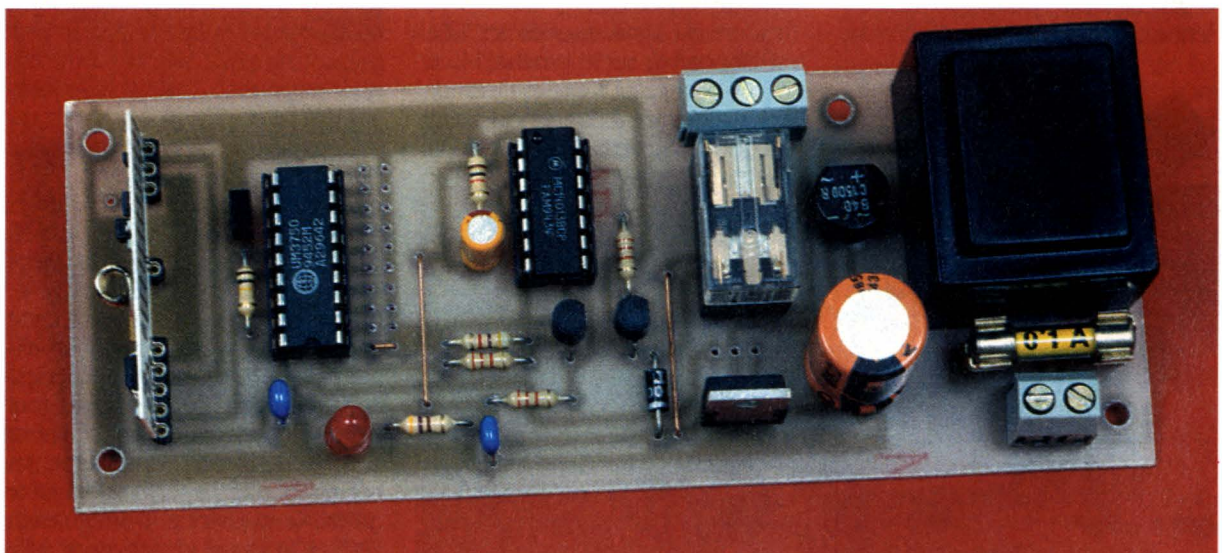
L'émetteur

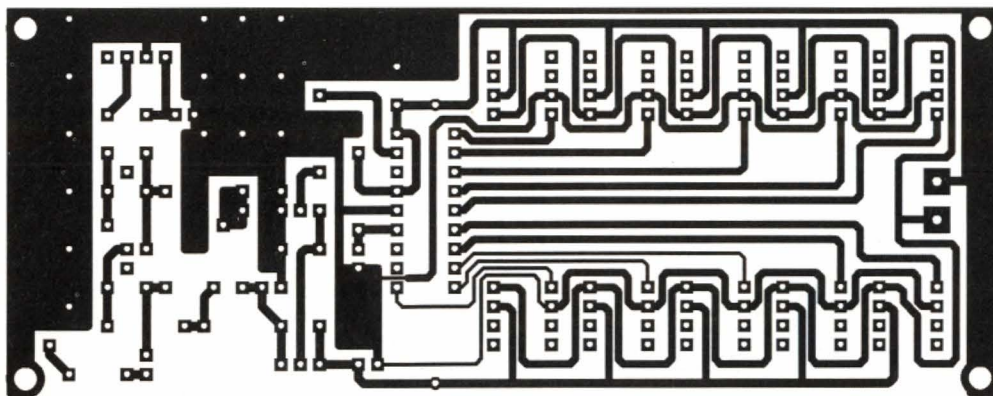
Le dessin du circuit imprimé de l'émetteur est donné en **figure 3**, et l'on utilisera le schéma d'implantation des composants de la **figure 4** afin de câbler la platine.

Afin d'obtenir un fonctionnement correct, étant donné la fréquence de

fonctionnement du circuit, un plan de masse recouvre toute la partie supérieure du circuit imprimé.

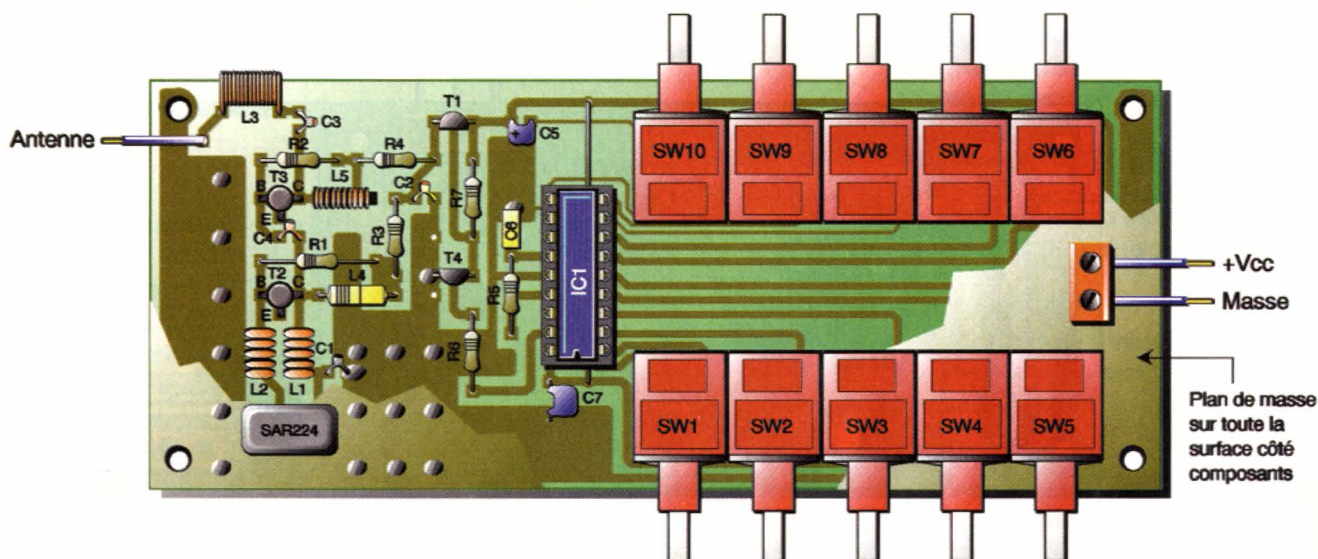
Pour l'obtenir, on utilisera de l'époxy présensibilisé double face dont seule la face inférieure sera insolée. Les trous devant laisser passer les queues des composants seront fraisés afin qu'il ne se produise aucun contact avec cette face métallisée. La partie basse de la platine, à l'en-





3/4

CIRCUIT IMPRIMÉ ET IMPLANTATION DE L'ÉMETTEUR.
LA FACE SUPÉRIEURE, CÔTÉ COMPOSANTS, EST UN PLAN DE MASSE
AVEC FRAISAGE DE TOUTES LES TRAVERSÉES NON À LA MASSE.



droit où se situe la partie émission proprement dite, comporte également un plan de masse au verso. Cette partie et le plan de masse supérieur seront à relier électriquement à l'aide de traversées soudées de part et d'autre du circuit imprimé. Les composants devant être connectés à la masse seront aussi

soudés de part et d'autre. Le circuit intégré IC₁ sera placé sur un support. Avant de souder ce dernier, on plantera le seul strap du montage, celui-ci étant situé sous IC₁.

On prendra garde à ne pas trop chauffer les deux transistors H.F. lors de leur montage sur le circuit. L'arrivée de l'alimentation s'effectuera sur un bornier à vis à deux points.

Le récepteur

Son circuit imprimé est représenté en **figure 5**. Le dessin d'implantation qui sera utilisé lors du câblage est donné en **figure 6**.

On débutera le câblage par la mise en place des straps (deux) et des plus petits composants, ce qui facilitera nettement la réalisation.

Les circuits intégrés IC₂ et IC₃ seront placés sur des supports. Le module MIPOT sera enfilé sur des morceaux de barrette sécable. Le transformateur, ainsi que le condensateur de filtrage, le relais et les borniers à vis seront soudés en dernier lieu.

Les commutateurs SW₁ à SW₁₀ seront constitués de picots sur les-

quels on enfichera un cavalier de type informatique. Le régulateur de tension 7805 sera fixé sur un petit morceau d'aluminium qui servira de dissipateur thermique.

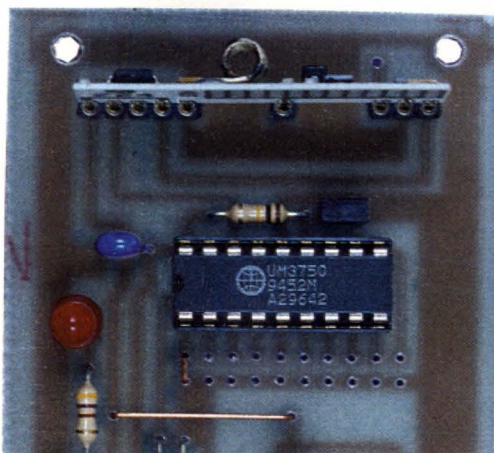
Les essais

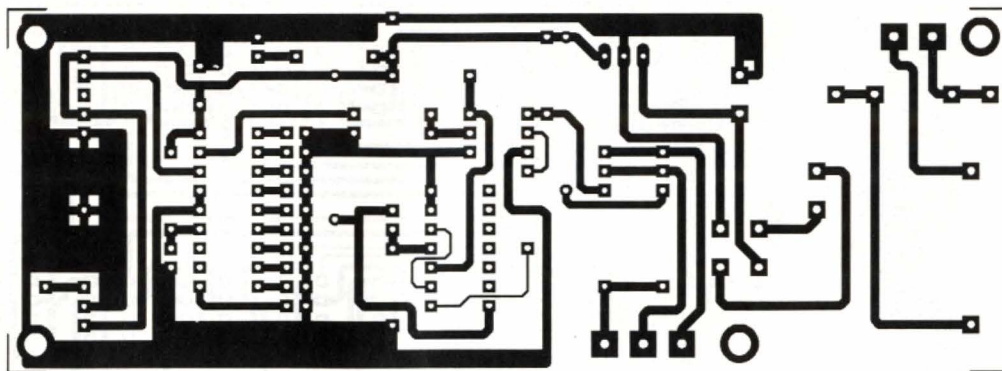
Les essais débuteront par la platine récepteur. Avant de placer les composants et le module MIPOT sur leur support, on vérifiera le bon fonctionnement de l'alimentation secteur (+5V à +/- 5%).

Hors tension, on pourra insérer les composants sur le circuit. Il faudra positionner un des cavaliers (SW₁ par exemple). On alimentera l'émetteur, et en appuyant sur le poussoir SW₁, le relais du récepteur devra coller.

Si rien ne se produit, il faudra tout d'abord vérifier, à l'aide d'un oscilloscope, si un signal est disponible en broche 14 du module récepteur MIPOT. Si aucun signal n'est visible, c'est que l'émetteur ne fonctionne pas. Il y aura dans ce cas, 90% de chance que ce soit le résonateur à ondes de surface qui refuse de dé-

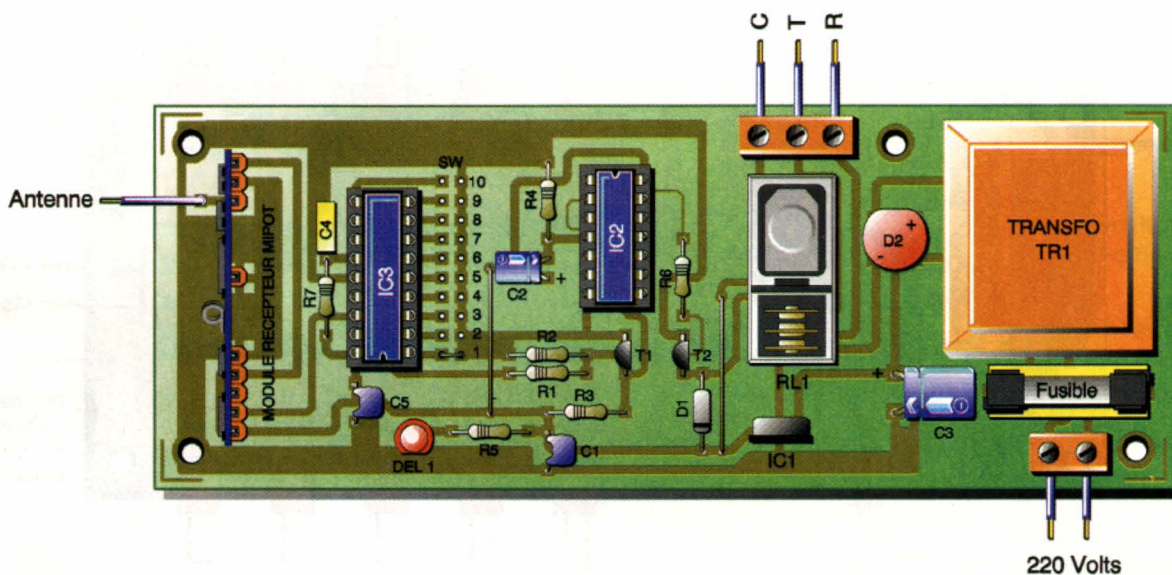
RÉCEPTION-DÉCODAGE.





5/6

CIRCUIT ET IMPLANTATION D'UN RÉCEPTEUR.
LE DÉCODAGE SERA FIXÉ PAR CAVALIERS À DROITE DE L'UM 3750.



marrer. On recommencera les essais en glissant tout d'abord un noyau de ferrite dans les selfs L_1 et L_2 ou en écartant les spires de façon à ajuster leur valeur.

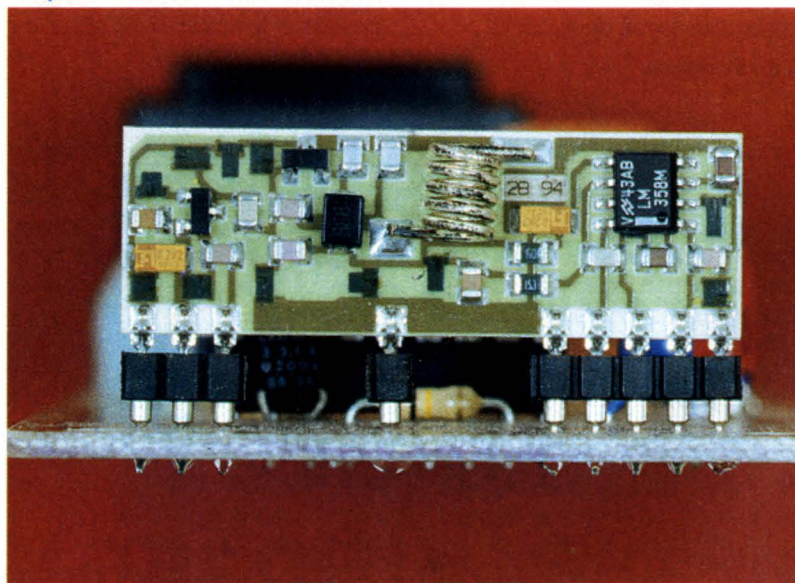
Si l'émetteur fonctionne dans ce cas, il conviendra de rebobiner les selfs en ajoutant deux spires dans le premier cas.

Si l'émetteur ne fonctionne toujours pas, il faudra alors écarter les spires de chaque bobinage. Diffé-

rents essais de portée pourront être effectués en éloignant l'émetteur et le récepteur d'environ 60 mètres et en retouchant au réglage des noyaux de L_5 et L_3 .

LE RÉCEPTEUR
MIPOT 224, 5MHz.

P. OGUIC



Nomenclature

Emetteur

Résistances:

- R₁:** 33 k Ω
(orange, orange, orange)
- R₂:** 27 k Ω
(rouge, violet, orange)
- R₃:** 100 Ω
(marron, noir, marron)
- R₄:** 39 Ω
(orange, blanc, noir)
- R₅:** 100 k Ω
(marron, noir, jaune)
- R₆:** 1 k Ω
(marron, noir, rouge)

R7: 10 k Ω
(marron, noir, orange)

Condensateurs:

C₁: 4,7 pF
C₂: 1 nF
C₃: 39 pF
C₄: 100 pF
C₅: 4,7 μ F/16V tantale goutte
C₆: 220 pF
C₇: 100 nF

Semi-conducteurs:

T₁: BC557
T₂: BFR91
T₃: BFR96S
T₄: BC547

Circuits intégrés:

IC₁: MM53200

Divers:

1 résonateur à ondes de surface SAR224 Murata
2 noyaux en ferrite \varnothing 3 mm
L₄: self surmoulée 10 μ H
L₁, L₂, L₃, L₅: voir texte
fil émaillé 3/10ème de mm
fil émaillé de 6/10 à 7/10ème de mm

1 support pour circuit intégré 18 broches
10 commutateurs double circuit
1 bornier à vis à deux points
1 pile 9V

Récepteur

Résistances:

R₁, R₃, R₆: 2,2 k Ω
(rouge, rouge, rouge)
R₂: 4,7 k Ω
(jaune, violet, rouge)
R₄: 10 k Ω
(marron, noir, orange)
R₅: 470 Ω
(jaune, violet, marron)
R₇: 100 k Ω
(marron, noir, jaune)

Condensateurs:

C₁, C₅: 100 nF
C₂: 2,2 μ F/16V
C₃: 1000 μ F/25V
C₄: 220 pF

Semi-conducteurs:

T₁: BC547C
T₂: BC237
D₁: 1N4001

D₂: pont redresseur B80C1000
DEL1: diode électroluminescente rouge

Circuits intégrés:

IC₁: régulateur de tension 7805
IC₂: 4013
IC₃: UM3750

Divers:

1 module récepteur MIPOT (superréaction ou superhétérodyne) fréquence 224,5 MHz
1 support pour circuit intégré 14 broches
1 support pour circuit intégré 18 broches
1 relais NATIONAL HB2 bobine 5V
1 transformateur 220V/9V
barrette sécable support marguerite
1 porte-fusible
1 fusible rapide 100 mA
1 bornier à vis à deux points
1 bornier à vis à trois points

Fer à souder / dessouder 230V SIMPLE PUISSANCE



Station de dessoudage A AFFICHAGE NUMERIQUE



Station à air chaud POUR C.M.S



Fer à souder 230V DOUBLE PUISSANCE



Fer à souder 230V avec cordon résistant à la chaleur LA SECURITE AU TOP

RAPID 18/36 CI 18 / 36 W 175 F TTC BLACK 30 CI 30 W 152 F TTC RAPID 25/50 CI 25 / 50 W 175 F TTC

Station de soudage A AFFICHAGE NUMERIQUE



Alimentations stabilisées FIXES ET VARIABLES



Station de soudage antistatique GAMME INDUSTRIELLE



Station de soudage A AFFICHAGE NUMERIQUE



Pincettes pour l'électronique SERIE ECO 2000



Tresse à dessouder CUIVRE OU ETAMEE

REF.	DESIGN.	PRIX TTC	REF.	DESIGN.	PRIX TTC
PM400	13.8 Vdc 2A	194.20	PM601	1.5 - 15V 5A	699.50
PM500	13.8 Vdc 3A	237.60	PM602	1.5 - 15V 10A	952.75
PM501	13.8 Vdc 5A	360.60	PM603	1.5 - 15V 20A	1446.00
PM510	13.8 Vdc 10A	566.85	PM700	0 - 30V / 0 - 5A	2229.90
PM600	13.8 Vdc 12A	1084.20	PM701	0 - 30V / 0 - 10A	2953.50

Fil de soudure FLUX MOYENNEMENT ACTIVE

REF.	DESIGNATION	PRIX TTC
ES001	SOUDEUR 60/40 5/10 500G	59.10
ES013	SOUDEUR 60/40 8/10 250G	30.75
ES002	SOUDEUR 60/40 8/10 500G	56.70
ES003	SOUDEUR 60/40 10/10 40G	5.45
ES004	SOUDEUR 60/40 10/10 250G	28.95
ES005	SOUDEUR 60/40 10/10 500G	51.85
ES006	SOUDEUR 60/40 10/10 1KG	103.75
ES007	SOUDEUR 60/40 15/10 500G	51.25
ES008	SOUDEUR 60/40 15/10 1KG	103.75
ES009	SOUDEUR 60/40 20/10 500G	51.25
ES010	SOUDEUR 60/40 30/10 500G	51.25
ES011	CREME A BRASER EN SERINGUE	77.20
ES014	SOUDEUR 62/36 AG2 5/10 250G	62.75

Brucelles haute précision STANDARD / PVC / C.M.S



REF.	DESIGNATION	PRIX TTC
216	Pince tête ovale coupe à ras 115mm	103.75
218	Pince tête ovale coupe semi ras 115 mm	103.75
224	Pince tête pointue coupe à ras 115 mm	103.75
226	Pince tête pointue coupe semi ras 115 mm	103.75
228	Pince tête pointue effilée coupe à ras 115 mm	104.95
230	Pince tête pointue effilée coupe semi ras 115 mm	104.95
266	Pince tête oblique coupe à 55° 125 mm	158.00
290	Pince bords plats droits mors lisses 115 mm	91.70
288	Pince bords plats droits mors lisses 140 mm	94.10
288	Pince bords plats droits mors striés 140 mm	94.10
202	Pince bords demi ronds droits mors lisses 115 mm	94.10
290	Pince bords demi ronds droits mors lisses 140 mm	94.10
292	Pince bords demi ronds droits mors striés 140 mm	94.10

REF.	DESIGNATION	PRIX TTC
1 SA	Pointes fortes, pour emploi général	39.80
2 SA	Brucelle forte avec des pointes fines	39.80
2A SA	brucelle plate avec des pointes arrondies	39.80
3C SA	Pointes fines et courtes, Travaux de précision	39.80
5 SA	Pointes extra fines, Préhension de fils très fins	51.85
7 SA	Pointes fines coudées, Endroits restreints	51.85
AA SA	Brucelle forte, pointes fines	32.60
HH SA	Branches et tension fortes	33.80
OC SA	Brucelles courtes, pointes fines	39.80
SMD102	Pour la manipulation des C.M.S	71.15
SMD103	Pour la manipulation des C.M.S	72.40
SMD 109	Pour la manipulation des C.M.S	65.15
SMD 110	Pour la manipulation des C.M.S	78.40



RADIO

COMMUTATEUR POUR PARABOLES OU LNB

La présente réalisation intéressera les possesseurs d'antenne parabolique utilisée pour la réception des émissions diffusées par satellite qui sont équipées de deux têtes ou pour commuter deux ensembles fixes (1 parabole + 1 tête). La mise en service de l'une ou l'autre de ces têtes pourra être effectuée à distance, depuis le démodulateur installé à l'intérieur de l'habitation qui délivre l'alimentation continue et le signal de commutation (22 kHz).

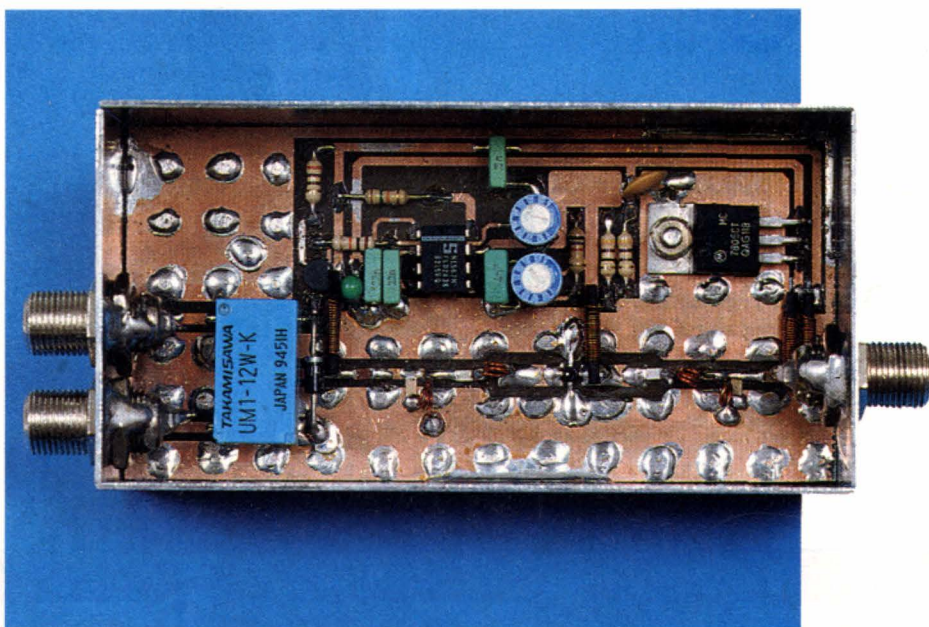


Schéma de principe

Le schéma de principe de la télécommande est donné en **figure 1**. Les deux câbles coaxiaux issus des têtes parviennent aux entrées du circuit au moyen de fiches F. Il est nécessaire de réaliser des lignes accordées de 75Ω , lignes qui seront réalisées par des pistes sur le circuit imprimé et qui devront être d'une largeur précise fonction du support employé. La commutation de l'une ou l'autre des têtes s'effectue à l'aide d'un relais spécial qui permet le transit d'ondes R.F. de fréquences très élevées.

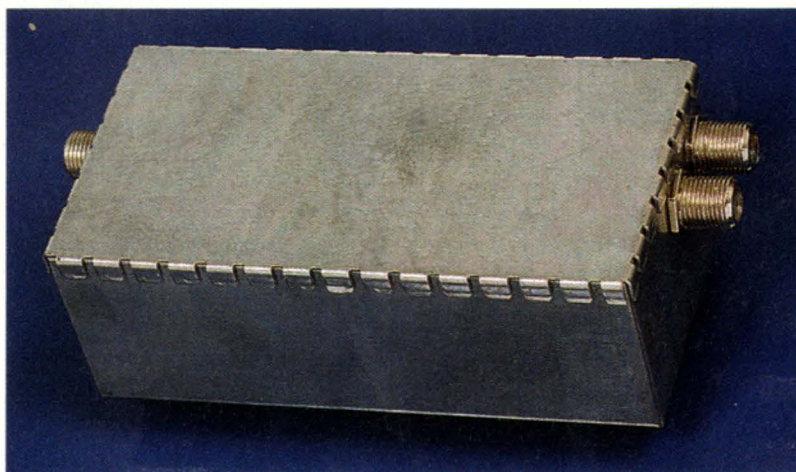
Nous verrons plus loin comment s'effectue la commande de ce relais. L'alimentation des têtes s'effectue directement par le câble de jonction au démodulateur. C'est ce qui explique la présence de la self de choc L_7 destinée à éviter les remontées H.F. et du condensateur C_6 de $1nF$ qui bloque la tension continue et qui est connectée à une autre ligne 75Ω . Afin de pallier à l'atténuation du signal apportée par l'in-

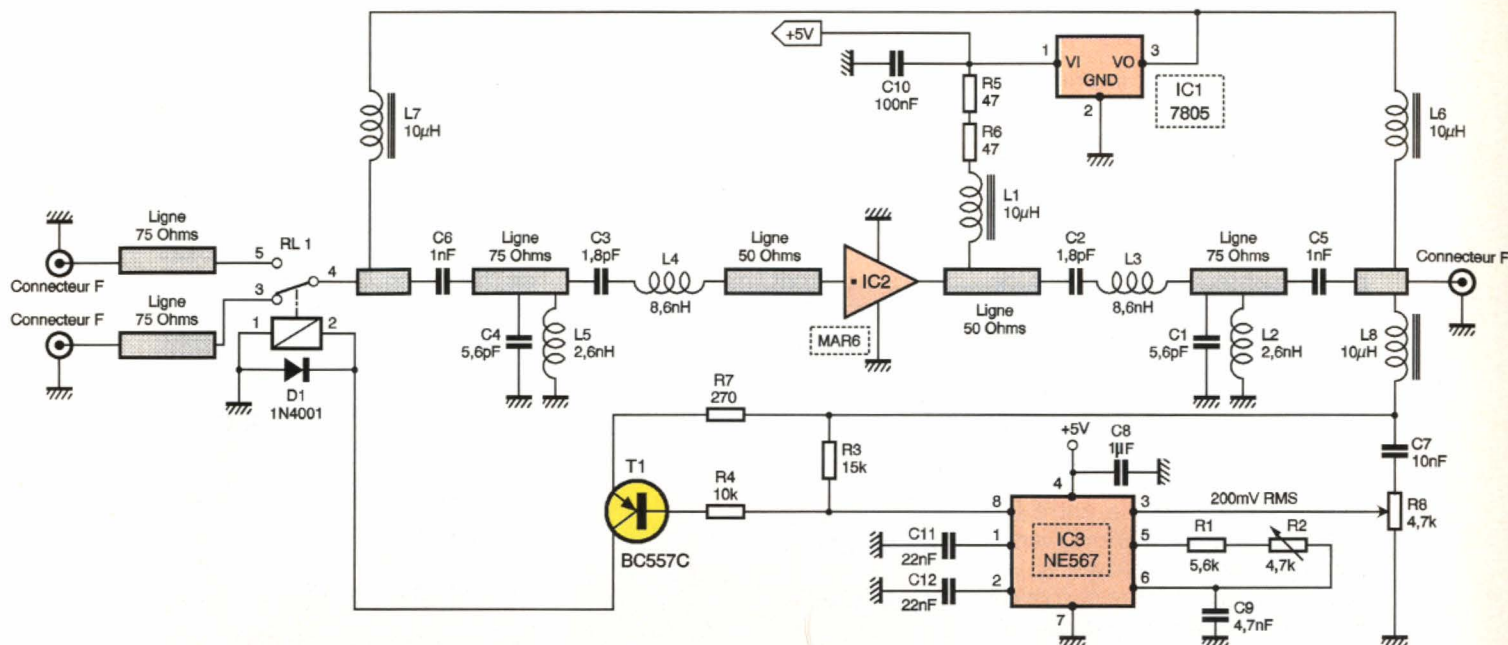
sertion du circuit dans la ligne, faible grâce au relais employé - $\leq 1 \text{ dB}$ à 1 GHz -, il est nécessaire de procéder à une amplification de celui-ci. C'est ce qui est réalisé par l'utilisation d'un circuit monolithique de type MAR6 large bande et faible bruit. Il permettra donc en outre de compenser les pertes engendrées par de grandes longueurs de câble ($> 25 \text{ m}$).

Ce dernier fonctionne jusqu'à une fréquence de 2000 MHz et présen-

te un gain de $13,8 \text{ dB}$ à 500 MHz et $10,5 \text{ dB}$ à 1000 MHz . Il doit être alimenté sous une tension de $3,5V$ et consomme un courant de 16 mA . Son alimentation est assurée par un régulateur de tension 7805 et au moyen de deux résistances chutrices de 47Ω (R_5 et R_6) qui fixent son courant nominal, ainsi que

LE MONTAGE DANS SON COFFRET DE BLINDAGE. RACCORDS EN PRISES F.





d'une self de choc de 10 μ H. L'alimentation du régulateur est directement prélevée sur la ligne issue du démodulateur qui fournit une tension continue de +13 ou +18V selon la polarisation retenue H ou V et est redistribuée vers les têtes (LNB).

Le MAR6 est adapté entrée et sortie sur 50 Ω , il a été nécessaire de prévoir une adaptation d'impédance entre les lignes 75 Ω et les lignes 50 Ω . Cette adaptation est réalisée à l'aide des réseaux LC C_3 - L_4 / C_4 - L_5 en entrée, et C_2 - L_3 / C_1 - L_2 en sortie qui constituent en outre un filtre passe-bande entre 900 MHz et 2 GHz. Les lignes accordées en entrée et en sortie du MAR6 sont d'une impédance de 50 Ω .

Après la cellule d'adaptation d'impédance, nous retrouvons une ligne accordée sur 75 Ω et un condensateur de liaison de 1 nF destiné à bloquer la composante continue superposée au signal utile.

La sortie vers le démodulateur s'effectue au moyen d'une fiche F. A cet endroit est prélevé le signal de

commutation 22 kHz au moyen d'une self de choc et d'un condensateur d'isolement.

Ce signal est dirigé vers l'entrée d'un décodeur de fréquence de type NE567.

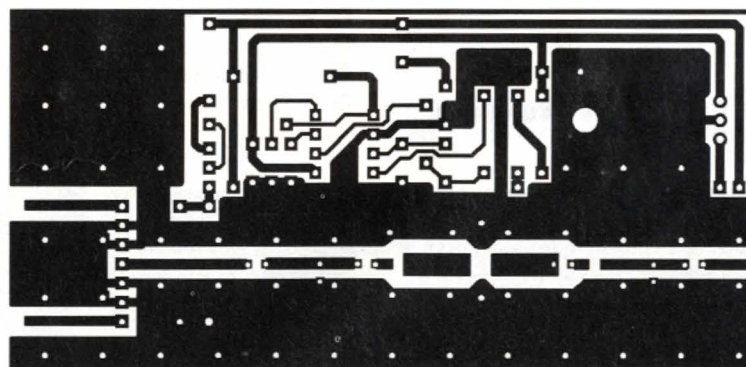
En effet, le moyen utilisé par le démodulateur pour la commutation des différentes têtes, est l'envoi sur le câble coaxial d'un signal basse fréquence à 22 kHz. Le décodeur est donc utilisé pour extraire ce signal, qui, lorsqu'il est présent, provoque l'apparition d'un niveau bas

1

LE SCHÉMA AVEC FIGURATION DES LIGNES DE TRANSMISSION.

sur la broche de sortie du NE567. Ce niveau commute le transistor T1 qui rendu passant, alimente le relais et sélectionne la seconde tête.

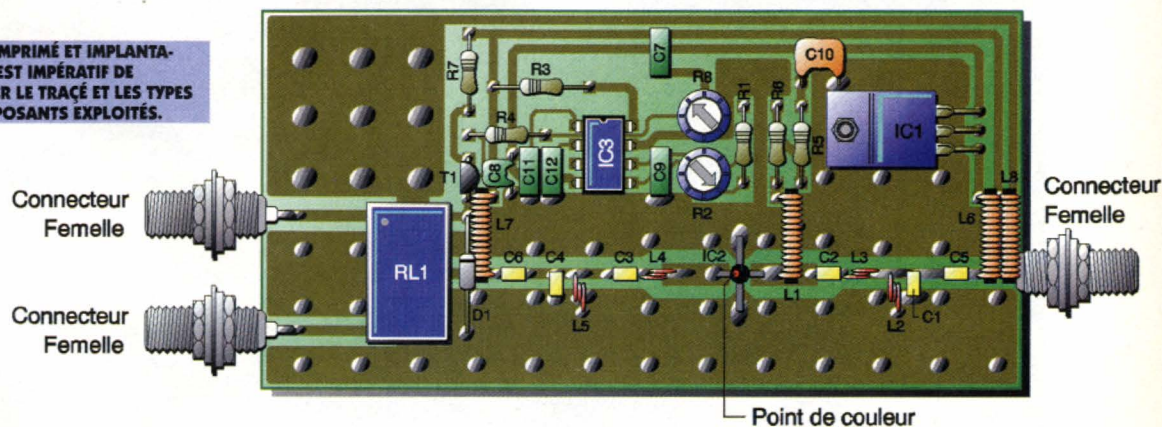
La résistance ajustable R_2 permet l'accord sur cette fréquence qui n'est pas critique : en effet, le décodeur pourra être validé pour une fréquence comprise entre 21 kHz et 23 kHz, puisque seule cette fréquence basse est véhiculée par le câble coaxial.



2/3

CIRCUIT IMPRIMÉ ET IMPLANTATION. IL EST IMPÉRATIF DE RESPECTER LE TRACÉ ET LES TYPES DE COMPOSANTS EXPLOITÉS.

LA FACE CUIVRE EST UN PLAN DE MASSE COMPLET.



Réalisation pratique

Le dessin du circuit imprimé est donné en **figure 2** et l'on utilisera le schéma d'implantation représenté en **figure 3** afin de mener à bien l'opération de câblage. Le circuit imprimé sera obligatoirement réalisé sur de l'époxy de 16/10ème de mm d'épaisseur et de 35 µm de cuivre. Les composants seront soudés sur la face supérieure du circuit, alors que la partie inférieure sera laissée entièrement recouverte de sa pellicule de cuivre. Il conviendra de souder de part et d'autre des traversées qui assureront une bonne continuité électrique entre les masses du recto et celle du verso. Les composants employés, au niveau des lignes accordées, sont de type CMS, ce qui est vivement recommandé afin d'obtenir un fonctionnement correct du circuit. Pour les lecteurs étant peu familiarisés avec ces composants, signalons que l'implantation de ces condensateurs miniatures est grandement facilitée par le collage de ces derniers à l'aide de colle cyanoacrylate avant leur soudure. Il faudra prendre garde à ne pas trop chauffer le circuit intégré MAR6 lors de son implantation sur le circuit imprimé. Les différentes selfs seront réalisées de la manière suivante :

1°) L₁, L₆, L₇, L₈ : une quinzaine de spires de fil émaillé de 2/10ème de mm sur un bâtonnet ferrite de 1,5 mm de diamètre en matériau 4B1 Philips ;

2°) L₂, L₅ : 1 spire de fil émaillé de

3/10ème de mm bobinée en l'air, diamètre de 2 mm ;
3°) L₃, L₄ : 2 spires jointives de fil émaillé de 3/10ème de mm bobinées en l'air, diamètre de 2 mm.

Essais

Les essais seront limités au réglage de la résistance ajustable R₂ qui accordera le décodeur de fréquence sur 22 kHz.

Pour cela, on utilisera un générateur de fonctions réglé sur cette fré-

quence et l'on manœuvrera le curseur de l'ajustable jusqu'à obtenir un collage franc du relais.

On placera ensuite le circuit dans un coffret métallique et l'on soudera les plans de masse aux côtés de celui-ci. Ce coffret servira de blindage et de protection, ce dernier devant obligatoirement être situé en dehors de l'habitation. On pourra éventuellement le placer dans un coffret en plastique étanche.

P. OGUIC

Nomenclature

Résistances

R₁ : 5,6 kΩ
(vert, bleu, rouge)
R₂, R₃ : résistance ajustable 4,7 kΩ
R₃ : 15 kΩ
(marron, vert, orange)
R₄ : 10 kΩ
(marron, noir, orange)
R₅, R₆ : 47 Ω
(jaune, violet, noir)
R₇ : 270 Ω
(rouge, violet, marron)

Condensateurs

C₁, C₄ : 5,6 pF CMS 805 ou 1206
C₂, C₃ : 1,8 pF CMS 805 ou 1206
C₅, C₆ : 1 nF CMS 805 ou 1206
C₇ : 10 nF
C₈ : 1 µF/25V tantale goutte
C₉ : 4,7 nF

C₁₀ : 100 nF
C₁₁, C₁₂ : 22 nF

Semi-conducteurs

T₁ : BC557C
D₁ : 1N4001

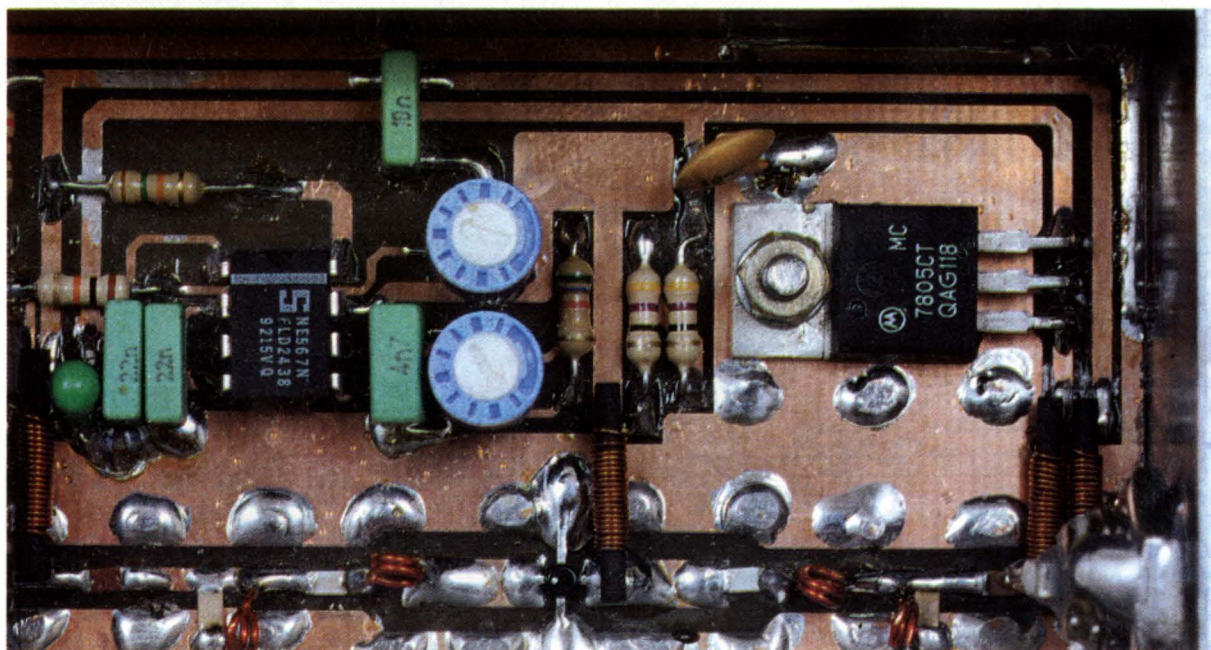
Circuits intégrés

IC₁ : régulateur de tension 7805
IC₂ : MAR6
IC₃ : NE567

Divers

fil émaillé de 2/10ème de mm
fil émaillé de 3/10ème de mm
4 bâtonnets en ferrite 4B1, Ø 1,5 mm
L₁ à L₈ : voir texte
3 connecteurs F femelle pour châssis
1 coffret métallique
RL₁ : Relais H.F. UM1-12W-K TAKAMISAWA

GROS PLAN SUR LE CÂBLAGE HF.



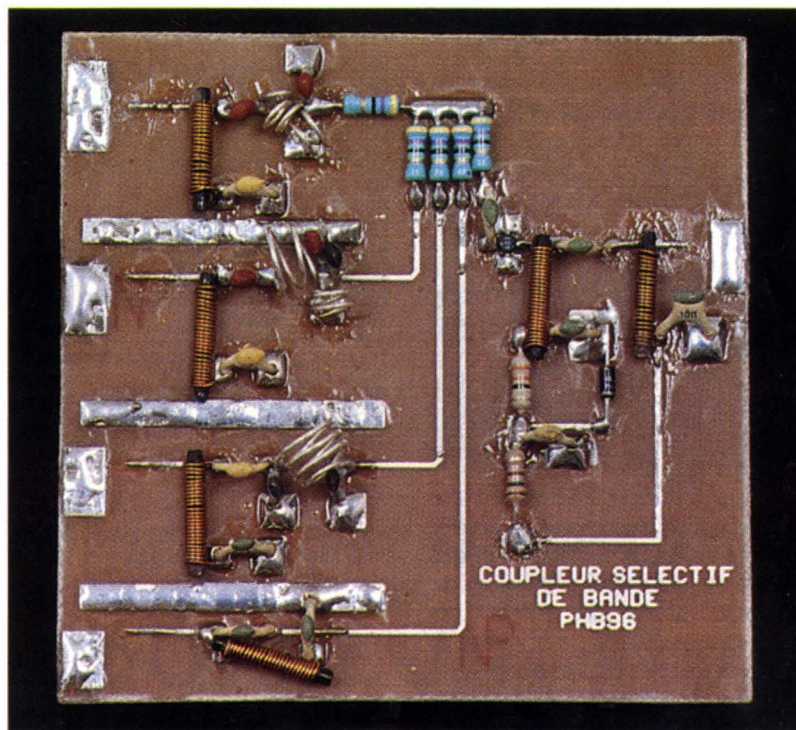
COUPLEUR-DISTRIBUTEUR SÉLECTIF DE BANDES

Avec l'élargissement des possibilités de réception en tout genre, qu'elles soient satellitaires ou terrestres, survient inévitablement le problème du couplage de ces signaux. Il semble évident que l'on ne va pas "tirer un coax" pour chaque bande disponible. L'idée consiste à coupler de façon sélective chacun d'entre eux, de l'amplifier et de diriger la RF dans un seul et même câble. Voici donc ce que nous vous proposons.

Ce coupleur réalise deux fonctions : il permet de regrouper sur le même câble coaxial jusqu'à quatre gammes de réception. A l'arrivée, il distribue ce groupe de canaux de façon sélective : satellites, TV UHF + VHF et auxiliaire apériodique pour un scanner par exemple. Le gain sur chaque voie est de 0dB (x1), la puissance maximale que cet ampli peut fournir monte à 10mW. La voie satellite doit laisser passer le signal à 22kHz, en plus de la tension continue.

Le principe

La **figure 1** donne le schéma électrique de ce coupleur. L'entrée SAT reçoit toute la bande de 950 à 2050MHz, la coupure haute à -3dB s'effectue à 2200MHz. Le filtre passe-bande conçu pour la gamme TV UHF couvre de 450 à 900MHz. Les



quatre voies se retrouvent couplées par l'intermédiaire d'un réseau de cinq résistances, l'amplificateur IC₁ permet de remettre à niveau les amplitudes respectives des signaux.

Un signal de -10dBm présent sur l'une des quatre prises d'entrées disposera de la même amplitude sur la sortie.

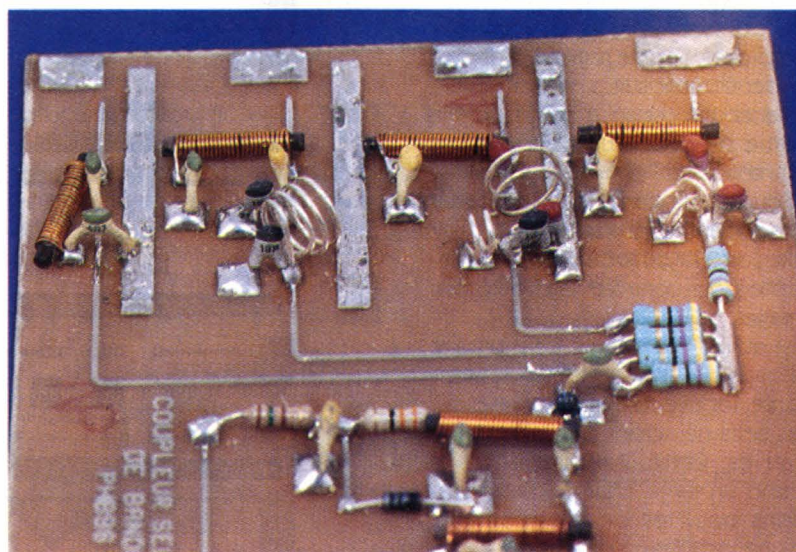
Le circuit de polarisation du circuit s'effectue par l'intermédiaire des résistances R₆ et R₇. La diode zéner D₁ est obligatoire, la tension continue

alimentant la tête satellite varie, selon la polarité, de 12 à 18V. A l'arrivée du câble dans la maison, il faut effectuer l'opération inverse. C'est le même schéma.

La seule différence repose sur le fait que le circuit IC₁ se retrouve monté dans l'autre sens, le point de couleur vers la capacité C₁₄.

La self d'alimentation L₁₀ ira du côté

GROS PLAN SUR LES SELFS.



de la sortie de IC₁, vers C₁₃. Pour un fonctionnement correct du système, les deux modules doivent être câblés.

Selon qu'il existe un dispositif nécessitant une alimentation en amont du coupleur sélectif, les points A₁ à A₄ seront reliés au point A. Pour le répartiteur, les selfs L₁, L₄, L₇ et L₉ ainsi que les condensateurs C₃, C₆, C₁₀ et C₁₂ ne seront pas soudés.

Réalisation pratique

La figure 2 représente le dessin du circuit imprimé identique pour les deux fonctions. Il doit être reproduits avec le plus d'exactitude possible sur du verre époxy double face de 0,8mm d'épaisseur. Après la confection de ceux-ci par les méthodes traditionnelles, il faut mettre en place les traversées de masse, bien respecter les emplacements prévus.

La réalisation des selfs sera conforme aux indications données dans la nomenclature, pour mener à bien ces opérations, nous vous conseillons de bien vous inspirer des photos. Lors de la mise en place des circuits IC₁ sur les deux platines, il faut respecter leur bonne orientation, le point de couleur correspond à l'entrée.

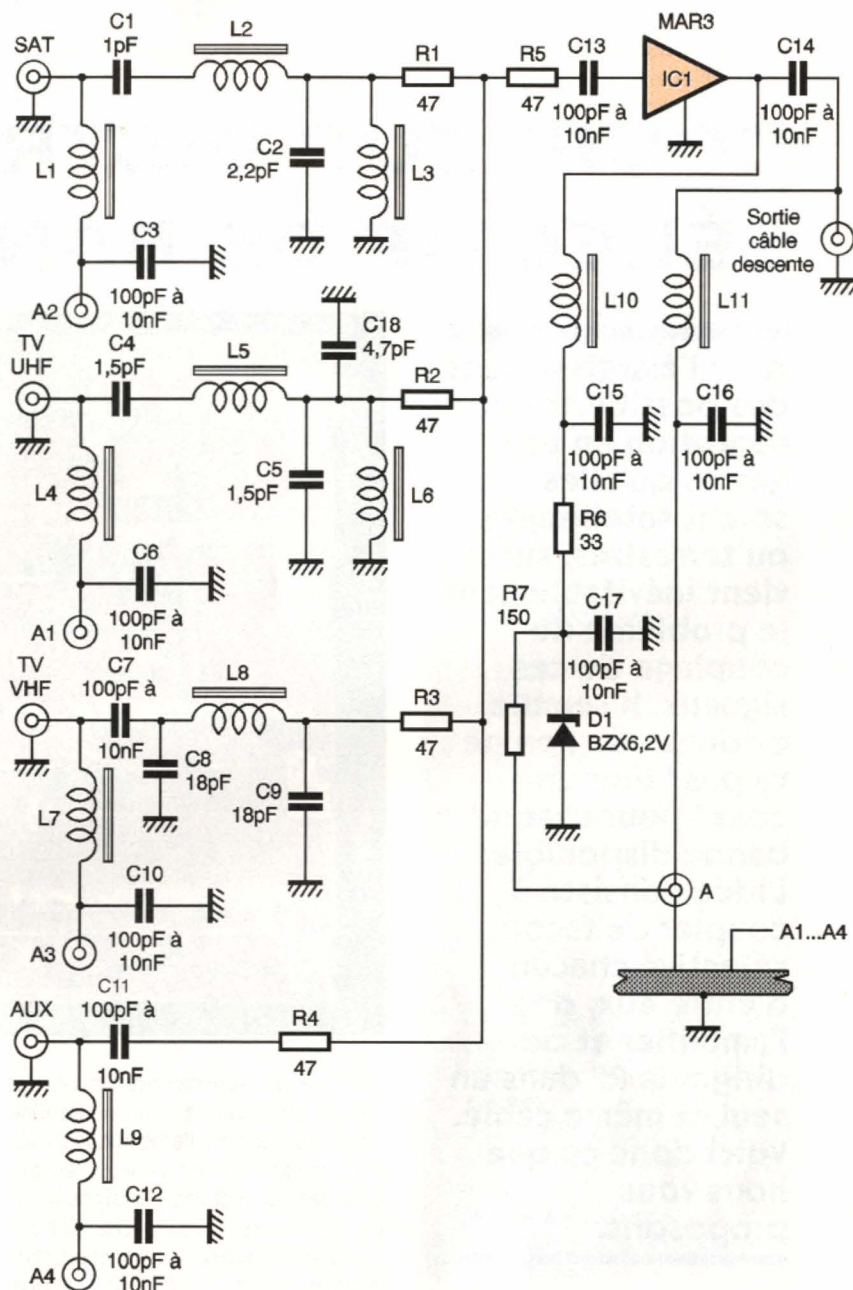
Mise au point

En tout premier contrôle, vous devez vérifier la polarisation du MAR3, la tension derrière R₆ doit être de 5V indiquant un courant de 35mA. Réajuster les résistances si cela n'est pas le cas.

Les réglages se limitent à l'optimisation des selfs. L'important est de disposer d'un coupleur-répartiteur répondant aux besoins de l'utilisateur, parfaitement réglé sur le groupe de canaux TV et SAT les plus employés. Pour le régler, il faut procéder comme suit:

- Placer une capacité de liaison à la sortie du coupleur avant la prise d'antenne du TV.
- Souder une résistance de 75 Ω sur chaque entrée non utilisée.
- Régler le TV ou le démodulateur satellite pour contrôler la qualité des images.

Tel qu'il a été conçu, ce montage dispose d'une large bande passante, les éventuelles retouches sur les selfs ne seront pas très significatives. Cette réalisation couvre donc un large champ d'applications pour les besoins courants d'une installation privée.

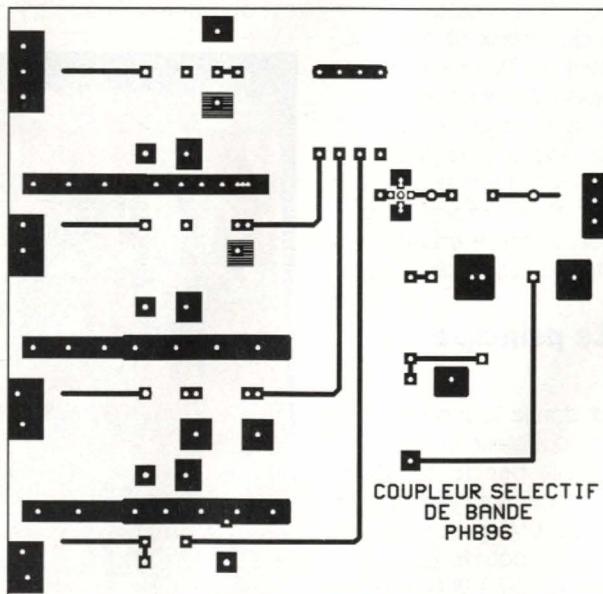


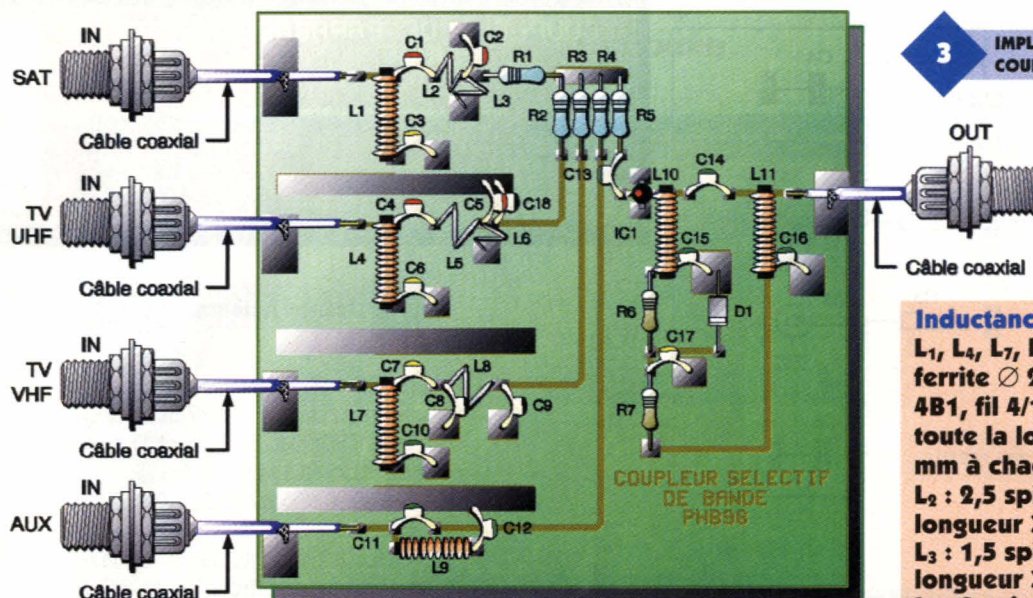
2

LE CIRCUIT COTÉ COMPOSANTS IDENTIQUE POUR LES DEUX VERSIONS.

1

SCHEMA DANS LE SENS COUPLEUR. EN RÉPARTITION, IC₁ EST DANS L'AUTRE SENS, LA SORTIE DEVIENT L'ENTRÉE ET LES ENTRÉES, LES SORTIES.





3 IMPLANTATION EN VERSION COUPLEUR.

Nomenclature

Résistances

R_1 à R_5 : 47 Ω
(jaune, violet, noir)
 R_6 : 33 Ω
(orange, orange, noir)
 R_7 : 150 Ω
(marron, vert, marron)

Condensateurs

C_1 : 1 pF
 C_2 : 2,2 pF
 C_3, C_6, C_7, C_{10} à C_{17} : 100 pF à 10 nF
 C_4, C_5 : 1,5 pF
 C_8, C_9 : 18 pF
 C_{18} : 4,7 pF

Inductances

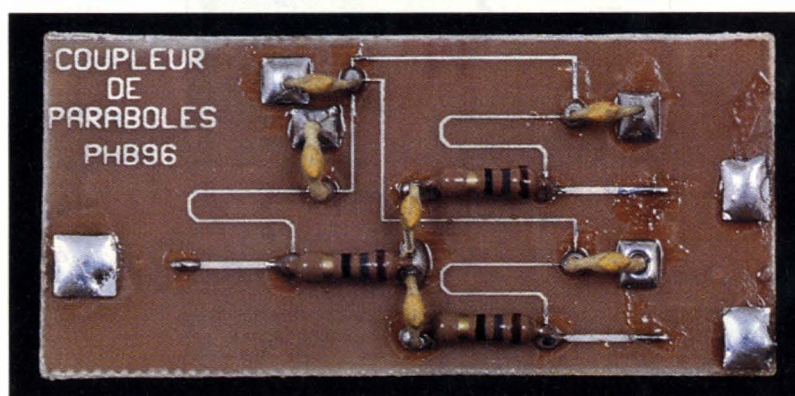
L_1, L_4, L_7, L_9 à L_{11} : barreau ferrite \varnothing 2mm, matériau 4B1, fil 4/10mm enroulé sur toute la longueur, reste 3 mm à chaque extrémité.
 L_2 : 2,5 spires sur \varnothing 3mm, longueur 3mm en fil 6/10mm
 L_3 : 1,5 spire sur \varnothing 3mm, longueur 3mm en fil 6/10mm
 L_5 : 2 spires sur \varnothing 6mm, longueur 6mm en fil 6/10mm
 L_6 : 1,5 spire sur \varnothing 3mm, longueur 3mm en fil 6/10mm
 L_8 : 2,5 spires sur \varnothing 6mm, longueur 6mm en fil 6/10mm

Semi conducteurs

IC_1 : MAR3
 D_1 : BZX 6,2V

Ce montage est très intéressant lorsque l'on a deux paraboles ou deux têtes à relier sur le même câble de descente. Il n'est pas rare de voir fleurir sur les toits de nos habitations des paraboles permettant de recevoir les satellites EUTELSAT, ASTRA et TELECOM. Le montage que nous vous proposons vous permettra de réaliser ce couplage à moindres frais.

COUPLEUR DE PARABOLES



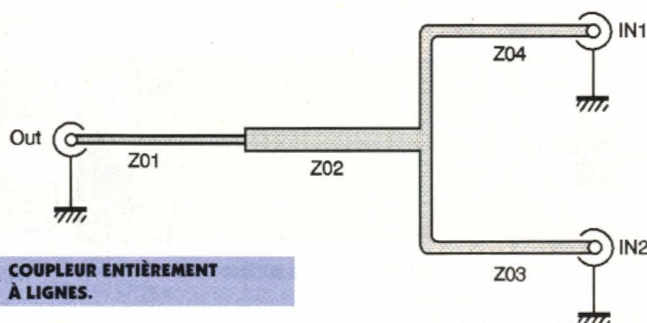
Les deux versions sont réversibles et peuvent également servir à répartir sur deux démodulateurs les signaux sortant d'un câble coaxial. Le montage de la figure 1 provoque 6dB de pertes d'insertion dans la bande de

1000 à 2000 MHz. Trois lignes 75 Ω , d'égale longueur, sont couplées ensemble avec une ligne quart d'onde de 53 Ω .

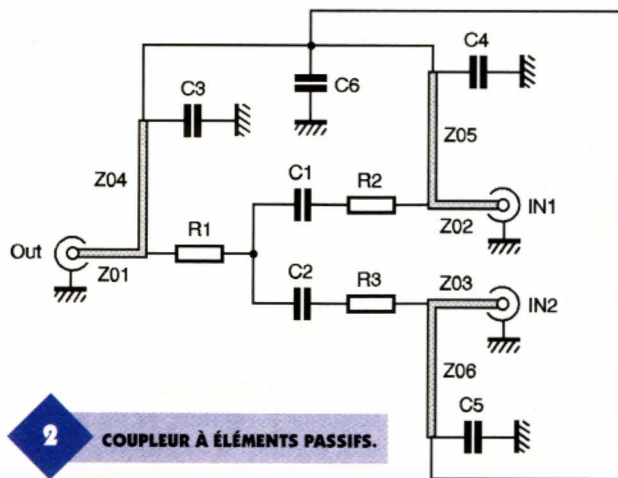
Celle-ci joue le rôle d'adaptateur d'impédance ; au point de jonction des

Le principe

Deux modèles de coupleur ont été élaborés, le premier (figure 1) ne demande qu'un morceau de circuit imprimé et quelques rivets, le second (figure 2) utilise des lignes imprimées et une répartition deux voies à résistances.



1 COUPLEUR ENTIEREMENT À LIGNES.

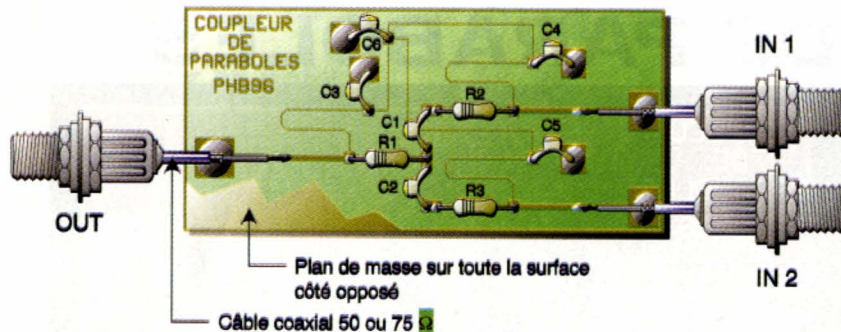
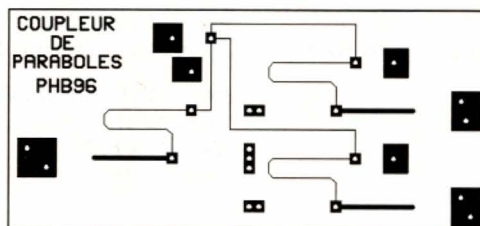


2

COUPLEUR À ÉLÉMENTS PASSIFS.

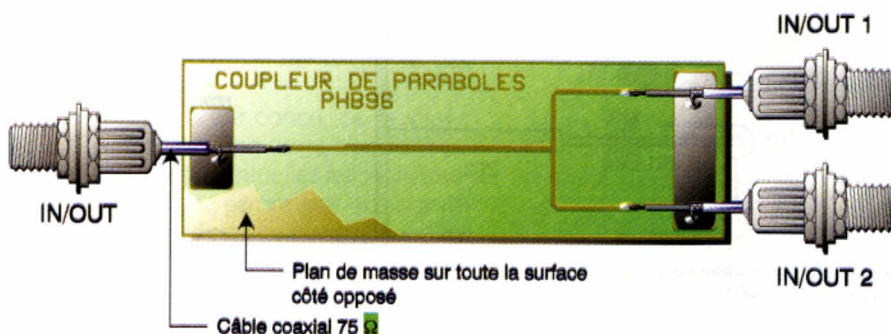
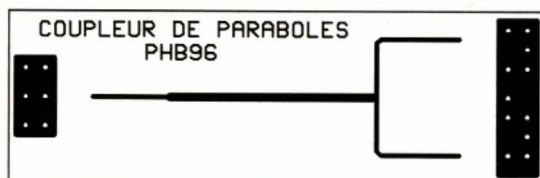
3/5

CIRCUIT IMPRIMÉ ET IMPLANTATION VERSION ÉLÉMENTS PASSIFS.



4/6

CIRCUIT IMPRIMÉ ET RACCORDEMENTS VERSION À LIGNES.



VERSION À LIGNES.

lignes ZO4 et ZO3 nous disposons d'une impédance de $37,5\Omega$ adaptée vers 75Ω par ZO2 dont l'impédance répond à la formule : $Z_{O2} = \sqrt{(Z_O)^2/2}$ avec $Z_{O1}, Z_{O3}, Z_{O4} = Z_O = 75\Omega$.

La version à éléments passifs de la figure 2 comporte trois lignes quart d'onde pour bloquer les composantes radio-fréquences.

Elles ont été calculées pour le milieu de la gamme FI à 1400MHz. Les signaux 22kHz et les tensions continues servant au réglage de la polarité traversent le coupleur sans difficultés, en revanche les pertes d'insertion de cette version valent 10 à 13dB. Cette réalisation permet aussi de travailler en 50 ou 75 Ω selon les valeurs des résistances mises en place, voir la nomenclature.

Réalisation pratique

Les circuits imprimés des figures 3 et 4 doivent être impérativement réalisés sur du verre époxy de 8/10mm d'épaisseur. Les composants sont placés comme l'indique les figures 5 et 6, les traversées de masse prennent place en premier. Les queues des éléments reposent sur une très petite longueur, juste suffisante pour exécuter une soudure.

Le module, selon la version choisie pourra se loger à l'intérieur d'un boîtier en tôle étamée. Les fiches d'entrée/sortie seront reliées au CI par un petit câble coaxial 75 Ω de bonne qualité.

Nomenclature de la figure 2

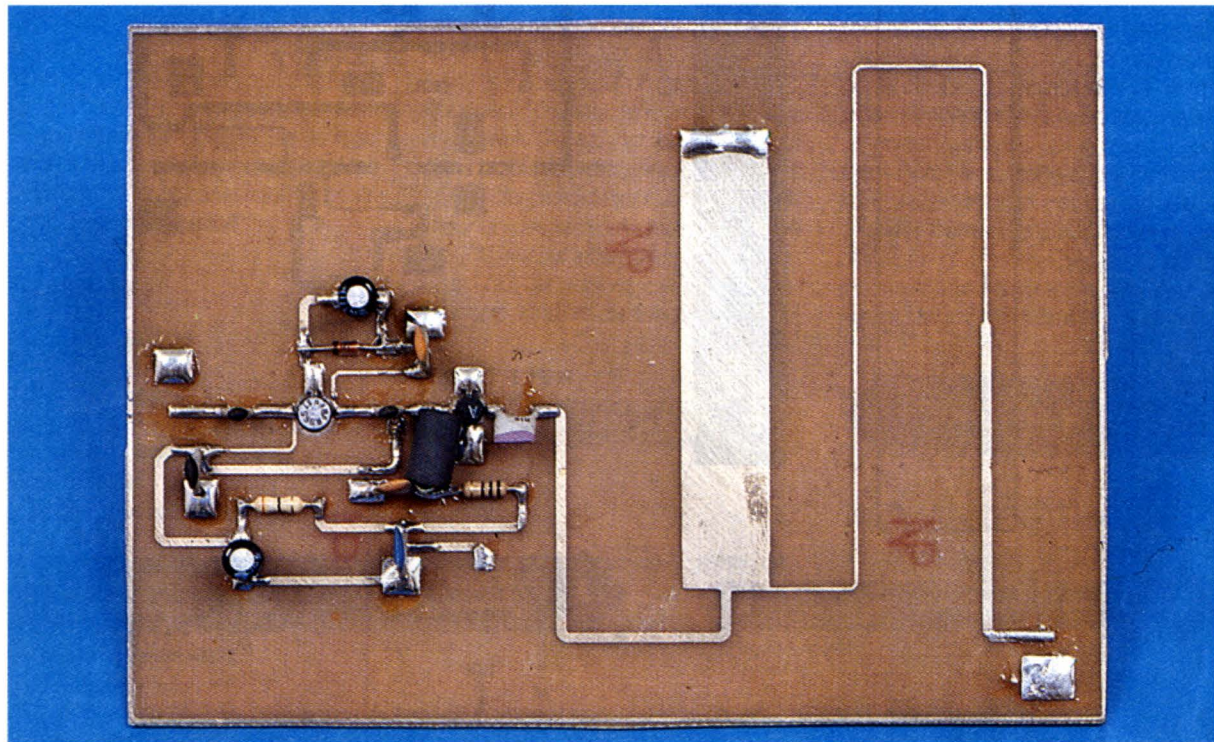
Résistances

R₁ à R₃ : 18 Ω
(marron, gris, noir) en version 50 Ω

R₁ à R₃ : 22 Ω
(rouge, rouge, noir) en version 75 Ω

Condensateurs

C₁ à C₆ : 390 à 470 pF



Cet amplificateur peut servir au modulateur TV décrit dans ce numéro pour en augmenter les performances, ou bien on pourra l'utiliser à des fins de distribution de ce même canal pour délivrer les signaux sur plusieurs TV et magnétoscopes. Sa réalisation reste abordable à tous et pourra rendre de nombreux services au sein de la maison.

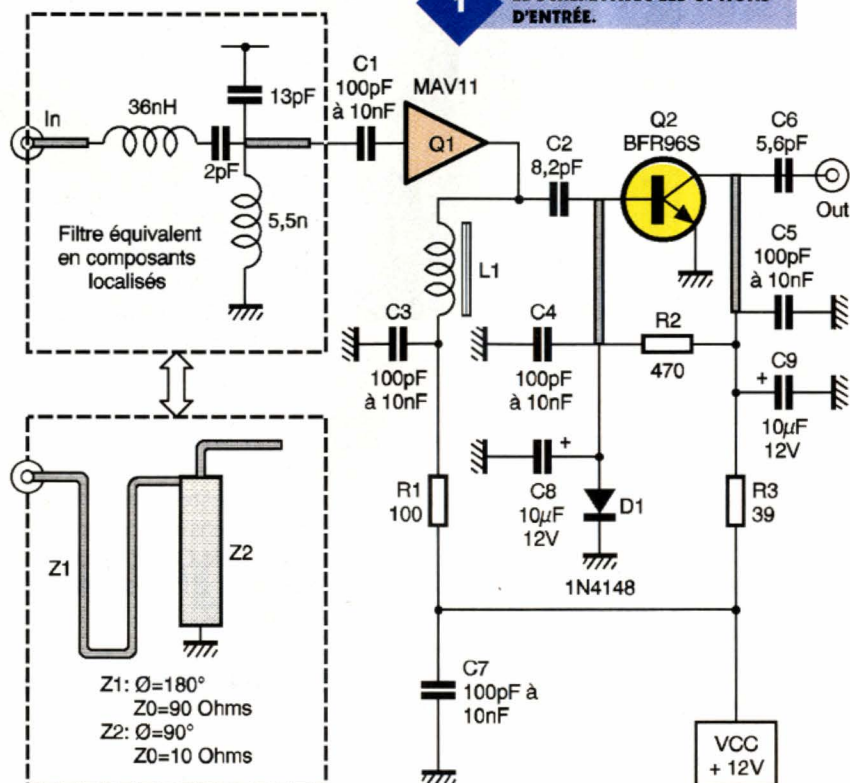
Le schéma

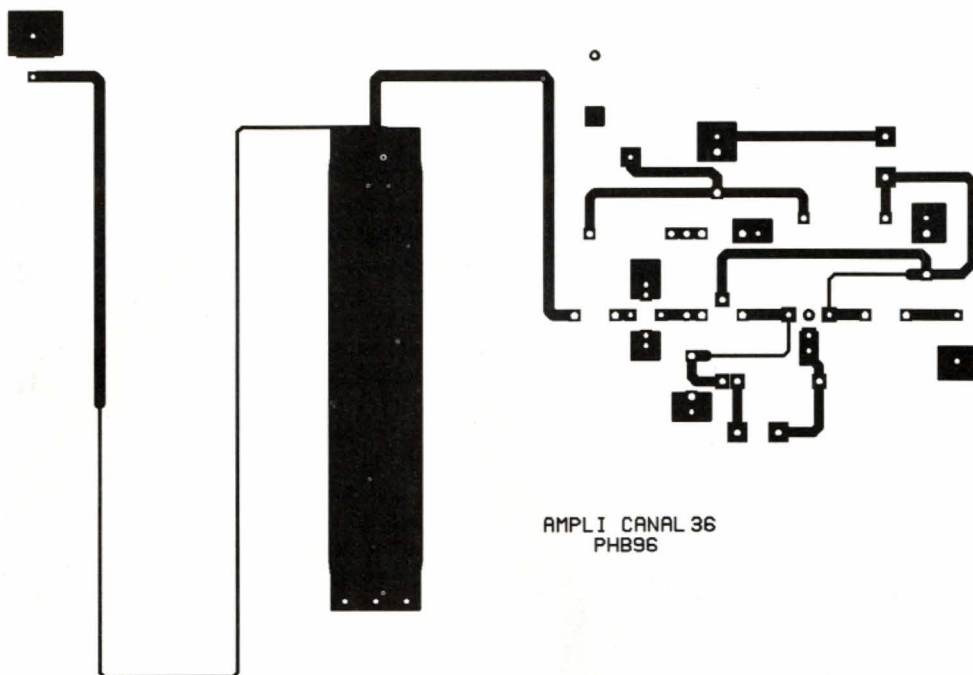
La partie la plus délicate du montage réside dans le filtre d'entrée, le schéma de la **figure 1** montre l'équivalence de celui-ci réalisé en composants traditionnels. Le gain global de ce montage s'élève à 20dB qui se répartit en 4dB de

AMPLI DE DISTRIBUTION CANAL 36

1

LE SCHÉMA AVEC LES OPTIONS D'ENTRÉE.





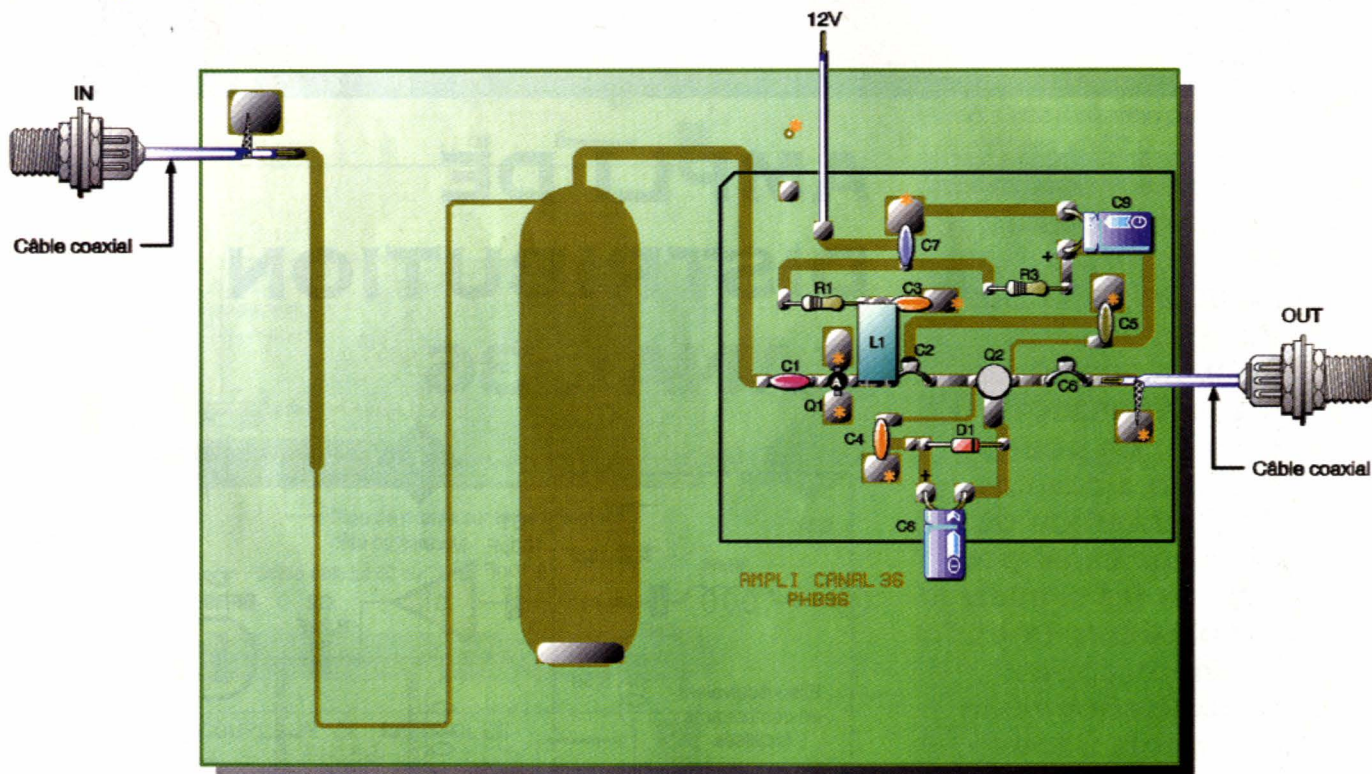
AMPLI CANAL 36
PHB96

2

LE CIRCUIT IMPRIMÉ COTÉ COMPOSANTS, L'AUTRE FACE ET UN PLAN DE MASSE.

3

IMPLANTATION ; LES ASTÉRIQUES * FIGURENT LES ENDROITS OÙ SE RÉALISENT LES TRAVERSÉES DE MASSE. R₂ EST IMPLANTÉE COTÉ PLAN DE MASSE.



COTE COMPOSANTS

pertes dans le filtre et 12dB de gain sur chaque étage actif. Une puissance de 1mW (0dBm) appliquée sur l'entrée donnera à la sortie une puissance de 100mW (+20dBm). Le circuit Q₁ constitué d'un MAV11 est polarisé à une tension de 5,5V et un courant de 60mA qui traverse la résistance R₁, le transistor Q₂ dispose d'une tension de collecteur de 10V avec un courant de 40mA au travers de R₃. Ce transistor polarisé en classe A ne procure qu'un rendement de l'ordre de 25 à 30 % ce qui lui per-

met de fournir qu'une puissance de 100mW en régime linéaire. Ses réseaux d'adaptation en entrée comme en sortie restent identiques à ceux déjà vus dans le modulateur TV. La polarisation de Q₂ est assurée par une diode qui fixe la tension V_{BE} à un peu plus de 0,6V.

La réalisation pratique

La figure 2 nous donne le typon du circuit imprimé en verre époxy

double face de 8/10 mm où l'on distingue clairement le dessin du filtre d'entrée.

Sa réalisation ne devrait pas poser de problèmes puisque l'ensemble des pistes reste aéré. Les trous, pour laisser passer les rivets, sont percés avec un foret de 1,3mm aux endroits où figurent des astérisques.

Les deux emplacements des éléments Q₁ et Q₂ sont percés au diamètre correspondant pour qu'ils puissent prendre place à l'intérieur. La résistance R₂ se trouve disposée

sous le circuit côté plan de masse. Pour la mettre en place on perce deux trous de 8/10 mm chanfreinés côté masse avec un foret de 6mm.

Tous les composants soudés du côté des pistes prennent place selon l'implantation proposée par la **figure 3**, il faut faire attention à l'orientation des composants qui vous est proposée en **figure 4**.

Nomenclature

Résistances

R₁ : 100 Ω

(marron, noir, marron)

R₂ : 470 Ω

(jaune, violet, marron)

R₃ : 39 Ω

(orange, blanc, noir)

Condensateurs

C₁, C₃ à C₅, C₇ : 100 pF

à 10 nF céramique

C₂ : 8,2 pF

C₆ : 5,6 pF

C₈, C₉ : 10 μ F/12V chimique

Semi-conducteurs

Q₁ : MAV11

Q₂ : BFR96S

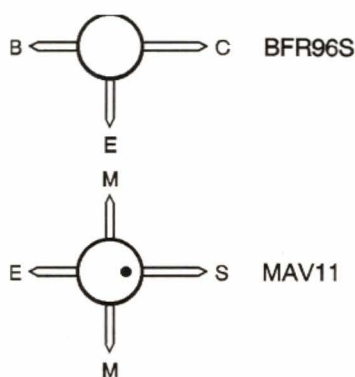
D₁ : 1N4148

Mise en œuvre

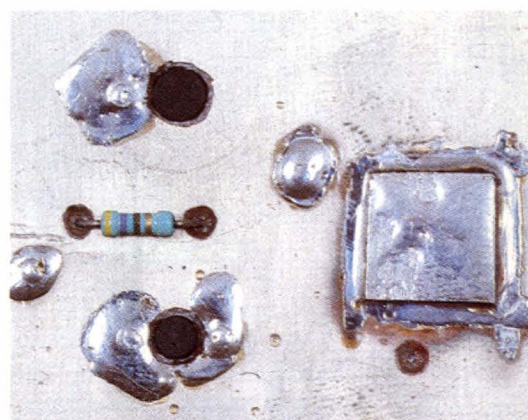
Les essais nous ont donné une bande passante à 3dB couvrant de 450MHz à 700MHz avec une ondulation de 4dB pour un gain de 20dB, la consommation de courant s'élève à 100mA. Avec cet amplificateur vous pourrez porter la puissance de sortie du modulateur TV à 100mW pour un usage domestique. Dans ce cas, il faudra intercaler un atténuateur - 10 dB adapté car le modulateur sort 10 dBm de façon à attaquer

à 0 dBm l'amplificateur. Il peut arriver également qu'il soit nécessaire de distribuer, sur un groupe de TV et de magnétoscopes, le signal d'un quelconque modulateur. A ce moment, on branche un répartiteur 4 voies pour alimenter chaque appareil avec un niveau suffisant. Sur la figure 3, on peut noter le rectangle qui délimite l'emplacement des composants, tracé pour permettre à nos lecteurs de n'utiliser que cette partie. Chacun pourra donc adapter ce montage à ses besoins particuliers.

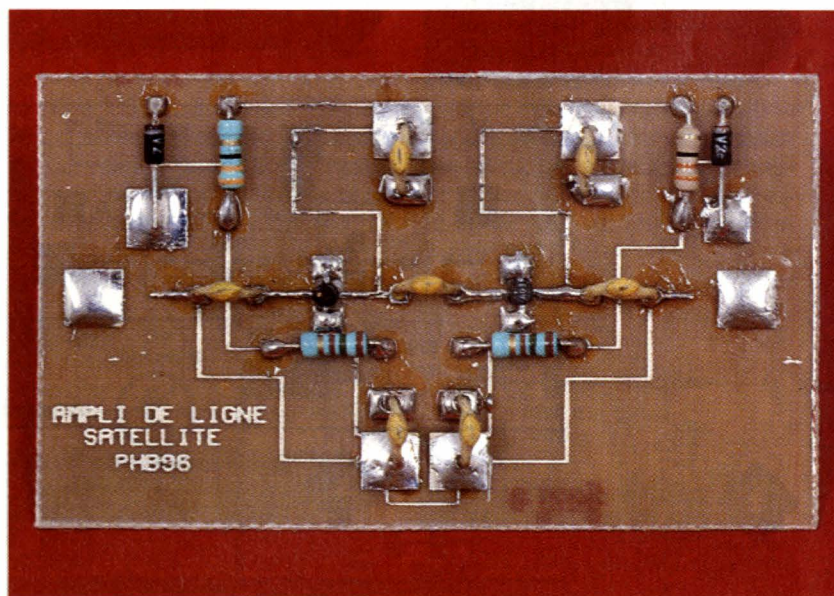
4 BROCHAGE DU BFR 96S ET DU MAV 11.



R2 EST IMPLANTÉE COTÉ PLAN DE MASSE. LE CARRÉ D'EPOXY SERT DE CONDENSATEUR BYPASS D'ALIMENTATION.



Lors de l'installation de son équipement de réception satellite on doit relier la tête au démodulateur. Parfois il arrive que la longueur excessive du câble coaxial vienne dégrader la qualité des images, pertes signal et augmentation du bruit de fond provoquant un faible rapport signal sur bruit. Dans le but d'améliorer les choses, nous vous proposons cette réalisation facile à réaliser à moindres frais.



AMPLIFICATEUR DE LIGNE SATELLITE

Le schéma

Le principe de ce montage repose sur le schéma proposé à la **figure 1**. La bande passante à -3dB couvre une décade allant de 220 à 2200MHz.

Le gain relevé est de 20dB avec une ondulation dans la bande de ± 3 dB, il peut fournir une puissance totale de 10mW.

Nous utilisons deux circuits intégrés, devenu maintenant courants, les MAR3. Ils jouent le rôle d'amplificateurs à très large bande, la consommation de chacun d'eux s'élève à 35mA pour une tension de 5V.

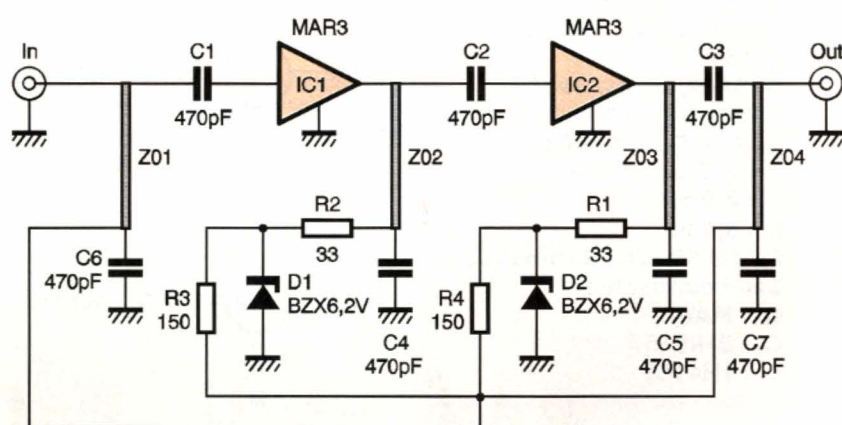
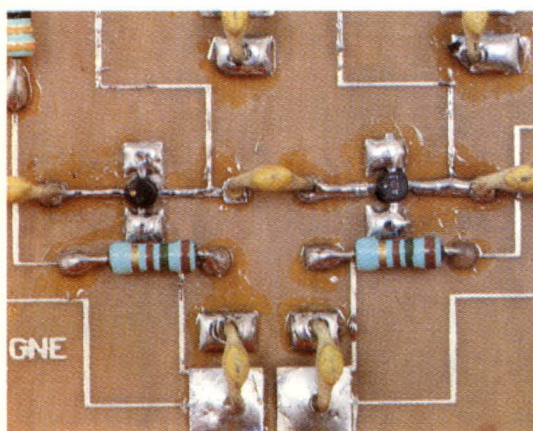
Les circuits de polarisation sont réalisés avec une diode zener qui régule la tension à 6,2V, cette façon de faire est obligatoire car la tension qui se trouve présente sur le câble coaxial varie de 12 à 18V, pour modifier la polarisation de la tête satellite.

La tension et le courant demandé par IC₁ et IC₂ est ajusté par les résistances R₁ et R₂.

Aucune self de chocs ne se trouve sur le circuit, elles ont été remplacées par des pistes directement imprimées sur le circuit. Le signal de commutation à 22kHz peut aisément traverser le montage sans altération.

Réalisation pratique

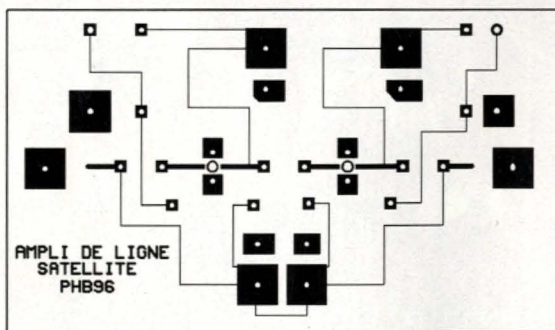
Le circuit imprimé de la **figure 2** comporte des pistes relativement fines et vous devrez prendre du soin pour sa réalisation, il faut utiliser du verre époxy de 0,8mm d'épaisseur. Avant de placer le premier composant il faut mettre en place toutes les traversées de masse, cette opération s'effectuera en utilisant des rivets ou des queues de composants. Les éléments sont placés à plat sur le circuit comme le montre la **figure 3**. On peut envisager la réalisation finale avec un boîtier en tôle étamée équipé des connecteurs d'entrée/sortie de type F femelle.



1 IMPLANTATION DES MAR3 AVEC REPÉRAGE. LE POINT DE COULEUR MATÉRIALISE L'ENTRÉE POUR LES MAR "X".

1 LE SCHÉMA AVEC LES LIGNES MICROSTRIP ZO, À ZO, ICI UTILISÉES EN SELF DE CHOC.

Aucune mise au point ne s'avère nécessaire et le fonctionnement doit être immédiat.



2 CI COTÉ COMPOSANTS. L'AUTRE FACE EST UN PLAN DE MASSE.

3 IMPLANTATION. LES ASTÉRISQUES MATÉRIALISENT LES TRAVERSÉES.

Nomenclature

Résistances

R₁, R₂ : 33 Ω
(orange, orange, noir)
R₃, R₄ : 150 Ω
(marron, vert, marron)

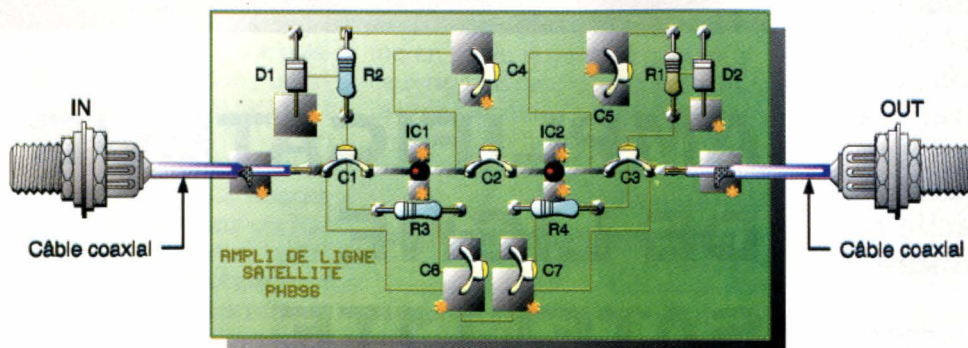
Condensateurs

C₁ à C₇ : 470 pF

Semi-conducteurs

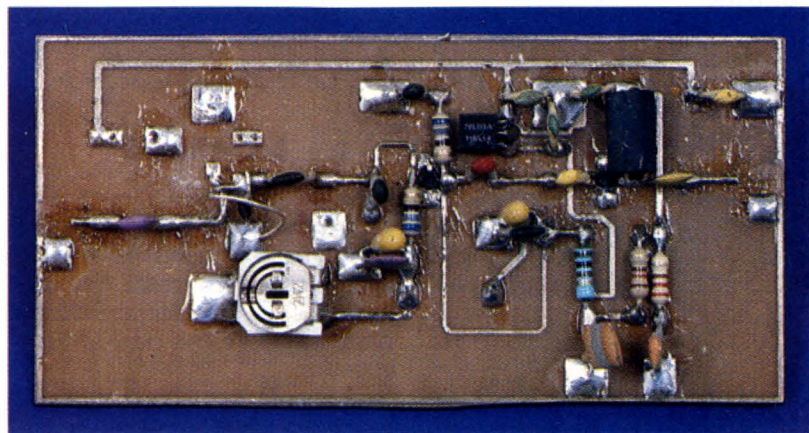
IC₁, IC₂ : MAR3

D₁, D₂ : BZX 6,2V



PREAMPLIFICATEUR TV FAIBLE BRUIT

Lorsqu'une antenne de télévision se retrouve en limite de portée d'un émetteur, on ne recueille qu'un faible signal. Noyé dans le bruit ou à la limite, la seule solution consiste à porter son niveau vers une valeur exploitable par le récepteur de télévision, sans pour autant ajouter trop le bruit. Il existe pour cela des montages qui vont permettre d'augmenter la puissance du signal, ce sont les amplificateurs à faible bruit.



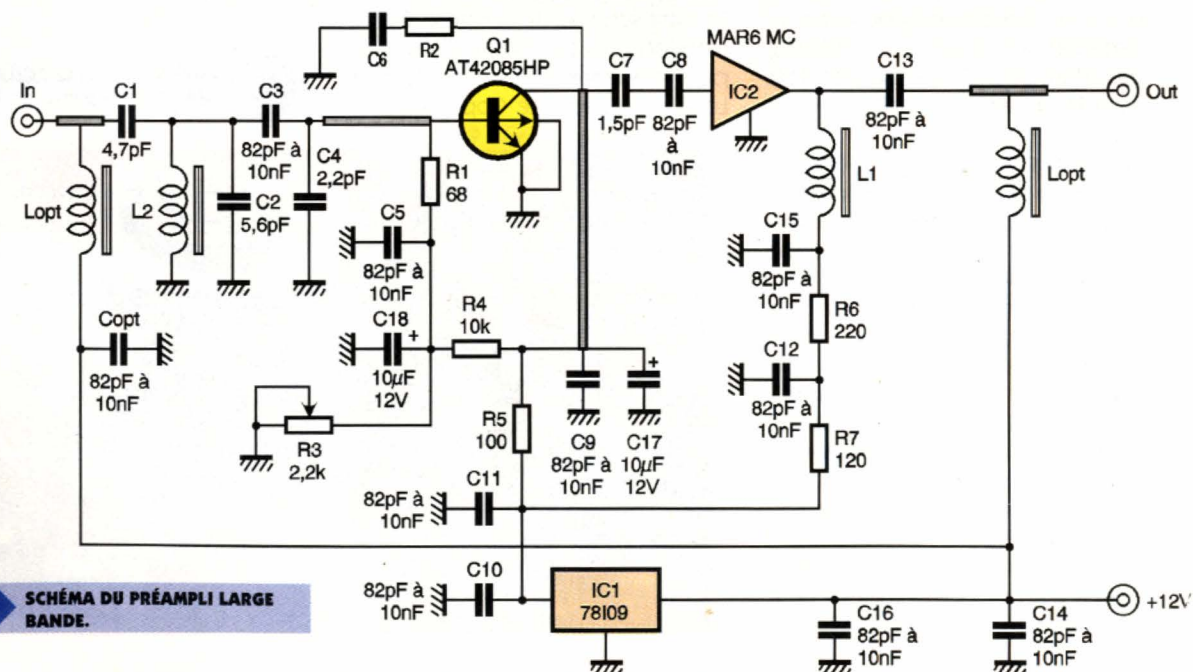
En bref

Le transistor bipolaire AT42085 utilisé dans cette application, distribué par la firme américaine HEWLETT PACKARD, a une fréquence de transition de 8 GHz et une figure de bruit légèrement inférieure à 2 dB quand on l'utilise à une fréquence de 2 GHz.

Autant dire que ses performances dans la bande qui nous intéresse seront excellentes. A 0,5 GHz, le fabricant donne une figure de bruit de 1,2 dB, à 1 GHz elle passe à 1,3 dB. De tels avantages vont être mis à profit pour réaliser notre montage, simultanément il procure un gain non négligeable de 10 dB.

Utilité d'un préampli et figure de bruit

Un récepteur de télévision moderne demande un signal dont le niveau atteint au minimum 60dBμV (pour 40dB de rapport signal sur bruit), ce qui correspond à une amplitude de 1mV sous 75Ω (13nW). Pour des commodités de langage, nous raisonnerons en terme de puissance exprimée en dBm. On fixe la référence "0dBm" comme équivalente à 1mW sous 75Ω (274mV), sous cette forme notre seuil de réception devient -49dBm. Dans une installation classique, une antenne est souvent placée à l'endroit le plus dégagé et dirigée au mieux vers un ré-émetteur TV.



1

SCHEMA DU PREAMPLI LARGE BANDE.

Selon le nombre d'éléments dont elle dispose, on assiste à de grandes dispersions de ses caractéristiques. Le gain peut aller de 6 à 16dB, la directivité s'accroît également avec le nombre des éléments. Prenons une installation dont l'antenne procure 10dB de gain, la descente en câble coaxial avec les raccords et prises diverses engendrent des pertes de 6dB au pire.

Le niveau capté par l'antenne est fixé à -60dBm donnant une image fortement bruitée auquel on ajoute 10dB de gain dû à l'antenne et l'on retranche 6dB en pertes diverses ; il reste à l'entrée du téléviseur -56dBm insuffisants pour obtenir le bon rapport signal sur bruit. La solution consiste donc à amplifier le groupe de canaux TV au plus près de l'antenne, il faut alors un module qui soit capable de remplir les conditions suivantes :

- faible figure de bruit
- gain suffisant
- dynamique importante
- alimentation par le câble coaxial.

Il faut aussi garder à l'esprit qu'il est toujours préférable d'améliorer l'antenne d'abord : grand gain et forte directivité avec une installation rigoureuse et soit diriger au plus court vers le poste TV.

Le montage décrit dans ce numéro présente les performances suivantes : gain de 23dB, bande passante à -3dB couvrant le spectre de 220MHz à 900MHz, figure de bruit estimée inférieure à 5dB, dynamique de 60dB.

La dynamique d'un préampli correspond à la différence des signaux minimum détectables et le maximum admissible avant qu'il ne sature. En effet, considérant la bande passante de 600MHz, ce préampli dispose d'un plancher de bruit équivalent à -82dBm ($S = -174\text{dBm} + F + 10\log B$), et il sature pour des puissances dont l'amplitude atteint -20dBm sur son entrée.

On peut facilement gagner 10dB sur le seuil en portant la bande passante du préampli à 60MHz, mais il faudrait alors un préampli par groupe de canaux TV.

Voyons maintenant l'effet de la figure de bruit sur la qualité de l'image en prenant les caractéristiques indiquées plus haut. Le signal à amplifier présente une amplitude de 50µV, le bruit à l'entrée du préampli vaut 5µV (par exemple). Le niveau du signal utile en sortie aura une amplitude de 707µV (-52dBm), celui du bruit passe à 177µV (-64dBm), donnant un rapport signal sur bruit de 12dB.

Si on utilise un modèle dont la figure de bruit atteint 8dB, l'amplitude de la tension de bruit en sortie passe à presque 450µV (-56dBm pour le même niveau de sortie du signal utile), donnant alors un rapport signal sur bruit de 4dB.

Il serait tout à fait possible de donner les détails de ce parachutage de chiffres, mais le but de cet article est de faire comprendre les choses simplement et de réaliser un ampli qui permettra de regarder la TV avec une qualité d'image respectable.

Le schéma

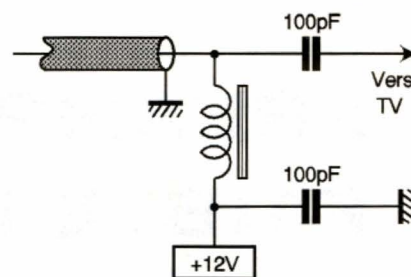
La **figure 1** présente la structure électronique de notre montage. Le filtre d'entrée constitué des éléments L_2 , C_2 , présente une bande passante qui s'étend de 200MHz à 900MHz.

Une adaptation large bande du transistor Q_1 a été rendue possible grâce aux caractéristiques de ce modèle. Elle est réalisée par la capacité C_4 et la ligne de 12mm de long. Le courant de polarisation du transistor traverse la résistance R_1 de 68Ω (ou 75Ω) venant du pont diviseur R_3 et R_4 .

Le collecteur se retrouve amorti par le réseau série R_2/C_6 pour éviter à cet étage de devenir instable, c'est à dire se transformer en oscillateur. La sortie de Q_1 est adaptée vers IC_2 grâce au condensateur C_7 et la ligne de 36mm de long. Le circuit MMIC IC_2 apporte un gain supplémentaire de 17dB dans la bande de fréquences TV.

L'inductance Lopt sert uniquement dans le cas où cet amplificateur est installé au plus près de l'antenne (configuration souhaitée).

Le petit schéma de la **figure 2** sera alors employé du côté téléviseur pour alimenter cet ampli. La self Lopt et la capacité Copt dont les



2

TÉLÉALIMENTATION PAR LE CÂBLE GRÂCE AU RÉSEAU L,C (LOPT, COPT SUR NOS SCHÉMAS).

emplacements respectifs sont prévus sur l'entrée de ce module permettent de sortir le 12V, ceci dans le but de pouvoir alimenter d'autres sous-ensembles.

La réalisation pratique

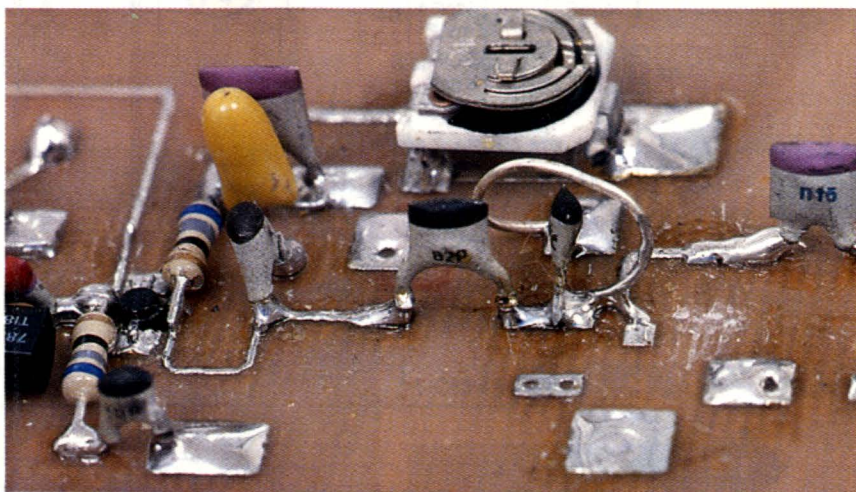
La **figure 3** représente le dessin du circuit imprimé. Celui-ci, réalisé sur une plaque de verre époxy 8/10 double face, ne comporte guère de difficultés de réalisation.

Le respect des largeurs des pistes reste néanmoins le plus important pour un fonctionnement correct du module.

Une fois la gravure faite, il s'agit de percer les trous dans lesquels viendront se loger les rivets de masse repérés par un astérisque* sur la **figure 4**. Deux autres trous seront pratiqués aux emplacements des éléments Q_1 et IC_2 , ceci dans le but d'y insérer chacun d'eux.

A noter que tous les composants sont disposés du côté des pistes, sur le dessus de la platine.

GROS PLAN SUR LE CÂBLAGE ET RÉALISATION DE L₁.



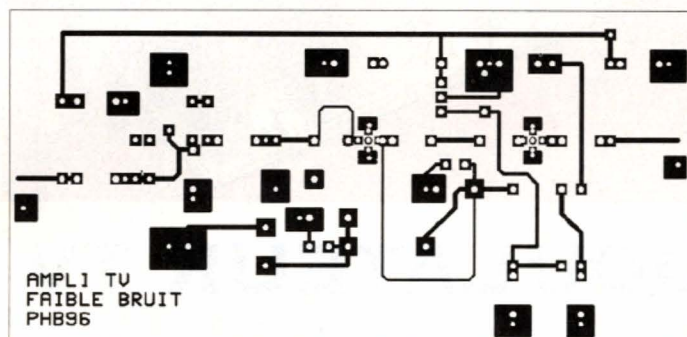
Mise au point

A la mise en route du montage, il faut contrôler les deux points suivants : polarisation de IC₂ à 3,5V/16mA au point commun de C₁₅/R₆/L₃ et 8V/10mA au point commun de R₄/R₅/C₉ pour le transistor Q₁. Cette dernière tension sera ajustée par le réglage de la résistance R₃. Lorsque tout semble normal, on peut procéder aux essais concernant le

fonctionnement. Lorsque l'on ne dispose pas du matériel de mesure adéquat, on peut vérifier l'efficacité de l'ampli en plaçant un atténuateur 20dB à l'entrée du poste TV (dans le cas de niveaux de réception limites, sinon il faut en placer plusieurs). On apprécie l'image puis le module décrit vient s'intercaler entre l'atténuateur et le TV. L'image doit réapparaître comme précédemment, dans ce cas le gain minimum est bien de 20dB.

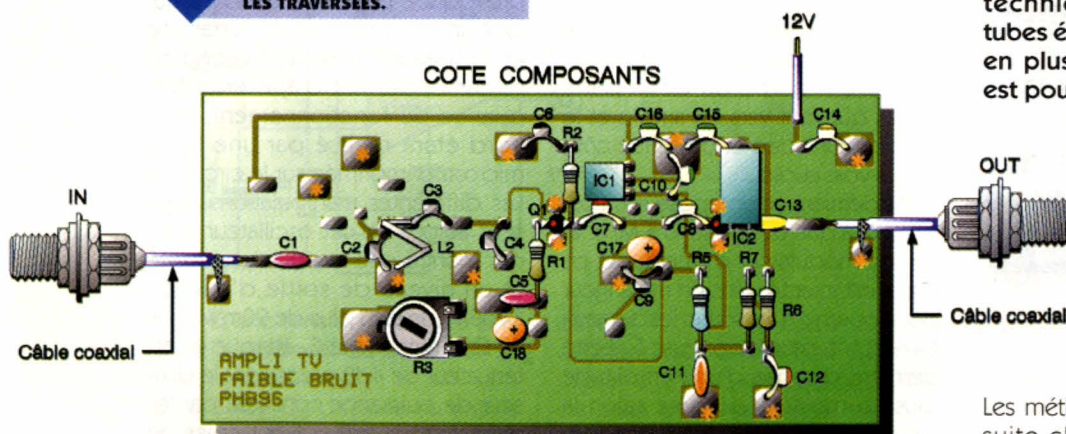
3

CIRCUIT IMPRIMÉ COTÉ COMPOSANTS, LA FACE CUIVRÉE EST UN PLAN DE MASSE.



4

SUR L'IMPLANTATION, LES ASTÉRIQUES MATÉRIALISENT LES TRAVERSÉES.



Nomenclature

Résistances

R₁, R₂ : 68 Ω
(bleu, gris, noir)
R₃ : 2,2 kΩ ajustable
horizontale
R₄ : 10 kW
(marron, noir, orange)
R₅ : 100 Ω
(marron, noir, marron)
R₆ : 220 Ω
(rouge, rouge, marron)
R₇ : 120 Ω
(marron, rouge, marron)

Condensateurs

C₁ : 4,7 pF céramique

C₂ : 5,6 pF céramique
C₃, C₅, C₈ à C₁₆ : 82 pF à 10 nF
céramique
C₄ : 2,2 pF céramique
C₆ : 10 à 33 pF céramique
C₇ : 1,5 pF céramique
C₁₇, C₁₈ : 10 µF/12V chimique

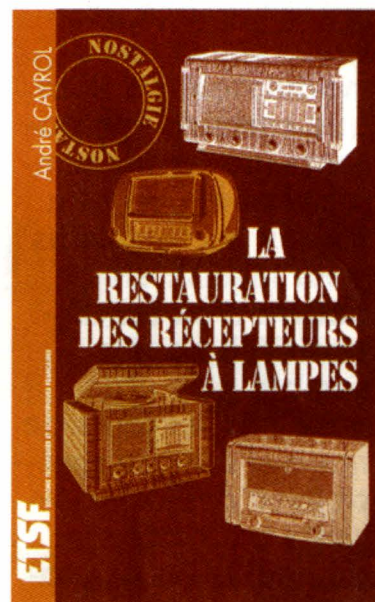
Semi-conducteurs

Q₁ : AT42085 HP
IC₁ : 78L09
IC₂ : MAR6

Inductances

L₁ : 2 tours de fil 6/10 sur
perle 6 trous
L₂ : 1 spire étirée (voir les
photos), Ø 6mm, fil 6/10

LA RESTAURATION DES RÉCEPTEURS À LAMPES



Les "postes à lampes" appartiennent à notre patrimoine, mais les techniciens connaissant les tubes électroniques sont de plus en plus rares. Cette technique est pourtant d'un abord facile.

Dans cet ouvrage, l'auteur passe en revue le fonctionnement des différents étages qui composent un "postes à lampes", et signale leurs points faibles.

Les méthodes de réglage sont ensuite clairement abordées. Les composants spécifiques de ces appareils, ainsi que l'outillage nécessaire sont également étudiés en détail. L'auteur dévoile enfin les méthodes utilisées par les réparateurs professionnels, qui font gagner du temps et assurent des réparations durables.

Le lecteur curieux y trouvera des données historiques, et les renseignements pratiques à mettre en œuvre afin de connaître la joie que procurera la "résurrection" d'un "poste" muet depuis des années.

UN VOLUME BROCHÉ AU PRIX DE 135 F TTC
ETSF EDETEUR

Dans le cadre de ce dossier, nous n'avons pas pu résister au plaisir de vous présenter une nouvelle réalisation de modulateur TV. Bien que certains composants modernes remplissent à merveille toutes les fonctions pour la mise en oeuvre d'un tel dispositif, il nous a semblé plus utile pour nos lecteurs de réaliser une maquette avec des composants courants afin de limiter les approvisionnements souvent délicats de quelques références spécialisées. Ce module permettra, à l'intérieur d'une maison, le transport d'une émission d'un magnétoscope vers un TV par exemple.

Le principe

Contrairement à la plupart des réalisations de ce genre déjà présentées, celle-ci fonctionne directement en norme française, standard L, modulation vidéo positive et sous-porteuse audio en AM décalée de 6,5 MHz. Ce genre d'émetteur pose de gros problèmes de conception puisqu'il faut réussir à transmettre deux porteuses modulées en amplitude et éviter les perturbations de l'une sur l'autre. En norme B, la sous-porteuse audio à 5,5 MHz peut se superposer directement à la vidéo ; en norme L, il faut traiter les deux voies séparément en gardant le décalage de 6,5 MHz constant par rapport à la porteuse vidéo. Le principe retenu pour mener à bien cette réalisation repose sur le schéma de la **figure 1**.



MODULATEUR TV EXPÉRIMENTAL

On part d'un oscillateur "maître" calé sur la porteuse vidéo, ici 591,25 MHz pour transmettre sur le canal 36 ; la puissance HF produite par celui-ci se retrouve répartie en deux parts égales qui vont vers les amplis et le modulateur vidéo et de l'autre côté vers la voie audio.

Cette dernière se compose d'un oscillateur à quartz calé sur 6,5 MHz et de son modulateur d'amplitude, ce signal est injecté dans un mélangeur pour obtenir à la sortie les signaux $f_0 + f_1$ et $f_0 - f_1$ plus la porteuse f_0 . Cette dernière dispose d'une amplitude plus ou moins importante selon la nature du mélangeur, avec un modèle en anneau la porteuse f_0 sera atténuée d'au moins 10 dB.

La seule fréquence qui nous intéresse correspond à $f_0 + f_1$. Les deux voies audio et vidéo sont amplifiées séparément avant de passer par un coupleur 10 dB afin de pouvoir exploiter le canal TV avec une seule antenne ou un seul câble coaxial.

Le schéma (figure 1)

L'oscillateur principal

Il est construit autour d'un classique transistor bipolaire Q_1 qui a déjà fait ses preuves dans d'autres réalisations. Son fonctionnement repose sur le principe de l'oscillateur col-

pitts. La résistance "négative" est provoquée par la capacité C_1 qui joue un rôle important sur la stabilité et la puissance de sortie. Le condensateur C_2 permet d'ajuster la fréquence de fonctionnement, l'accord étant réalisé par une ligne microstrip imprimée sur le circuit.

Les différentes manipulations réalisées autour de cet oscillateur nous ont montré une excellente stabilité et un niveau de sortie d'environ 14 dBm (un peu plus de 20 mW sous 50 Ω). La capacité C_4 attaque un atténuateur de 4 dB précédant le diviseur de puissance constitué par les résistances R_9 à R_{10} . Aux bornes de R_{34} on mesure un niveau de 4 dBm. Cet ensemble atténuateur/diviseur de puissance procure deux avantages, l'isolation de l'oscillateur vis à vis des charges en aval et le partage de la puissance vers les deux voies audio et vidéo.

La voie vidéo

La porteuse pure, non encore modulée par le signal vidéo traverse un amplificateur MINI CIRCUIT de type MAV11 pour porter le niveau à 16 dBm. Le MAV11 est polarisé sous une tension de 5,5 V avec un courant de 60 mA.

Le transistor Q_3 sert de modulateur, il reçoit sur son collecteur la tension vidéo amplifiée par IC_2 . La superpo-

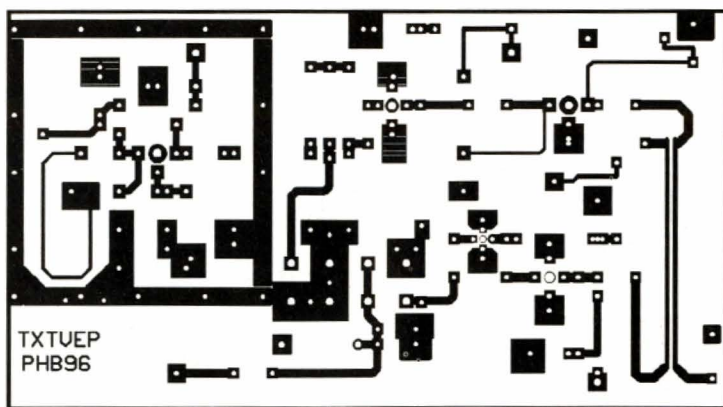


La modulation en amplitude de l'image se réalise en appliquant les signaux vidéocomposites sur le collecteur de Q₃. Pour ce faire, nous

LA PLATINE ÉMISSION. ATTENTION MIX₁ ET R₆, R₁₃ SONT SOUDÉS CÔTÉ PLAN DE MASSE.

cateur vidéo, la capacité du condensateur C_{11} ne doit pas dépasser une valeur limite pour éviter de créer un filtre vis à vis des fréquences vidéo, la coupure de ce filtre doit se situer aux environs de 10MHz. La porteuse modulée en amplitude est ensuite véhiculée vers le coupleur via une piste 50 Ω .



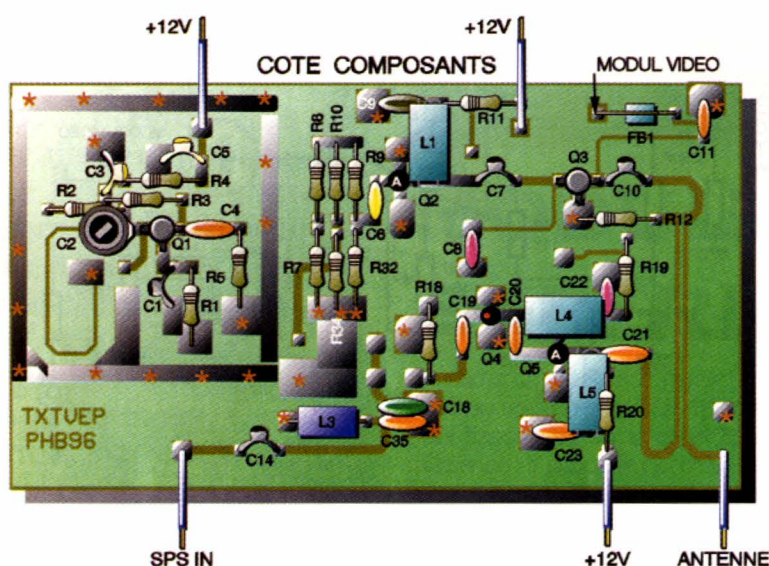


2

**CIRCUIT IMPRIMÉ,
CÔTÉ COMPOSANTS.**

3a

**... ET IMPLANTATION
DE LA PLATINE "ÉMISSION".**



avons besoin d'un amplificateur non inverseur disposant d'une bande passante de 10 MHz avec un gain de 4. Le circuit NE592 nous a semblé le plus adéquat pour cet usage. Avant d'injecter la vidéo sur le transistor Q₃, un circuit d'aligne-

ment sur le palier noir a été réalisé. Il fixe le niveau moyen de la modulation lors des variations de la luminosité, cela évite de rogner les tops de synchronisation.

La voie audio

La sous-porteuse 6,5 MHz doit être modulée en amplitude par les signaux provenant d'une source audio, magnétoscope ou camescope

par exemple. La stabilité de l'oscillateur est assurée grâce à l'utilisation d'un quartz. Le transistor Q₆ fait office d'étage oscillateur colpitts modulé en amplitude par le transistor Q₇. Ce dernier reçoit sur sa base les signaux audio qui font varier le courant collecteur au rythme de la modulation, le niveau de sortie de l'oscillateur évolue donc en conséquence. La sous-porteuse se retrouve sur le port FI du mélangeur MIX₁, la voie OL de celui-ci reçoit le signal venant de l'oscillateur principal. Aux bornes de R₁₈ on récupère la somme et la différence des deux signaux, ils vont se retrouver amplifiés par les deux MMIC Q₄ et Q₅ avant d'aboutir sur le coupleur d'antenne.

Le coupleur

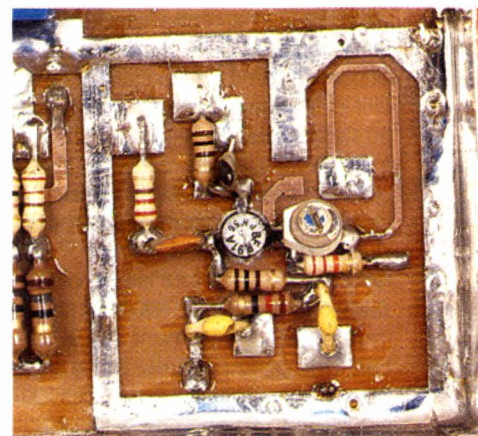
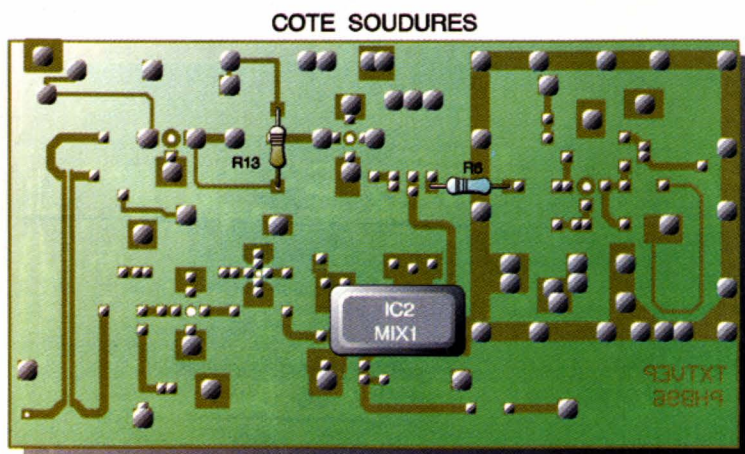
Pour éviter des réalisations difficiles voire même impossibles, nous avons choisi une solution dont l'efficacité dépend en grande partie de la qualité de réalisation du circuit imprimé. Ce coupleur dispose d'une isolation entre voies d'environ 20dB. Nous avons préféré, à l'origine, employer un coupleur 3dB, mais son encombrement prohibitif nous en a dissuadés.

Réalisation pratique

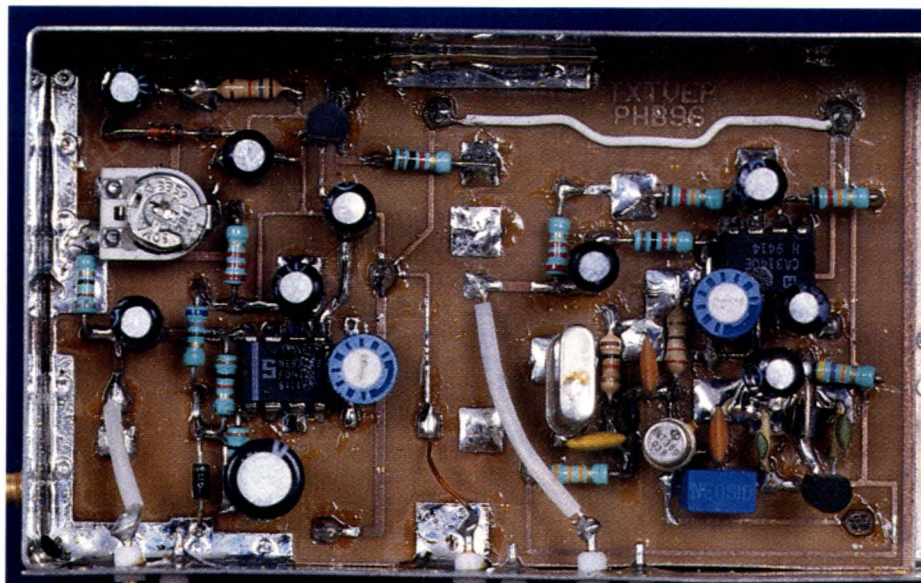
Le montage a été réalisé sur deux platines en verre époxy double face de 0,8mm d'épaisseur, l'une supporte toute la partie RF tandis que l'autre comprend les sous-ensembles vidéo et sous-porteuse. Le dessin des typons se trouve sur les figures 2 et 4. Après la fabrication des circuits imprimés, il faut percer les trous à 0,8 ou 1,3mm pour les traversées de masse, selon la nature de celles-ci (queues de composants ou rivets).

3b

**CÔTÉ SOUDURES DE LA PLATINE
"ÉMISSION". LES PISTES SONT
VUES PAR TRANSPARENCE, CETTE
FACE EST UN PLAN DE MASSE.**



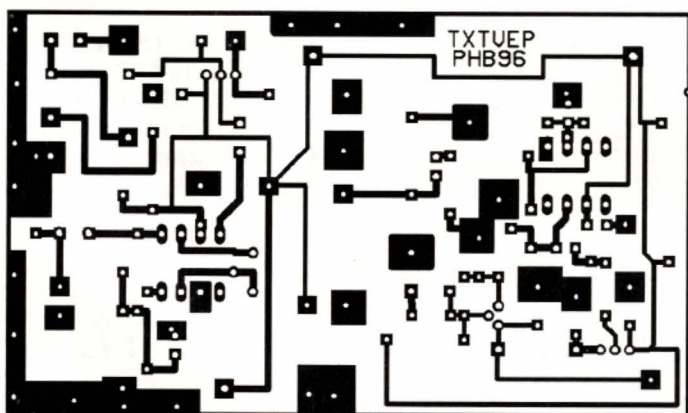
**VUE DE L'OSCILLATEUR CALÉ
SUR LE CANAL 36.**



LA PLATINE "MODULATION".

La mise en place des composants s'effectue selon les implantations présentées aux **figures 3a, 3b et 5**, les éléments R_6 , R_{13} et MIX_1 se trouvent du côté du plan de masse. Des trous seront percés, puis on dégagera le cuivre autour à l'aide d'un foret de 6mm pour y loger ces trois composants. Les brochages des semi-conducteurs, notamment MAV11 ont déjà été fournis dans ce dossier. Tous les points notés 12V, MODUL VIDEO et SPS IN/OUT seront percés à 0,8mm pour y placer les fils de traversées reliant les deux platines (voir les photos). L'ensemble du montage ne pose pas de grosses difficultés si l'on prend soin de bien regarder l'implantation et les photos. La réalisation finale sera, selon les goûts, implantée ou non dans un boîtier en fer étamé, ce qui s'avère préférable. Pour ce faire on s'inspirera des photos.

Réglages et mises au point

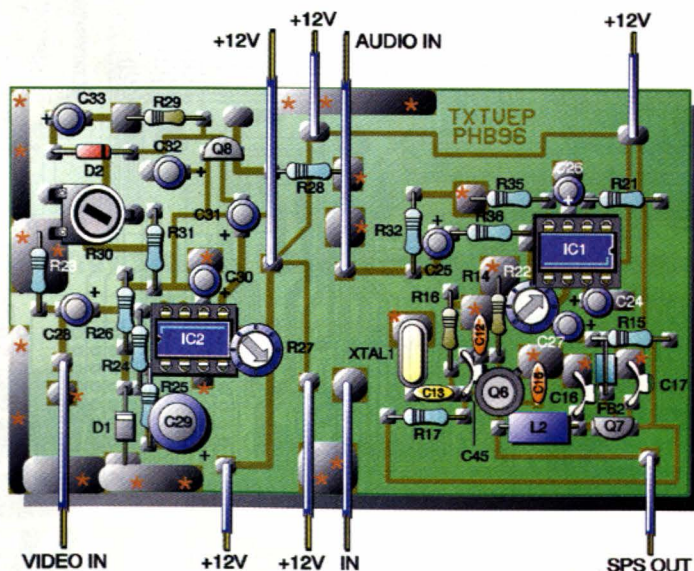


4

CIRCUIT IMPRIMÉ...

5

... ET IMPLANTATION DE LA PLATINE "MODULATION". LA FACE CUIVRÉE EST UN PLAN DE MASSE.



Conclusion

Cette réalisation à but expérimental, vous permettra de goûter aux joies des transmissions audio/vidéo. Il devient possible d'envisager un portier audio-vidéo, une télédistribution privée, une vidéosurveillance et bien d'autres applications que vous aurez le loisir de découvrir. Malgré tout, faites quand même très attention à la quiétude de votre voisinage.

Nomenclature

Résistances

R₁, R₃, R₁₁, R₂₀ : 100 Ω
(marron, noir, marron)
R₂ : 22 kΩ
(rouge, rouge, orange)
R₄ : 12 Ω
(marron, rouge, noir)
R₅, R₇, R₁₄ : 220 Ω
(rouge, rouge, marron)
R₆ : 22 Ω
(rouge, rouge, noir)
R₈ à R₁₀ : 18 Ω
(marron, gris, noir)
R₁₂, R₁₈, R₃₃, R₃₄ : 56 Ω
(vert, bleu, noir)
R₁₃ : 15 kΩ
(marron, vert, orange)
R₁₅ : 47 kΩ
(jaune, violet, orange)

R₁₆ : 10 kΩ
(marron, noir, orange)
R₁₇ : 33 kΩ
(orange, orange, orange)
R₁₉ : 560 Ω
(vert, bleu, marron)
R₂₁, R₃₅ : 12 kΩ
(marron, rouge, orange)
R₂₂, R₂₇ : 100 kΩ AJ
R₂₃ à R₂₅, R₂₈, R₃₆ : 1 kΩ
(marron, noir, rouge)
R₂₆ : 680 Ω
(bleu, gris, marron)
R₂₉ : 18 kΩ
(marron, gris, orange)
R₃₀ : 1 kΩ AJ
R₃₁, R₃₂ : 2,2 kΩ
(rouge, rouge, rouge)

Condensateurs

céramiques, sauf indication contraire
C₁, C₁₀ : 5,6 pF
C₂ : 5,6 pF ou 10 pF AJ
C₃, C₅, C₂₃ : 470 pF
C₄, C₁₁, C₁₉ à C₂₁ : 120 pF
C₆ : 2,2 nF
C₇ : 8,2 pF
C₈, C₂₂ : 220 pF
C₉ : 100 pF
C₁₂, C₁₅, C₃₅ : 560 pF
C₁₃ : 3,3 nF
C₁₄ : 39 pF
C₁₆ : 4,7 nF
C₁₇ : 10 nF
C₁₈ : 180 pF

C₂₄ à C₂₈, C₃₀ à C₃₃ : 2,2 μF chimique
C₂₉ : 330 μF chimique
C₃₄ : 56 pF

Inductances

L₁, L₄, L₅ : ferrite 6 trous, 1,5 tour de fil 6/10
L₂ : 1 μH neosid SD75
L₃ : 820 nH neosid SD75
FB₁, FB₂ : perle ferrite, 1/2 tour de fil 6/10
(voir les photos)
Quartz
XTAL₁ : 6,5 MHz, résonance parallèle 30 pF
Semi-conducteurs
MIX₁ : mélangeur SBL1
D₁ : BZX 6,2V
D₂ : 1N4148
Q₁ : BFR91A
Q₂ : MAV11
Q₃ : BFR96S
Q₄ : MAR6
Q₅ : MAV11
Q₆ : 2N2369
Q₇ : BC550C
IC₁ : CA3140
IC₂ : NE592

Divers

6 traversées téflon
1 fiche mâle SMB pour chassis ou BNC femelle
1 boîtier en tôle étamée
Circuit imprimé de 8/10mm

information technique, autres logiciels et mises à jour :

Pour l'électronicien créatif.

3614 code LAYOFrance

395 F
LAYO1E
Max. 1 000 vecteurs/pastilles
Pour les amateurs
Dessin (1/1280^{ème} pouce) + autorouteur multi-mais aussi simple face. 100% OPÉRATIONNEL (sorties & sauvegarde) et en français.
700 composants dont 100 CMS, 16 couches + manuel. Importation schémas ou NETs et placement des composants automatique.

750 F
DOUBLE
Extension 2 000 vecteurs/pastilles
Amateurs exigeants

1550 F
QUATRO
Extension 4 000 vecteurs/pastilles
Sociétés

LAYO FRANCE SARL
Château Garamache - Sauvebonne
83400 HYERES
Tél: 94.28.22.59 Fax: 94.48.22.16
Téléchargements - mises à jour : 3617 code LAYO

2.4576 MHz
C4 10nF
U1C 74LS00
U2A 74LS393
U2B 74LS393
U2C 74LS393
U3A 74LS393
U3B 74LS393
U3C 74LS393
U3D 74LS393
U3E 74LS393
U3F 74LS393
U3G 74LS393
U3H 74LS393
U3I 74LS393
U3J 74LS393
U3K 74LS393
U3L 74LS393
U3M 74LS393
U3N 74LS393
U3O 74LS393
U3P 74LS393
U3Q 74LS393
U3R 74LS393
U3S 74LS393
U3T 74LS393
U3U 74LS393
U3V 74LS393
U3W 74LS393
U3X 74LS393
U3Y 74LS393
U3Z 74LS393
U3AA 74LS393
U3AB 74LS393
U3AC 74LS393
U3AD 74LS393
U3AE 74LS393
U3AF 74LS393
U3AG 74LS393
U3AH 74LS393
U3AI 74LS393
U3AJ 74LS393
U3AK 74LS393
U3AL 74LS393
U3AM 74LS393
U3AN 74LS393
U3AO 74LS393
U3AP 74LS393
U3AQ 74LS393
U3AR 74LS393
U3AS 74LS393
U3AT 74LS393
U3AU 74LS393
U3AV 74LS393
U3AW 74LS393
U3AX 74LS393
U3AY 74LS393
U3AZ 74LS393
U3BA 74LS393
U3BB 74LS393
U3BC 74LS393
U3BD 74LS393
U3BE 74LS393
U3BF 74LS393
U3BG 74LS393
U3BH 74LS393
U3BI 74LS393
U3BJ 74LS393
U3BK 74LS393
U3BL 74LS393
U3BM 74LS393
U3BN 74LS393
U3BO 74LS393
U3BP 74LS393
U3BQ 74LS393
U3BR 74LS393
U3BS 74LS393
U3BT 74LS393
U3BU 74LS393
U3BV 74LS393
U3BW 74LS393
U3BX 74LS393
U3BY 74LS393
U3BZ 74LS393
U3CA 74LS393
U3CB 74LS393
U3CC 74LS393
U3CD 74LS393
U3CE 74LS393
U3CF 74LS393
U3CG 74LS393
U3CH 74LS393
U3CI 74LS393
U3CJ 74LS393
U3CK 74LS393
U3CL 74LS393
U3CM 74LS393
U3CN 74LS393
U3CO 74LS393
U3CP 74LS393
U3CQ 74LS393
U3CR 74LS393
U3CS 74LS393
U3CT 74LS393
U3CU 74LS393
U3CV 74LS393
U3CW 74LS393
U3CX 74LS393
U3CY 74LS393
U3CZ 74LS393
U3DA 74LS393
U3DB 74LS393
U3DC 74LS393
U3DD 74LS393
U3DE 74LS393
U3DF 74LS393
U3DG 74LS393
U3DH 74LS393
U3DI 74LS393
U3DJ 74LS393
U3DK 74LS393
U3DL 74LS393
U3DM 74LS393
U3DN 74LS393
U3DO 74LS393
U3DP 74LS393
U3DQ 74LS393
U3DR 74LS393
U3DS 74LS393
U3DT 74LS393
U3DU 74LS393
U3DV 74LS393
U3DW 74LS393
U3DX 74LS393
U3DY 74LS393
U3DZ 74LS393
U3EA 74LS393
U3EB 74LS393
U3EC 74LS393
U3ED 74LS393
U3EE 74LS393
U3EF 74LS393
U3EG 74LS393
U3EH 74LS393
U3EI 74LS393
U3EJ 74LS393
U3EK 74LS393
U3EL 74LS393
U3EM 74LS393
U3EN 74LS393
U3EO 74LS393
U3EP 74LS393
U3EQ 74LS393
U3ER 74LS393
U3ES 74LS393
U3ET 74LS393
U3EU 74LS393
U3EV 74LS393
U3EW 74LS393
U3EX 74LS393
U3EY 74LS393
U3EZ 74LS393
U3FA 74LS393
U3FB 74LS393
U3FC 74LS393
U3FD 74LS393
U3FE 74LS393
U3FF 74LS393
U3FG 74LS393
U3FH 74LS393
U3FI 74LS393
U3FJ 74LS393
U3FK 74LS393
U3FL 74LS393
U3FM 74LS393
U3FN 74LS393
U3FO 74LS393
U3FP 74LS393
U3FQ 74LS393
U3FR 74LS393
U3FS 74LS393
U3FT 74LS393
U3FU 74LS393
U3FV 74LS393
U3FW 74LS393
U3FX 74LS393
U3FY 74LS393
U3FZ 74LS393
U3GA 74LS393
U3GB 74LS393
U3GC 74LS393
U3GD 74LS393
U3GE 74LS393
U3GF 74LS393
U3GG 74LS393
U3GH 74LS393
U3GI 74LS393
U3GJ 74LS393
U3GK 74LS393
U3GL 74LS393
U3GM 74LS393
U3GN 74LS393
U3GO 74LS393
U3GP 74LS393
U3GQ 74LS393
U3GR 74LS393
U3GS 74LS393
U3GT 74LS393
U3GU 74LS393
U3GV 74LS393
U3GW 74LS393
U3GX 74LS393
U3GY 74LS393
U3GZ 74LS393
U3HA 74LS393
U3HB 74LS393
U3HC 74LS393
U3HD 74LS393
U3HE 74LS393
U3HF 74LS393
U3HG 74LS393
U3HH 74LS393
U3HI 74LS393
U3HJ 74LS393
U3HK 74LS393
U3HL 74LS393
U3HM 74LS393
U3HN 74LS393
U3HO 74LS393
U3HP 74LS393
U3HQ 74LS393
U3HR 74LS393
U3HS 74LS393
U3HT 74LS393
U3HU 74LS393
U3HV 74LS393
U3HW 74LS393
U3HX 74LS393
U3HY 74LS393
U3HZ 74LS393
U3IA 74LS393
U3IB 74LS393
U3IC 74LS393
U3ID 74LS393
U3IE 74LS393
U3IF 74LS393
U3IG 74LS393
U3IH 74LS393
U3II 74LS393
U3IJ 74LS393
U3IK 74LS393
U3IL 74LS393
U3IM 74LS393
U3IN 74LS393
U3IO 74LS393
U3IP 74LS393
U3IQ 74LS393
U3IR 74LS393
U3IS 74LS393
U3IT 74LS393
U3IU 74LS393
U3IV 74LS393
U3IW 74LS393
U3IX 74LS393
U3IY 74LS393
U3IZ 74LS393
U3JA 74LS393
U3JB 74LS393
U3JC 74LS393
U3JD 74LS393
U3JE 74LS393
U3JF 74LS393
U3JG 74LS393
U3JH 74LS393
U3JI 74LS393
U3JJ 74LS393
U3JK 74LS393
U3JL 74LS393
U3JM 74LS393
U3JN 74LS393
U3JO 74LS393
U3JP 74LS393
U3JQ 74LS393
U3JR 74LS393
U3JS 74LS393
U3JT 74LS393
U3JU 74LS393
U3JV 74LS393
U3JW 74LS393
U3JX 74LS393
U3JY 74LS393
U3JZ 74LS393
U3KA 74LS393
U3KB 74LS393
U3KC 74LS393
U3KD 74LS393
U3KE 74LS393
U3KF 74LS393
U3KG 74LS393
U3KH 74LS393
U3KI 74LS393
U3KJ 74LS393
U3KK 74LS393
U3KL 74LS393
U3KM 74LS393
U3KN 74LS393
U3KO 74LS393
U3KP 74LS393
U3KQ 74LS393
U3KR 74LS393
U3KS 74LS393
U3KT 74LS393
U3KU 74LS393
U3KV 74LS393
U3KW 74LS393
U3KX 74LS393
U3KY 74LS393
U3KZ 74LS393
U3LA 74LS393
U3LB 74LS393
U3LC 74LS393
U3LD 74LS393
U3LE 74LS393
U3LF 74LS393
U3LG 74LS393
U3LH 74LS393
U3LI 74LS393
U3LJ 74LS393
U3LK 74LS393
U3LL 74LS393
U3LM 74LS393
U3LN 74LS393
U3LO 74LS393
U3LP 74LS393
U3LQ 74LS393
U3LR 74LS393
U3LS 74LS393
U3LT 74LS393
U3LU 74LS393
U3LV 74LS393
U3LW 74LS393
U3LX 74LS393
U3LY 74LS393
U3LZ 74LS393
U3MA 74LS393
U3MB 74LS393
U3MC 74LS393
U3MD 74LS393
U3ME 74LS393
U3MF 74LS393
U3MG 74LS393
U3MH 74LS393
U3MI 74LS393
U3MJ 74LS393
U3MK 74LS393
U3ML 74LS393
U3MM 74LS393
U3MN 74LS393
U3MO 74LS393
U3MP 74LS393
U3MQ 74LS393
U3MR 74LS393
U3MS 74LS393
U3MT 74LS393
U3MU 74LS393
U3MV 74LS393
U3MW 74LS393
U3MX 74LS393
U3MY 74LS393
U3MZ 74LS393
U3NA 74LS393
U3NB 74LS393
U3NC 74LS393
U3ND 74LS393
U3NE 74LS393
U3NF 74LS393
U3NG 74LS393
U3NH 74LS393
U3NI 74LS393
U3NJ 74LS393
U3NK 74LS393
U3NL 74LS393
U3NM 74LS393
U3NN 74LS393
U3NO 74LS393
U3NP 74LS393
U3NQ 74LS393
U3NR 74LS393
U3NS 74LS393
U3NT 74LS393
U3NU 74LS393
U3NV 74LS393
U3NW 74LS393
U3NX 74LS393
U3NY 74LS393
U3NZ 74LS393
U3OA 74LS393
U3OB 74LS393
U3OC 74LS393
U3OD 74LS393
U3OE 74LS393
U3OF 74LS393
U3OG 74LS393
U3OH 74LS393
U3OI 74LS393
U3OJ 74LS393
U3OK 74LS393
U3OL 74LS393
U3OM 74LS393
U3ON 74LS393
U3OO 74LS393
U3OP 74LS393
U3OQ 74LS393
U3OR 74LS393
U3OS 74LS393
U3OT 74LS393
U3OU 74LS393
U3OV 74LS393
U3OW 74LS393
U3OX 74LS393
U3OY 74LS393
U3OZ 74LS393
U3PA 74LS393
U3PB 74LS393
U3PC 74LS393
U3PD 74LS393
U3PE 74LS393
U3PF 74LS393
U3PG 74LS393
U3PH 74LS393
U3PI 74LS393
U3PJ 74LS393
U3PK 74LS393
U3PL 74LS393
U3PM 74LS393
U3PN 74LS393
U3PO 74LS393
U3PP 74LS393
U3PQ 74LS393
U3PR 74LS393
U3PS 74LS393
U3PT 74LS393
U3PU 74LS393
U3PV 74LS393
U3PW 74LS393
U3PX 74LS393
U3PY 74LS393
U3PZ 74LS393
U3QA 74LS393
U3QB 74LS393
U3QC 74LS393
U3QD 74LS393
U3QE 74LS393
U3QF 74LS393
U3QG 74LS393
U3QH 74LS393
U3QI 74LS393
U3QJ 74LS393
U3QK 74LS393
U3QL 74LS393
U3QM 74LS393
U3QN 74LS393
U3QO 74LS393
U3QP 74LS393
U3QQ 74LS393
U3QR 74LS393
U3QS 74LS393
U3QT 74LS393
U3QU 74LS393
U3QV 74LS393
U3QW 74LS393
U3QX 74LS393
U3QY 74LS393
U3QZ 74LS393
U3RA 74LS393
U3RB 74LS393
U3RC 74LS393
U3RD 74LS393
U3RE 74LS393
U3RF 74LS393
U3RG 74LS393
U3RH 74LS393
U3RI 74LS393
U3RJ 74LS393
U3RK 74LS393
U3RL 74LS393
U3RM 74LS393
U3RN 74LS393
U3RO 74LS393
U3RP 74LS393
U3RQ 74LS393
U3RR 74LS393
U3RS 74LS393
U3RT 74LS393
U3RU 74LS393
U3RV 74LS393
U3RW 74LS393
U3RX 74LS393
U3RY 74LS393
U3RZ 74LS393
U3SA 74LS393
U3SB 74LS393
U3SC 74LS393
U3SD 74LS393
U3SE 74LS393
U3SF 74LS393
U3SG 74LS393
U3SH 74LS393
U3SI 74LS393
U3SJ 74LS393
U3SK 74LS393
U3SL 74LS393
U3SM 74LS393
U3SN 74LS393
U3SO 74LS393
U3SP 74LS393
U3SQ 74LS393
U3SR 74LS393
U3SS 74LS393
U3ST 74LS393
U3SU 74LS393
U3SV 74LS393
U3SW 74LS393
U3SX 74LS393
U3SY 74LS393
U3SZ 74LS393
U3TA 74LS393
U3TB 74LS393
U3TC 74LS393
U3TD 74LS393
U3TE 74LS393
U3TF 74LS393
U3TG 74LS393
U3TH 74LS393
U3TI 74LS393
U3TJ 74LS393
U3TK 74LS393
U3TL 74LS393
U3TM 74LS393
U3TN 74LS393
U3TO 74LS393
U3TP 74LS393
U3TQ 74LS393
U3TR 74LS393
U3TS 74LS393
U3TT 74LS393
U3TU 74LS393
U3TV 74LS393
U3TW 74LS393
U3TX 74LS393
U3TY 74LS393
U3TZ 74LS393
U3UA 74LS393
U3UB 74LS393
U3UC 74LS393
U3UD 74LS393
U3UE 74LS393
U3UF 74LS393
U3UG 74LS393
U3UH 74LS393
U3UI 74LS393
U3UJ 74LS393
U3UK 74LS393
U3UL 74LS393
U3UM 74LS393
U3UN 74LS393
U3UO 74LS393
U3UP 74LS393
U3UQ 74LS393
U3UR 74LS393
U3US 74LS393
U3UT 74LS393
U3UU 74LS393
U3UV 74LS393
U3UW 74LS393
U3UX 74LS393
U3UY 74LS393
U3UZ 74LS393
U3VA 74LS393
U3VB 74LS393
U3VC 74LS393
U3VD 74LS393
U3VE 74LS393
U3VF 74LS393
U3VG 74LS393
U3VH 74LS393
U3VI 74LS393
U3VJ 74LS393
U3VK 74LS393
U3VL 74LS393
U3VM 74LS393
U3VN 74LS393
U3VO 74LS393
U3VP 74LS393
U3VQ 74LS393
U3VR 74LS393
U3VS 74LS393
U3VT 74LS393
U3VU 74LS393
U3VV 74LS393
U3VW 74LS393
U3VX 74LS393
U3VY 74LS393
U3VZ 74LS393
U3WA 74LS393
U3WB 74LS393
U3WC 74LS393
U3WD 74LS393
U3WE 74LS393
U3WF 74LS393
U3WG 74LS393
U3WH 74LS393
U3WI 74LS393
U3WJ 74LS393
U3WK 74LS393
U3WL 74LS393
U3WM 74LS393
U3WN 74LS393
U3WO 74LS393
U3WP 74LS393
U3WQ 74LS393
U3WR 74LS393
U3WS 74LS393
U3WT 74LS393
U3WU 74LS393
U3WV 74LS393
U3WW 74LS393
U3WX 74LS393
U3WY 74LS393
U3WZ 74LS393
U3XA 74LS393
U3XB 74LS393
U3XC 74LS393
U3XD 74LS393
U3XE 74LS393
U3XF 74LS393
U3XG 74LS393
U3XH 74LS393
U3XI 74LS393
U3XJ 74LS393
U3XK 74LS393
U3XL 74LS393
U3XM 74LS393
U3XN 74LS393
U3XO 74LS393
U3XP 74LS393
U3XQ 74LS393
U3XR 74LS393
U3XS 74LS393
U3XT 74LS393
U3XU 74LS393
U3XV 74LS393
U3XW 74LS393
U3XX 74LS393
U3XY 74LS393
U3XZ 74LS393
U3YA 74LS393
U3YB 74LS393
U3YC 74LS393
U3YD 74LS393
U3YE 74LS393
U3YF 74LS393
U3YG 74LS393
U3YH 74LS393
U3YI 74LS393
U3YJ 74LS393
U3YK 74LS393
U3YL 74LS393
U3YM 74LS393
U3YN 74LS393
U3YO 74LS393
U3YP 74LS393
U3YQ 74LS393
U3YR 74LS393
U3YS 74LS393
U3YT 74LS393
U3YU 74LS393
U3YV 74LS393
U3YW 74LS393
U3YX 74LS393
U3YY 74LS393
U3YZ 74LS393
U3ZA 74LS393
U3ZB 74LS393
U3ZC 74LS393
U3ZD 74LS393
U3ZE 74LS393
U3ZF 74LS393
U3ZG 74LS393
U3ZH 74LS393
U3ZI 74LS393
U3ZJ 74LS393
U3ZK 74LS393
U3ZL 74LS393
U3ZM 74LS393
U3ZN 74LS393
U3ZO 74LS393
U3ZP 74LS393
U3ZQ 74LS393
U3ZR 74LS393
U3ZS 74LS393
U3ZT 74LS393
U3ZU 74LS393
U3ZV 74LS393
U3ZW 74LS393
U3ZX 74LS393
U3ZY 74LS393
U3ZZ 74LS393

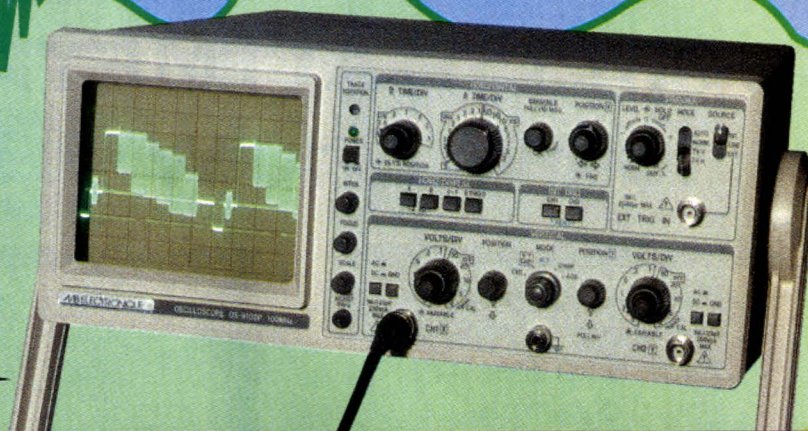
Joignez-vous aux 50 000 utilisateurs français, dont 10% de sociétés et non des moins réputées (*)
qui, comme vous, recherchent, en priorité des priorités, efficacité, rapidité et convivialité !
(*) EDF, TELECOM, IBM, COMPAQ, PHILIPS, TEXAS INSTRUMENTS, MOTOROLA, GRUNDIG, ROCKWELL, RATP, CITROEN, PEUGEOT, RENAULT, NUCLEAIRE, INST. PASTEUR, THOMSON CSF, CNRS, CERN, CEA, SNCF, LA POSTE, ELF, RHONE POULENC, LES 3 ARMÉES, AÉROSPATIALE, ALCATEL, MATRA, COGEMA, SATEL, ALCATEL MATRA, 3M, AFPA, TDF, CANAL+, TF1, FR3, RMC, INSA, SEITA, LES AÉROPORTS, DES MINISTÈRES, LE PARLEMENT EUROPÉEN, 80% DES UNIVERSITÉS, LES ÉCOLES SUPÉRIEURES ET LES UITS, SANS OUBLIER 65% DES LYCÉES ET DES COLLÈGES PROFESSIONNELS

Oscilloscopes Professionnels

MB ELECTRONIQUE présente
une nouvelle gamme complète
d'oscilloscopes robustes, fiables et
économiques de 20 MHz à 100 MHz ;

Tous les oscilloscopes sont livrés
avec 2 sondes x1/x10

UNIQUE



9020 P

- 2 x 20 MHz
- Sensibilité 1 mV/div.
- Base de temps 0,02 μ s/div
- Déclenchement alterné

3557 F TTC

9020 G

- 2 x 20 MHz
- Sensibilité 1 mV/div.
- Base de temps 0,02 μ s/div
- Générateur de fonction incorporé
Sinus, carré, triangle, 0,1 Hz-1 MHz

4812 F TTC

9100 P

- 2 x 100 MHz
- Sensibilité 2 mV/div.
- Double base de temps 0,01 μ s/div
- Déclenchement TV

8381 F TTC

Générateurs de Signaux

BI-Wavetek c'est aussi une gamme de
générateurs de fonctions à faible distorsion,
polyvalents, stables et souples d'emploi
dans une gamme de 0,2 Hz à 2 MHz.

FG2AE

1985 F TTC

- 7 calibres de 0,2 Hz à 2 MHz
- Sortie : carrée, sinus, triangle, pulse
- Rapport cyclique variable
- Entrée VCF, atténuation fixe, variable

FG3BE

3046 F TTC

Toutes les fonctions du FG2AE, plus :

- Compteur de fréquences internes et
externes jusqu'à 100 MHz
- Modulation de fréquence et d'amplitude
- Balayage linéaire ou logarithmique



Les
Instruments
de Votre
Exigence

BI-WAVETEK

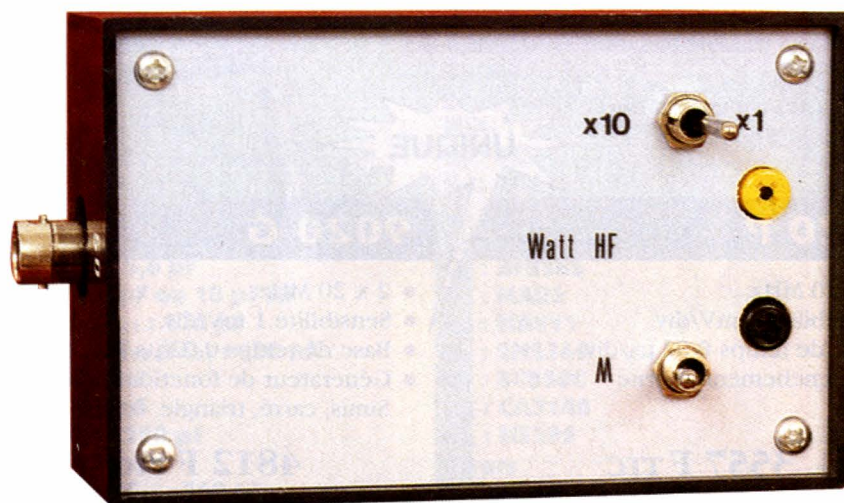
Coordonnées des «Partenaires Distributeurs» de la gamme Bi-Wavetek

ECELI	17, rue du Petit-Change - BP 183 - 28004 Chartres	Tél. 37 21 45 97	Fax. 37 36 01 65
CPF	3, av. Marcelin-Berthelot - 38100 Grenoble	Tél. 76 85 34 63	Fax. 76 85 34 64
TOUT POUR LA RADIO	66, cours Lafayette - 69003 Lyon	Tél. 78 60 26 23	Fax. 78 71 78 87
1000 VOLTS	8-10, rue de Rambouillet - 75012 Paris	Tél. 46 28 28 55	Fax. 46 28 02 03
CIBOTRONIC	16-20, av. du Général Michel-Bizot - 75012 Paris	Tél. 44 74 83 83	Fax. 44 74 98 55
TERAL	24 bis, rue Traversière - 75012 Paris	Tél. 43 07 87 74	Fax. 43 07 60 32

MILLIWATTMETRE H.F.

10 mW A 10 W

Quand on vient de terminer la réalisation d'un émetteur ou d'un amplificateur H.F., ou d'un étage intermédiaire, il est nécessaire de connaître avec précision la puissance que celui-ci est susceptible de rayonner afin de vérifier que les heures passées ne l'ont pas été en vain. Un autre aspect, et non des moindres, rendant cette mesure de puissance nécessaire est lié au respect de la réglementation en vigueur si l'on ne veut pas avoir d'ennuis avec les services de TDF. C'est pour ces diverses raisons que nous vous proposons cet appareil de mesure qui deviendra très vite indispensable à votre laboratoire. Le modèle proposé possède une impédance caractéristique de 50 Ω et sa bande passante s'étend de 10 MHz à plusieurs centaines de MHz.



Présentation du problème

Adaptation d'impédance

Les milliwatts ou les watts H.F. étant beaucoup plus dur à acquérir ou à amplifier que leurs homologues B.F., les différents étages d'une chaîne de transmission (oscillateur, préampli et ampli de puissance, antenne) doivent être adaptés l'un à l'autre afin que leur interconnexion n'occasionne qu'un minimum de pertes et de réflexions.

Pour prendre conscience de cet aspect capital des liaisons H.F., et en restant simplement dans le cas d'une liaison entre appareils présentant des impédances d'entrée et de sortie purement résistives, il est facile de constater avec le montage de la **figure 1**, que le même générateur de résistance de sortie $R_g = 50 \Omega$ qui alimente une charge R variant de 10 à 250 Ω ne délivre une puissance maximum que lorsque $R = R_g$. La courbe de la **figure 1b** traduit ce phénomène qui est tout à fait général pour ce type de configuration.

Pour tenir compte des ces remarques, les différents éléments d'un ensemble travaillant en H.F. ont (ou doivent avoir) des impédances terminales à partie réelle positive identiques (**figure 2**). Pour ne pas

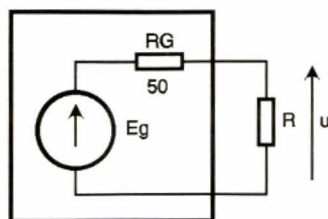
faire simple, il existe 2 valeurs normalisées qui sont 75 Ω (essentiellement en réception TV) et 50 Ω (CB et autres systèmes d'émission-réception).

Lorsqu'on mesure une puissance H.F., cette opération doit donc impérativement se faire dans les conditions normales d'utilisation du matériel testé ce qui signifie que celui-ci doit être chargé par une résistance de valeur égale à sa propre résistance interne.

La mesure de P en H.F.

En courant continu, la puissance dissipée par une résistance R aux bornes de laquelle existe une tension U est donnée par la formule $P = U^2/R$ (**figure 3**). En régime sinusoïdal, la formule reste identique lorsque la charge est une résistance pure et que l'on prend pour U la valeur efficace de la tension présente aux bornes de la dite résistance. Si l'on travaille avec la valeur crête (U_m) de la tension, cette formule devient $P = 0,5 U_m^2/R$.

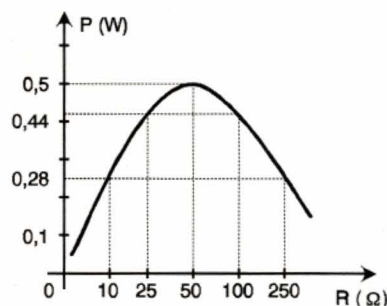
Sur le plan pratique, il est assez aisé de réaliser un détecteur de crête à la sortie duquel on récupère une tension continue qu'on peut ensuite élever au carré à l'aide d'un circuit intégré multiplieur. Pour le coefficient $0,5/R$ restant, il suffit de prendre un facteur d'échelle convenable c'est à dire introduire une atténuation de



1a

GÉNÉRATEUR DE THEVENIN ET ADAPTATION EN PUISSANCE.

R (Ω)	U (V)	P (W) = U/R
10	1,66	0,28
25	3,33	0,44
50	0,5	0,5
100	6,66	0,44
250	8,33	0,28



1b

VARIATION DE LA PUISSANCE TRANSMISE SELON LA RÉSISTANCE DE CHARGE.

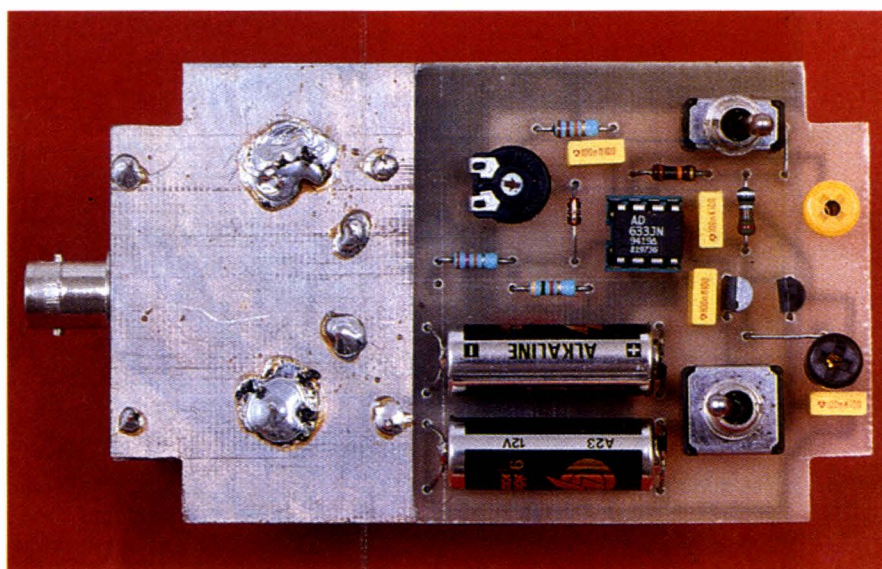
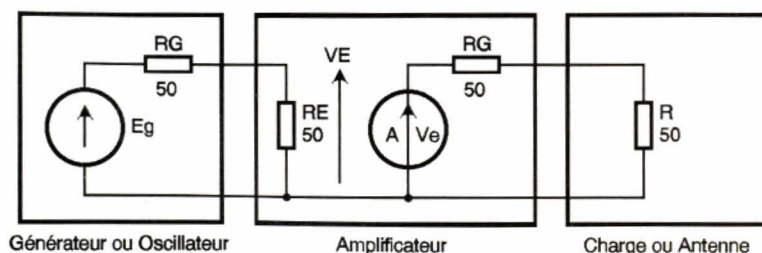
valeur 1/100 si $R = 50 \Omega$. Ces différentes remarques conduisent au synoptique de la **figure 4** qui regroupe les sous-ensembles que nous venons d'évoquer ainsi que le volt-mètre servant à la mesure de la tension délivrée par le multiplieur qui est l'image de la puissance P dissipée par R .

Remarques

Avant d'aborder la réalisation proprement dite, nous devons faire quelques observations qui justifient la présence de certains composants du montage ainsi que les

2

CHAÎNAGE DES QUADRIPOLES ET DES DIPÔLES EN HF.



particularités de cet appareil pour la mesure des puissances inférieures à 10 mW.

La première remarque que nous ferons concerne le seuil de la diode du détecteur de tension crête qui ne peut être réduit qu'en utilisant des diodes à faible seuil comme les diodes au germanium ou mieux maintenant, les diodes shottky.

Malgré cela, pour les faibles puissances, comme par exemple 10 mW (soit $U_m = 1V$ dans 50Ω) on ne récupérerait au mieux que 0,5 ou 0,6V à la sortie du détecteur de crête ce qui occasionnerait des erreurs de mesure à faible niveau.

Pour éviter cet inconvénient, la puissance minimale que l'on peut mesurer avec ce milliwattmètre H.F. est fixée à 10 mW et une compensation de niveau est prévue à l'entrée du multiplieur ce qui occasionne un affichage minimum de 10 mW. Pour mesurer des puissances inférieures à 10 mW, il faut au préalable amplifier les signaux à l'aide de circuits adaptés en impédance tant à l'entrée qu'à la sortie, et tenir compte du gain de ces amplificateurs pour connaître la valeur effectivement mesurée.

On aurait certes pu aussi polariser la diode et utiliser un ampli d'instrumentation mais nous avons préféré rester simples.

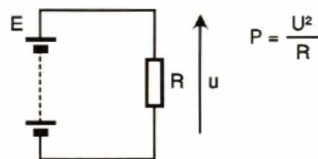
La seconde remarque concerne encore le choix de la diode de détec-

LE COTÉ COMPOSANTS, "TRAITEMENT DU SIGNAL".

tion car l'appareil proposé travaillant dans une gamme de fréquences allant d'une dizaine à quelques centaines de MHz, la diode de détection doit obligatoirement être un modèle pouvant travailler à ces fréquences. Il faudra donc respecter le type de diode préconisé à moins que l'on n'envisage pas de faire de mesures au delà de 100 ou 200 MHz, auquel cas des modèles moins performants pourront convenir.

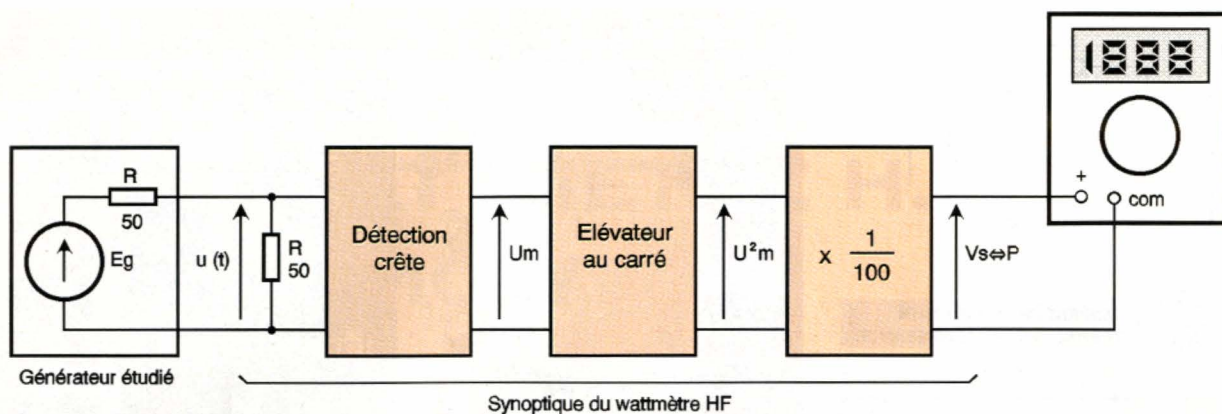
Schéma de principe

Celui-ci est proposé à la **figure 5**. Le prélèvement des signaux s'effectue à l'aide d'un connecteur BNC qui débouche par une liaison capa-



3

PUISSANCE TRANSMISE AUX BORNES D'UNE RÉSISTANCE R SOUMISE À UNE TENSION U.

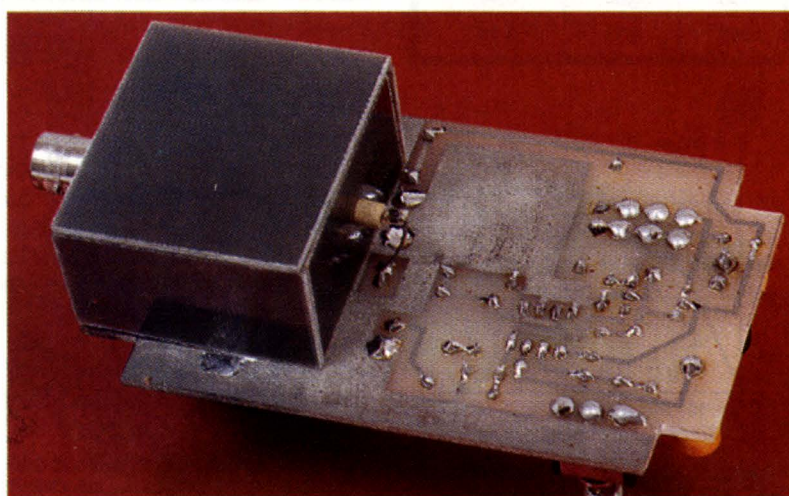


citive à la résistance de $50\ \Omega$ que nous avons réalisé à partir de 3 résistances (R_1 à R_3) en carbone aggloméré de $150\ \Omega$ associées en parallèle ce qui donne bien $50\ \Omega$ en théorie. Pour pallier au manque de précision de ces résistances nous avons été conduit à insérer une résistance R_4 de $470\ \Omega$ en parallèle sur les 3 précédentes afin que le résultat final soit bien égal à $50\ \Omega$. Malgré le manque de précision de ce type de résistances, il faut néanmoins se cantonner à ce choix car elles ne présentent aucun effet selfique ce qui n'est pas le cas des modèles à couche et en fait donc l'intérêt. Si les composants que vous utilisez sont plus précis que les nôtres, il sera inutile de mettre R_4 bien entendu. Les condensateurs C_2 et C_3 servent de réservoir au détecteur de crête. Leur décharge est assurée par le diviseur résistif R_5 - R_6

(tolérance 1%) de rapport 0,1 qui reçoit cette tension après qu'elle ait traversé le blindage isolant entou-

4

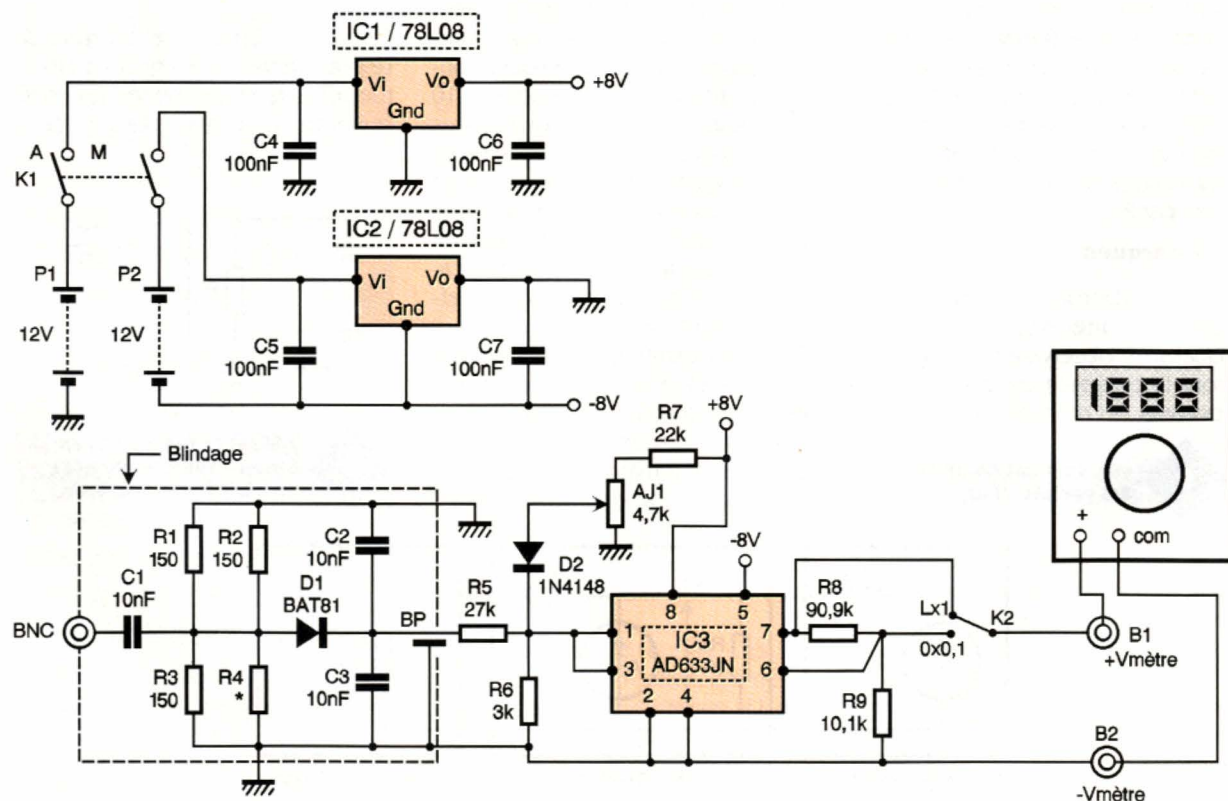
**SYNOPTIQUE
DU MILLIWATTMÈTRE.**



**LA "SONDE" DE DÉTECTION
SOUDÉE CÔTÉ CUIVRE.**

5

LE SCHÉMA COMPLET.



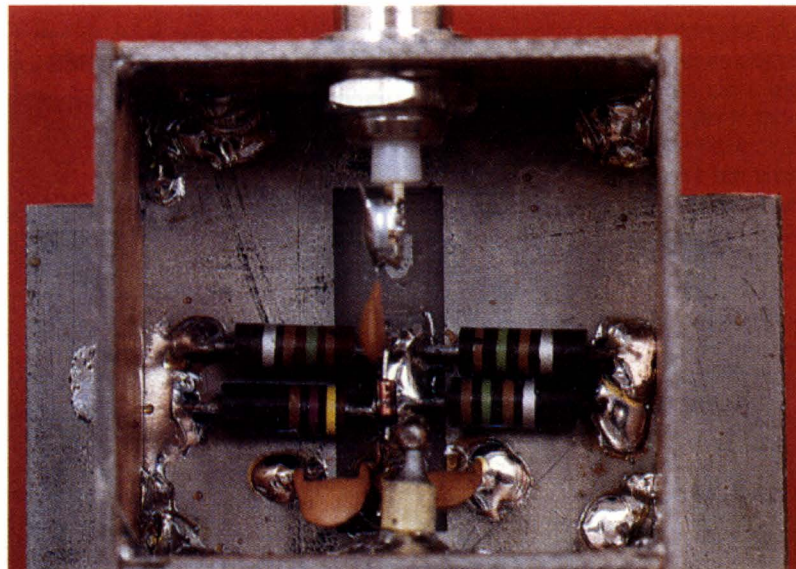
rant les composants supportant les tensions H.F., grâce à un condensateur by-pass. C'est ce même diviseur résistif R_5, R_6 qui introduit le coefficient $0,5/R$ de la formule de P puisqu'en divisant la tension d'entrée du multiplieur par 10, cela correspond en sortie à une division par 100.

C'est par l'ajustable AJ_1 que l'on dose la polarisation d'entrée du multiplieur permettant de compenser le seuil du détecteur de crête pour les faibles puissances mesurées. La diode D_2 n'est là que pour éviter aux tensions H.F. détectées de repasser par AJ_1 . Le multiplieur IC_3 est un AD633JN qualifié par son fabricant de "low cost", ce qui est vrai puisque ce composant ne coûte qu'une trentaine de francs.

Ajoutons que les performances de ce circuit intégré sont excellentes tant sur le plan statique que dynamique, qu'il ne nécessite pour ainsi dire aucun réglage d'offset ce qui en fait un concurrent redoutable pour les autres circuits de mêmes fonctions.

La constante de multiplication de ce circuit étant fixée en interne à $0,1 (V^{-1})$, les résistances R_8, R_9 ramènent celle-ci à une valeur unitaire afin que la tension de sortie soit exactement égale au carré de la tension appliquée aux 2 entrées (pins 1 et 3). Avec des tensions d'alimentation de $\pm 8V$, la tension maximale de sortie de l'AD633 est d'environ 5V soit une puissance de 5W.

Pour pouvoir atteindre au moins 10W, le commutateur K_2 peut court-circuiter la résistance R_9 ce qui a pour effet de ramener le coefficient du multiplieur à $0,1 V^{-1}$. Dans cette situation, la tension de sortie



DÉTAIL DE LA RÉALISATION DE LA SONDE DE DÉTECTION AVEC SON BLINDAGE.

pin7 ne représente plus que le dixième de la puissance mesurée ce qui donne une valeur théorique maximale mesurable de 50W pour 5V en sortie. Dans la pratique, il convient de limiter ce maximum aux alentours de 10 à 20W afin de ne pas endommager les composants de l'étage d'entrée. Pour mesurer des puissances de valeur plus élevée que ces 10 ou 20W, il est préférable d'interposer des atténuateurs (adaptés) entre la sortie des montages étudiés et l'entrée du wattmètre et de tenir compte de leur coefficient d'atténuation.

Sur le plan alimentation, ce montage tire son énergie de 2 piles 12V miniatures P_1 et P_2 . L'inverseur double K_1 , qui sert d'interrupteur général, débouche sur 2 régulateurs 8V (tous 2 positifs) dont les sorties sont connectées de façon à former une alimentation symétrique $\pm 8V$. Les condensateurs C_4 à C_7 assurent le découplage des alimentations. La consommation globale n'est que de quelques milliampères.

Réalisation pratique

Comme pour tous les montages travaillant à très haute fréquence, la technique du plan de masse est vivement recommandée, tout au moins pour la zone de circuit imprimé où sont rassemblés les composants de l'étage d'entrée.

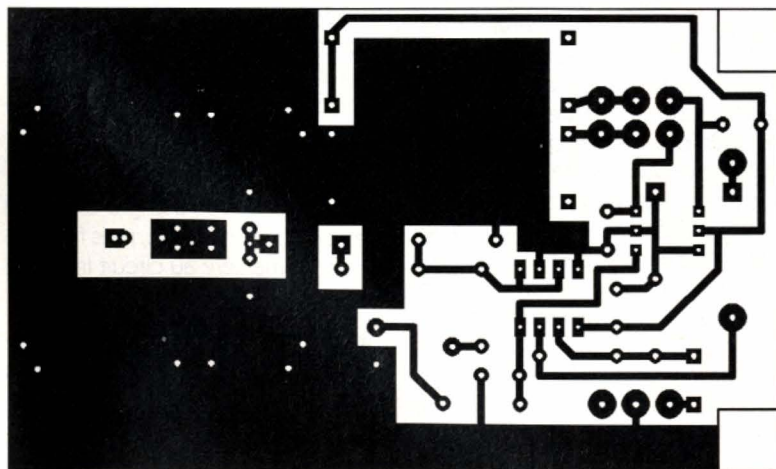
Pour ne pas handicaper le lecteur non équipé pour réaliser un circuit imprimé double face pour lequel la correspondance des pistes et surtout des pastilles situées sur les 2 faces est importante, nous proposons une solution intermédiaire simple qui ne demandera aucune précaution particulière par rapport à un circuit simple face. Pour réaliser ce circuit imprimé double face simplifié, et en supposant que l'on utilise un matériau présensibilisé, on supprimera une partie de la protection plastifiée de la face qui recevra les composants.

Avec un coton légèrement imbibé de dissolvant, on éliminera alors le produit photosensible de la zone qui vient d'être découverte. Pour la face cuivrée (figure 6), on procède tout à fait normalement (insolation et révélation) comme si le circuit imprimé était réalisé en simple face en s'assurant simplement de la bonne orientation de celle-ci. Pour l'attaque du circuit par le perchlore, on laissera le morceau de protection plastifiée de la face composant (là où le cuivre doit subsister).

Une fois ce travail réalisé, on pourra enfin ôter cette protection, éliminer la résine photosensible restante et éventuellement passer le circuit

6

CIRCUIT IMPRIMÉ COTÉ CUIVRE.



Réglage et utilisation

Le seul réglage que l'on ait à effectuer concerne AJ_1 . Pour cette opération, on connecte un voltmètre (de préférence numérique) positionné sur le calibre 2V aux bornes B_1 et B_2 . On bascule K_1 en position "Marche" et K_2 en position lecture directe de $P(x1)$. Il suffit alors d'agir sur AJ_1 pour obtenir une indication de 10mV pour que l'appareil soit prêt pour le service. En utilisation normale, le wattmètre doit être relié à l'appareil à tester par un câble d'impédance 50 Ω si l'on veut que les indications obtenues soient

correctes. Pour ceux de nos lecteurs qui seraient amenés à faire des mesures sur du matériel d'impédance 75 Ω et qui se demandent s'il ne serait pas possible d'utiliser ce même appareil (50 Ω) pour connaître la puissance que débiterait leur matériel 75 Ω dans une charge de 75 Ω à partir des indications de ce milliwattmètre, nous leur disons que cela est possible, à condition de multiplier les indications obtenues par le facteur 1,041 que nous arrondirons à 1,04 pour faciliter les calculs ou mieux d'utiliser un adaptateur 75/50 Ω tel que celui proposé dans la fiche technique "atténuateurs H.F.". Ceux

qui désirent connaître l'origine du coefficient devront se livrer au calcul de la puissance obtenue dans les deux situations et en calculer le rapport, ce qui fait un excellent exercice intellectuel. Ajoutons pour terminer ces remarques que si la fréquence du générateur étudié passe en dessous de 10 MHz, l'impédance de C_1 augmente et n'est par conséquent plus suffisamment négligeable devant 50 Ω , ce qui entraîne des erreurs de mesure, d'où la limitation basse vers 10 MHz.

F. JONGBLOET

Nomenclature

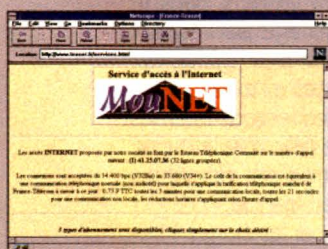
R_1 à R_3 : 150 Ω carbone aggloméré (2W)
 R_4 : facultative, voir texte
 R_5 : 27 k Ω
(rouge, violet, orange)
(5% triée à 1%)
 R_6 : 3 k Ω
(orange, noir, rouge)
(5% triée à 1%)
 R_7 : 22 k Ω
(rouge, rouge, orange)
 R_8 : 10,1 k Ω
(marron, noir, orange)

(5% triée à 1%)

R_9 : 90,9 k Ω
(blanc, noir, blanc, rouge)
(1%)
 AJ_1 : 4,7 k Ω ajustable
horizontal Phier
 C_1 à C_3 : 10 nF/50V
céramique disque
BP : condensateur by-pass
6,8 nF
 C_4 à C_7 : 100 nF/63V (ou
100V) milfeuill
 IC_1, IC_2 : régulateurs 78L08
 IC_3 : AD633JN

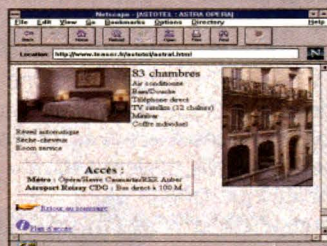
D_1 : BAT 81
 D_2 : 1N4148
 K_1 : inverseur miniature
2 circuits, 2 positions
 K_2 : inverseur miniature
1 circuit, 2 positions
2 bornes femelle 2 mm
pour châssis
1 fiche BNC femelle
pour châssis
2 piles 12V rondes
(type télécommande)
1 boîtier PVC 110 x 70 x
45 mm³

Votre serveur WEB sur Internet pour moins de 500 FTTC/mois



Faites connaître votre activité dans le monde entier à un coût dérisoire

Le seul moyen d'exposer vos produits ou votre savoir faire à la plus large audience jamais atteinte



Nouez des relations commerciales insoupçonnées en étant présent 24h/24 sur Internet.

Pour plus d'informations, contactez-nous par :

Fax : +33 (1) 47.50.62.93 - Tél : +33 (1) 47.50.81.36
 Courrier : FRANCE-TEASER - 17 rue Corot - 92410 Ville d'Avray
 Email : sales@teaser.fr

Comptoir du Languedoc Professionnel

COMPOSANTS ELECTRONIQUES - ELECTROMECHANIQUES
 INFORMATIQUE - MESURE - OUTILLAGE
 ELECTRICITE - ACCESSOIRES - ANTENNES

Parking assuré

2, Imp. Didier-Daurat • B.P. 4411 • 31405 TOULOUSE CEDEX
 Tél. 61 36 07 07 - Fax 61 54 47 19

CENTRALE D'ACHATS

EQUIPES COMMERCIALES SPECIALISEES

- ENSEIGNEMENT
- INDUSTRIE
- RECHERCHE
- ADMINISTRATION
- PARTICULIER

Plus près de Vous ! Ouvert tout l'été !

NOUVEAU

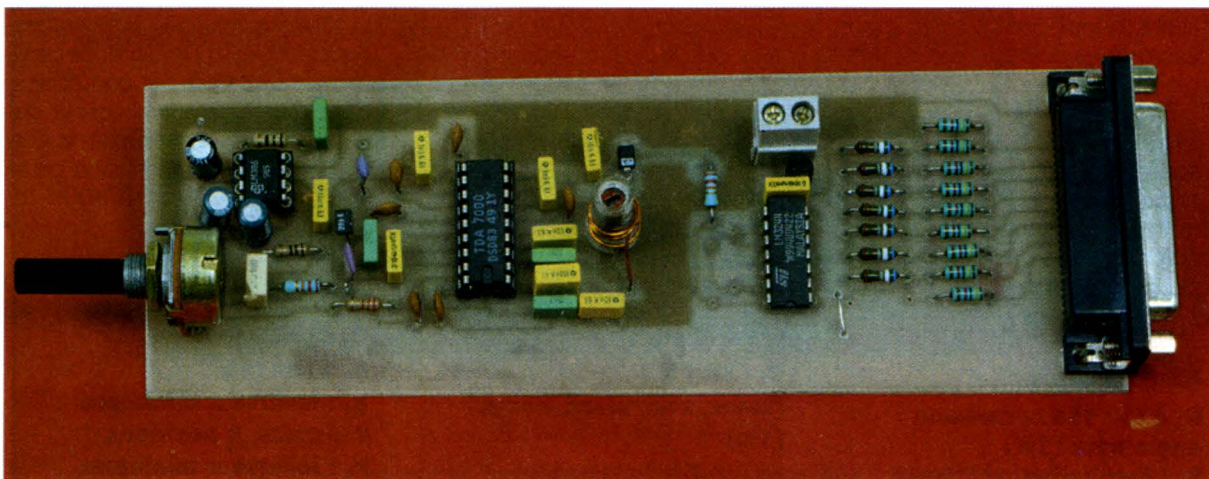
FACOM
 Distributeur Spécialiste

OMRON
 Revendeur Régional



RADIO

RADIO FM PILOTÉE PAR PC



Le montage que nous vous proposons est un poste radio FM (bande 88-108MHz) se connectant sur la prise parallèle de votre PC. Le choix des stations se fera par l'intermédiaire d'un logiciel écrit en basic.

Présentation

On voit de plus en plus de fabricants proposer des cartes Tuner pour PC. Celles-ci s'enfichent la plupart du temps dans un des slots de la carte mère et s'utilisent en conjonction avec une carte audio. Ces cartes sont obligatoirement double face, ce qui peut poser des problèmes de réalisation aux moins expérimentés. Notre montage est donc implémenté sur un circuit imprimé simple face et ne nécessite pas la possession d'une carte sonore. En effet, un amplificateur audio de faible puissance a été inclut et permet d'attaquer directement un haut-parleur d'impédance 8 Ω .

En ce qui concerne la réalisation de la partie haute fréquence, pas de souci à se faire, un circuit intégré spécialisé ayant été utilisé. On aura donc juste quelques composants

externes à rajouter pour obtenir un fonctionnement quasiment sans réglage. De plus, une seule inductance (ou bobine) est nécessaire. Celle-ci sera construite simplement à l'aide de fil émaillé (voir plus loin). Malheureusement, cette simplification entame un peu la qualité de réception. Il ne faudra donc pas vous attendre à un son digne de la haute fidélité. Ce montage est donc avant tout un montage "expérimental".

Fonctionnement

Le synoptique de notre montage est présenté sur la **figure 1**. On voit que celui-ci se divise en trois parties bien distinctes. La première, et certainement la plus simple, permet d'interfacer l'ordinateur à la partie haute fréquence.

La deuxième partie est la plus importante car c'est elle qui contient tout ce qui concerne la réception des ondes. Enfin, la partie amplification permet la connexion d'un haut-parleur classique en sortie du montage.

Pour approfondir l'étude du circuit, il est nécessaire de se plonger dans son schéma de principe (donné **figure 2**). On voit d'emblée que la pièce maîtresse du montage est le circuit intégré TDA7000. il est donc

normal que nous vous présentions brièvement son fonctionnement. Ce circuit est un récepteur à simple changement de fréquence.

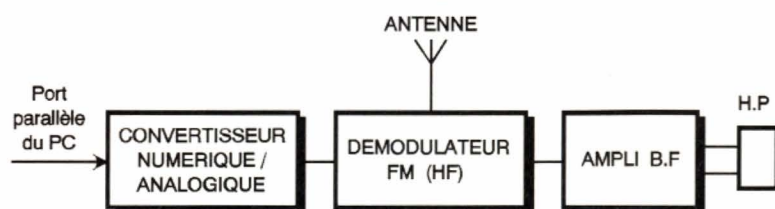
La fréquence intermédiaire utilisée (FI) est de 70 kHz. Cette valeur peut paraître extravagante aux personnes habituées des montages de démodulation car elle diffère des valeurs habituelles de 455kHz et 10,7MHz. Le schéma synoptique du TDA7000 est donné sur la **figure 3**.

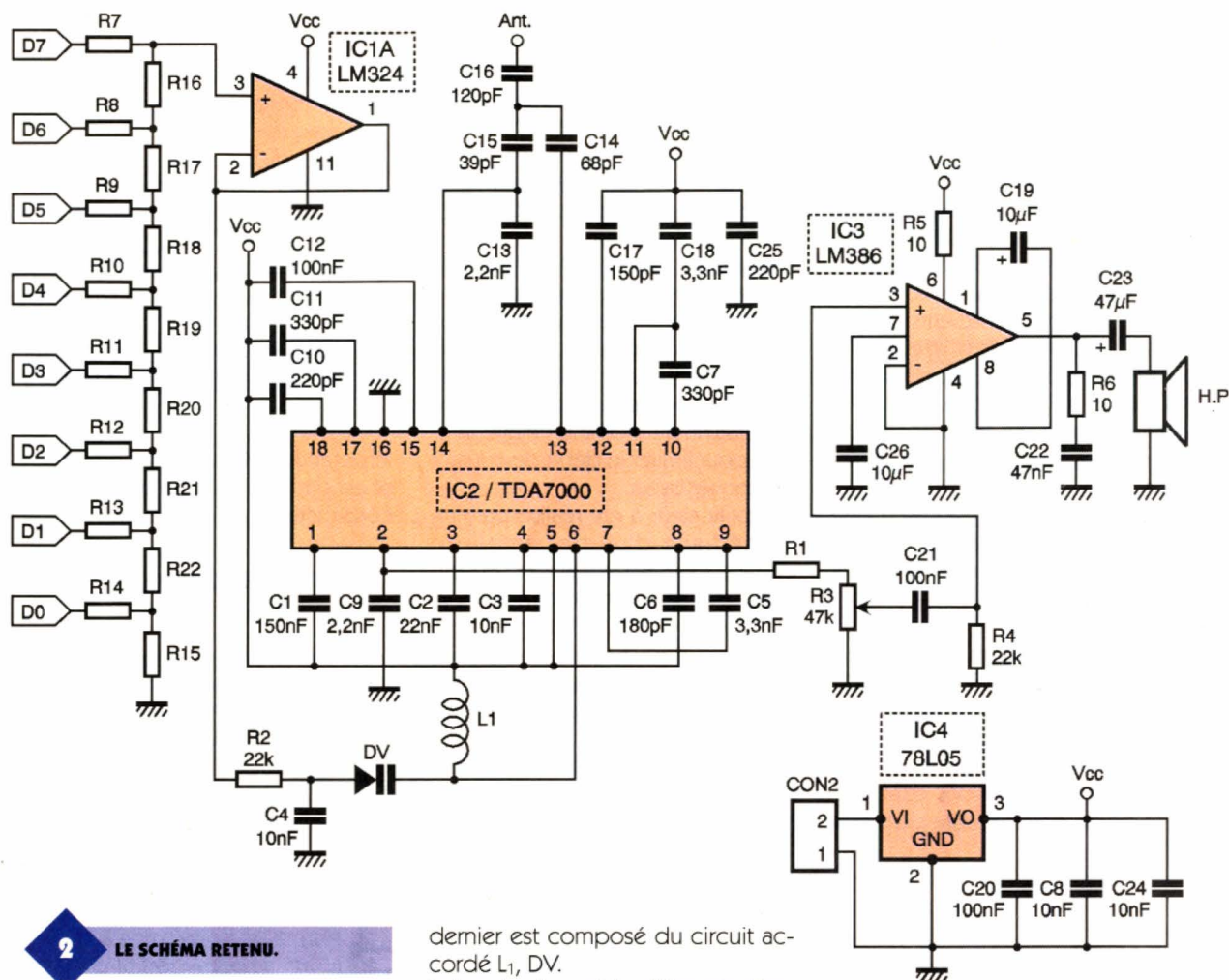
Dans un premier temps, on constate qu'il s'agit d'un schéma tout à fait classique mis à part l'utilisation d'étages d'amplification FI à 70kHz. Ceux-ci sont réalisés à l'aide d'amplificateurs opérationnels dans le but d'utiliser un filtrage par réseaux RC. La sélectivité est déterminée par les capacités situées à l'extérieur du montage et par des réseaux internes de résistances de telle manière que la FI se trouve filtrée par des filtres passe-bas et passe-bande.

Après le passage par les étages à fréquence intermédiaire, le signal est envoyé dans un démodulateur à quadrature. Le résultat de la comparaison est une fréquence basse qui correspond au signal modulant. Celui-ci est disponible sur la broche 2 du boîtier.

1

SYNOPTIQUE DU RÉCEPTEUR.





2

LE SCHÉMA RETENU.

Regardons maintenant à quoi servent les capacités à l'extérieur du circuit. Le circuit composé par l'association des capacités C_{14} , C_{15} et C_{16} est prévu pour accepter des fréquences dans la gamme des 88-108MHz. Par l'intermédiaire de C_{16} , l'antenne attaque à basse impédance (75 Ω) ces mêmes capacités.

Le point chaud attaque le mélangeur par la broche 13 qui constitue une charge de 700 Ω . Une des portes du mélangeur se retrouve excitée par l'amplitude de la fréquence générée par l'oscillateur local. Ce

dernier est composé du circuit accordé L_1 , DV.

La broche 6 reçoit les éléments d'accord L_1 , D_1 ; le VCO (Voltage Controlled Oscillator) interne du TDA7000 engendre l'oscillation pour exciter le mélangeur. La diode DV, polarisée en inverse, est une diode varicap. Sa courbe de caractéristique est donnée sur la **figure 4**. Cette diode n'est pas du tout utilisée comme une diode classique.

En fait, on se sert du fait que sa capacité varie avec la tension inverse imposée à ses bornes. On peut donc faire varier l'accord en fréquence du circuit L_1 , D_1 en faisant varier la tension aux bornes de D_1 . Le VCO interne du TDA7000 est asservi sur la valeur de l'amplitude du signal basse fréquence (CAG).

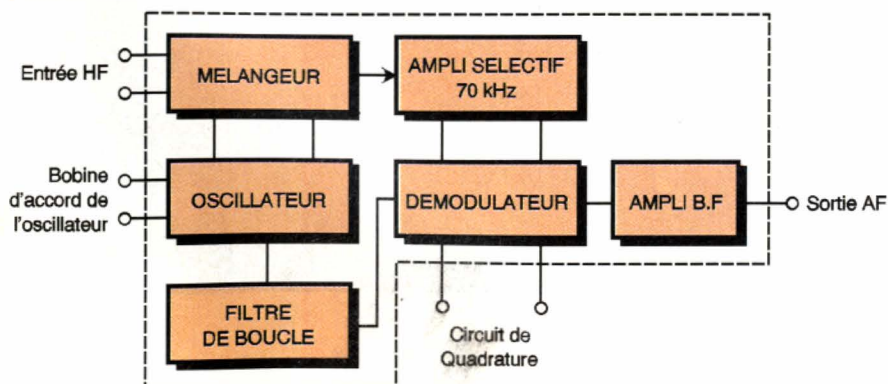
Du mélange de la fréquence VCO

avec la fréquence d'entrée, on obtient la valeur de la FI à 70kHz. Celle-ci est filtrée par une première cellule constituée d'un amplificateur opérationnel et des capacités C_5 et C_6 . Celles-ci fixe la fréquence de coupure du filtre. Un second amplificateur opérationnel est utilisé et forme avec les capacités C_7 et C_{18} un filtre passe-bande.

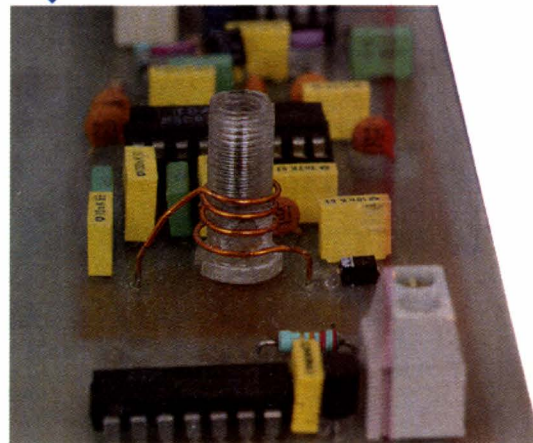
Le condensateur C_{11} est affecté au démodulateur de fréquence. Associé aux impédances internes, il effectue un décalage de 90° sur la phase du signal incident.

3

SYNOPTIQUE INTERNE DU TDA 7000.



LE BOBINAGE D'ACCORD POUR COUVRIR LA PLAGE 88-108 MHz.



Cette opération est nécessaire à la comparaison des deux amplitudes et engendre une tension BF dont l'amplitude est fonction du déphasage. Cette dernière tension a un niveau de 70 mV crête à crête et est disponible sur la broche 2. Le condensateur C9 effectue la désaccentuation du signal BF, celle-ci étant de 50 ou 75 μ s suivant les normes. Les auteurs sont conscients que le paragraphe précédent n'est pas très compréhensible pour le néophyte mais ne vous inquiétez pas, le montage peut très bien être réalisé sans connaître l'électronique haute fréquence.

Maintenant que nous avons un peu mieux compris le fonctionnement du TDA7000, revenons à nos deux autres blocs.

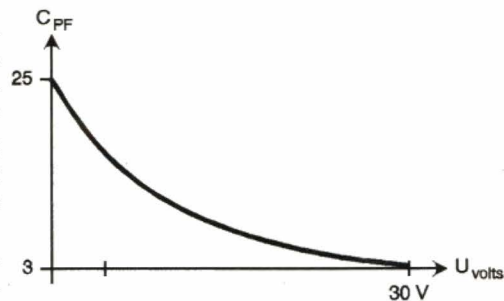
On a vu précédemment que la fréquence d'accord était déterminée à partir de la capacité de la diode DV. En faisant varier cette capacité, c'est à dire la tension à ses bornes, on fait varier la fréquence de réception. Pour ce faire, nous avons connecté en sortie du port parallèle de l'ordi-

nateur, un convertisseur numérique-analogique 8 bits. Celui-ci est de type R-2R et est composé des résistances R_7 à R_{22} . En faisant varier l'octet d'entrée entre 0 et 255, on fait varier sa tension de sortie entre 0 et environ 5V. Il y a donc 256 valeurs possibles de tension.

Néanmoins, il a fallu mettre un amplificateur monté en suiveur de tension en sortie du convertisseur. La principale raison est que le convertisseur est alimenté par les sorties du circuit du port parallèle. Il est donc nécessaire de mettre un étage tampon pour limiter le débit de courant du convertisseur.

L'amplificateur a été réalisé par l'intermédiaire d'un des ampli-op contenu dans le LM324. C'est un amplificateur non-inverseur de gain unitaire. Le circuit LM324 a été choisi (même si nous utilisons qu'un des quatre amplis qu'il contient) du fait de son coût modique et de sa très grande disponibilité.

L'amplificateur de sortie est construit autour du LM386. L'amplification peut varier de 0 à 200 par l'action sur



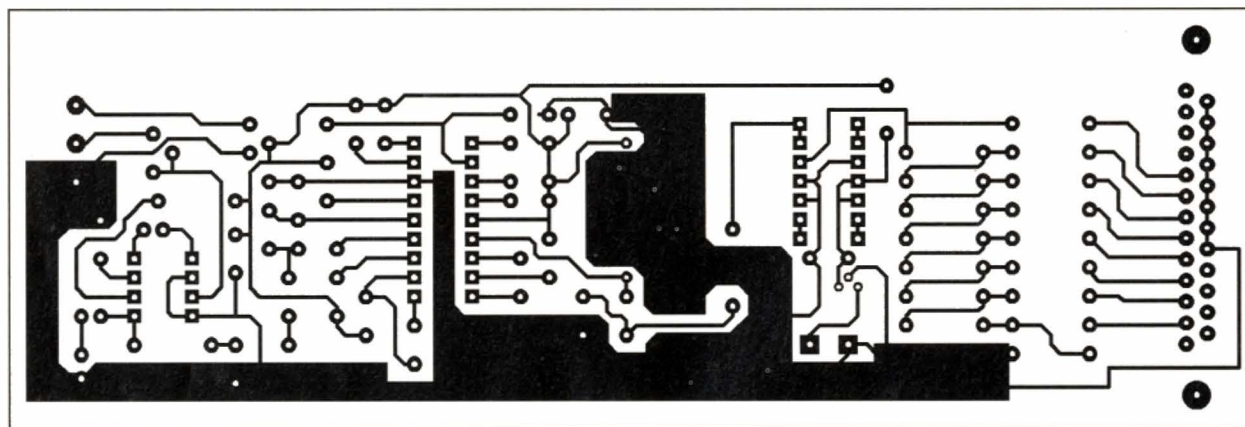
4

PLAGE DE VARIATION
CAPACITÉ/TENSION DE LA BB105.

le potentiomètre R_3 . Le schéma utilisé est similaire à celui proposé par le constructeur.

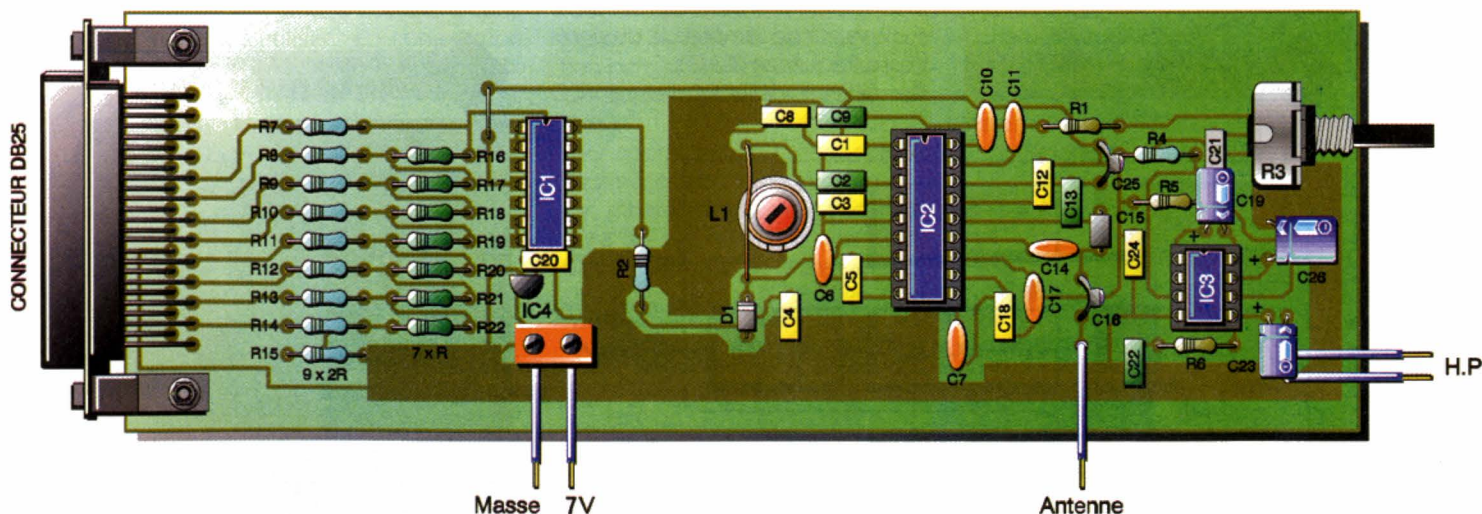
Réalisation

La réalisation du montage ne devrait pas poser de problème. On reproduira dans un premier temps le circuit imprimé de la **figure 5** par méthode photographique. Lors du soudage des éléments (voir **figure 6**), on fera attention aux composants polarisés



5/6

CIRCUIT IMPRIMÉ ET IMPLANTATION AÉRÉE, AVEC
UN SEUL STRAP, DE NOTRE RÉCEPTEUR FM/PC.



comme les condensateurs chimiques et la diode varicap. Pour la construction de la bobine, deux possibilités sont offertes. La première nécessite l'utilisation d'un support à self contenant une tige de ferrite que l'on peut bouger à l'aide d'un tournevis. Cette tige de ferrite permet un réglage beaucoup plus fin de la gamme de fréquences. Il faudra faire trois spires et demies sur l'axe de la self avec du fil émaillé de 6/10ème de diamètre.

Une autre possibilité consiste à faire une self à air. Pour cela, on enroule 5 spires de diamètre 6mm de fil émaillé de 6/10ème écartée de 2mm. Pour la réalisation de self à air, une petite astuce consiste à utiliser la queue d'un foret comme support lors de l'enroulage des spires. On peut ainsi enrouler le fil sur une tige de diamètre précis.

En ce qui concerne l'antenne, un simple fil isolé d'une vingtaine de centimètres fera très bien l'affaire. Les résistances R_7 à R_{15} doivent être précises.

Les résistances vendues par défaut ont une précision de 5%. Pour réaliser un convertisseur de type R-2R, il est nécessaire d'utiliser des résistances 1% afin d'éviter les erreurs de non-linéarité trop importantes. Si les revendeurs de votre ville ne vendent pas de telles résistances, vous pourrez essayer d'apparier des résistances 5% afin d'obtenir une précision plus importante. Ceci pourra se faire à l'aide d'un multimètre si sa précision est suffisante.

La valeur des résistances n'est pas fixée du moment que le rapport R-2R est respecté. Il faudra néanmoins utiliser des valeurs de l'ordre de quelques k Ω car ce sont les sorties du port parallèle qui fournissent le

courant. Donc toutes valeurs entre 4,7 k Ω et 10 k Ω pour R conviennent et pour 2R entre 10 et 20 k Ω .

Utilisation

La connexion au PC se fera à l'aide d'un câble mâle-mâle à partir de son port parallèle.

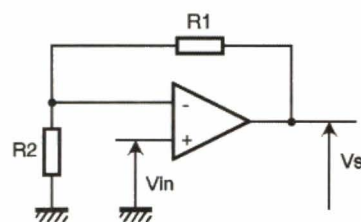
Une alimentation de 7V continu devra être branchée sur le bornier. Celle-ci pourra prendre la forme d'un petit bloc secteur de faible coût. Dès la connexion de l'alimentation, du "bruit" doit se faire entendre au niveau du haut-parleur. Si tel n'était pas le cas, il faudrait vérifier la position du potentiomètre et des éléments situés autour du LM386. Pour régler la hauteur de la tige de ferrite, on fera fonctionner le montage en envoyant différentes valeurs sur le port 378H de l'ordinateur.

On essaiera de capter les stations situées aux alentours de 88 ou 108 MHz en imposant des valeurs proches de 0 et 255 sur le port. Il est possible que vous ne réussissiez pas à couvrir toute la gamme des 88-108MHz. Néanmoins, en réglant bien la self, vous devriez couvrir une gamme suffisamment large. Si le son vous semble très parasité, il sera alors nécessaire de blinder un peu plus la partie HF (autour du TDA7000) ou l'inductance L1. Pour cela, on utilisera une fine plaque en tôle étamée ou en cuivre pour entourer la partie à isoler. Il faudra bien entendu connecter (à plusieurs endroits si possible) la plaque au plan de masse.

Le programme écrit en Qbasic est disponible sur les serveurs EPRAT (Minitel et Internet) et permet de tester le montage. Les touches '+' et '-' permettent respectivement d'augmenter et de diminuer la valeur du port 378 d'une unité. Les touches 'p' et 'm' remplissent la même fonction si ce n'est que la valeur varie par pas de 10 unités. Ce programme de test peut être amélioré en entrant une petite base de données faisant correspondre les valeurs du port avec le nom de la radio reçue. On pourra ainsi choisir directement la radio grâce à son nom.

Améliorations possibles

Si l'on désirait élargir la bande de fréquence, on pourrait augmenter la tension d'alimentation. En effet, comme on l'a vu précédemment, la capacité aux bornes de la diode varicap varie avec la tension à ses bornes. Néanmoins, augmenter la tension d'alimentation (et le régulateur correspondant bien sûr), ne suffit pas car la sortie de notre convertisseur numérique-analogique n'est



7

CONFIGURATION NON-INVERSEUSE AVEC UN ADR.

capable de fournir que 5V au maximum. La solution serait alors d'utiliser les amplificateurs opérationnels restants du LM324, et de fabriquer un amplificateur non-inverseur. Le schéma d'un circuit de ce type est représenté sur la figure 7. La tension de sortie est alors donnée par la relation : $V_s = ((R_1/R_2) + 1) \cdot V_{in}$.

L.LELLU, E.LARCHEVÊQUE

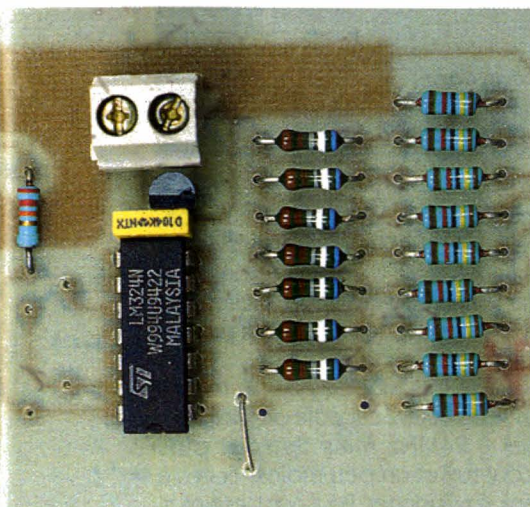
Nomenclature

R_1 : 2,2 k Ω
(rouge, rouge, rouge)
 R_2, R_4 : 22 k Ω
(rouge, rouge, orange)
 R_3 : potentiomètre 47 k Ω
 R_5, R_6 : 10 Ω
(marron, noir, noir)
 R_7 à R_{15} : 2R (voir texte)
 R_{16} à R_{22} : R (voir texte)

C_1 : 150 nF
 C_2 : 22 nF
 C_3, C_4, C_8, C_{24} : 10 nF
 C_5, C_{18} : 3,3 nF
 C_6 : 180 pF
 C_7, C_{11} : 330 pF
 C_9, C_{13} : 2,2 nF
 C_{10}, C_{25} : 220 pF
 C_{12}, C_{20}, C_{21} : 100 nF
 C_{14} : 68 pF
 C_{15} : 39 pF
 C_{16} : 120 pF
 C_{17} : 150 pF
 C_{19}, C_{26} : 10 μ F
 C_{22} : 47 nF
 C_{23} : 47 μ F

L_1 : 120 nH construite à l'aide de fil émaillé 6/10 sur \varnothing 6 mm
DV : Diode varicap BB105
IC₁ : LM324
IC₂ : TDA7000
IC₃ : LM386
IC₄ : 78L05
1 Embase DB25 femelle
1 Haut-parleur 8 Ω
1 Bornier 2 entrées

GROS PLAN SUR LE RÉSEAU R/2R DE CONVERSION.



FREQUENCEMETRE

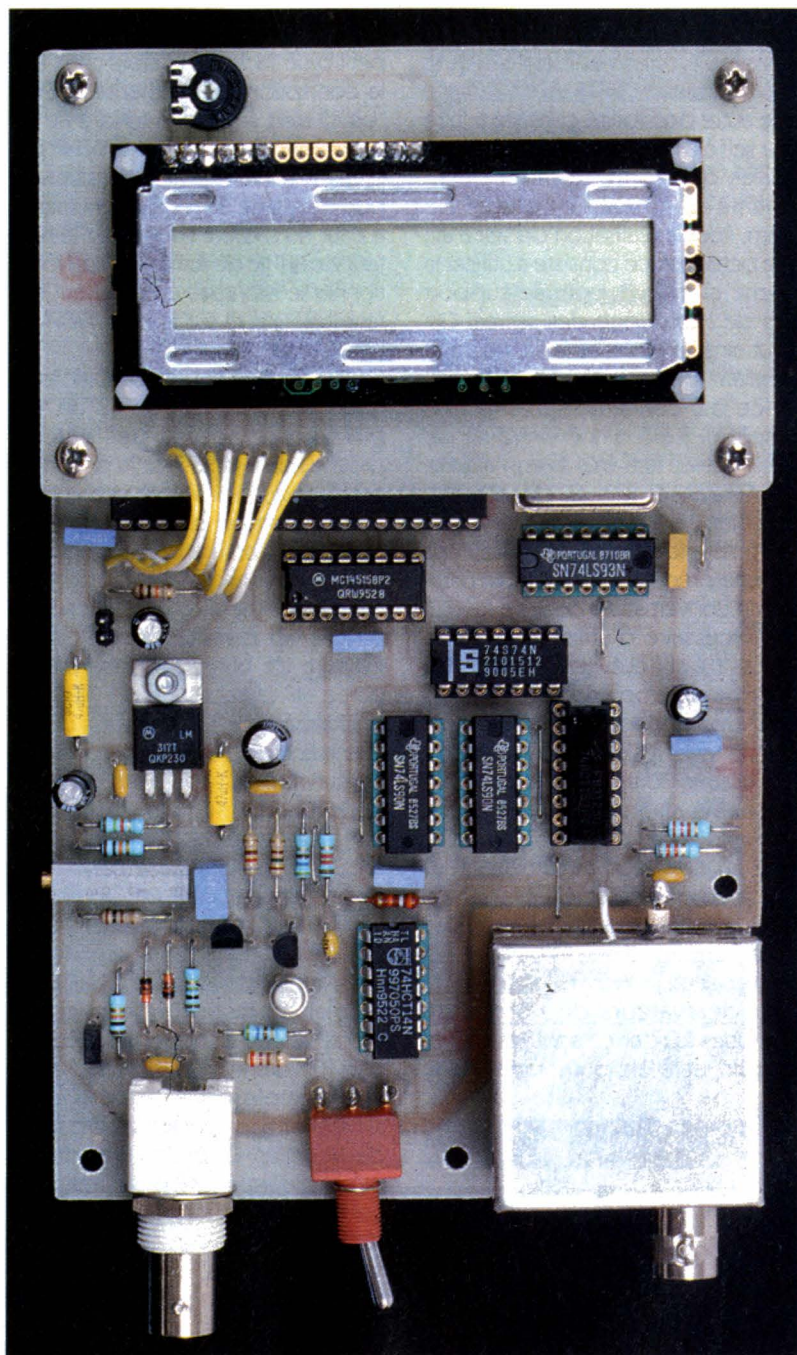
10 Hz/2,5 GHz

L'utilité d'un fréquencesmètre n'est plus à démontrer. Plusieurs appareils vous ont déjà été présentés dans la revue. C'est à notre tour de vous présenter un modèle équipé d'un microcontrôleur. L'intérêt de l'appareil, ainsi constitué, réside dans le changement de gamme automatique. Ceci permet de n'afficher que les chiffres utiles en rapport avec la précision de l'appareil.

L'appareil que nous vous proposons ce mois-ci est loin d'être un gadget puisqu'il est prévu pour atteindre une fréquence de 2,5GHz. Comme vous pouvez vous en douter il ne sera pas possible d'utiliser un seul étage d'entrée pour couvrir tout le domaine de fréquence à mesurer. Nous avons donc eu recours à deux entrées pour couvrir respectivement les gammes de fréquence 10Hz à 25MHz, et 25MHz à 2,5GHz. La sensibilité d'un fréquencesmètre est un paramètre essentiel. Pour que l'appareil soit réellement utile lors de la mesure de fréquences élevées, il est important que le niveau de déclenchement soit relativement bas. Nous nous sommes donc efforcés de rendre les étages d'entrée aussi sensibles que possible.

Schéma

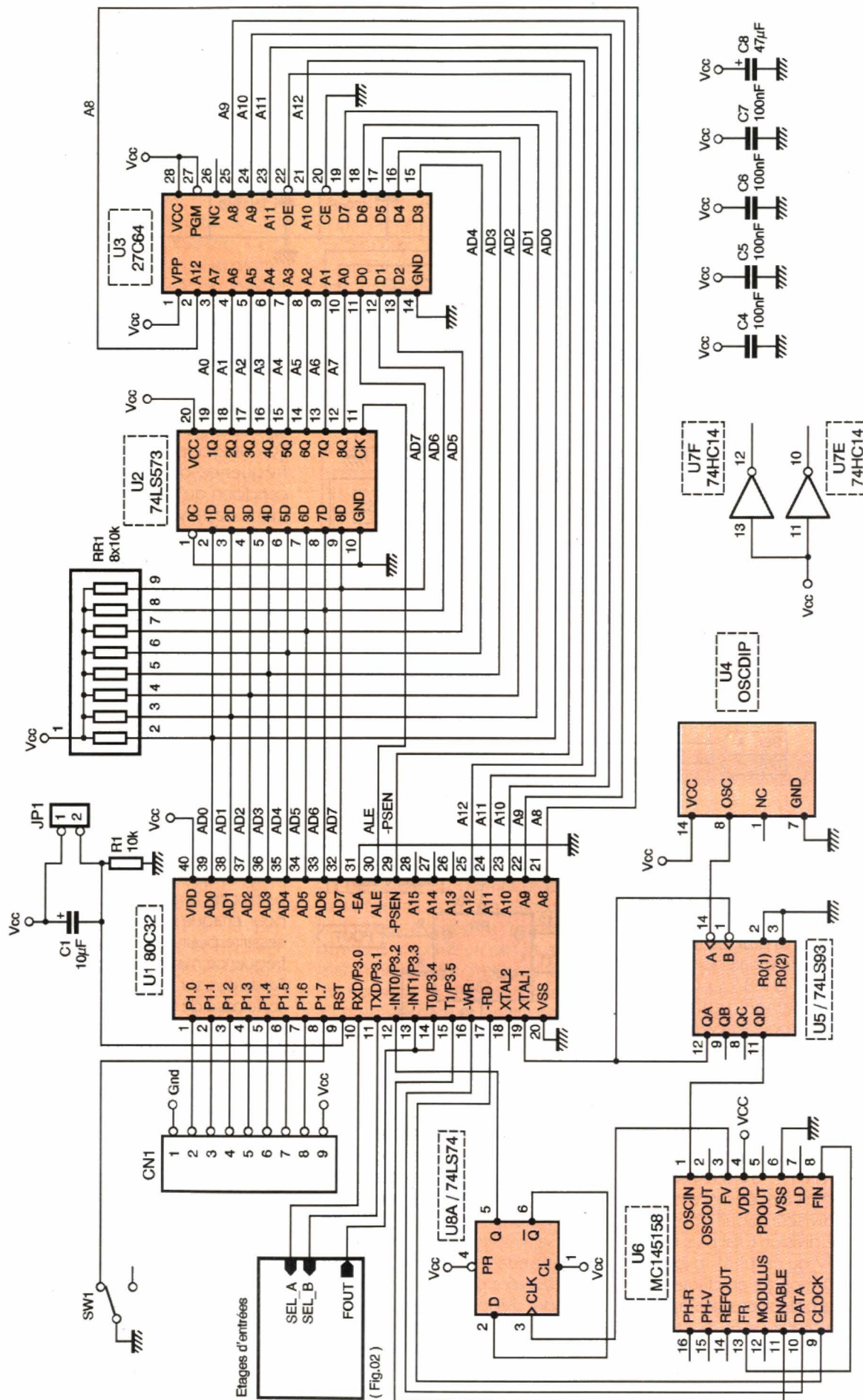
Les schémas de notre appareil sont visibles de la **figure 1** à la **figure 4**. Le cœur du montage est l'habituel microcontrôleur 80C32, raccordé à son EPROM dans le désordre qui

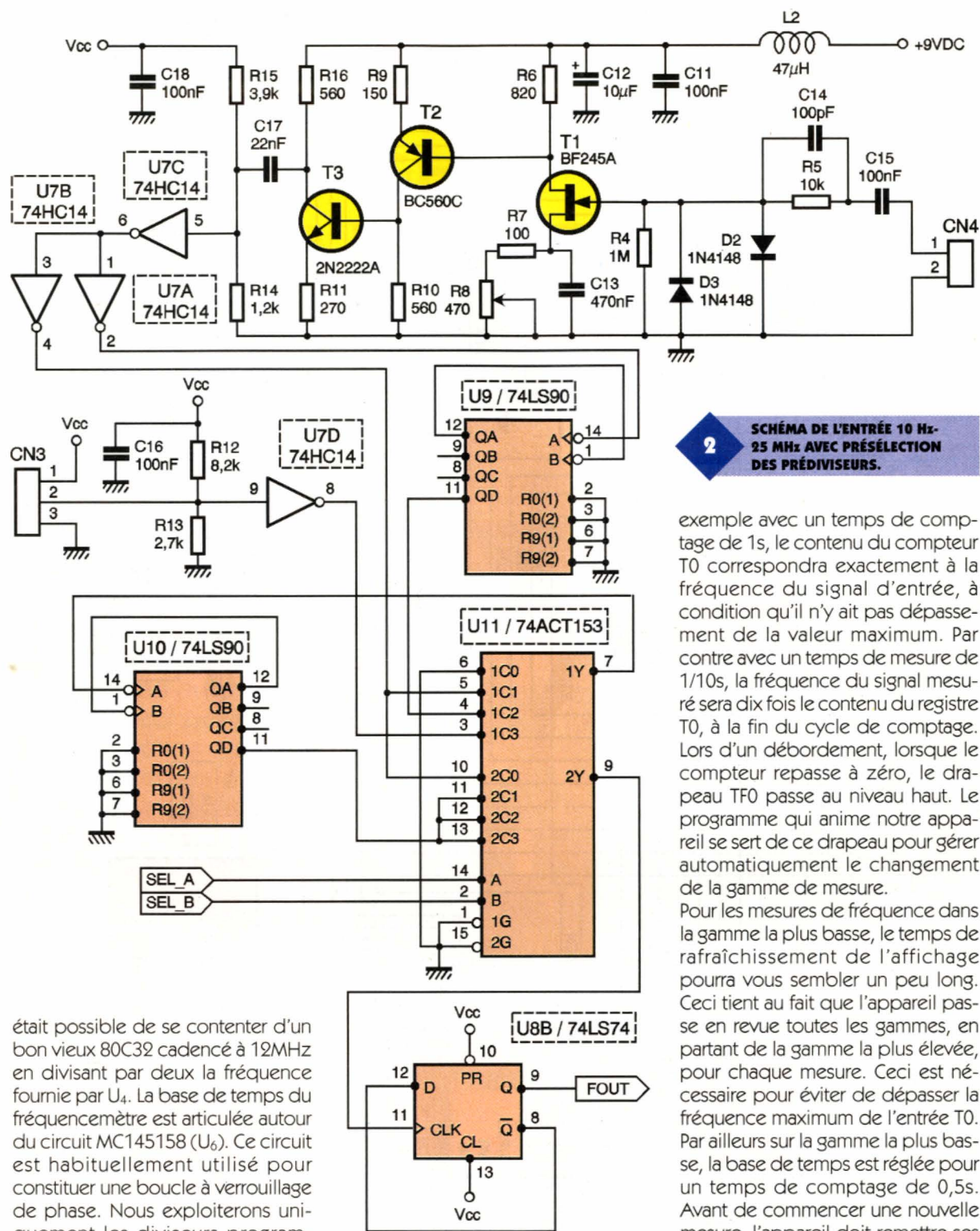


nous est cher, pour permettre une implantation en simple face. L'afficheur LCD sera piloté par le port P1, via le connecteur CN1. Pour une fois l'oscillateur interne du microcontrôleur ne sera pas utilisé. Pour une question de stabilité, nous avons préféré utiliser un oscillateur externe. C'est le circuit U₄ qui renferme un oscillateur de 24MHz intégré dans un boîtier DIL. C'est de lui que va dé-

pendre toute la stabilité de l'appareil. Le circuit U₅ permet de diviser la fréquence de l'oscillateur pour piloter le microcontrôleur et le circuit U₆ à une fréquence acceptable par ces derniers.

Il existe des modèles de microcontrôleurs 80C32 capable de fonctionner à 24MHz mais ils sont plus coûteux et un peu moins faciles à approvisionner. Pour nos besoins, il





2

SCHEMA DE L'ENTREE 10 Hz-25 MHz AVEC PRESELECTION DES PREDIVISEURS.

exemple avec un temps de comptage de 1s, le contenu du compteur T0 correspondra exactement à la fréquence du signal d'entrée, à condition qu'il n'y ait pas dépassement de la valeur maximum. Par contre avec un temps de mesure de 1/10s, la fréquence du signal mesuré sera dix fois le contenu du registre T0, à la fin du cycle de comptage. Lors d'un débordement, lorsque le compteur repasse à zéro, le drapeau TF0 passe au niveau haut. Le programme qui anime notre appareil se sert de ce drapeau pour gérer automatiquement le changement de la gamme de mesure.

Pour les mesures de fréquence dans la gamme la plus basse, le temps de rafraîchissement de l'affichage pourra vous sembler un peu long. Ceci tient au fait que l'appareil passe en revue toutes les gammes, en partant de la gamme la plus élevée, pour chaque mesure. Ceci est nécessaire pour éviter de dépasser la fréquence maximum de l'entrée T0. Par ailleurs sur la gamme la plus basse, la base de temps est réglée pour un temps de comptage de 0,5s. Avant de commencer une nouvelle mesure, l'appareil doit remettre ses compteurs à zéro. Cela ne peut se faire que lorsque le signal fourni par la base de temps est à 0, c'est à dire pendant que le compteur T0 est inhibé. Le temps de rafraîchissement de l'afficheur est variable en raison des calculs à effectuer (selon de la gamme de mesure). Donc il peut arriver qu'un nouveau cycle de mesure soit commencé juste avant de remettre les compteurs à zéro. Pire encore, un nouveau cycle de mesure risque de commencer pendant que le programme remet les compteurs à zéro (T0 est inhibé aussi par

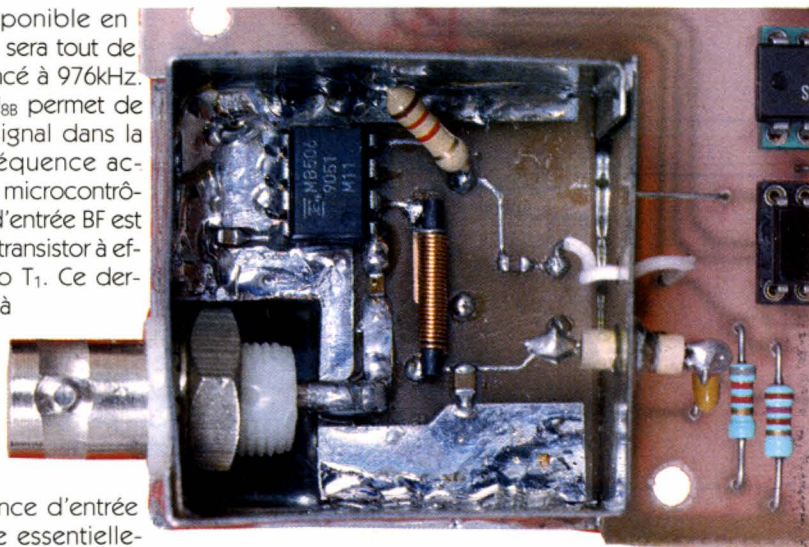
était possible de se contenter d'un bon vieux 80C32 cadencé à 12MHz en divisant par deux la fréquence fournie par U₄. La base de temps du fréquencemètre est articulée autour du circuit MC145158 (U₆). Ce circuit est habituellement utilisé pour constituer une boucle à verrouillage de phase. Nous exploiterons uniquement les diviseurs programmables de ce circuit. Les registres de circuit U₆ seront mis à jour par le microcontrôleur via les entrées DATA et CLOCK du circuit. La sortie de report du premier diviseur programmable (FR) est dirigée sur l'entrée du second diviseur, pour obtenir un facteur de division total plus élevé. La sortie FV du circuit U₆ pilote une bascule D montée en diviseur par deux, pour obtenir un signal ayant un rapport cyclique de 50 %. La sortie de la bascule U_{8A} pilote la ligne INT0 du microcontrôleur, ce qui permet de valider le compteur T0, unique-

ment pendant l'état haut. Dès que le signal repasse à l'état bas, le compteur T0 sera inhibé et de surcroît l'interruption INT0 sera déclenchée. Que demander de plus pour mesurer une fréquence ? Le signal à mesurer sera mis en forme par un étage d'entrée adéquat, après quoi il subira différentes divisions de fréquence, avant d'aboutir au signal d'entrée du compteur T0 du microcontrôleur (signal FOUT). Le temps de comptage fourni par la base de temps sera choisi pour faciliter les calculs. Par

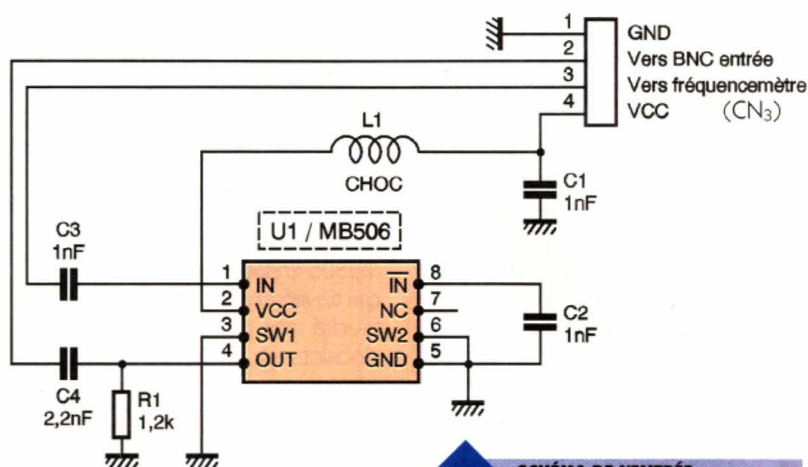
$T_{R0} = 0$ pendant ce laps de temps). Dans un tel cas de figure, il est évident que le résultat de la mesure sera faux. Le programme détecte cette situation et attend la fin du cycle en cours pour remettre à 0 les compteurs. Pendant ce temps le contenu de l'afficheur reste inchangé, ce qui explique que dans certains cas le temps de rafraîchissement de l'afficheur peut sembler long.

Vous aurez peut-être noté que le signal FOUT est également distribué sur l'entrée INT1. Ceci pourrait permettre de mesurer la période d'un signal en audiofréquence. Cette possibilité ne sera pas exploitée dans la version actuelle du logiciel. L'appareil sera alimenté par un petit bloc d'alimentation d'appoint fournissant au moins 300mA sous 12VDC. La diode D_1 permet de protéger le montage en cas d'inversion du connecteur d'alimentation. Le montage fait appel à deux régulateurs. Le régulateur REG_1 est utilisé pour fournir la tension 5VDC nécessaire aux circuits logiques, tandis que le régulateur REG_2 est utilisé pour alimenter l'étage d'entrée (BF). Pour préserver les performances de l'étage d'entrée, il est indispensable de découpler correctement la tension d'alimentation. C'est dans ce but que les inductances L_1 et L_2 ont été ajoutées. Dans la mesure du possible, utilisez des inductances prévues pour des fréquences avoisinant 50 MHz. Veillez aussi au choix des condensateurs de filtrage et préférez des modèles céramique. La figure 2 dévoile l'étage d'entrée BF ainsi que le sélecteur utilisé pour le changement de gamme automatique. Selon la gamme voulue, le microcontrôleur choisira parmi les 4 possibilités qui lui sont offertes. La sélection 0 (SELA et SELB = 0) permet de choisir le signal BF en direct, sans prédiviseur supplémentaire (sortie 2Y du circuit U_{11}). La sélection 1 permet de choisir le signal BF divisé par 10 via U_{10} . La sélection 2 permet de choisir le signal BF divisé par 100 (via U_9 et U_{10}). Enfin la sélection 3 permet de choisir le signal HF divisé par 10. Le signal d'entré HF issu du pré-diviseur est distribué au sélecteur via CN_4 . La sortie 2Y du sélecteur U_{11} pilote la bascule U_{8B} montée en diviseur par 2. Cette bascule est nécessaire pour ne pas dépasser la limite de fréquence de l'entrée T0 du microcontrôleur. La limite correspond à la fréquence d'horloge du microcontrôleur divisée par 24, soit 500kHz dans notre cas de figure. Avec un signal HF de 2,5GHz divisé par 256 puis par 10,

le signal disponible en sortie de U_{10} sera tout de même cadencé à 976kHz. La bascule U_{8B} permet de ramener le signal dans la plage de fréquence acceptée par le microcontrôleur. L'étage d'entrée BF est constitué du transistor à effet de champ T_1 . Ce dernier permet à la fois d'amplifier le signal d'entrée et de procurer à l'étage une impédance d'entrée élevée (fixée essentiellement par la valeur de R_4). Les diodes D_2 et D_3 associée à R_5 permettent de protéger l'entrée contre des tensions d'entrée excessives



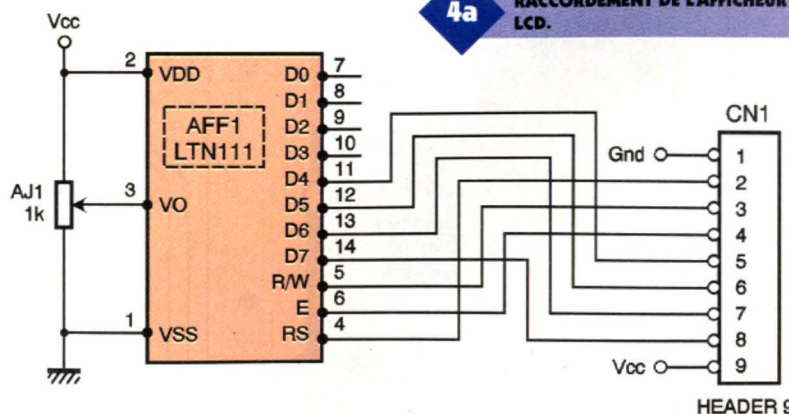
GROS PLAN DU PRÉDIVISEUR HF.



3 SCHÉMA DE L'ENTRÉE 25 MHz-2,5 GHz.

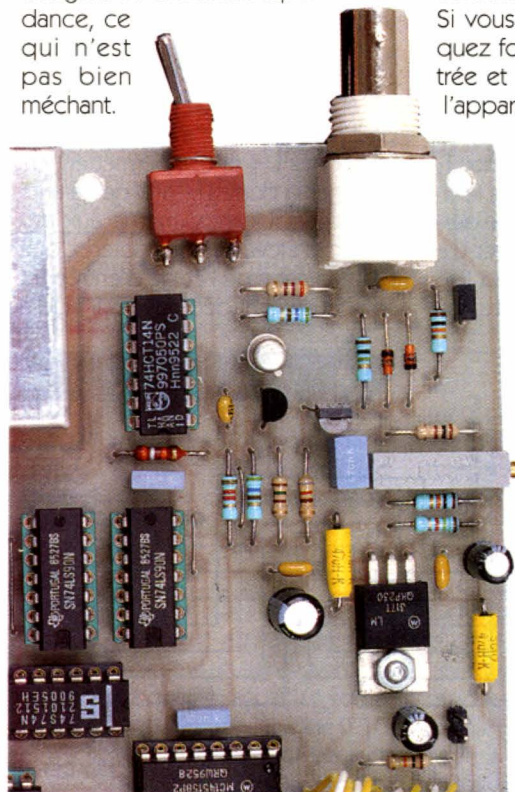
(environ 50V max). Le condensateur C_{15} supprime bien entendu les composantes continues tandis que le condensateur C_{14} permet d'accélérer la transmission des signaux de fréquences élevées. Le transistor T_2 permet d'amplifier un peu plus le signal d'entrée avant d'attaquer le dernier transistor T_3 . La porte trigger U_{7C} est polarisée dans sa fenêtre par R_{15} et R_{14} de façon à augmenter au

mieux la sensibilité de l'ensemble. La porte U_{7D} sera elle aussi polarisée dans la fenêtre du trigger pour utiliser au maximum les signaux issu du prédiviseur, 1,6 Vc à c max, via CN_3 . Les portes U_{7B} et U_{7A} permettent de soulager la porte U_{7C} afin de garantir des signaux francs, même aux fréquences élevées. Vous noterez que l'alimentation de l'étage d'entrée est soigneusement découplée. Il faudra



4a RACCORDEMENT DE L'AFFICHEUR LCD.

veiller au choix des éléments L_2 et C_{11} pour que le filtrage soit efficace aussi aux fréquences proches de 50MHz. La figure 3 dévoile le schéma du prédiviseur HF. L'utilisation du circuit MB506 simplifie bien les choses, car le circuit est parfaitement adapté et suffisamment sensible pour des fréquences élevées. Nous avons obtenu -15 dBm au delà de 2 GHz et -30 dBm à partir de 100 MHz. Le prédiviseur sera impérativement installé dans un boîtier métallique prévus pour les montages HF. Les condensateurs employés seront des modèles CMS, les seuls qui puissent encore être employés à des fréquences aussi élevées. L'inductance de filtrage sera un modèle prévu pour les fréquences qui nous intéressent, cela va de soit. Il n'est pas simple de protéger efficacement l'entrée du circuit MB506 sans perturber lamentablement sa sensibilité. Aussi nous n'avons pas cherché les ennuis. L'entrée du circuit sera simplement couplée avec l'entrée par un condensateur. Si vous envisagez de mesurer un signal HF d'amplitude élevée, vous devrez ajouter un atténuateur en entrée du fréquencemètre. Enfin la figure 4 dévoile le schéma de raccordement de l'afficheur LCD. Il n'y a pas grand chose à dire dans la mesure ou l'afficheur intègre toute la logique nécessaire. Notez simplement que l'afficheur est piloté en mode 4 bits et que l'ordre de raccordement particulier permet de simplifier le dessin des circuits imprimés. C'est le logiciel qui se chargera de faire la correspondance, ce qui n'est pas bien méchant.



Réalisation

La réalisation du montage nécessite trois circuits imprimés de dimensions raisonnables. Vous noterez que le circuit imprimé du prédiviseur HF vous est proposé en deux versions. Il sera réalisé impérativement sur de l'époxy double face de 16/10e d'épaisseur, avec du cuivre de 35mm d'épaisseur. Ceci est nécessaire pour réaliser l'adaptation de l'impédance d'entrée du circuit. Le dessin des pistes représente le coté composants, tandis que le coté cuivre restera intact pour servir de plan de masse. Nous vous proposons deux implantations possibles selon le modèle de circuit MB506 que vous pourrez vous procurer. Soit vous utiliserez le circuit "tout CMS" soit vous utiliserez le circuit mixte (pour boîtier DIL).

Dans le cas du circuit mixte il faudra dégager les broches du circuit qui ne sont pas portées à la masse. Pour cela il suffit d'effleurer le circuit imprimé, à l'endroit du trou de passage des pattes concernées (coté cuivre bien entendu), avec un foret de diamètre de 3mm. Seul le circuit MB506 en boîtier DIL aura ses pattes qui traversent le circuit imprimé. Il ne faudra pas percer les pastilles de l'inductance et de la résistance. Ces éléments seront eux aussi soudés du coté composants. Surtout ne modifiez pas la largeur de la piste qui transmet le signal d'entrée. La piste doit faire 2,5mm de large pour constituer une ligne adaptée à 50W. Si vous modifiez le tracé vous risquez fort de perturber l'étage d'entrée et de réduire la sensibilité de l'appareil.

Le dessin du circuit imprimé de la carte principale est visible en **figure 5**. La vue d'implantation associée est reproduite en **figure 6**. Le dessin du circuit imprimé de la carte d'affichage est visible en **figure 7**. La vue d'implantation associée est reproduite en **figure 8**. Le dessin du circuit imprimé du prédiviseur HF est visible en **figure 9**. La vue d'implantation associée est reproduite en **figure 10**. Et enfin le dessin du circuit imprimé du pré-diviseur HF avec un boîtier CMS est visible en **figure 11**. L'implantation est identique, hormis l'espace entre broches ; le brochage est le même.

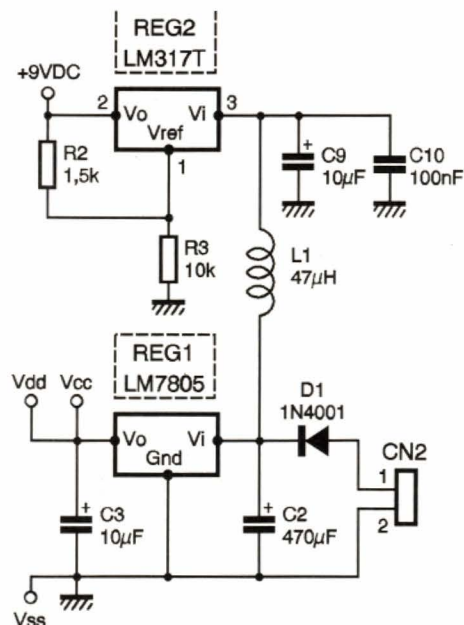
Rappelons que le dessin des circuits imprimés du prédiviseur représente le coté composants et que le coté cuivre restera intact pour former un plan de masse. Les pastilles seront percées à l'aide d'un foret de 0,8mm de diamètre, pour la plupart. En raison de la taille réduite de certaines pastilles, il vaudra mieux utiliser des forets de bonne qualité pour éviter les dégâts.

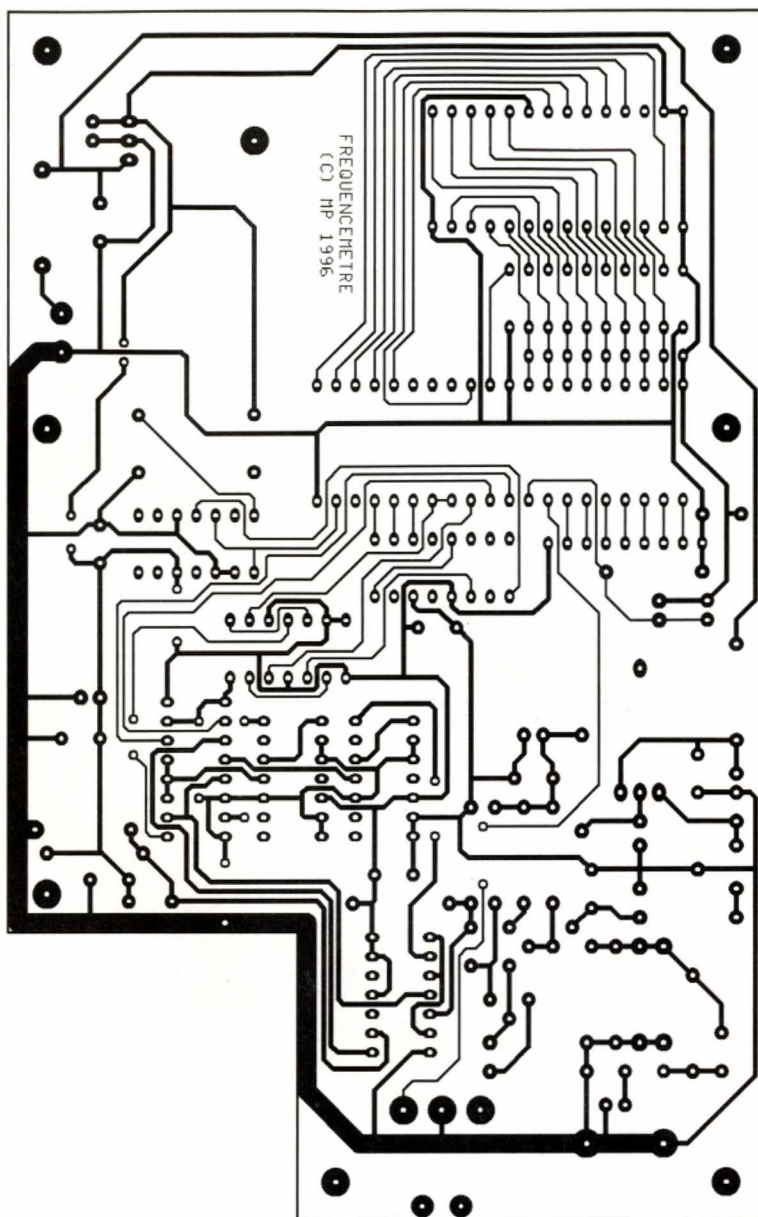
En ce qui concerne les connecteurs, les diodes et les régulateurs, il faudra percer avec un foret de 1mm de diamètre. Procurez-vous les composants avant de dessiner le circuit, au cas où il vous faudrait adapter un peu l'implantation. Cette remarque concerne particulièrement l'afficheur LCD et l'embase BNC implantée sur la platine principale. Soyez vigilant au sens des composants et respectez bien la nomenclature.

Il n'y a pas de difficulté particulière pour l'implantation de la carte prin-

4b

L'ALIMENTATION.





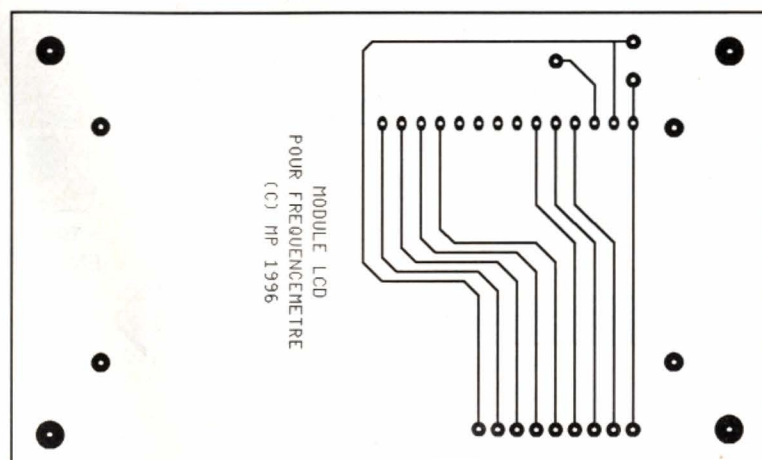
5

CARTE PRINCIPALE CÔTÉ CUIVRE.

cipale. Soyez tout de même attentif au sens des condensateurs et

7

CARTE AFFICHEUR CÔTÉ CUIVRE.



des circuits intégrés. Respectez scrupuleusement le découplage des lignes d'alimentation si vous voulez éviter les surprises. Utilisez uniquement des condensateurs céramique pour les valeurs non polarisées. Le transistor à effet de champ T_1 est un modèle BF245A. Si

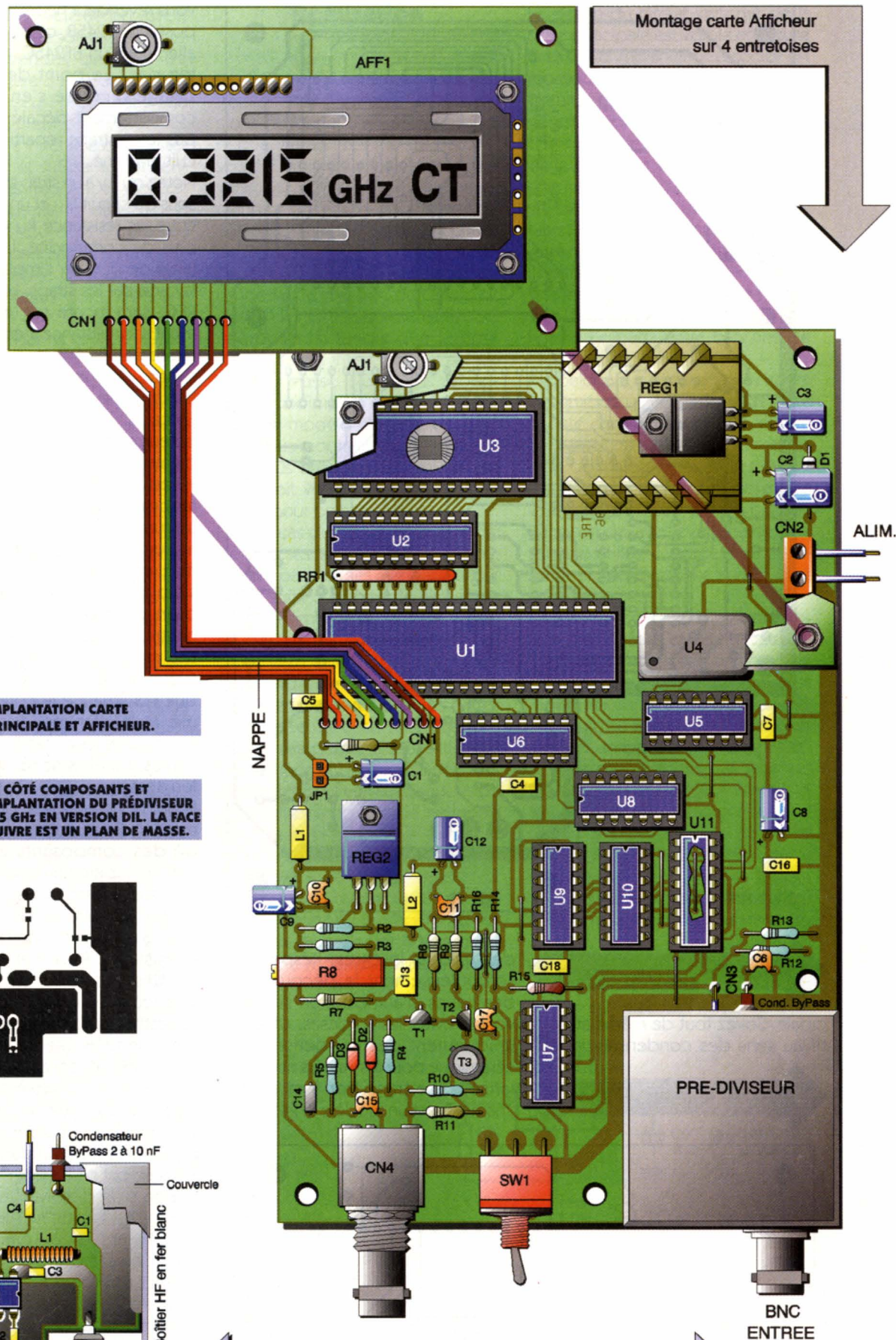
vous revendeur habituel vous propose un BF245B, cela peut encore aller, mais un BF245C, ne l'acceptez pas ! Le point de repos de l'étage d'entrée s'en trouverait complètement décalé. N'oubliez pas les 9 straps répartis sur le circuit imprimé.

Notez qu'il y a un strap situé en dessous du circuit U_{11} et un autre placé entre les résistances R_{14} et R_{16} . Pour plus de commodité, il est préférable de débiter l'implantation de la carte par les straps. Le régulateur REG_1 sera monté sur un radiateur ayant une résistance thermique inférieure à 17°C/W pour éviter d'atteindre une température de jonction trop élevée.

En ce qui concerne REG_2 un dissipateur n'est pas nécessaire. L'implantation de la carte prédiviseur HF est légèrement plus délicate en raison de la présence des condensateurs CMS. Il faudra utiliser un fer à souder dont la panne est très effilée, et éviter de trembler ! Le plus simple consiste à étamer la piste d'un côté du condensateur à mettre en place. Puis avec une petite pince brucelles, on met en place le condensateur pendant que l'on chauffe le côté déjà étamé. Mais attention ! Pas question de chauffer les pistes pendant des heures, car elles ne résisteront pas longtemps.

Il faut donc agir avec précision et rapidité. Si vous n'avez jamais soudé des composants en boîtier CMS, récupérez en quelques uns à la tresse à dessouder sur une vieille plaque, et entraînez-vous. Rappelons que l'inductance de choc et la résistance R_1 seront elles aussi soudées du côté composants, à ras du circuit. Ce n'est peut-être pas très esthétique, mais c'est la seule méthode utilisable en HF. Seul le circuit MB506 en boîtier DIL aura ses pattes qui traversent le circuit imprimé. Lorsque le circuit sera soudé, il faudra couper les pattes au plus prêt de la soudure. Les soudures seront nettoyées de leur flux à l'aide d'un dissolvant approprié. En HF c'est important ! Le prédiviseur HF sera installé dans un petit boîtier en fer blanc étamé, prévu pour les montages HF.

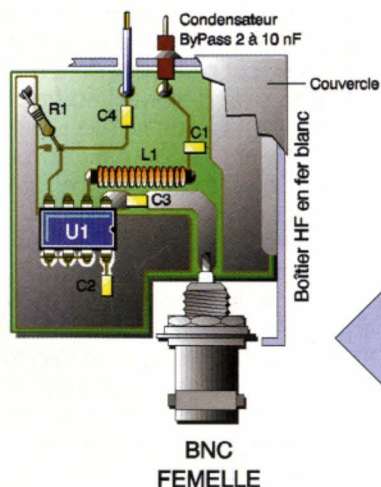
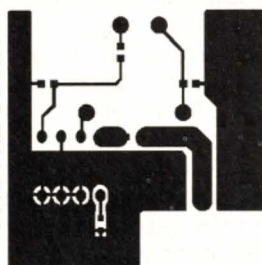
L'implantation est prévue pour un boîtier de dimension $37 \times 37 \times 30$. Le circuit imprimé sera maintenu dans le boîtier, à mi-hauteur, par la soudure des plans de masses sur la tôle, tout autour. Le passage du signal de sortie sera possible à l'aide d'un petit trou pratiqué légèrement surélevé en face de la pastille ou avec une traversée



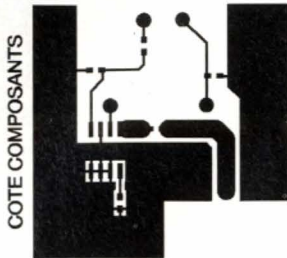
6/8 IMPLANTATION CARTE PRINCIPALE ET AFFICHEUR.

9/10 C1 CÔTÉ COMPOSANTS ET IMPLANTATION DU PRÉDIVISEUR 2,5 GHz EN VERSION DIL. LA FACE CUIVRE EST UN PLAN DE MASSE.

COTE COMPOSANTS



Détail Carte Pré-diviseur



11

CIRCUIT PRÉDIVISEUR 2,5 GHz VERSION CMS VU CÔTÉ COMPOSANTS.

Teflon. En ce qui concerne le passage du fil d'alimentation VCC il se fera par un condensateur ByPass soudé directement sur le boîtier. Ce type de condensateur s'installe dans un trou de 3,5mm pratiqué dans le boîtier. Le condensateur est ensuite soudé à même la tôle. Enfin il ne reste plus qu'à relier le condensateur de part et d'autre à la carte principale et au prédiviseur HF par un petit bout de fil rigide. L'embase BNC du boîtier HF viendra se raccorder directement sur le circuit imprimé du pré-diviseur. Les broches de l'embase BNC viendront prendre en sandwich le circuit

imprimé. La découpe du circuit imprimé est prévue pour que le tout s'installe relativement simplement. Le boîtier sera ensuite refermé et les capots seront soudés sur toute la longueur de tous les contours. L'ensemble viendra se placer au bord de la découpe du circuit principal pour être soudé à la piste de masse qui accompagne la découpe. Il est évident que les pistes du circuit principal ne sont pas faites pour supporter les tractions qui s'exerceront sur le boîtier métallique du pré-diviseur. Il faudra donc rigidifier l'ensemble dans un boîtier adéquat.

Ajoutons que les soudures du boîtier seront aussi nettoyées à l'aide d'un dissolvant. Le circuit de l'afficheur LCD viendra prendre place au-dessus du circuit principal à l'aide d'entretoise d'une longueur suffisante pour dépasser en hauteur le dissipateur thermique. Une fenêtre sera découpée dans le boîtier principal, pour permettre de visualiser l'afficheur LCD. Le circuit de l'afficheur sera raccordé au circuit principal par du fil rigide, en respectant bien

l'ordre des connexions. L'EPROM U₃ sera programmée avec le contenu d'un fichier que vous pourrez vous procurer par téléchargement sur le serveur Minitel ou sur Internet (<http://www.EPRAT.com>).

Vous disposerez du fichier "U3.BIN" qui est le reflet binaire du contenu de l'EPROM, ainsi que le fichier "U3.HEX" qui correspond au format HEXA INTEL.

Si vous n'avez pas la possibilité de télécharger les fichiers, vous pourrez adresser une demande par un courrier adressé à la rédaction, en joignant une disquette formatée accompagnée d'une enveloppe self-adressée convenablement affranchie (tenir compte du poids de la disquette).

Réglage

Le réglage de l'appareil est relativement simple. Ajuster R₁₅ pour que la tension présente entre le collecteur du transistor T₃ et la masse soit de 4,5V. Et c'est tout !

Nomenclature

Carte CPU

CN₂ : Bornier de connexion à vis, 2 plots, au pas de 5,08mm, à souder sur circuit imprimé, bas profil.

CN₄ : Embase BNC femelle 50 Ω, à souder sur CI (l'implantation est prévue pour une embase Vitelec type 1)

C₁, C₃, C₉, C₁₂ : 10 μF/25V, sorties radiales

C₂ : 470 μF/25 Volts, sorties radiales

C₄ à C₇, C₁₀, C₁₁, C₁₅ : 100 nF céramique

C₈ : 47 μF/25V, sorties radiales

C₁₃ : 470 nF

C₁₄ : 100 pF

C₁₆, C₁₈ : 100 nF céramique

C₁₇ : 22 nF

D₁ : 1N4001 (diode de redressement 1A/100V)

D₂, D₃ : 1N4148

JP₁ : Jumper au pas de 2,54mm

L₁, L₂ : Inductances 47 μH

REG₁ : Régulateur LM7805 (5V) en boîtier TO220

REG₂ : Régulateur LM317T en boîtier TO220

RR₁ : Réseau résistif 8 x 10 kΩ en boîtier SIL

R₁, R₃, R₅ : 10 kΩ 1/4W 5 % (Marron, Noir, Orange)

R₂ : 1,5 kΩ 1/4W 5 % (Marron, Vert, Rouge)

R₄ : 1 MΩ 1/4W 5 % (Marron, Noir, Vert)

R₆ : 820 Ω 1/4W 5 % (Gris, Rouge, Marron)

R₇ : 100 Ω 1/4W 5 % (Marron, Noir, Marron)

R₈ : 470 Ω 1/4W 5 % (Jaune, Violet, Marron)

R₉ : 150 Ω 1/4W 5 % (Marron, Vert, Marron)

R₁₀, R₁₆ : 560 Ω 1/4W 5 % (Bleu, Vert, Marron)

R₁₁ : 270 Ω 1/4W 5 % (Rouge, Violet, Marron)

R₁₂ : 8,2 kΩ 1/4W 5 % (Gris, Rouge, Rouge)

R₁₃ : 2,7 kΩ 1/4W 5 % (Rouge, Violet, Rouge)

R₁₄ : 1,2 kΩ 1/4W 5 % (Marron, Rouge, Rouge)

R₁₅ : 3,9 kΩ 1/4W 5 % (Orange, Blanc, Rouge)

SW₁ : Interrupteur 1 contact repos et travail, à souder horizontalement sur circuit imprimé

T₁ : BF245A

T₂ : BC560C

T₃ : 2N2222A

U₁ : Microcontrôleur 80C32 (12MHz)

U₂ : 74LS573

U₃ : EPROM 27C64 temps d'accès 200ns

U₄ : Oscillateur en boîtier DIL 24MHz

(par ex MCO-24,000 MHz)

U₅ : 74LS93

U₆ : MC145158

U₇ : 74HCT14

U₈ : 74LS74

U₉, U₁₀ : 74LS90

U₁₁ : 74HCT153

Carte afficheur LCD

AFF₁ : Afficheur LCD avec logique intégrée, 1 ligne de 16 caractères (LM16155 ou LTN111)

AJ₁ : Ajustable Horizontal 1 kΩ

Carte Prédiviseur

Boîtier en fer blanc (spécial HF) dim 37 x 37 x 30

Condensateur ByPass 2 nF à 10 nF environ

Embase BNC femelle 50 Ω, à monter sur façade

C₁, C₂, C₃ : 1 nF CMS

C₄ : 2,2 nF CMS

L₁ : Inductance de choc réalisé sur un barreau Ferrite Ø 1,5 mm (matériau 4B1)

R₁ : Résistance 1,2 kΩ en boîtier CMS ou bien 1/4W 5 % (Marron, Rouge, Rouge)

soudée directement sur la masse du boîtier métallique

U₁ : Prédiviseur HF MB506 (DIL ou CMS) ou équivalent DIL ou CMS MOTOROLA

Ce que nous proposons dans l'article qui suit n'est pas à proprement parler une réalisation, mais plutôt un outil qui permettra le calcul et la réalisation d'atténuateurs utilisés en H.F. où on travaille sur l'impédance caractéristique des lignes ou dans tout montage électronique où une impédance d'entrée et de sortie est à respecter, comme par exemple, les atténuateurs de sortie des générateurs.



LES ATTENUATEURS H.F.

Réalisation pratique de deux types d'atténuateurs

Le schéma de la **figure 1** représente le premier de ces atténuateurs qui est un atténuateur en T. Son facteur d'atténuation est de 10 dB et son impédance d'entrée et de sortie est de 50 Ω .

Le second circuit, donné en **figure 2**, procure la même atténuation mais présente des impédances d'entrée et de sortie différentes : 50 Ω et 75 Ω pour adapter un appareil de mesure à du coaxial T.V. (et SAT) par exemple. Il est réversible.

La réalisation pratique en est relativement simple, ce que nous pouvons apercevoir sur les **figures 3** et **5** qui représentent le dessin des circuits

imprimés, et sur les **figures 4** et **6** qui donnent l'implantation des composants.

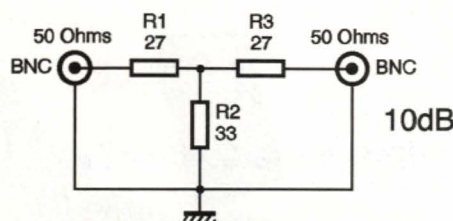
Le tracé des pistes des deux circuits devra être respecté. Ces pistes possèdent en effet une largeur déterminée qui fixe l'impédance des lignes à 50 Ω dans un cas (2,5 mm de largeur) et 75 Ω dans le second cas (1,2 mm de largeur) ; on prendra dans ce dernier cas une embase BNC 75 Ω ou F côté 75 Ω .

Les circuits imprimés devront être réalisés sur de l'époxy double face de 16/10ème de mm d'épaisseur et recouvert de 35 μ m de cuivre (c'est le produit le plus fréquemment vendu). La face inférieure sera laissée recouverte de son cuivre afin d'assurer un plan de masse correct.

Exceptionnellement, les composants employés sont de type CMS, ce qui ne représentera pas une grande difficulté pour le câblage puisque seules trois résistances sont à implanter par circuit. Des traversées devront relier les plans de masse recto-verso. Tels que représentés, ils supportent 1/2 W. Les entrées et les sorties s'effectueront sur des connecteurs BNC qui seront soudés à même le circuit imprimé ou, dans le cas de l'adaptateur, on pourra mettre une embase "F" côté 75 Ω .

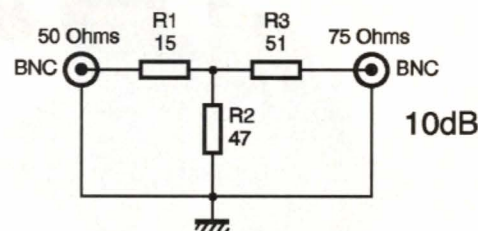
1

SCHEMA D'UN ATTENUATEUR EN T, ICI : -10 dB.



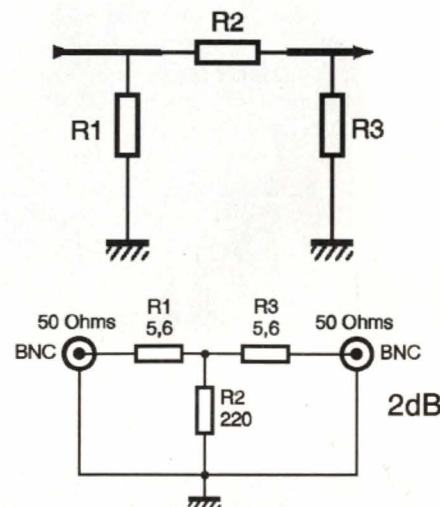
2

ADAPTATION 50/75 OU 75/50 ATTENUATION DE TRANSFERT, 10 dB.



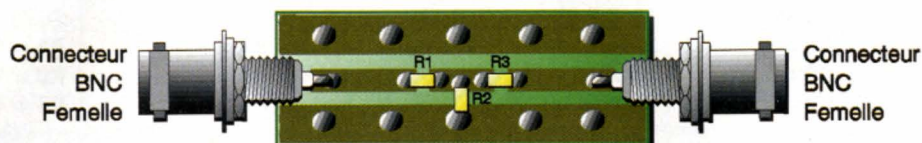
7

ON PEUT PASSER DE T EN T ET INVERSEMENT.



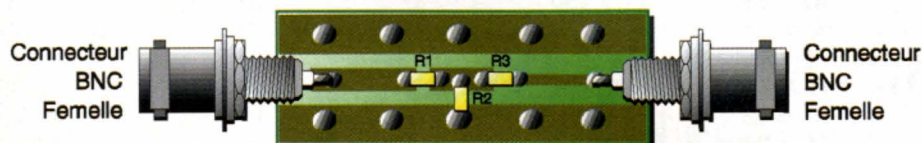
3/5

CIRCUIT IMPRIMÉ D'UN ATTÉNUATEUR EN T. LA FACE INFÉRIEURE EST ENTIÈREMENT CUIVRÉE.



4/6

ADAPTATEUR 50/75 Ω EN Π. MÊME REMARQUE.



Les atténuateurs devront ensuite être placés dans de petits boîtiers métalliques qui en assureront le blindage.

Calcul des atténuateurs

Les figures 7 et 8 représentent les deux types d'atténuateurs les plus couramment employés.

Nous donnons ci-contre les formules permettant de calculer la valeur des résistances à employer, et ce, pour les deux configurations : en T et en Π.

A l'aide de ces formules, il devient très facile de calculer tout facteur d'atténuation d'un atténuateur.

Le tableau de fin donne quelques exemples de valeurs.

Nous avons également élaboré un petit programme qui permet très facilement d'obtenir les valeurs des résistances à employer.

Il est évident qu'aux résultats obtenus ne correspondront pas toujours les valeurs des résistances que l'on trouve dans le commerce.

Filtre en T :

$$R1 = R2 = Z \left(\frac{(N+1)}{(N-1)} \right) - R3$$

$$R3 = 2Z \left(\frac{\sqrt{N}}{(N-1)} \right)$$

où N est le facteur d'atténuation linéaire

En dBm (puissance) :

$$A = -10 \log N$$

et Z = impédance caractéristique 50 ou 75 Ω

Filtre en Π :

$$R1 = R3 = Z \left(\frac{(N-1)}{(N+1)} \right) - 2\sqrt{N}$$

$$R2 = Z \left(\frac{(N-1)}{(2\sqrt{N})} \right)$$

On essaiera alors de s'en approcher au maximum, par exemple par un tri à l'ohmmètre.

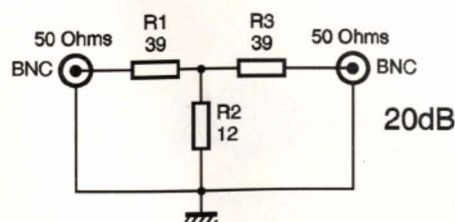
Les résistances à employer seront de préférence au carbone dans le cas où l'on n'emploie pas des CMS.

Il est évident qu'aux résultats obtenus ne correspondront pas toujours les valeurs des résistances que l'on trouve dans le commerce.

FORMULES DE CALCUL D'ATTÉNUATEURS EN T ET EN Π.

8

ATTÉNUATEUR EN Π, -20dB.



Nomenclature

**Adaptateur -10 dB ; 50 Ω/50 Ω
1/2 W (Pmax : + 27 dBm)**

Résistances :

R₁, R₂ : 27 Ω CMS 1206

R₃ : 33 Ω CMS 1206

Divers :

2 connecteurs BNC femelle

châssis

1 boîtier métallique

**Adaptateur -10 dB ;
50 Ω/75 Ω 1/2 W (+27 dBm)**

Résistances :

R₁ : 15 Ω CMS 1206

R₂ : 47 Ω CMS 1206

R₃ : 51 Ω CMS 1206

Divers :

**2 connecteurs BNC femelle
châssis 50 Ω et 75 Ω ou une
prise F en 75 Ω**

1 boîtier métallique

ATTÉNUATION ET IMPÉDANCE	TYPE DE FILTRE (valeurs en Ω)	TYPE DE FILTRE (valeurs en Ω)	ATTÉNUATION ET IMPÉDANCE	TYPE DE FILTRE (valeurs en Ω)	TYPE DE FILTRE (valeurs en Ω)
2dB 50 OHMS	FILTRE T R1 = 5,6 R2 = 5,6 R3 = 220	FILTRE PI R1 = 430 R2 = 10 R3 = 430	2dB 75 OHMS	FILTRE T R1 = 8,2 R2 = 8,2 R3 = 330	FILTRE PI R1 = 620 R2 = 15 R3 = 620
3dB 50 OHMS	FILTRE T R1 = 8,2 R2 = 8,2 R3 = 140	FILTRE PI R1 = 300 R2 = 18 R3 = 300	3dB 75 OHMS	FILTRE T R1 = 12 R2 = 12 R3 = 220	FILTRE PI R1 = 430 R2 = 27 R3 = 430
6dB 50 OHMS	FILTRE T R1 = 15 R2 = 15 R3 = 68	FILTRE PI R1 = 150 R2 = 39 R3 = 150	6dB 75 OHMS	FILTRE T R1 = 25 R2 = 25 R3 = 100	FILTRE PI R1 = 220 R2 = 56 R3 = 220
20dB 50 OHMS	FILTRE T R1 = 39 R2 = 39 R3 = 10	FILTRE PI R1 = 62 R2 = 240 R3 = 62	20dB 75 OHMS	FILTRE T R1 = 62 R2 = 62 R3 = 15	FILTRE PI R1 = 91 R2 = 360 R3 = 91
30dB 50 OHMS	FILTRE T R1 = 47 R2 = 47 R3 = 3,3	FILTRE PI R1 = 51 R2 = 787 R3 = 51	30dB 75 OHMS	FILTRE T R1 = 68 R2 = 68 R3 = 4,7	FILTRE PI R1 = 82 R2 = 1200 R3 = 82

QUELQUES ATTÉNUATEURS CLASSIQUES EN T ET EN T 50 ET 75 Ω . (10 dB, VOIR FIGURE 1).

PROGRAMME BASIC DE CALCUL DES ATTÉNUATEURS ADAPTÉS.

```

REM *****
REM CALCUL DES ATTENUATEURS EN T ET EN PI
REM *****
programme :
CLS
SCREEN 12
COLOR 11
LOCATE 2, 8
PRINT "CALCUL DE LA VALEUR DES RESISTANCES DES ATTENUATEURS EN T ET EN PI"
LOCATE 3, 15 : PRINT "_____ "
SLEEP 1
dB :
LOCATE 5, 2 : PRINT "Entrer le facteur d'atténuation désiré : ";
INPUT n : IF n < 2 OR n > 10000 THEN GOTO dB
AttdBm = (-10 * (LOG (n))) * .4344
REM L'instruction LOG donne le logarithme népérien d'un nombre. Il est nécessaire de multiplier le REM résultat par le nombre 0,4344 afin d'obtenir le logarithme décimal de ce nombre
LOCATE 6, 2 : PRINT "L'atténuation en puissance est de ";
PRINT AttdBm : PRINT "dB"
att :
SLEEP 1
LOCATE 9, 2 : PRINT "Entrer le type d'atténuateur choisi : 1 —> filtre en T"
LOCATE 10, 39 : PRINT "2 —> filtre en PI"
LOCATE 11, 39 : INPUT T
IF Z <> 50 OR Z <> 75 THEN GOTO impedance
IF T < 1 OR T > 2 THEN GOTO att
IF T = 1 THEN GOTO T
IF T = 2 THEN GOTO PI
GOTO programme
impedance :
SLEEP 1
LOCATE 13, 2 : PRINT "Entrer l'impédance : 50 ohms ou 75 ohms "; : INPUT Z
IF Z = 50 AND T = 1 THEN GOTO T
IF Z = 75 AND T = 1 THEN GOTO T
IF Z = 50 AND T = 2 THEN GOTO PI
IF Z = 75 AND T = 2 THEN GOTO PI
GOTO impedance
T :
R3 = (2 * Z * (SQR (n) / (n - 1)))
R1 = Z * ((n + 1) / (n - 1)) - R3

```

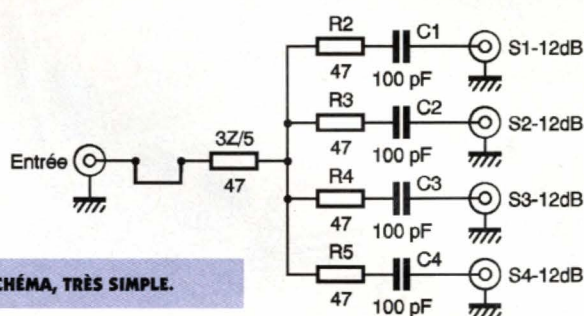
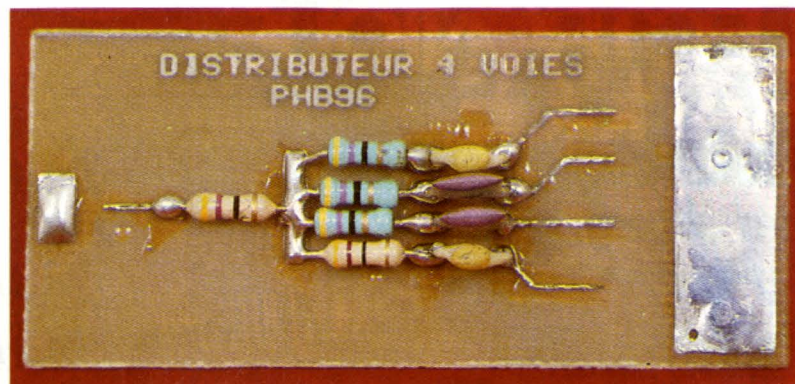
```

R2 = R1
LOCATE 15, 2 : PRINT "R1 = "; : PRINT R1 : PRINT "ohms"
LOCATE 16, 2 : PRINT "R2 = "; : PRINT R2 : PRINT "ohms"
LOCATE 17, 2 : PRINT "R3 = "; : PRINT R3 : PRINT "ohms"
LOCATE 18, 25 : PRINT "R1 _____ R2"
LOCATE 19, 39 : PRINT "I"
LOCATE 20, 39 : PRINT "/"
LOCATE 21, 39 : PRINT "\
LOCATE 22, 39 : PRINT "/" R3"
LOCATE 23, 39 : PRINT "\
LOCATE 24, 39 : PRINT "I"
LOCATE 25, 37 : PRINT "_____"
LOCATE 26, 37 : PRINT "/////"
choix :
LOCATE 28, 2 : PRINT "Un autre calcul O ou N "; : INPUT R$
IF R$ = "o" THEN GOTO programme
IF R$ = "n" THEN GOTO fin
IF R$ <> "o" OR R$ <> "n" THEN GOTO choix
GOTO programme
PI :
R1 = (Z * ((n - 1) / ((n + 1) - 2 * SQR (n))))
R3 = R1
R2 = Z * ((n - 1) / (2 * SQR (n)))
LOCATE 15, 2 : PRINT "R1 = "; : PRINT R1 : PRINT "ohms"
LOCATE 16, 2 : PRINT "R2 = "; : PRINT R2 : PRINT "ohms"
LOCATE 17, 2 : PRINT "R3 = "; : PRINT R3 : PRINT "ohms"
LOCATE 18, 32 : PRINT "R2 _____"
LOCATE 19, 37 : PRINT "I"
LOCATE 20, 37 : PRINT "/"
LOCATE 21, 37 : PRINT "\
LOCATE 22, 37 : PRINT "/" R1/R3"
LOCATE 23, 37 : PRINT "\
LOCATE 24, 37 : PRINT "I"
LOCATE 25, 35 : PRINT "_____"
LOCATE 26, 35 : PRINT "/////"
GOTO choix
fin :
CLS
BEEP
SLEEP 1
END

```


DISTRIBUTEUR TV 4 VOIES

Il nous arrive bien souvent d'assister à des systèmes de distribution par couplage parallèle de tous les TV et magnétoscopes d'une maison. Ce procédé altère la qualité finale de l'installation en désadaptant totalement le système. Nous nous proposons donc de vous présenter ce montage qui rétablira l'ordre des choses.



1 LE SCHÉMA, TRÈS SIMPLE.

Le schéma

Une antenne adaptée à 75Ω doit être reliée au TV par un câble de même impédance. Pour qu'il ne se produise pas d'ondes stationnaires, tous les éléments de la chaîne doivent se trouver boucler sur une charge pure de 75Ω. Or, si à l'arrivée du câble coaxial on branche "n" appareils au même point, une partie des ondes incidentes vont repartir vers l'antenne. Essayez donc de connecter en parallèle 4 postes TV pour apprécier la qualité des images !

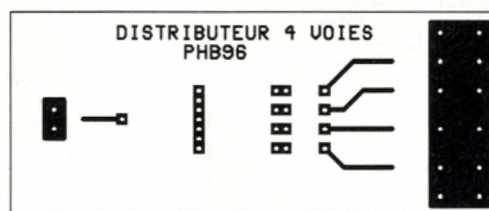
Le montage proposé engendre effectivement des pertes de passage mais les quatre accès se retrouvent bouclés sur une impédance de 75Ω. Entre l'entrée et l'une des quatre sorties (S₁ à S₄), nous avons au moins 12dB de pertes ; dans le haut de la bande 5 nous n'avons pas eu mieux que 14dB. Sachant qu'il faut

un niveau minimal de -49dBm à l'entrée d'un TV (60dBμV pour un rapport signal sur bruit de 40dB, rapport de 100 entre le signal utile et le signal de bruit), les signaux devront se présenter sur l'entrée du distributeur avec une amplitude de -37dBm (72dBμV). La figure 1 représente l'ensemble du schéma de notre réalisation. Il comprend 5 résistances et 4 condensateurs de liaison. Ceux-ci sont nécessaires pour bloquer les éventuelles auto-alimentations véhiculées sur le câble coaxial. Les résistances correspondent à une valeur

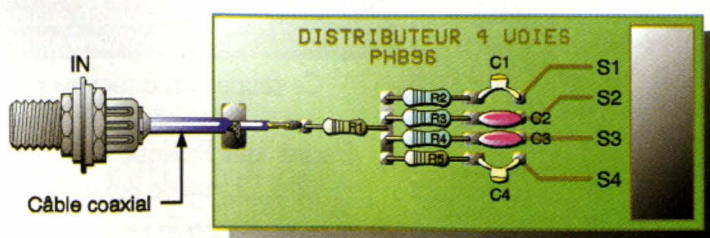
calculée selon la formule $R = (3Z_0/5)$. Lors de l'emploi de ce module, il faut relier les sorties non utilisées sur une charge de 75Ω. Une simple résistance au carbone soudée au plus court dans une fiche TV fera très bien l'affaire. Si une amplification est nécessaire, elle se situera en amont proche de l'antenne pour conserver le meilleur rapport signal à bruit.

Réalisation pratique

La figure 2 donne le tracé du petit circuit imprimé réalisé sur du verre époxy, double face de 8/10 mm d'épaisseur. Sa fabrication ne doit pas poser de difficultés, il ne faut pas oublier les traversées de masse. Elles serviront à souder les tresses des câbles coaxiaux vers les fiches de sorties. L'ensemble se monte à l'intérieur d'un coffret métallique afin d'obtenir une jolie finition et un blindage efficace.



2/3 CIRCUIT ET IMPLANTATION COTÉ COMPOSANTS.



Nomenclature

Résistances

R₁ à R₅ : 47 Ω
(jaune, violet, noir)

Condensateurs

C₁ à C₄ : 100 à 560 pF

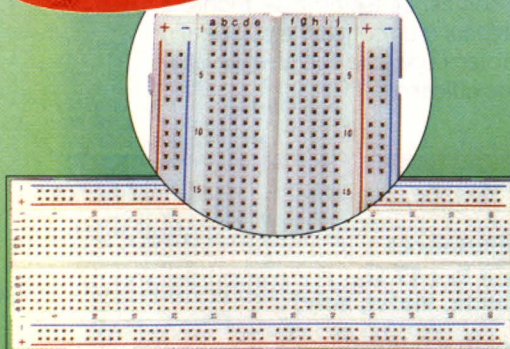
OFFRE D'ABONNEMENT AU MAGAZINE ELECTRONIQUE PRATIQUE

**En souscrivant
dès maintenant
multipliez vos privilèges !**

- Vous réalisez une économie de 37 F sur le prix de vente au numéro.
- Vous recevez Electronique Pratique directement chez vous.
- Vous bénéficiez d'une petite annonce gratuite tous les mois*.
- Vous recevrez en cadeau cette très utile plaque de connexion.



Votre cadeau



Recevez cette superbe plaque de connexion sans soudure 830 contacts au pas de 2.54 avec deux bus d'alimentation matérialisés, interconnexion de tous composants dont les pattes de sortie vont de 0,3 à 0,8 mm de diamètre, contacts garantis pour 5000 cycles d'insertion, dim. : long. 165 mm x larg. 54 mm x H 10 mm. (dans la limite des stocks disponibles)

oui

**je désire
profiter de votre
OFFRE
D'ABONNEMENT :**

- ☒ 11 NUMÉROS D' ELECTRONIQUE PRATIQUE
- ☒ MA PETITE ANNONCE GRATUITE
- ☒ MA PLAQUE DE CONNEXION CADEAU

au prix promotionnel de

238 F* (1 an - 11 n°) France métropolitaine

333 F* (1 an - 11 n°) DOM-TOM et étranger

je joins mon règlement

à l'ordre du magazine ELECTRONIQUE PRATIQUE par :

- ☐ CHEQUE BANCAIRE ☐ CCP
☐ CARTE BLEUE

DATE D'EXPIRATION _____

SIGNATURE

**je recevrai les
11 numéros du magazine
Electronique Pratique
et mon cadeau à
l'adresse suivante :**

NOM : _____

PRENOM : _____

ADRESSE : _____

C.P. : _____ VILLE : _____

Cette adresse est :

☐ PROFESSIONNELLE ☐ PERSONNELLE

☐ JE SOUHAITE RECEVOIR UNE FACTURE

☐ NOUS ACCEPTONS LES BONS DE COMMANDE
DE L'ADMINISTRATION

**Vous pouvez vous abonner via notre site Internet
(système de transaction carte bancaire sécurisée
avec Netscape 2.0 ou ultérieur)
code : <http://www.eprat.com>**

**Ce coupon est à renvoyer accompagné
de votre règlement à :
Electronique Pratique - Service abonnements.
2 à 12, rue de Bellevue 75019 PARIS**

EP 205

* Chaque mois, vous bénéficiez d'une petite annonce gratuite dans les pages Petites Annonces. Cette annonce ne doit pas dépasser 5 lignes de 33 lettres, signes ou espaces et doit être non commerciale (sociétés). (Joindre à votre annonce votre étiquette d'abonné).



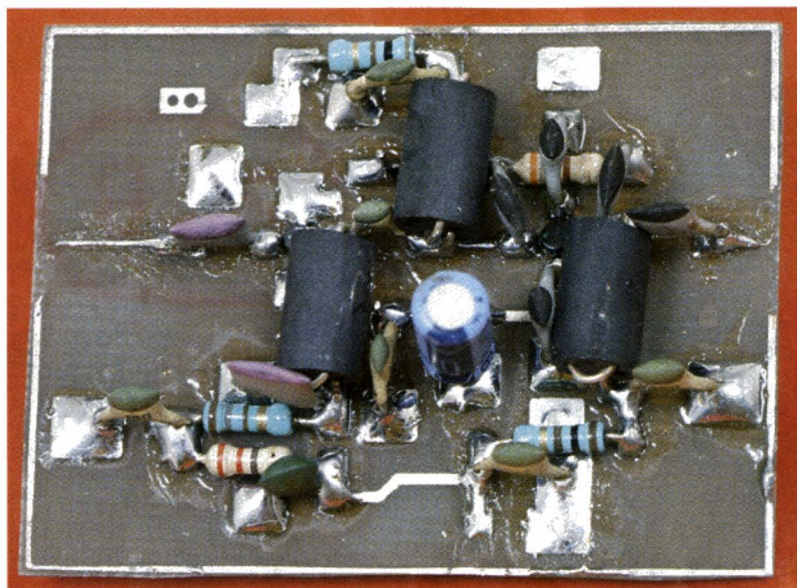
RADIO

AMPLI DE DISTRIBUTION A LARGE BANDE 40/860 MHZ

Dans une installation TV domestique on assiste souvent à l'augmentation croissante des appareils. Tous se retrouvent branchés en parallèle sur le même câble de descente. La conséquence immédiate consiste à provoquer la dégradation du signal provenant de l'antenne. Le remède que nous vous proposons est d'amplifier le signal afin qu'il puisse fournir suffisamment de puissance sur chaque prise d'antenne. Bien sûr, il faut doter l'ampli d'un répartiteur disposant du nombre de sorties désirées.

La répartition des signaux TV

On ne peut pas brancher en parallèle des TV ou des magnétoscopes, les désadaptations d'impédance provoquent sinon dans le câble des régimes d'ondes stationnaires. Il existe des appareils à large bande qui permettent de répartir correctement les signaux sans les désadapter, plus le nombre de voies augmente et plus les pertes dues au répartiteur croissent. Des montages de ce type sont d'ailleurs décrits dans ce numéro. Lorsque les niveaux sur l'antenne sont importants, on peut envisager, pour un nombre restreint d'appareils, d'utiliser directement un dérivateur. Malheureusement, ce n'est que rarement le cas et

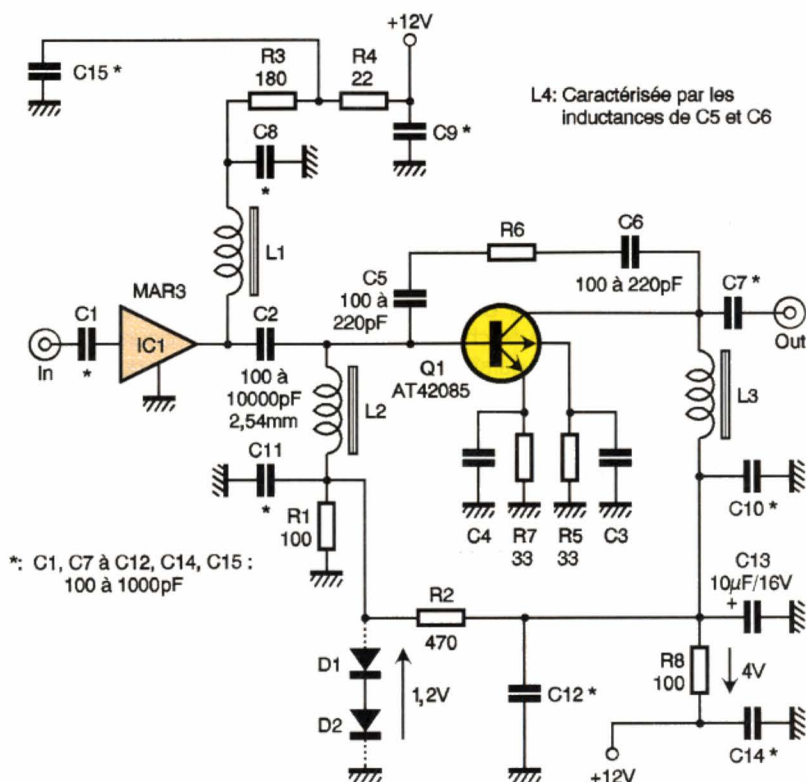


l'on se tourne alors vers l'usage d'un amplificateur ; il augmentera les niveaux et offrira une puissance de

sortie suffisante pour distribuer les canaux TV sur un grand nombre d'appareils. Notre montage procure un gain de 20dB et peut délivrer une puissance maximale de 50mW.

1

LE SCHÉMA.



Le schéma

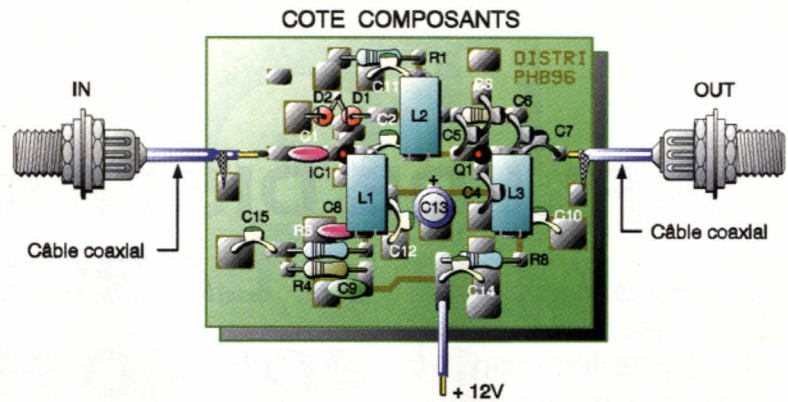
La **figure 1** donne la structure de notre montage. La partie électronique construite autour du MAR3 n'appelle que peu de commentaires, le gain de cet étage vaut 10dB à 500MHz.

L'inductance et le condensateur (Lopt / Copt) optionnels, non représentés et venant entre le 12V et l'entrée, permettent d'injecter une tension de 12V afin d'auto-alimenter les montages en amont. Le transistor Q_1 fonctionne en régime linéaire grâce au circuit de polarisation réalisé autour des éléments R_1/R_2 et R_7/R_5 et R_8 . Etant donné l'appellation "large bande", il a fallu utiliser un transistor ayant encore un gain suffisant à 1GHz. Le fabricant donne 15dB à 1GHz et plus de 35dB à 40MHz. La principale caractéristique d'un ampli large bande c'est d'offrir une platitude de gain dans toute sa bande passante. Le gain du transistor Q_1 apporte à lui seul un gain de 8dB avec une ondulation de plus ou moins 1dB, le gain théorique est de 10dB avec cette configuration.

A l'aide d'un simulateur analogique spécialisé, nous avons conçu le dessin du circuit imprimé de cet étage, les essais au labo ont confirmé les prévisions. On peut envisager d'élargir la bande passante jusqu'à 2GHz en modifiant les valeurs des condensateurs C_3 et C_4 , ceux-ci prendront alors la valeur de 2,7pF. Pour réduire au strict minimum les éléments parasites, le câblage des composants s'effectuera "en l'air", les queues des résistances et des condensateurs coupées au plus court. A titre expérimental, cela peut devenir intéressant surtout si l'on désire distribuer les signaux venant d'une parabole. Le réseau de polarisation peut être légèrement modifié pour augmenter la linéarité de Q_1 . On place deux diodes 1N4148 en série à la place de R_1 et la résistance R_2 passe à 560 Ω (R_1 supprimée). Cette dernière sera ajustée pour obtenir 8V/40mA sur le collecteur de Q_1 , une chute de tension de 4V doit apparaître aux bornes de la résistance R_8 .

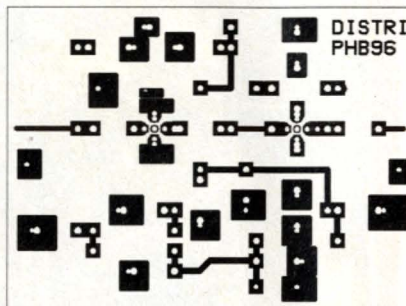
Réalisation pratique

Le circuit imprimé de la **figure 2** sera obtenu par une méthode traditionnelle ou par photo, l'important consiste à utiliser un substrat en verre époxy de 8/10mm d'épaisseur. A chaque emplacement où un rivet ou une traversée devra être positionné (repéré d'un astérisque sur la **figure 3**) il faudra percer un trou de 1,3mm



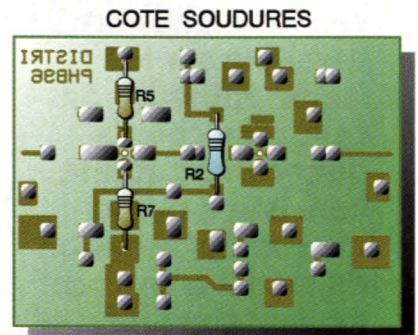
2

CIRCUIT COTÉ COMPOSANTS.



3/4

IMPLANTATION ET COTÉ PLAN DE MASSE. AVEC R_2 , R_5 , R_7 .



pour qu'il puisse s'y loger. Les rivets sont obligatoires afin d'assurer une traversée de masse entre les faces supérieure et inférieure.

Il faut également pratiquer un trou à chaque endroit où viendront se loger les semi-conducteurs IC_1 et Q_1 . L'ensemble des composants se retrouve câblé du côté des pistes, à l'exception de $R_2/R_5/R_7$ qui se situent sur la face inférieure (plan de masse **figure 4**). Les queues des composants sont coupées au plus court avant de les présenter à la soudure sur le circuit, environ 2mm pour les résistances.

Mise au point

Après une minutieuse vérification du câblage des composants, on intercale un milliampèremètre dans le fil positif de l'arrivée 12V. A la mise sous tension, un courant de 75mA doit circuler. Vérifier qu'il existe bien une chute de tension de 6,3V aux bornes de la résistance R_3 (180 Ω), ceci confirme que le circuit IC_1 travaille dans des conditions normales. Vérifier ensuite qu'une tension de 4V se retrouve bien aux bornes de la résistance R_8 , cela indique qu'il fonctionne sous une tension VCE de 8V avec un courant de 40mA. Si ce n'est pas le cas (dispersions des caractéristiques), il faut ajuster la valeur de la résistance R_2 pour obtenir le résultat escompté. Lorsque tout est correct, le montage sera relié au dis-

tributeur 4 voies décrit dans ce numéro puis, l'ensemble prendra place dans un boîtier avec les fiches d'entrée et de sorties.

Nomenclature

Résistances

R_1 , R_8 : 100 Ω
(marron, noir, marron)

R_2 : 470 Ω

R_3 : 180 Ω
(marron, gris, marron)

R_4 : 22 Ω

(rouge, rouge, noir)

R_5 , R_7 : 33 Ω

(orange, orange, noir)

R_6 : 330 Ω

(orange, orange, marron)

Condensateurs

C_1 , C_7 à C_{12} , C_{14} , C_{15} : 100 à 1000 pF

C_2 : 100 à 1000 pF/2,54mm

C_3 , C_4 : 12 pF

C_5 , C_6 : 100 à 220 pF

C_{13} : 10 μ F/16V

Semi-conducteurs

IC_1 : MAR3 mini-circuit

Q_1 : AT42085 HEWLETT
PACKARD

D_1 , D_2^* : 1N4148

Inductances

L_1 à L_3 : 2 tours fil 6/10 sur
ferrite 6 trous

L_4 : inductance due aux
capacités C_5 , C_6

* D_2 optionnelle, si implantée
 $R_2=560\Omega$. Et R_1 disparaît.



DOMOTIQUE

INTERRUPTEUR CREPUSCULAIRE A EXTINCTION TEMPORISEE

Alors qu'un interrupteur crépusculaire est activé aussi longtemps qu'il fait nuit, ce montage permet de faire cesser l'éclairage après une durée programmable de 10 mn à 10 h.30 mn par pas de 10 mn. Il fait appel à un circuit intégré spécifique: le SAB 0529.

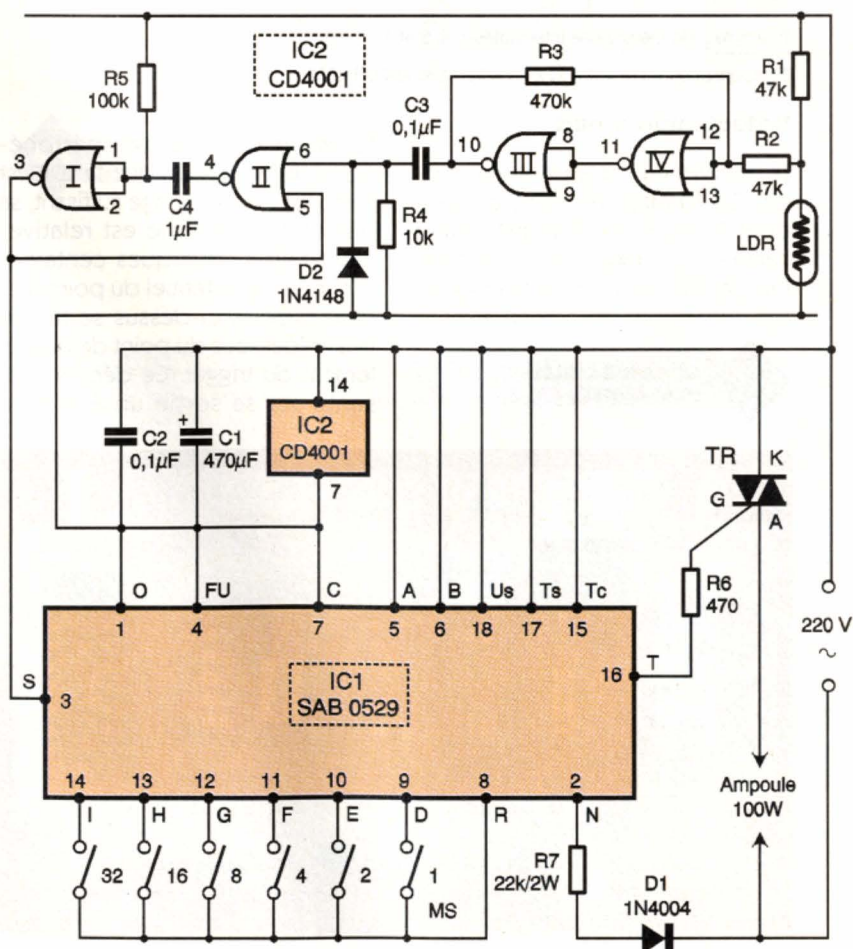
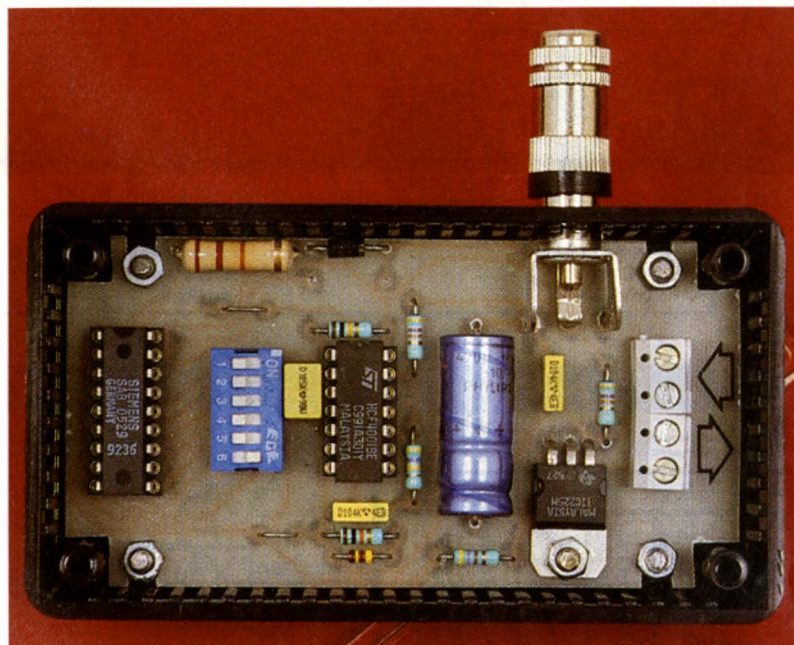
Fonctionnement :
(figures 1, 2 et 3)

Le SAB 0529

Il s'agit d'un circuit spécialisé développé par la société SIEMENS. Il est plus particulièrement destiné à la réalisation de minuteries diverses: éclairages, ventilations, sèche-mains, appareils de cuisson, matériel de développement photographique. Il est directement alimenté par le secteur 220V dont il prélève les alternances 50 Hz en guise de base de temps.

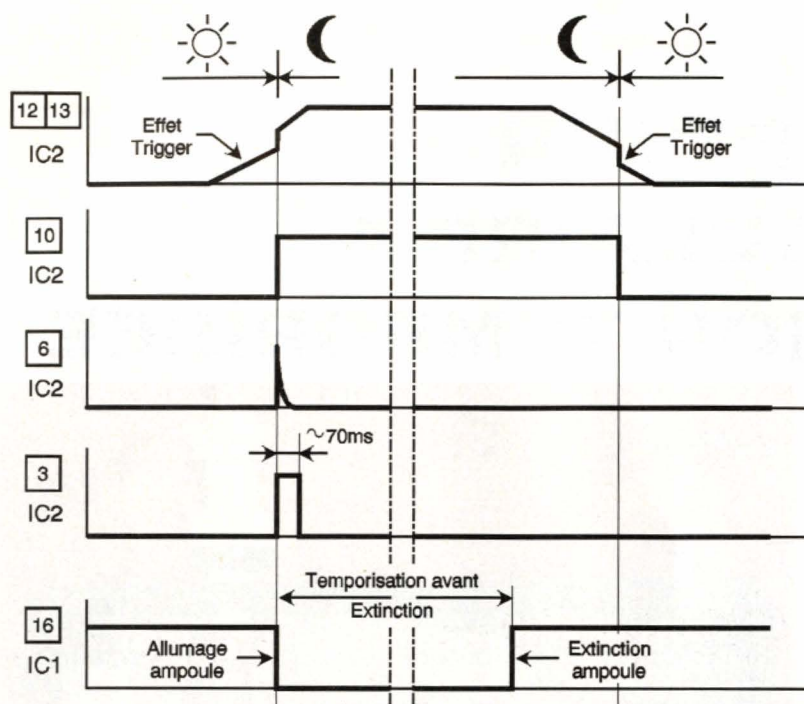
Grâce à un couplage par résistance chutrice (R_7) et diode de redressement D_1 , on relève entre ses broches U_s (plus) et 0 (moins) un potentiel filtré par une capacité (C_1) de l'ordre de 7V.

C'est d'ailleurs ce potentiel qui est mis à contribution pour alimenter également le circuit intégré IC_2 destiné à la gestion de la commande du temporisateur suite à la détection d'un niveau d'obscurité suffisant. Le SAB 0529 fait l'objet d'une description plus détaillée dans notre "encart technique" publié en fin d'article.



1

LE SCHÉMA FONCTIONNEL.



2 CHRONOGRAMMES DE FONCTIONNEMENT.

3 PROGRAMMATION DE LA DURÉE.

I	H	G	F	E	D
2 ⁵	2 ⁴	2 ³	2 ²	2 ¹	2 ⁰
32	16	8	4	2	1
6	5	4	3	2	1



X 10 MIN

Exemple : Fermeture des interrupteurs 5, 3 et 2

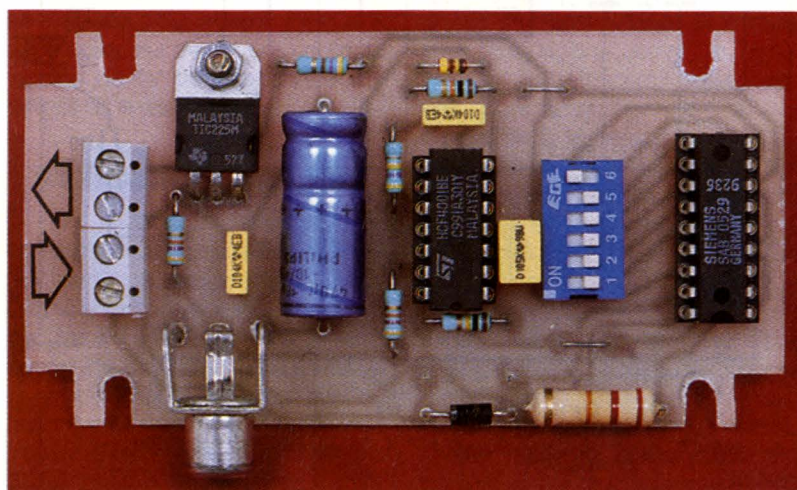
Temporisation = $(16 + 4 \times 2) \times 10 = 220$ Min soit 3H 40Min

Détection jour-nuit

La résistance R_1 et la photorésistance LDR forment un pont diviseur dont le point médian est relié à l'entrée d'un trigger de Schmitt formé par les portes NOR III et IV de

IC₂ et des résistances périphériques R_2 et R_3 . Tant que la LDR est exposée à un éclairage suffisant, sa résistance ohmique est relativement faible (quelques centaines d'ohms). Le potentiel du point médian évoqué ci-dessus se trouve très en dessous du point de basculement du trigger. Ce dernier présente sur sa sortie un état bas.

LA PLATINE CÂBLÉE HORS COFFRET.



Lorsque la LDR est plongée dans l'obscurité, sa résistance devient très grande (plusieurs centaines de k Ω , dans le noir complet).

Auparavant, le potentiel du point médian LDR/ R_2 , en croissant progressivement, passe par une valeur telle que le trigger bascule rapidement de l'état bas vers l'état haut grâce à la réaction positive introduite par R_3 . Il en résulte un front raide ascendant qui est aussitôt pris en compte par le dispositif dérivateur formé par C_3 , R_4 et D_2 . En particulier, sur l'entrée 6 de la porte NOR II, on relève une brève impulsion positive due à la charge rapide de C_3 à travers R_4 .

Les portes NOR II et I forment une bascule monostable qui présente un état bas sur sa sortie à l'état de repos.

Dès qu'elle reçoit une impulsion, même brève, sur son entrée de commande, on relève sur sa sortie une impulsion positive d'une durée fixe et déterminée par les valeurs de R_5 et de C_4 .

Dans le cas présent, cette impulsion se caractérise par une durée de l'ordre de 70 ms. Elle attaque l'entrée S du SAB 0529. La sortie T passe alors du potentiel de repos 7V à 0V, ce qui provoque un courant cathode-gâchette dans le triac d'utilisation. Ce courant est limité par R_6 . Le triac fonctionne ici suivant le mode "extraction de courant" par la gâchette. L'ampoule d'utilisation s'allume. Elle s'éteindra après la durée prévue par la programmation de la temporisation.

Temporisation

En examinant les niveaux logiques appliqués aux entrées A, B et C de IC₁ et en se référant au tableau explicite dans l'encart technique, on peut remarquer que la situation A = B = 1 et C = 0 correspond à une durée de base interne de 10 mn.

Il est possible de multiplier cette durée de base par un nombre N tel que $1 < N < 63$, et donc d'obtenir une durée variable de 10 mn à 630 mn. Pour cela, il suffit de fermer un ou plusieurs des 6 interrupteurs du micro-switch. Le premier interrupteur a un poids de 1, le second de 2, le troisième de 4 et ainsi de suite pour arriver au sixième qui se caractérise par un poids de 32.

A titre d'exemple, si la durée de la temporisation à obtenir est de 3 heures, soit 180 mn, il convient de fermer simultanément les interrupteurs 16 (correspondant à l'entrée H) et 2 (correspondant à l'entrée E).

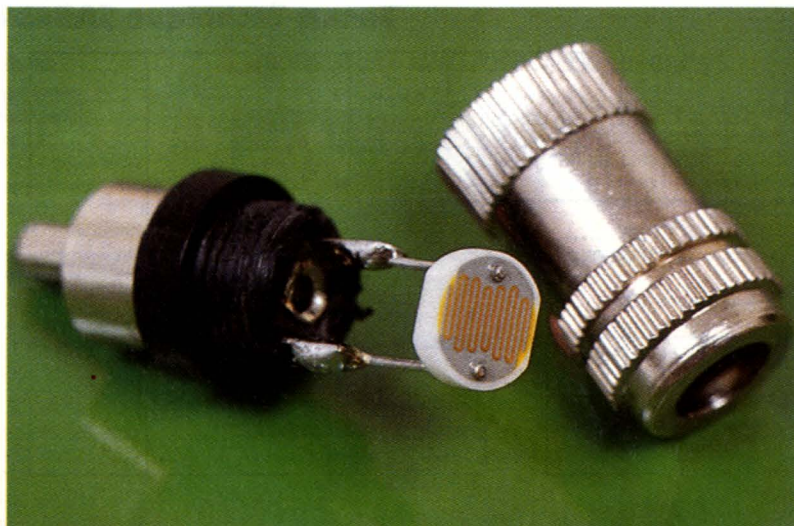
En effet $(16 + 2) \times 10 = 180$ mn.

Réalisation

La **figure 4** représente le circuit imprimé relativement simple de ce montage.

Sa réalisation ne pose aucun problème particulier. Quant à la **figure 5**, elle reprend l'implantation des composants. On n'oubliera pas les deux straps. Attention également à l'orientation des composants polarisés (C_1 , les diodes et les circuits intégrés).

La LDR peut être montée directement dans la fiche mâle CINCH. A part la programmation, le montage ne nécessite aucun réglage. Attention lors de sa manipulation. Les différentes parties conductrices du module présentant par rapport au sol un potentiel de 220V.



RÉALISATION DU CAPTEUR.

R. KNOERR

Nomenclature

2 straps

R_1, R_2 : 47 k Ω

(jaune, violet, orange)

R_3 : 470 k Ω

(jaune, violet, jaune)

R_4 : 10 k Ω

(marron, noir, orange)

R_5 : 100 k Ω

(marron, noir, jaune)

R_6 : 470 Ω

(jaune, violet, marron)

R_7 : 22 k Ω /2W

(rouge, rouge, orange)

LDR : Photorésistance

D_1 : diode 1N4004

D_2 : Diode-signal 1N4148

C_1 : 470 μ F/16V

électrolytique

C_2, C_3 : 0,1 μ F milfeuill

C_4 : 1 μ F milfeuill

TR : Triac (à gâchette sensible -TIC225M)

IC₁ : SAB 0529 (minuteur secteur)

IC₂ : CD 4001 (4 portes NOR)

1 support 18 broches

1 support 14 broches

Bornier soudable 4 plots

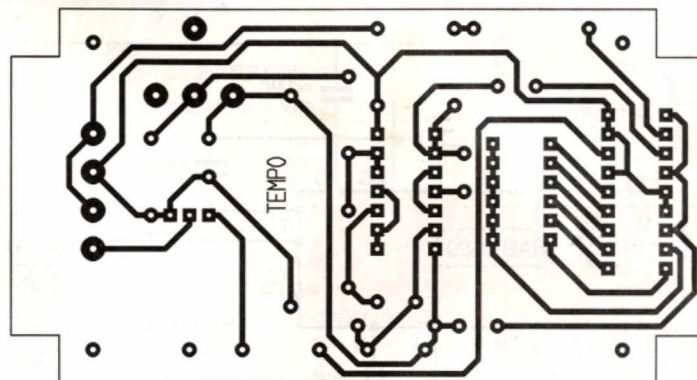
Embase CINCH (pour circuit imprimé)

Fiche CINCH

Micro-switch 6 interrupteurs

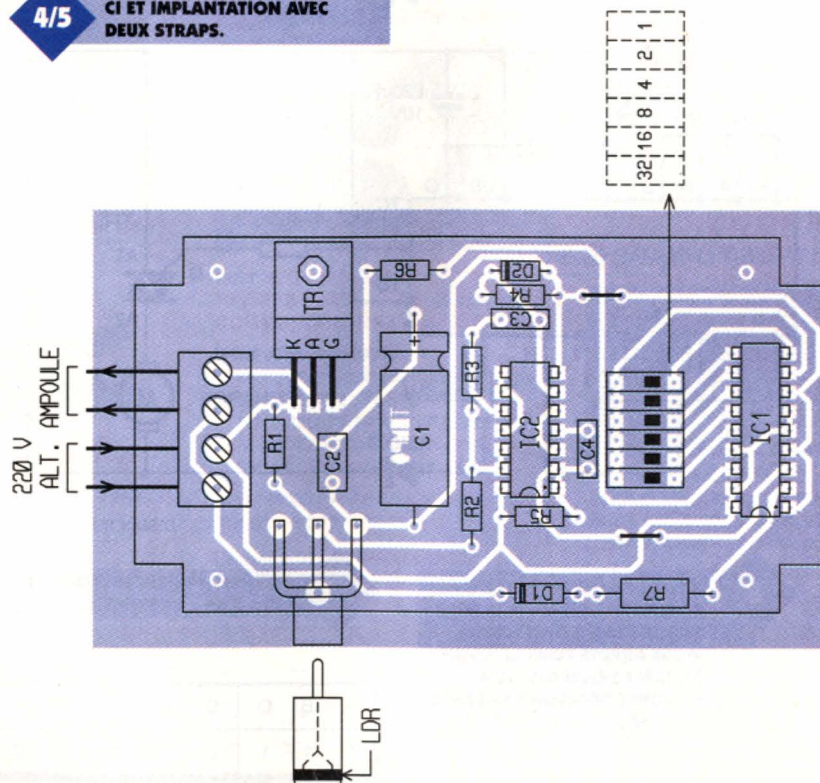
Coffret TEKCO COFFER TP/1

(100 x 55 x 29)

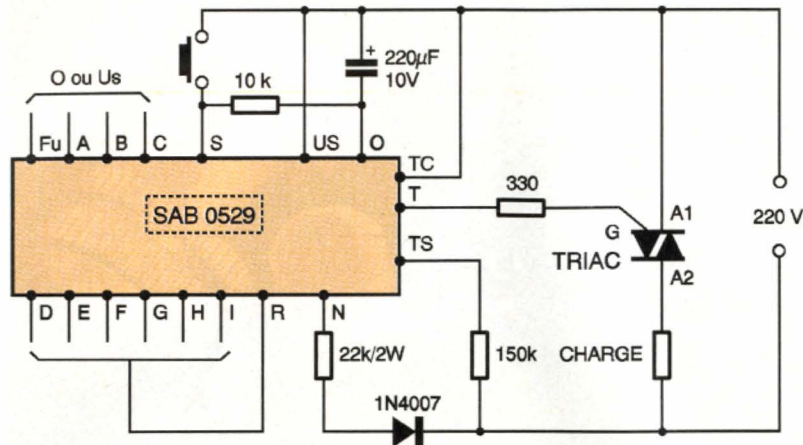


4/5

CI ET IMPLANTATION AVEC DEUX STRAPS.



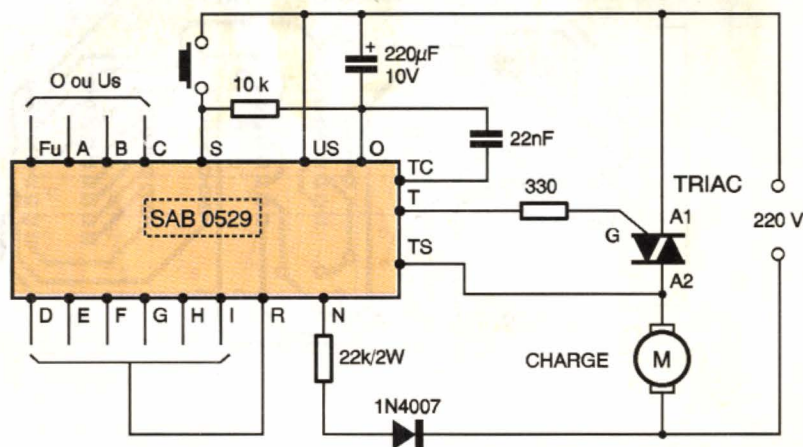
Encart Technique SAB0529



DUREE DE BASE				
Plage	A	B	C	Durée
1	0	0	0	1 s
2	0	0	1	3 s
3	0	1	0	10 s
4	0	1	1	30 s
5	1	0	0	1 min
6	1	0	1	3 min
7	1	1	0	10 min
8	1	1	1	30 min

6 MODE DE SYNCHRONISATION 1 POUR UNE CHARGE RÉSTIVIE PURE.

7 MODE DE SYNCHRONISATION 2, TC LIÉ À OV PAR UNE CAPACITÉ DE FAIBLE VALEUR. CE MODE EST ADAPTÉ AUX CHARGES RÉACTIVES MAIS RESTE UTILISABLE AVEC LES CHARGES RÉSTIVIES.



DUREE GLOBALE

Coefficient multiplicateur
de la durée de la base

Ecriture binaire de ce nombre

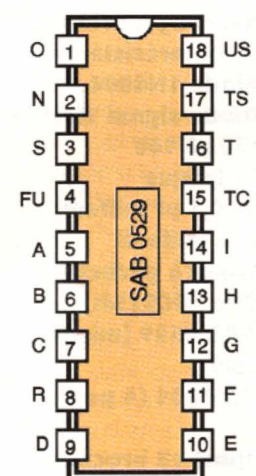
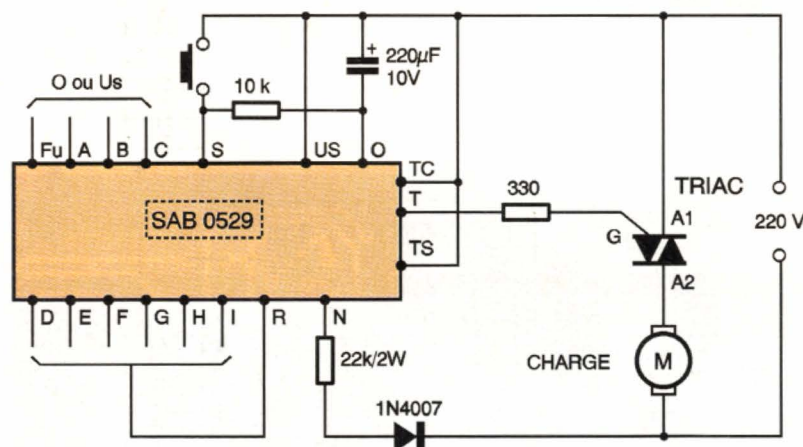
I	H	G	F	E	D
2^5	2^4	2^3	2^2	2^1	2^0
32	16	8	4	2	1

Exemple 1 0 0 1 1 0



$$32 + 4 + 2 = 38$$

9 FIGURE 3 : PROGRAMMATION DES DURÉES DE TEMPORISATION.



8 MODE DE SYNCHRONISATION 3. TC ET TS À L'ÉTAT HAUT. IL N'Y A PAS DE SYNCHRONISATION ; MODE ADAPTÉ POUR LA COMMUTATION DE CHARGES QUELCONQUES DE FAIBLE PUISSANCE (~100 W).

10 EXEMPLE DE PROGRAMMATION. 30 S X 28 = 14 MINUTES.

A	B	C	D	E	F	G	H	I
0	1	1	0	1	1	1	0	0

11 BROCHAGE DU SAB 0529.

QUOI DE NEUF CHEZ SELECTRONIC ?

METRE - RUBAN A AFFICHAGE NUMERIQUE

Affichage direct de la longueur mesurée en m/mm ou en pieds/pouces • Ecran LCD à cristaux liquides • Gamme de mesure : 0 à 5 m (résolution : 1 mm) • Ajoute ou non la longueur du boîtier



• Gel de l'affichage.

Mémoires de mesures : permet l'addition de mesures jusqu'à 999 m • Extinction automatique • Alimentation : Pile alcaline 9 V (en sus) • Fourni avec sacoche de transport, clip de ceinture et dispositif permettant le tracé de cercles.

Le mètre-ruban 122.3929 **250,00F TTC**
La pile 9V Alcaline VARTA pour d° 121.0739 **25,00F TTC**

CAMERA VIDEO SUBMINIATURE CS-350

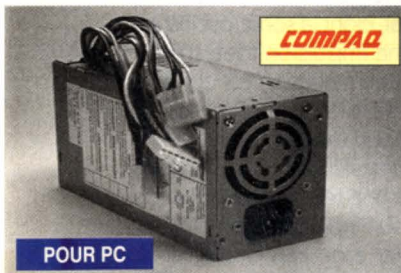


Caméra noir & blanc CCD 1/3" - Standard CCIR :

- Excellente qualité d'image
- Haute sensibilité : éclaircissement minimum 0,2 Lux (F 2,5)
- Haute résolution : 537 (H) x 597 (V) lignes / 320.000 pixels
- Obturateur et iris électroniques (exposition automatique)
- Vitesse d'obturation : 1/50 à 1/100.000 s
- Correction γ : 0,5
- Balayage : Horizontal : 15625 Hz - Vertical : 50 Hz
- Rapport S/B : 46 dB
- Sortie : 1 Vcc / 75 Ω (BNC)
- T° d'utilisation : -10 à +50 °C @ 95% RH
- Alimentation : 12 V nominal (11 à 13 V_{DC} / <1,5 W)
- OBJECTIF : grand-angle standard miniature
f = 4,0 mm (F = 2,5) - H : 64,8° - V : 50,9°
- Dimensions : 78 x 26 x 32 mm hors objectif
- Fournie avec son support orientable

La caméra CS 350 121.1683 **1.490,00F TTC**

ALIMENTATION A DECOUPAGE



POUR PC

Entrée : 100 à 240 V_{AC} / 115 W
Sorties : +5V / 10A, +12V / 1,5A
-5V / 0,3A, -12V / 0,3A

Dimensions : 95 x 72 x 173 mm. Poids : 970 g.

► Vous payez le ventilateur, le reste vous est offert !

122.8610 **75,00F TTC**

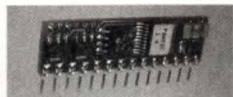
BASIC Stamp

PARALLAX 2

MODULES HYBRIDES PROGRAMMABLES COMPRENANT :
µC PIC avec interpréteur programmé + EEPROM + oscillateur
(Décrits dans E.P. n° 199, 200 et suivants)

TOUTE LA GAMME PARALLAX EN STOCK !

BASIC Stamp 1 : BS1-IC



EEPROM 256 octets + Horloge 4 MHz
80 instructions - 2400 bauds
Dim.: 40 x 12 mm - SIL 14

Le module BS1-IC 122.2771
~~206,00F~~ **PROMO 250,00F TTC**

BASIC Stamp 2 : BS2-IC



EEPROM 2048 octets + Horloge 20 MHz
500 instructions - 50 kbauds
Dim.: 31 x 15 mm - DIL 24

Le module BS2-IC 123.2172 **410,00F TTC**

MOTEUR A.C.C



Alimentation :
3 à 12 V_{DC} / 15 W max.
Vitesse à vide :
3700 tr/mn @ 12 V / 75 mA
Couple nominal :
50 g.cm @ 3000 tr/mn
@ 12 V / 400 mA

Dimensions :
Ø24,4 x 30,8 mm
Axe : Ø2 x 9 mm
Fixation :
2 trous M3 espacés de 17 mm
Poids : 50 g.

Le moteur 122.8619 **19,00F TTC**

PINCE A SERTIR



MODELE PROFESSIONNEL

POUR DU TRAVAIL DE "PRO"

Pour coses et raccords standard ROUGES, BLEUS et JAUNES.

La pince 122.2519-1 **120,00F TTC**

PROCESSEUR + AMPLI POUR CAISSON DE GRAVES



▲ Ajoutez une nouvelle dimension à votre système et savourez les basses que vous n'aviez jamais entendues auparavant !

L'ensemble se présente sous la forme d'un rack intégrable dans le caisson de graves et qui comprend :

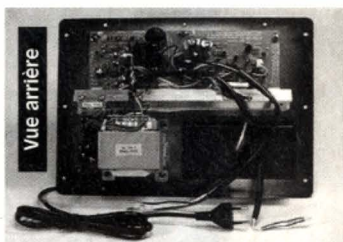
- ✓ un processeur de graves avec réglage de la fréquence de coupure
- ✓ un ampli de 40 W_{RMS} / 4 Ω avec réglage de niveau (les 2 boomers en parallèle).

CARACTERISTIQUES TECHNIQUES

Alimentation : 230 ou 240 V_{AC}. Fréquence de coupure haute : réglable de 50 à 200 Hz. Entrée : Haute (sortie préampli) ou basse impédance (en parallèle sur vos enceintes). Niveau ajustable Sensibilité : 30 mV à 5V. Dispositif d'inversion de polarité.

HAUT-PARLEURS RECOMMANDES

Double-bobine SPH-250 TC ou 2 x SPH-255 montés en push-pull (voir catalogue page 15-8).



L'ampli JBL pour caisson de graves

122.8612 **499,00F TTC seulement !**

KIT DE RECEPTION "DCF-77"

TECHNOLOGIE : microcontrôleur PIC

Remet en forme les signaux issus du module récepteur en impulsions calibrées de 0,1 et 0,2 s. Sortie des informations sur collecteur ouvert (pour liaison opto-couplée jusqu'à 100 m) Témoin de réception

Alimentation : de 8 à 15 V_{DC} ou V_{AC}

Directement compatible avec le CHRONOPROCESSEUR

Compatible avec DFCLOCK (moyennant le kit d'adaptation). Dimensions : 82 x 58 x 24 mm. Poids : 75 g environ.

Le kit complet avec module récepteur et boîtier (sans alim.)

Le module récepteur seul (avec antenne)

Le kit "Adaptation DF-CLOCK"

123.9130 **330,00F TTC**
122.1143 **99,00F TTC**
123.4295-100 **99,00F TTC**

MANETTES DE JEUX UNIVERSELLES



Pour SEGA MASTER SYSTEM, NINTENDO NES, ATARI (sauf 7800), COMMODORE, MSX et SEARS.

Nous vous proposons :

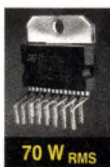
- ✓ 1 paire de joysticks à liaison infra-rouge sans fil (portée : 5 à 6 m)
- ✓ 1 récepteur infra-rouge programmable, livré avec cordon de liaison vers la console. (Fixation par ventouses).

Alimentation : 4 piles 1,5 V (R3) par manette - non livrées.

L'ensemble complet "PRIX SACRIFIE"

122.8615 ~~500,00F~~ **99,00F TTC**

AMPLI MOS-FET "TDA-7294"



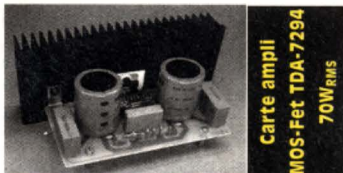
L'ampli 123.7837

106,00F TTC

Les 10 123.7837-10

925,00F TTC

KIT AMPLI MOS-FET "70W_{RMS}"



B.P. : 5 Hz à 130 kHz à -3dB. THD + N : <0,1%. Typ. 0,005% @ 1 kHz. Dimensions : 117 x 65 mm (sans dissip.). Alim. : à prévoir: Transfo. 2 x 24V suivant puissance voulue + pont de diodes.

Le kit 1 voie (sans dissip. ni alim.)

123.0960 **280,00F TTC**

Selectronic
L'UNIVERS ELECTRONIQUE

B.P 513 59022 LILLE CEDEX
☎ 20.52.98.52 Fax: 20.52.12.04



3615 SELECTRO
Notre serveur minitel



CONDITIONS GENERALES DE VENTE : Règlement à la commande : Forfait port et emballage 28,00F, FRANCO à partir de 800,00F. Contre-remboursement : + 60,00F.
Pour faciliter le traitement de votre commande, veuillez mentionner la REFERENCE COMPLETE des articles commandés



Catalogue
Sécurité
1996
GRATUIT



Livraison J+1 (avant midi)

CHRONOPOST

Supplément 80F (Colis < 5 kg)
Supplément 50F (envoi en C.R.B.T.)



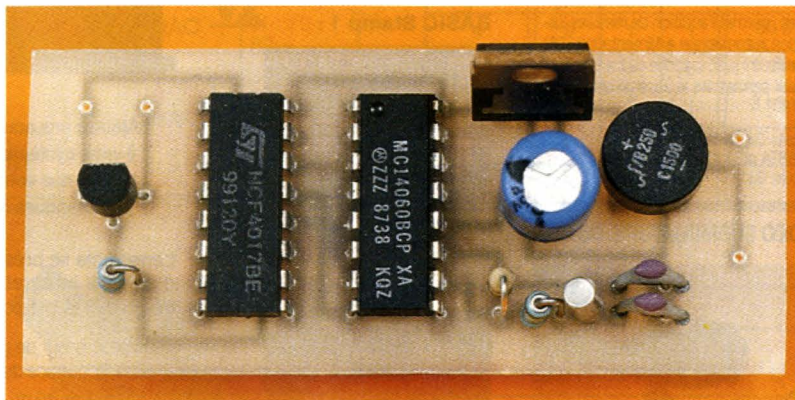
DOMOTIQUE

COMPTEUR HORAIRE

Un compteur horaire est un accessoire toujours utile pour, par exemple, connaître le temps de fonctionnement d'une chaudière ou d'une pompe électrique. Si la conception globale d'un tel montage n'est pas très compliquée en soi, il subsiste néanmoins le problème toujours délicat de l'affichage. Un accessoire peu coûteux, en l'occurrence un compteur électronique pour bicyclette détourné de sa vocation première va nous simplifier bigrement la tâche !

Il existe aujourd'hui une multitude de dispositifs électroniques vendus à des prix absolument inimaginables il y a encore dix ans. Le cas des compteurs de vitesse pour bicyclettes en est un exemple édifiant. Il est possible d'en trouver pour moins de 100 francs qui offrent les caractéristiques suivantes: vitesse instantanée, kilométrage partiel et kilométrage total parcouru. Les modèles les plus évolués proposent en sus une mémorisation de la vitesse maxi, une horloge, un chronomètre ou un enregistreur cardiaque.

Nous n'utiliserons ici que la fonction affichage et mémorisation du kilométrage, ce qui fait qu'un compteur "premier prix" suffira amplement. Tous ces appareils fonctionnent suivant le même principe: un aimant, solidaire de la roue du vélo, passe devant un capteur magnétique fixé sur la fourche. Les impulsions ainsi générées sont acheminées vers un petit boîtier électronique accroché au guidon. L'alimentation est confiée à une ou plusieurs piles "bouton" qui assurent une autonomie pouvant atteindre plusieurs années. L'affichage



s'éteint parfois lorsqu'aucune impulsion ne parvient plus à l'unité centrale, et se remet en route dès les premiers tours de roue. Le nombre de kilomètres total parcourus est mémorisé jusqu'à ce que la pile soit remplacée ou qu'un bouton "reset" soit actionné, tandis que le compteur partiel peut être remis à zéro par appui sur une touche spéciale. La sélection des différents modes d'affichage s'effectue à l'aide d'une seconde touche.

Enfin, à la première mise sous tension (ou au retrait de la pile), il faudra programmer le diamètre de la roue ou plus exactement son périmètre exprimé en centimètres, parmi une centaine de choix possibles. En l'occurrence, nous souhaitons faire correspondre un nombre d'heures écoulées en un nombre de kilomètres parcourus. Le compteur partiel, qui affiche également les centaines de mètres, indiquera donc les heures et dixièmes d'heure. Ces deux grandeurs faisant appel à des unités totalement différentes, il s'avère, après avoir confié ce travail ingrat à un micro-ordinateur, qu'un seule et unique périmètre répond à la correspondance distance parcourue/temps écoulé, avec malgré tout une légère erreur. Les plus courageux pourront continuer à remplir le tableau représenté en **figure 1** pour tous les autres périmètres, qui vont,

dans notre cas, de 126 à 229 cm. On constate qu'en envoyant au compteur une impulsion toutes les 5 secondes, l'erreur de mesure totale ne dépassera pas 0,138%. Examinons maintenant le schéma de principe de la **figure 2**. L'interfaçage avec le compteur est confié tout simplement à un transistor monté en interrupteur en lieu et place du capteur d'origine. La base de temps est confiée à un oscillateur/compteur, IC₁, cadencé par un quartz à 32,768 kHz. Cette valeur quelque peu "exotique" est néanmoins très courante puisqu'on la retrouve dans toutes les montres ou horloges électroniques. IC₁ divise cette fréquence par 16384, soit un créneau positif toutes les demi-secondes. Ce dernier est appliqué à IC₂, un classique compteur décimal, dont la sortie oscille au rythme d'une impulsion toutes les 5 secondes. L'alimentation est confiée à un régulateur précédé d'un condensateur de filtrage et d'un pont de diodes. Il sera ainsi possible de prélever une tension continue ou alternative sur l'appareil "surveillé". Il faudra veiller à ne pas dépasser la tension de service de C₃, ou celle d'entrée de IC₃.

1

PÉRIODE, ERREUR ET NOMBRE DE TOURS (POUR 1 KM) AVEC $\Gamma D=139$ CM.

Périmètre	Nb. de tours de roue pour 1000m.	Période des impulsions pour 1 heure. (3600/719)	Période la plus proche	Erreur absolue	Erreur relative
139 cm	719 (arrondi)	5,006 s	5 s	3600s - (5s x 719) = 5s.	1 heure par 720h, soit 0,138%

Réalisation

Les **figures 3** et **4** représentent respectivement le circuit imprimé et l'implantation de cette réalisation. Comme à l'accoutumée chacun utilisera sa méthode habituelle de reproduction. Seuls les trous devant accueillir le pont redresseur et le régulateur seront agrandis. Le câblage n'appelle pas de commentaire particulier, on veillera simplement à la bonne orientation des composants ayant un sens de montage. L'alimentation sera raccordée à une source continue ou alternative en relation directe avec l'appareil dont on souhaite connaître le temps de fonctionnement.

Avant toute mise sous tension, il faudra adapter le compteur à sa nouvelle fonction. Après avoir ôté la ou les piles, le boîtier devrait se laisser ouvrir sans trop de problème. Il suffit alors de repérer les deux contacts qui vont normalement au capteur de roue, et d'y souder un petit câble blindé sans se soucier du sens de branchement.

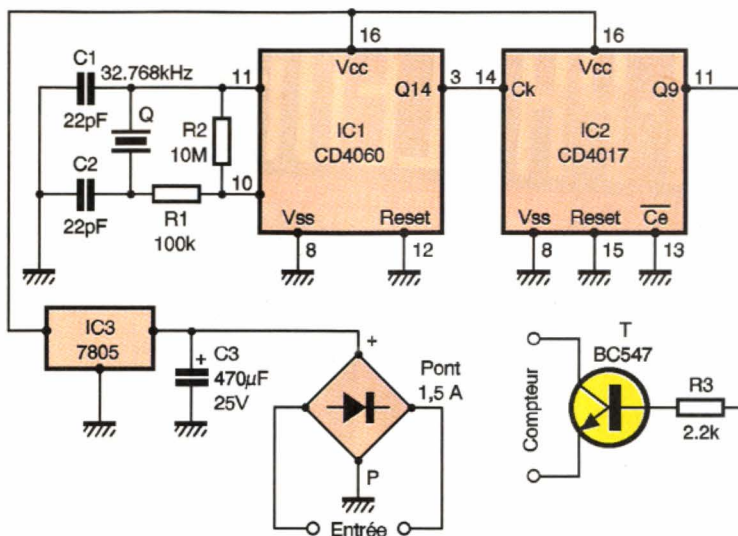
Selon l'option retenue pour le montage mécanique, le compteur sera refermé ou fixé tel quel sur le circuit imprimé dont les dimensions seront alors modifiées. Il est ainsi possible de déporter le compteur ou d'intégrer l'ensemble dans un coffret sur lequel une fenêtre sera ménagée devant l'affichage.

La dernière opération consiste, après remise en place des piles, à programmer le périmètre de la roue à 139 cm. A ce stade, les deux compteurs, total et partiel, doivent indiquer zéro. Les deux fils de comptage étant soudés à l'emplacement prévu, le montage peut alors être mis sous tension.

Au bout d'un dixième d'heure, soit 6 mn, le compteur partiel doit afficher 0,1. Dans le cas contraire, vérifier sur la patte 3 de IC₁ la présence d'un créneau oscillant au rythme d'une demi-seconde.

Sa présence indique un problème au niveau de IC₂, son absence incitera à vérifier le câblage autour du quartz.

Si le mauvais fonctionnement persiste, vérifier la montée de



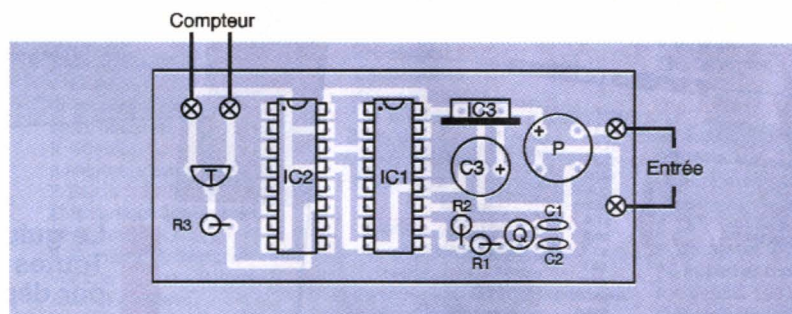
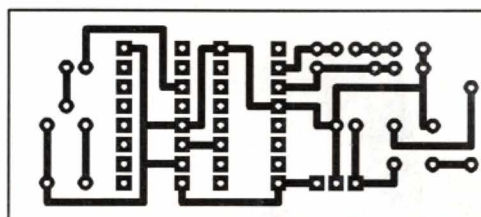
la patte 11 de IC₂ au bout de 6 mn. Si le transistor est en bon état, le dernier recours consiste à croiser les deux fils à destination du compteur. Vous voilà en possession d'un montage original, qui vous indiquera la

2

LE SCHÉMA DU COMPTEUR.

3

CIRCUIT CÔTÉ CUIVRE.



4

IMPLANTATION SANS HISTOIRE.
R₁, R₂ SONT MONTÉES
VERTICALEMENT.

durée de mise en service de tout appareil électrique, et ce, avec une possibilité de remise à zéro après une opération de maintenance, tout en connaissant la durée totale d'utilisation.

Avec un peu d'imagination, il est possible de réaliser une foule d'autres applications en utilisant le même artifice en matière d'affichage, anémomètre, débitmètre etc, en exploitant cette fois, non plus la fonction distance parcourue, mais la fonction vitesse. Bon courage donc !

C. GALLES

Nomenclature

R₁ : 100 kΩ
R₂ : 10 MΩ
R₃ : 2,2 kΩ
C₁, C₂ : 22 pF
C₃ : 470 µF/25V
IC₁ : CD4060
IC₂ : CD4017
IC₃ : 7805
T : BC547
P : Pont 1,5A
Q : Quartz 32,768 kHz
Compteur pour vélo
Coffret



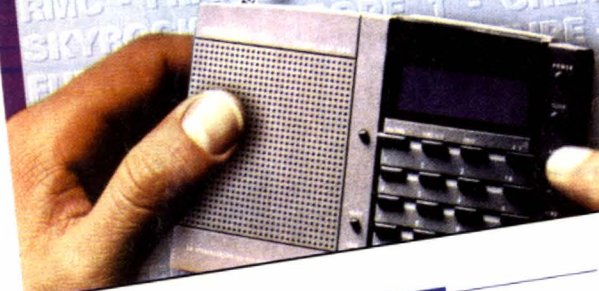
LE HAUT-PARLEUR

15 F Des solutions électroniques pour tous

GUIDE

TOUTES LES FRÉQUENCES PAR DÉPARTEMENTS ET PAR VILLES + de 3000 STATIONS RÉFÉRENCES

DES STATIONS RADIO FM



01 AIN

BELLE GARDE	103.1	FM LEMAN / EUROPE 2
BELLE GARDE SUR VALSERINE	105.3	FUN
BELLEY	91.0	SORGIA FM
	92.8	FOURVIERE 01
	94.2	FREQUENCE COTIERE
	97.6	MONTUEL
	98.2	RADIO 2
	87.6	RADIO ESPERANCE
	90.0	TROPIQUES FM
	93.1	NOSTALGIE BOURG EN BRESSE
	93.9	FOURVIERE 01
	96.3	RADIO 2
	102.8	CHALLENGE FM / EUROPE 2
	104.4	FUN
	87.9	FREQUENCE COTIERE
	97.9	FOURVIERE 01
	89.9	FREQUENCE COTIERE
	95.0	NOSTALGIE OYONNAX
	97.3	RADIO PLASTICS VALLEE
	99.4	CHALLENGE FM / EUROPE 2
	106.8	FUN
	91.4	RADIO PLASTICS VALLEE
	93.0	NOSTALGIE OYONNAX
	104.8	RADIO 2
	106.1	FUN
	106.3	RADIO 74

02 AISNE

CHATEAU THIERRY	90.8	CLIP F.M. - PROG. EUROPE 2
	99.7	R 2 M - RADIO PLUS
	101.0	ORADIO VISAGES
	104.2	R.T.L.
	104.8	EUROPE 1
	107.0	FUN RADIO
	93.0	RADIO SANTE
	94.0	RADIO CANAL SAMBRE
	94.4	FRANCE INTER
	94.9	RADIO NOSTALGIE
	97.2	FRANCE MUSIQUE
	98.5	R.T.L.
	99.7	FRANCE CULTURE
	104.5	RADIO CIGALE
	106.3	FRANCE INFO
	88.4	EUROPE 1
	90.7	RADIO FREQUENCE LAON
	92.2	N.R.J.
	93.6	RADIO C.S.M. PICARDIE
	98.1	RADIO CYBELE - PROG. EUROPE 2
	92.0	RADIO C.S.M. PICARDIE
	94.1	RADIO NOSTALGIE
	104.3	R.T.L.
	104.7	EUROPE 1
	107.2	FUN RADIO
	88.2	RADIO CYBELE - PROG. EUROPE 2
	90.0	R.F.M. NORD
	91.8	FUN RADIO
	96.4	N.R.J.
	97.5	CONTACT RADIO
	102.0	R.T.L.
	95.9	RTL 2
	103.0	RADIO CYBELE - PROG. EUROPE 2
	89.6	FRANCE CULTURE
		FRANCE INTER

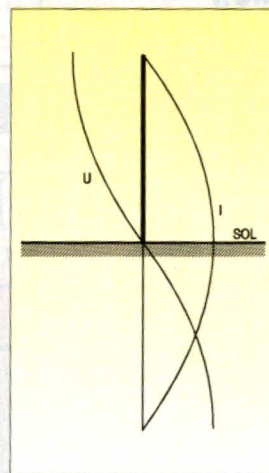


Figure 5

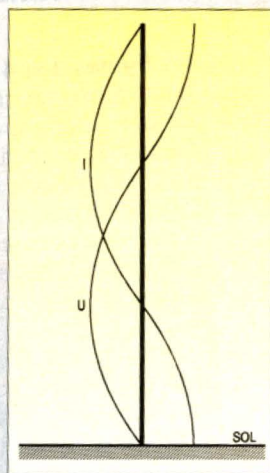


Figure 6

mais le récepteur des signaux transmis en FM sera également plus compliqué. On devra faire appel à un discriminateur de fréquence qui donnera sur sa sortie une tension variant en fonction de la fréquence. Il suffira ensuite d'amplifier cette tension afin de restituer le message sonore.

Des antennes et de leur efficacité dépendent la bonne transmission et le maximum de distance pouvant être couverte. A quoi servirait un matériel de haut de gamme si l'antenne était défectueuse ?

Chacun sait qu'un aérien, afin de présenter les meilleures performances, doit être accordé sur la fréquence des ondes radioélectriques qu'il devra transmettre. Celles-ci présentant des différences de longueur, il semble évident que les antennes seront de dimensions différentes selon les fréquences qu'elles auront à transmettre. La longueur physique d'une antenne onde entière se calcule à l'aide de la formule suivante :

$$l = 300 / f \text{ (f en MHz et résultat en mètres)}$$

La formule $l = 143 / f$ (f en MHz et résultat en mètres) permet de calculer la longueur d'une antenne demi-onde, et

cela d'une façon plus précise. Ainsi, une antenne devant fonctionner dans la bande des 27 MHz (bande CB) devra posséder une longueur de 11 mètres si l'on veut qu'elle fonctionne (ou entre en vibration) en onde entière. Si l'antenne mesure 5,5 m, elle vibrera en demi-onde, et en quart d'onde si elle est de 2,75 m.

Selon que l'antenne est reliée ou non à la terre par une de ses extrémités, elle vibrera d'une manière différente. On peut comparer cette vibration aux exemples bien connus d'une corde tendue et maintenue à ses deux extrémités et d'une tige métallique flexible plantée dans le sol. Lorsqu'on les relâche après les avoir tendus, il se crée des mouvements (ventres et creux) différents dans les deux



Radio "Spirit of St Louis" CONRAD

GUIDE RADIO - LE HAUT-PARLEUR

Le guide de toutes les radios FM françaises. Toutes les villes et fréquences. Classement par départements.

INDISPENSABLE!

LE GUIDE DES STATIONS RADIO FM

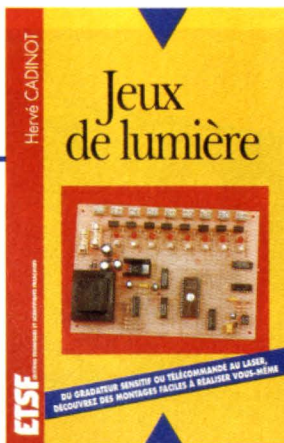
15 F Chez tous les marchands de journaux ou par correspondance 20 F (port compris) à : Le Haut-Parleur, Service Abonnements, 2 à 12, rue de Bellevue, 75019 Paris joindre votre règlement à la commande par chèque

TOUTES LES SOLUTIONS EN ÉLECTRONIQUE



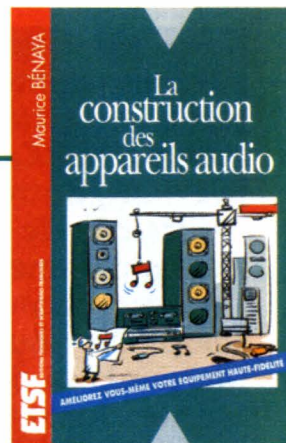
La restauration des récepteurs à lampes
André Cayrol
160 p. - 135 F

Cet ouvrage permet à toute personne possédant un ancien récepteur à lampes, de le remettre en état de fonctionnement.



Jeux de lumières
Hervé Cadinot
192 p. - 148 F

Un ouvrage pour des amateurs d'électronique qui veulent animer avec des jeux de lumière des réunions familiales ou d'amis.



La construction des appareils audio
Maurice Bénaya
192 p. - 138 F

A partir de l'offre des constructeurs, l'auteur guide le lecteur dans la réalisation d'une installation audio de qualité dont le coût est abordable pour l'amateur.

S É L E C T I O N D ' O U V R A G E S

INITIATION

Initiation générale

Pour s'initier à l'électronique.
B. Fighiera, R. Knoerr
Tome 1. **115 F**
Tome 2. **115 F**

Initiation pratique

Mes premiers pas en électronique.
R. Rateau. **119 F**
Formation pratique à l'électronique moderne.
M. Archambault. **125 F**
Montages didactiques.
F. Bernard. **115 F**
Montages simples pour téléphone.
R. Knoerr. **150 F**
Progresser en électronique.
J.P. Ehmichen. **159 F**
Électronique et modélisme ferroviaire.
J.L. Tissot. **129 F**
Modélisme ferroviaire.
J.L. Tissot. **135 F**
Électronique pour modélisme radiocommandé.
P. Bajcik - P. Oguic. **147 F**

PRATIQUE DE L'ÉLECTRONIQUE

Montages, réalisations

Les cellules solaires.
J.P. Braun, B. Faraghi,
A. Labouret. **125 F**

Mise en oeuvre du 8052 AH BASIC.

P. Morin. **190 F**
Montages électroniques pour vidéo.

H. Cadinot. **139 F**
Montages autour du 68705.
X. Fenard. **190 F**

(1 disquette incluse)

Cartes à puce.

P. Gueulle. **129 F**

L'électronique au quotidien.

Ch. Tavernier. **115 F**

L'électronique à la portée de tous.

G. Isabel. Tome 1. **118 F**

Tome 2. **118 F**

Guide pratique des montages électroniques.

M. Archambault. **90 F**

75 montages à LED.

H. Schreiber. **97 F**

Réussir 25 montages à circuits intégrés.

B. Fighiera. **95 F**

Alarmes et surveillance à distance.

P. Gueulle. **135 F**

Composants électroniques programmables.

P. Gueulle. **142 F**

Montages à composants programmables.

P. Gueulle. **127 F**

Les CMS.

B. Pétro. **129 F**

Faites parler vos montages.

Ch. Tavernier. **125 F**

Montages Flash.

Ch. Tavernier. **95 F**

Montages Flash 2.

E. Lemery. **95 F**

Montages domotiques.

Ch. Tavernier. **147 F**

Interphone, téléphone.

P. Gueulle. **142 F**

Répondeurs téléphoniques.

P. Gueulle. **140 F**

Construire ses capteurs météo.

G. Isabel. **115 F**

Télécommandes.

P. Gueulle. **145 F**

Communications électroniques.

P. Gueulle. **145 F**

Récepteurs ondes courtes.

P. Bajcik. **129 F**

Électronique laboratoire et mesure.

B. Fighiera, R. Besson.

Volume 1. **130 F** - Volume 2. **130 F**

Jeux et gadgets.

B. Fighiera, R. Besson. **130 F**

Protection et alarmes.

B. Fighiera, R. Besson. **130 F**

Auto et moto.

B. Fighiera, R. Besson. **130 F**

Maison et confort.

B. Fighiera, R. Besson. **130 F**

Schémas et circuits

Les 50 principaux circuits intégrés.

R. Knoerr. **150 F**

Circuits imprimés.

P. Gueulle. **138 F**

Dépannage TV - Radio - Micro

Dépannage des téléviseurs noir et blanc et couleurs.

R. Raffin. **198 F**

CB, antennes, réception

Antennes pour satellites.

S. Nueffer. **149 F**

CB service.

P. Georges. **119 F**

Soyez cibiste.

J.M. Normand. **55 F**

Manuel pratique de la CB.

P. Georges. **98 F**

CB Antennes.

P. Gueulle. **98 F**

Les Antennes.

R. Brault. **240 F**

Guide Radio-télé.

B. Fighiera. **120 F**

La sono, la Hi-Fi

Les amplificateurs à tubes.

R. Besson. **135 F**

Construire ses enceintes acoustiques.

R. Besson. **135 F**

Guide pratique de prise de son d'instruments et d'orchestres.

L. Haidant. **98 F**

Techniques de prise de son.

R. Caplain. **165 F**

FORMATION ET TECHNIQUE

Radio-amateurisme

Mémento de radio-électricité.

A. Cantin. **75 F**

Manuel pratique du radio-amateur.

P. Georges. **125 F**

L'émission et la réception d'amateur.

R. Raffin. **270 F**

Oscilloscopes, mesures

Oscilloscopes.

R. Rateau. **185 F**

Télématique

Modems.

Ch. Tavernier. **127 F**

Montages autour d'un Minitel.

Ch. Tavernier. **138 F**

Logique et microprocesseurs

Le Bus I2C par la pratique.

P. Morin. **210 F**

(1 disquette incluse)

Montages avancés pour PC.

E. Larchevêque, L. Lellu. **230 F**

(1 disquette incluse)

PC et cartes à puce.

P. Gueulle. **190 F**

(1 disquette incluse)

Mesures et PC.

P. Oguic. **230 F**

(1 disquette incluse)

Montages électroniques pour PC.

B. Schaffner. **220 F**

(1 disquette incluse).

PC et Robotique.

M. Croquet. **230 F**

(1 disquette incluse)

Interfaces PC.

P. Oguic. **190 F**

(1 disquette incluse)

B O N D E C O M M A N D E

Tous les ouvrages **ETSF** sont en vente chez **TERAL**
BON DE COMMANDE à retourner à :



24 - 26, rue Traversière
75012 Paris
Tél. : (1) 43 07 87 74 Fax : (1) 43 07 60 32

Nom : _____

Prénom : _____

Adresse : _____

Code Postal : _____ Ville : _____

Signature

Je désire recevoir les ouvrages suivants :

Ci-joint à l'ordre de **TERAL** :

☐ Chèque

☐ CB

Date de validité : _____

Frais d'envoi : 25 F par ouvrage. Total de la commande : _____

Depuis maintenant déjà un certain temps, le P.C. devient, outre ses fonctions de base, un complément indispensable du labo. On trouve aujourd'hui des cartes de contrôle et d'acquisition de tout nature. VDATA nous propose dans cette optique une carte courte 8 bits qui transformera votre P.C. en véritable scope numérique. Cette carte fonctionne sous Windows 3.1 ou 95.

Lorsqu'on connaît les multiples services rendus par un scope numérique et le coût de tels appareils en "stand alone", on comprend qu'il s'agit là d'une aubaine si le matériel et le logiciel s'avèrent à la hauteur de nos espérances. Eh bien, ils le sont tous deux! Pour un coût de 990 à 1 890 F TTC selon les versions, VDATA propose un véritable scope numérique 2x40 Méch/s pour le haut de gamme avec toutes les possibilités qu'un tel appareil propose de façon générale, à savoir: enregistrement des courbes, modes monocoup et défilement (roll), possibilité de prédéclenchement (pretrigger: visualisation des événements avant l'instant de déclenchement) et post-déclenchement, fonctions mathématiques sur les courbes acquises (+/- ch1 +/- ch2, ch1 - Ref1, ch2 - Ref2), mesures par curseurs, mesures automatiques (optionnelles): temps de montée, descente, fréquence, période, mini et maxi, valeur crête à crête, moyenne et efficace, etc...

Une fois l'installation très simple effectuée sous Windows, la carte est automatiquement paramétrée. Au lancement du logiciel, vous vous retrouvez à l'écran avec la façade d'un vrai scope numérique et ce avec les mêmes positions des commandes et réglages. On ne se trouve pas dé-



LE WINSCOPE VDATA

roulé. De plus, l'utilisateur dispose des fenêtres et menus spécifiques à l'environnement Windows, ce qui permet notamment d'exporter des courbes, de les sauvegarder et les manipuler, de même qu'on peut sauvegarder des configurations de mesure. Enfin, une aide en ligne est disponible à tout moment via la touche F1.

Le modèle le plus évolué, 40 Méch/s par voie, et 2x20 MHz pleine bande analogique, échantillonne en temps équivalent ce qui signifie qu'on peut acquérir des signaux répétitifs jusqu'à la fréquence limite des préamplis sans dégradation. En monocoup, on sera limité à environ 8 MHz. L'utilisateur dispose en outre du mode X-Y, du paramétrage des sondes utilisées et d'une longueur d'enregistrement de 8 Kéchantillons

par voie, ce qui se situe au-dessus de la moyenne des scopes numériques de cette catégorie.

Enfin, tous les réglages ou résultats importants sont affichés à l'écran: niveau et position du déclenchement, repère 0V pour chaque voie, résultats de mesure, pourcentage de pré ou post-déclenchement.

Seul petit reproche, la sensibilité minimale de 10mV par voie (50V maxi); avouons que c'est bien peu comparé aux excellentes caractéristiques et à la facilité d'exploitation de cet nouveau produit qui comblera tous les électroniciens amateurs et même certains professionnels.

**LE CHEF D'ORCHESTRE DE LA CARTE
VDATA : UN FPGA XILINX XC3020.**



LA MESURE DES INDUCTANCES

Si la mesure des résistances et des condensateurs ne pose pour ainsi dire aucun problème, puisque les fonctions ohmmètre et capacimètre sont maintenant présentes sur la grande majorité des multimètres, il n'en va pas de même pour les inductances que l'électronicien peut être amené à réaliser soit pour des montages travaillant en H.F., soit pour des alimentations à découpage ou encore pour tout type de filtre en général.

Pour pallier à ce "manque", l'achat d'un appareil spécifiquement prévu pour la mesure des inductances ou mieux d'un pont de mesure RLC est la solution la plus simple mais pas la plus économique. Lorsque les moyens financiers font défaut, nous allons voir qu'il est possible de s'en sortir avec le matériel de base de son laboratoire qui comprend au minimum un multimètre, un générateur de signaux et un oscilloscope bicourbe.

Les inductances utilisées en électronique

Remarques générales

La valeur des inductances que l'amateur peut être conduit à réaliser dépend fortement du domaine pour lequel elles sont destinées. Suivant que ce domaine concerne les ali-

mentations à découpage, les filtres passifs pour enceinte acoustique, ou les circuits accordés H.F., on pourra trouver des valeurs allant de quelques centaines de millihenry à quelques nanohenry ($10^{-9}H$).

Notons au passage que les ponts RLC dont le prix est encore abordable par l'amateur couvrent suivant les modèles, une plage pouvant aller de 200 H (!) à des valeurs de l'ordre du microhenry, mais que pour ces dernières valeurs, la précision de la mesure est loin d'être excellente puisqu'il s'agit du LSB de la plus petite gamme. Les méthodes de mesure que nous décrirons, sont théoriquement applicables à toutes les inductances. Les limitations viendront essentiellement du matériel de mesure utilisé. Cependant, certaines méthodes seront plus appropriées aux inductances de valeur moyenne à forte, et d'autres aux valeurs faibles. Ces points seront précisés le moment venu. Précisons par exemple qu'avec un GBF délivrant des signaux de fréquence comprise entre 10 et 500 kHz, nous avons mesuré sans problème des inductances de valeur comprise entre plusieurs Henry (inductance primaire d'un transformateur secteur) et $1\mu H$ (inductance d'un circuit accordé sur 27 MHz). Pour des valeurs inférieures au μH , les méthodes proposées restent valables, mais il est souhaitable d'utiliser un générateur travaillant au dessus du Mégahertz, c'est à dire un générateur H.F. ou un générateur B.F. de la nouvelle génération à base de MAX 038 décrit dans la revue en 95. Avant d'aborder quelques-unes des méthodes de mesure ne demandant pas une mise en oeuvre très importante ni aucun matériel spécifique, nous rappellerons quelques notions fondamentales concernant les caractéristiques principales des bobinages.

Caractéristiques d'un bobinage

Les éléments constitutifs du schéma équivalent série d'un bobinage sont sa résistance r (celle du fil utilisé pour le réaliser) et son inductance L dans laquelle prennent naissance les phénomènes électromagnétiques.

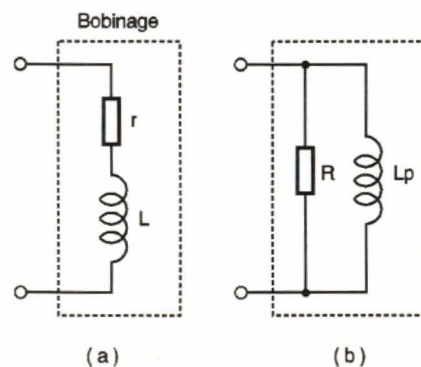
Ces deux aspects qui semblent dissociés sur le schéma de la **figure 1a**, sont en fait intimement mêlés et indissociables sur le plan pratique. Pour faciliter les calculs théoriques relatifs à certains montages, on utilise parfois le schéma équivalent parallèle (R, L_p) de la **figure 1b**. Des calculs basés sur l'égalité des impédances des deux schémas pour une même fréquence f (pulsation ω) permettent de passer d'un schéma à l'autre en introduisant le coefficient $Q = L\omega/r = R/L_p\omega$ appelé facteur de qualité. Ces formules sont les suivantes: $L_p = L(1 + 1/Q^2)$ et $R = r(1 + Q^2)$ avec leurs inverses $r = R/(Q^2 + 1)$ et $L = L_p Q^2 / (1 + Q^2)$. Lorsque le facteur de qualité Q est très supérieur à 1 (>10), des formules approchées donnent $R = Q^2 r$ et $L_p \approx L$.

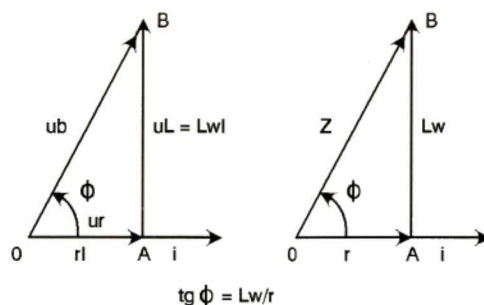
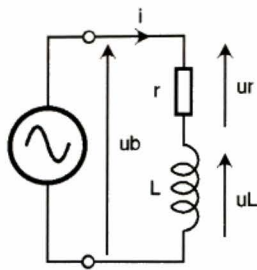
Tension aux bornes d'un bobinage

Lorsqu'un bobinage de caractéristiques " r, L " est parcouru par un courant variable $i(t)$, l'expression de la tension à ses bornes est $u_b = ri + L(di/dt)$. Dans cette relation, di/dt représente la vitesse de variation du courant i dans le circuit que l'on appelle aussi dérivée du courant i par rapport au temps. En régime permanent ($i =$ constante) $di/dt = 0$ ce qui donne $u_b = ri$. Cette expression montre que l'on peut accéder à la mesure de " r " en effectuant une mesure en courant continu ($r = u_b/i$). En régime sinusoïdal, c'est à dire pour $i(t) = I \sin \omega t$, l'expression de u_b devient : $u_b = rI \sin \omega t + L\omega I \sin(\omega t + \pi/2) = U_b \sin(\omega t + \Phi)$

1a/b

LES DEUX SCHÉMAS ÉQUIVALENTS, SÉRIE ET PARALLÈLE.





2

DIAGRAMMES DE FRESNEL DE L'IMPÉDANCE.

à laquelle on attache généralement une représentation vectorielle dite de Fresnel qui permet de tenir compte à la fois des relations existant entre le module et la phase de u_b et de i (voir la **figure 2**). On définit ainsi l'impédance Z de la bobine dont l'expression est : $Z = U_b / I = \sqrt{r^2 + L^2 \omega^2}$ et le déphasage Φ de la tension u_b par rapport au courant i que l'on calcule à l'aide de l'expression $\tan \Phi = L\omega / r$ (qui découle tout simplement des relations trigonométriques dans le triangle OAB), ce qu'on pourrait tout aussi décrire par un nombre complexe. Si l'on souhaite accéder à la valeur de l'inductance "L", on peut par exemple mesurer r en continu puis Z ($= U_b / I$) en régime sinusoïdal et déduire "L" en appliquant la relation $L = \sqrt{(Z^2 - r^2) / \omega}$. Cette méthode est souvent utilisée en électrotechnique ($f = 50$ Hz) et n'est en fait qu'une double méthode voltampéremétrique (une mesure en continu, l'autre en alternatif) qui donne d'excellents résultats mais sur laquelle nous ne nous étendrons pas plus longuement car il existe d'autres façons de procéder plus adaptées au domaine électronique que nous allons développer maintenant.

Première méthode de mesure

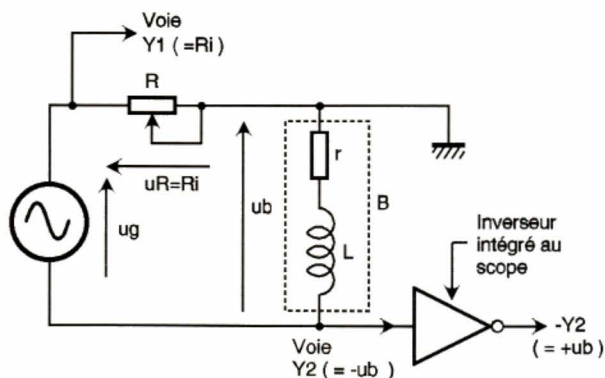
Principe

Cette façon de procéder est en fait l'adaptation de la méthode que nous venons de décrire ci dessus au domaine électronique. Ses différences essentielles viennent de ce qu'aucun ampèremètre continu ou alternatif ne sera utilisé et que la fréquence de travail pourra être assez élevée. Pour mesurer les paramètres série L et r d'un bobinage par cette méthode, on réalise le montage de la **figure 3a** dans lequel le générateur BF délivre une tension sinusoïdale de quelques volts d'amplitude, de fréquence f d'autant plus élevée que la valeur de L est plus faible (50Hz pour 1 Henry et de 10 à 100 kHz pour 1mH). La résistance variable R doit être non inductive. On peut utiliser un potentiomètre, un ajustable ou mieux encore une boîte à décades de résistances. La tension u_R aux bornes de la résistance R appliquée à la voie Y1 est l'image du courant i ($u_R = Ri$). La tension u_b aux bornes de la bobine est visualisée sur la voie Y2 après inversion, compte tenu du fait que la référence des potentiels (masse) est prise entre R et la bobine. L'oscilloscope sera synchronisé par la voie Y2, les calibres des 2 voies verticales étant identiques et adaptés à l'ampli-

tude des phénomènes observés. La mesure proprement dite consiste à agir sur la résistance R pour que les 2 tensions u_R et u_b aient exactement la même amplitude. Quand cette condition est remplie, comme R et B sont en série, donc parcourues par un même courant, on en déduit que $Z_b = R$. Si l'on a utilisé une boîte à décades de résistances, il suffit de lire la valeur indiquée sur celle-ci, sinon, une fois l'étape suivante terminée, on pourra passer la résistance ajustable R à l'ohmmètre pour en connaître exactement la valeur. Pour accéder à la valeur de l'inductance L , on doit maintenant mesurer le déphasage existant entre les tensions u_b et u_R , cette dernière étant aussi l'image du courant $i(t)$. Pour cela, on synchronise le scope sur u_b et on décalibre la base de temps de l'oscilloscope de façon à ce qu'une demi-période de u_b occupe exactement la largeur de l'écran soit 10 divisions (**figure 3b**). Chaque division horizontale correspond alors à un déphasage de 18° . En mesurant l'écart (exprimé en divisions) existant entre les points M et N, correspondant au passage de u_b et u_R par la valeur "0" en montant, et en multipliant celui-ci par 18° , on obtient le déphasage recherché Φ ($= 18 \times MN = 36^\circ$ dans notre cas). Les valeurs de r et L s'obtiennent par les formules $r = R \cdot \cos \Phi$ et $L = R \cdot \sin \Phi / \omega$ qui découlent des relations trigonométriques dans le triangle rectangle AHB du diagramme de Fresnel de la **figure 3c**. Si $R = 15 \Omega$ et $f = 250$ Hz soit $\omega = 1570$ rad/s, avec $\Phi = 36^\circ$ on tire : $r = 15 \cos 36 = 12,13 \Omega$ et $L = 15 \sin 36 / 1570 = 5,6$ mH. Au niveau de "r", on constate parfois des écarts entre la valeur mesurée à l'ohmmètre et celle obtenue par la méthode ci-dessus. En dehors de la précision des mesures, les écarts observés peuvent avoir pour origine des pertes par courant de Foucault et par hystérésis si la bobine possède un noyau ainsi que des pertes dues à

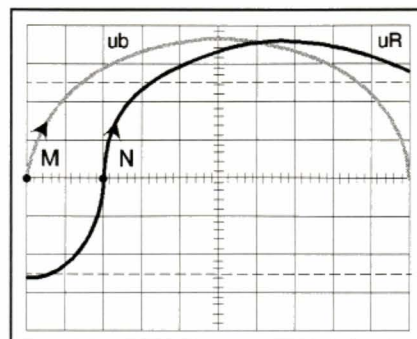
3a

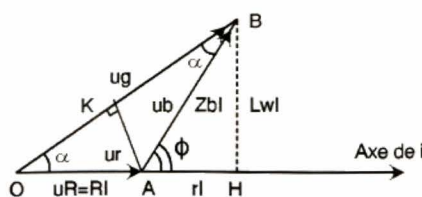
MONTAGE DE MESURE DE R ET L.



3b

MESURE DE DÉPHASAGE ENTRE UB ET I, ICI $\Phi = 18^\circ \cdot MN = 36^\circ$.





3c

DIAGRAMME DE FRESNEL DU MONTAGE DE LA FIGURE 3A.

l'effet de peau si la fréquence de travail est importante.

Variante

Ce paragraphe s'adresse principalement au lecteur qui ne possède pas d'oscilloscope mais qui dispose au minimum d'un multimètre (fonctionnant en alternatif) et d'un générateur de signaux sinusoïdaux.

Pour que la mesure soit envisageable, il faut s'assurer que le multimètre en question donne encore une indication (même si elle est fautive en raison de la bande passante de l'appareil qui est rarement importante sur un multimètre bas de gamme) pour la fréquence de travail et que son impédance interne atteigne au moins 100 kΩ sur le calibre qui sera utilisé.

Si cette condition n'était pas respectée, la mise en parallèle du multimètre sur la résistance R ou sur la bobine risquerait de modifier le courant qui les traverse ce qui fausserait totalement les résultats.

Pour vérifier ces différents points, on réalise le montage de la **figure 4** en réglant le GBF comme cela a été précisé pour la mesure du bobinage inconnu (amplitude crête de 2V). Lorsque le voltmètre (positionné sur le calibre 2V qui sera par la suite le seul utilisé pour éviter toute erreur) est directement relié au GBF (K sur 1), son indication ne doit pas être nulle. Ce cas ne doit pas être exclu si la bande passante du multimètre est réduite (500 Hz) et que l'on travaille à 100 kHz ou plus, car

l'atténuation introduite à cette fréquence est suffisante pour que la tension effectivement mesurée soit insignifiante voire nulle. En supposant par exemple que l'indication du multimètre soit de 1,400V pour K en 1 (valeur différente de 0 qui prouve son fonctionnement), on bascule K en 2 ce qui a pour effet de mettre la résistance de 100 kΩ en série avec le multimètre. Tant que l'indication du multimètre reste supérieure à 0,700V (=1,400/2) on peut considérer que celui-ci est bon pour le service car cela signifie que son impédance interne est supérieure à 100 kΩ.

Une fois ces contrôles effectués, on passe à la mesure proprement dite. L'oscilloscope bicourbe étant remplacé par un voltmètre unique, et le déphasage entre u_R et u_B n'étant pas mesurable, on procède avec le même montage qu'à la figure 3a comme suit :

1) en agissant sur R, on cherche à obtenir l'égalité des tensions u_R et u_B ce qui impose de déplacer le multimètre plusieurs fois aux bornes de R et B après chaque modification de R. Quand ce point est acquis, on mesure la tension totale u_g (toujours avec le même calibre pour le voltmètre).

2) L'égalité de u_R et u_B , conduit à $Z_B = R$ comme dans la méthode utilisant un oscilloscope. Pour calculer la valeur de Φ , on utilise la formule $\cos(\Phi/2) = u_g / 2u_R$ déduite des propriétés du diagramme de Fresnel de la figure 3c (le triangle OAB est isocèle donc $\alpha = \Phi/2$ et $\cos \alpha = OK/OA = u_g / 2u_R$). Une fois Z_B et Φ connus, on déduit L et r avec les formules du paragraphe précédent.

Cette façon de procéder est bien sûr plus longue puisqu'on dispose d'un seul appareil de mesure beaucoup moins performant qu'un oscilloscope mais elle permet de répondre au problème posé avec un minimum de moyens.

Autres méthodes

Nous regrouperons dans ce paragraphe deux méthodes assez similaires puisqu'elles sont toutes deux basées sur le comportement des circuits accordés (RLC) en régime sinusoïdal. La première concerne les circuits RLC série et la seconde les circuits parallèles. Le résultat des essais permettra de connaître uniquement la valeur de L, mais comme c'est essentiellement le but de cet exposé cela ne doit pas choquer le lecteur qui pourra toujours mesurer "r" à l'ohmmètre s'il en éprouve le besoin quoiqu'à certaines fréquences "r" change.

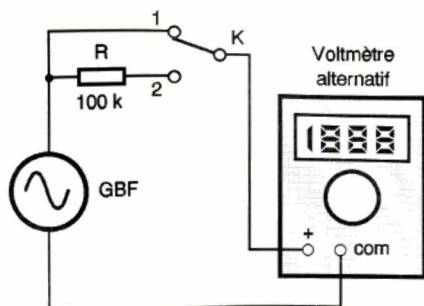
Principe de la mesure

Si l'on fait varier la fréquence du générateur qui alimente le circuit RLC série de la **figure 5a**, on s'aperçoit que pour une fréquence particulière F_0 appelée fréquence propre du circuit, la tension délivrée par le générateur u_g et la tension aux bornes de la résistance série R (c'est à dire aussi le courant dans le circuit) sont en phase.

La raison de ce phénomène résulte tout simplement de l'égalité des impédances de l'inductance L et du condensateur C pour cette fréquence F_0 (pulsation ω_0) qui permet d'ailleurs de la calculer puisque si $L\omega_0 = 1/C\omega_0$ on tire $\omega_0 = 1/\sqrt{LC}$ soit $F_0 = 1/2\pi\sqrt{LC}$. Les diagrammes de Fresnel de la **figure 5b** montrent comment évolue le déphasage entre u_g et i (= u_R/R) quand la fréquence f varie de part et d'autre de F_0 . On constate des phénomènes analogues avec le montage de la **figure 6a** pour lequel les éléments R, L, C ont été associés en parallèle. Dans ce montage, on a rajouté une résistance R_g en série avec le générateur afin "d'isoler" la tension U_g de la tension u_R puisque tous les éléments du mon-

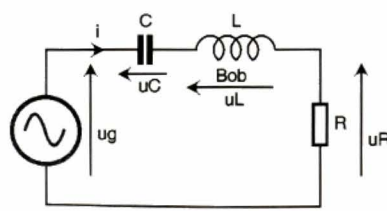
4

VÉRIFICATION DE LA VALIDITÉ DE LA MESURE.



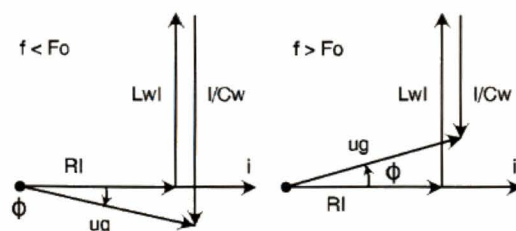
5a

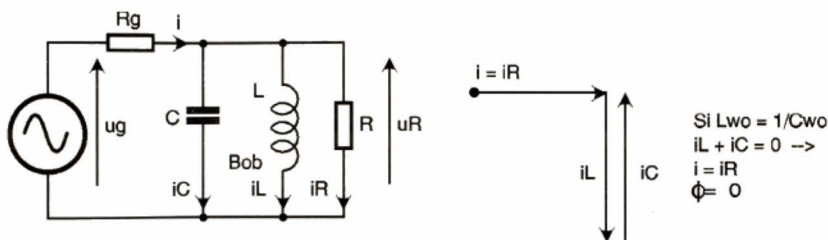
DÉTERMINATION DE LA FRÉQUENCE PROPRE, RÉSEAU SÉRIE.



5b

...ET DIAGRAMMES CORRESPONDANTS POUR $f < F_0$ ET $f > F_0$.





6a CAS DU RÉSEAU PARALLÈLE.

tage sont en parallèle dans ce cas. Pour ce montage, le diagramme de Fresnel (**figure 6b**) relatif au courant dans les 3 composants R, L, C, montre que pour la pulsation ω telle que $L\omega = 1/C\omega$ le courant principal i est en fait égal au courant i_R puisque la somme des 2 courants i_L et i_C est nulle. Les tensions $u = R i_R$ et u_g sont encore en phase dans ce cas particulier.

La mesure proprement dite

Le comportement des circuits R, L, C que nous venons de rappeler pour la fréquence F_0 peut être mis à profit pour mesurer l'inductance d'un bobinage en remplaçant tout simplement l'inductance L des schémas précédents par le bobinage lui-même. Lorsque les tensions u_R et u_g de l'un ou l'autre des 2 montages sont en phase, (ce qui est facilement vérifiable avec un oscilloscope), on en déduit que $L\omega = 1/C\omega$ soit $L = 1/C\omega^2$. Le calcul de L dépend bien entendu de la connaissance de C et de ω (donc de F_0) qui devront être connus ou mesurés de façon préalable. Sur le plan pratique, l'inductance inconnue et les éléments R, (+Rg pour le montage parallèle) et C peuvent être disposés sur une plaque de connexion ou plus simplement reliés par des fils volants. L'oscilloscope est connecté comme le montrent les **figures 7a** et **b**, les calibres tant horizontaux que verticaux étant adaptés aux valeurs de la fréquence et de l'amplitude

6b ... ET DIAGRAMME CORRESPONDANT POUR $F=F_0$.

(quelques volts) délivrée par le GBF. Une fois le montage réalisé, on agit sur la fréquence du GBF pour que les tensions u_g et u_R soient exactement en phase **figure 7c**.

Quand ce résultat est obtenu, on tire la valeur de L de la formule $L = 1/4\pi^2 F_0^2 C$ (L en H, C en F et F_0 en Hz). Pour connaître la fréquence F_0 , on peut soit se fier aux indications du vernier du GBF, soit prendre un fréquencemètre ou encore se servir des indications de la base de temps du scope (voir les articles sur l'oscilloscopie parus en 95 dans la revue). Les valeurs de R et Rg étant assez peu critiques, on pourra prendre deux résistances de 1000 Ω , comme cela est indiqué sur le schéma, ou prendre des valeurs plus élevées sans que cela nuise au bon déroulement de la mesure.

Lorsqu'on a plusieurs inductances du même ordre de grandeur à mesurer, on peut s'éviter des calculs fastidieux en remplaçant C par sa valeur dans la formule et en utilisant des unités appropriées. Ainsi, avec un condensateur C de 9,44 nF (valeur mesurée au capacimètre au cours de nos essais) si l'on exprime la fréquence en kHz, la valeur de L en Henry correspond à $L = 2,68/F_0^2$. Ainsi, si l'accord est obtenu pour $F_0 = 23,9$ kHz on trouve $L = 0,0047$ H = 4,7 mH et pour $F_0 = 51$ kHz, $L = 0,001$ H = 1 mH. Avec un condensateur d'accord de 100 nF, la formule deviendrait $L = 0,253/F_0^2$ toujours avec L en Henry et F_0 en

kHz, ou $L = 253/F_0^2$ avec L en millihenry et F_0 en kHz. Pour ceux que l'utilisation d'une calculatrice rebute toujours un peu, on peut s'éviter tout calcul en utilisant l'abaque de la **figure 8**. Pour cela, on place sur les échelles C et F un point en regard des valeurs de C (point M pour 9,44 nF) et F_0 (point N pour 51 kHz). Le prolongement de la droite MN coupe l'axe des inductances à la valeur cherchée (1 mH comme le montre aussi le calcul).

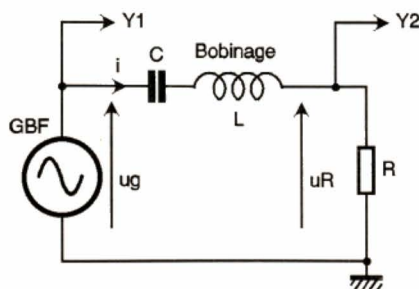
Cette façon de procéder est un peu moins précise que le calcul mais beaucoup plus rapide. En ce qui concerne l'abaque de la **figure 8** et ses graduations, on pourra utiliser celle-ci pour d'autres gammes de valeurs que celles qui sont mentionnées. En particulier, si on exprime L en μ H, C en pF, l'échelle des fréquences devra être lue en MHz et non en kHz.

Une autre transposition peut être envisagée avec L en Henry, C en μ F et F en hertz. Comme vous le voyez cela est très pratique.

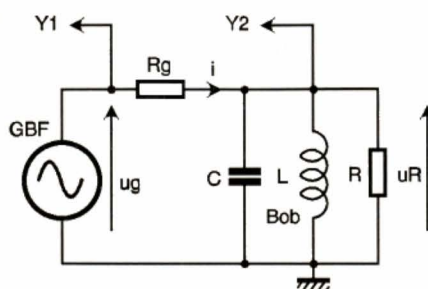
Remarques

Si les formules ci-dessus ne font référence à aucune limitation concernant les triplets de valeurs L, C, F_0 qui peuvent être employés pour aboutir à la connaissance de L, dans la pratique, il convient de prendre quelques précautions sans lesquelles la mesure serait délicate voire impossible à réaliser. L'expérience montre en particulier qu'il est préférable de travailler avec le montage série pour les inductances de valeur supérieure au millihenry et avec le montage parallèle pour les valeurs inférieures. La valeur frontière "1 mH" ne doit pas être prise au pied de la lettre, mais donne un ordre de grandeur de la valeur de L pour laquelle une méthode donne de moins bons résultats que l'autre, tout simplement parce que les tensions observées sur l'écran du scope sont d'ampli-

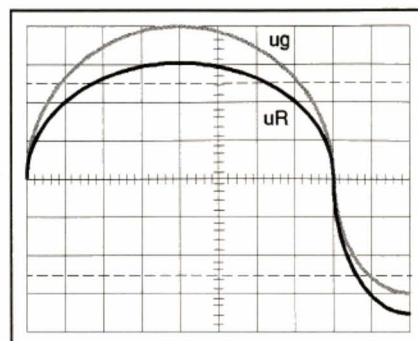
7a MESURE DE L À LA FRÉQUENCE PROPRE F_0 , RÉSEAU SÉRIE.



7b ... ET PARALLÈLE.



7c VÉRIFICATION u_R, u_g EN PHASE, ALORS $L\omega = 1/C\omega$.



tude trop faible ou que la recherche de la mise en phase de u_R et de u_g est plus délicate, ce qui peut agir de façon néfaste sur la précision de la mesure.

Un autre point à respecter concerne cette fois les valeurs relatives de L , C et de F_0 . Si l'on veut effectuer des mesures correctes et précises, il faudra adapter la valeur du condensateur utilisé et la fréquence de travail F_0 à la valeur de l'inductance L inconnue (dont on doit quand même avoir un ordre de grandeur avant de commencer la mesure).

Comme les valeurs de L et de C varient en sens inverse l'une de l'autre, si l'on veut mesurer une inductance L de 100 μH à 1000 Hz, cela conduirait à prendre un condensateur C de 250 μF ! D'un point de vue pratique, la mesure de C serait déjà peu précise, et de plus, la recherche de l'accord du circuit serait trop imprécise pour être exploitable.

Pour faire une mesure correcte dans ce cas, on devra réduire la valeur de C à 100 nF et augmenter fortement la fréquence F_0 jusqu'à un peu plus de 50 kHz. Pour savoir de façon simple si la mesure que l'on envisage a des chances d'être satisfaisante sur le plan expérimental et sur celui des résultats, on retiendra que les valeurs de L , C et F_0 qui sont les mieux adaptées entre elles sont celles pour lesquelles la droite qui joint les 3 points représentatifs sur l'abaque de la figure 8 est la plus horizontale.

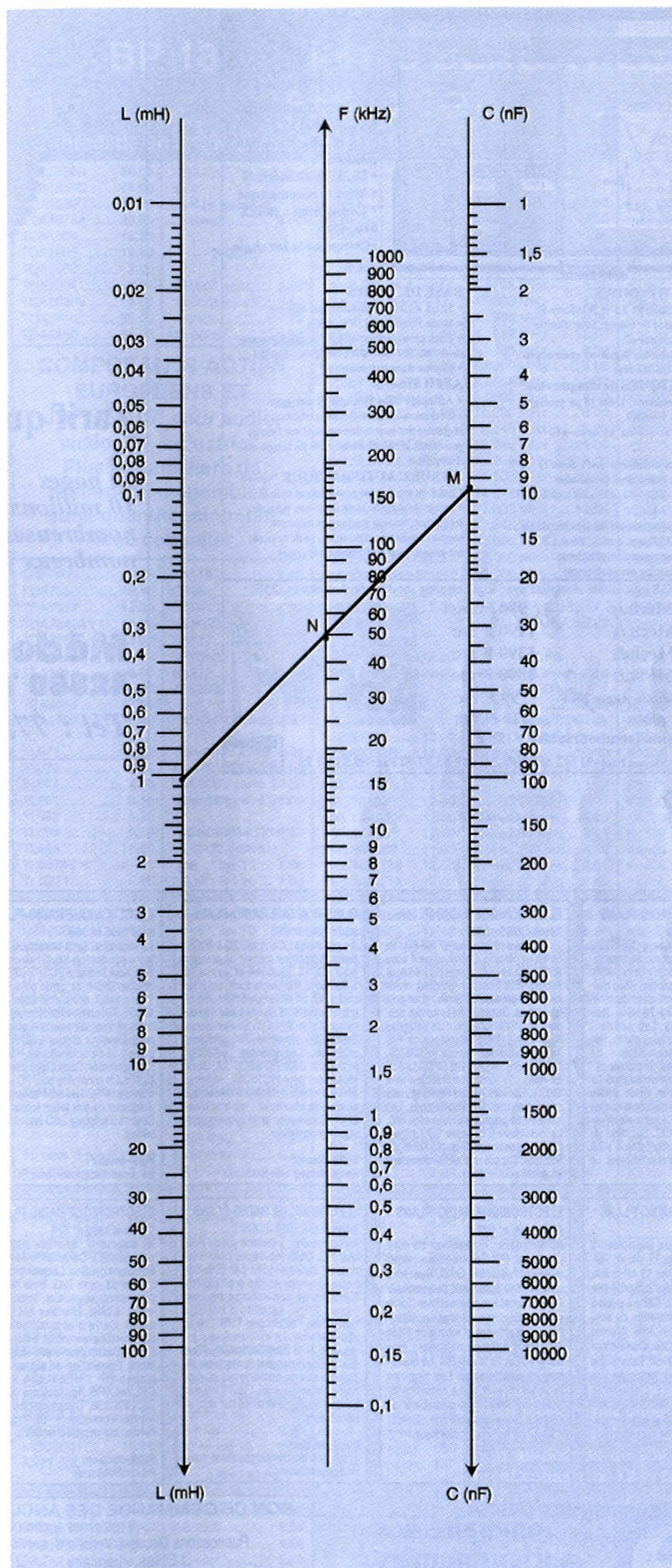
Comme cela n'est pas toujours facilement réalisable, on essaie de travailler avec des valeurs telles que la pente de la droite ne soit pas trop importante.

Pour les avoir expérimentées à maintes reprises et en particulier à nouveau lors de la rédaction de cet exposé, les méthodes décrites ici donnent des résultats très satisfaisants sur le plan de la précision. Nous vous les recommandons sans arrière pensée surtout si vous ne disposez pas d'un inductancemètre dont l'achat pour 2 ou 3 mesures dans l'année ne se justifie pas vraiment.

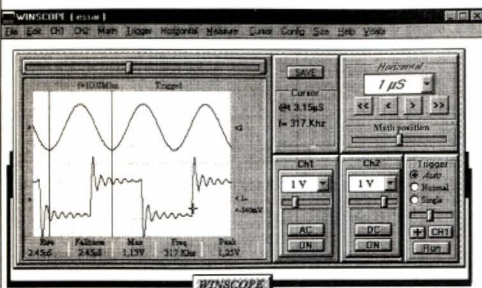
F. JONGBLOËT

UN COMPLÉMENT INDISPENSABLE :

LE MINITEL 3615 EPRAT ET LE
SERVICE INTERNET :
<http://www.eprat.com>.



Transformer votre PC en OSCILLOSCOPE numérique 2x20Mhz avec le WINSCOPE de VDATA



A partir de
990 F TTC

- Rapport qualité/prix exceptionnel
- 2 x 20 Mhz de bande passante
- 20, 32 et 40 Mch/S
- Mesure automatique
- Config mini : 386SX avec 4Mo
- Composants 1er choix

COMPATIBLE WINDOWS

- Fonctionne sous Windows 3.1 et Windows 95
- Multitâche permettant de tourner avec d'autres applications (ex: émulateur µP)
- Supports des imprimantes Windows et du copier / coller pour exporter les données

CARACTÉRISTIQUES de chaque voie

- 20 Mhz de bande passante, 1MΩ 15 pF protégée
- 9 calibres 10 mV à 5 V/Div
- AC / DC coupling et sondes x1 et/ou x10

MATH

- 2 mémoires de trace affichable (ref1 & ref2)
- voie mathématique permettant de calculer : ch1 + ch2, ch1 - ch2, ch2 - ch1, ch1 - ref1, ch2 - ref2

TRIGGER

- Mode : auto, normal et manuel déclenché (single)
- Source Ch1 ou Ch2. Front + ou -, filtre LF
- Trigger réglable directement en volts avec affichage de la position du déclenchement

BASE DE TEMPS

- 50 nS à 10 mS (mode roll en option)
- Mode : horizontal, XY et YX
- Zone pretrigger/posttrigger respectivement de 0/100, 25/75, 50/50, 75/25 et 100/0%
- 8Ko de Ram par voie

AFICHAGE

- Affichage zone Pretrigger/Posttrigger
- 2 curseurs horizontaux ou verticaux réglables par souris directement sur l'écran permettant le calcul d'intervalle de temps ou d'amplitude

MESURE AUTOMATIQUE *option

- Calcul en temps réel pour chaque voie :
- temps de montée et de descente, période, fréquence, largeur positive et négative, rapport cyclique, min., max., peak to peak, moyenne, valeur efficace vraie (rms)

Carte au format PC 8 bits, livrée complète avec logiciel, sans sondes, port en sus (+ 25F)

- 1 voie x 20 Mch/s 990 F TTC
- 2 voies x 20 Mch/s 1190 F TTC
- 2 voies x 32 Mch/s 1390 F TTC
- 2 voies x 40 Mch/s 1890 F TTC
- Promo mesure automatique 290F 99 F TTC
- Sonde x1, x10, pièce 119 F TTC
- Disquette de demo (remboursable) 25 F



VDATA-1 rue Marcel Paul -91742 MASSY-Tél : 69 53 97 32 Fax: 69 53 97 25

COMPOSANTS ELECTRONIQUES



Tarif quantitatif détaillé 1996 gratuit

50 pages
10 millions de composants en stock
nombreuses opportunités
nombreux kits

Médélor SA
42800 Tartaras

Tél : 77.75.80.56

ELECTRONIQUE RADIO-PLANS

Janvier 1995 n° 566

Au sommaire : Émulateur d'EPROM 27C64 à 27C256. Traceur de caractéristiques de semi-conducteurs. Vidéo grabber : carte d'acquisition vidéo multipasse pour PC. Générateur de fonctions subminiature 0 à 20 Mhz. Tostmètre 20-220 Mhz. Lab-sonde : analyseur-timer pour labo photo. Retour sur le programmeur de 68HC705C8. Le facteur de puissance : solutions actives et instrumentation. Le générateur de mires vidéo Fluke PM5418. Les «simple switchers» nationaux semiconductor. La carte de développement I2C OM5027. Synthèse du logarithme sur microcontrôleur. VGA sur TV : améliorations et extensions. Le salon «cartes» 94.

ELECTRONIQUE RADIO-PLANS

Février 1995 n° 567

Au sommaire : Générateur HF AM-FM : les cartes de contrôle. Commutateur 4 voies RS232. Codeur PAL simple pour enregistrement VGA. Émetteur-récepteur ondes longues de détresse. Labtimer : timer pour labo photo. Carte d'entrées-sorties pour port parallèle. Chargeur de batteries Ni.MH 12 V. Programmeur de PIC 16C84. L'analyseur logique HP 54620A. Les bus série : le CAN. Les ISPLSI Lattice. EZ-ABEL : TV numérique et écrans 16/9. IGBT «UFS» ultra-rapides Harris nouvelle orientation chez CK Electronique. Les multimètres graphiques Fluke série 860. Le multimètre 6 décades 1/2 Keithley 2000. Inverseurs subminiatures Knitter. Le RSE Carlo Gavazzi : module de démarrage progressif pour moteurs.

ELECTRONIQUE RADIO-PLANS

Mars 1995 n° 568

Au sommaire : Centrale I2C à 80C52 Basic. Adaptateur capteur de pression pour ADC10. Dipmètre et source HF 2-200 Mhz. Mini-régie audio pour karaoké. Kit de développement et programmation 8051. Ampli audio monolithique 2 x 40 W / 8 Ω. Le Palmscope Escort 320 : combiné DSO-analyseur multimètre. Les antennes. Le 82C200 et la carte CAN-PC SECCOM. Développement pour PIC16C5X : réflexion et Clearview 5 X. Gravure mécanique et circuits imprimés : les machines LPKF. Conversion analogique-numérique sur contrôleur.

Publi-dossier : les générateurs de fonction.

ELECTRONIQUE RADIO-PLANS

Avril 1995 n° 569

Au sommaire : Deux correcteurs de facteur de puissance. Un 421 électronique avec Abel. Interface PC/LPT - I2C multi-master. Chien de garde pour 68705. Thermostat programmable à PIC 16C54. Télécommande IR multi-récepteurs. Alimentation audio pour mini-régie. Délesteur secteur à 68705 P3. Le traceur de caractéristiques HM 8042. Programmation Daisy Chain des ISPLSI Lattice. Un curvimètre pour PC avec les codeurs HPRG Hewlett-Packard. Tina : didacticiel de simulation format Spice. Gestion d'afficheur LCD par microcontrôleur.

Publi-dossier : les cartes d'acquisition pour PC.

ELECTRONIQUE RADIO-PLANS

Mai 1995 n° 570

Au sommaire : Ballast électronique pour tube fluorescent 36 W. Programmeur-timer domestique I2C. Simulateur de présence programmable. Modules PFL/Record et lignes stéréo pour mini-régie. Synthétiseur de fréquence à PLL. Espion pour cartes à puce. Antenne cadre pour radiogoniométrie. Manumètre fête ses trente ans. Di-comtech et la compatibilité électromagnétique. Chargeur rapide pour batterie au plomb avec le BD 2003. Les Mosfet en régime d'avallanche. Le calcul des condensateurs de filtrage. Simulat V 1.0. Gestion des LCD par microcontrôleur sur 4 bits.

Publi-dossier : microcontrôleurs 8/16 bits.

ELECTRONIQUE RADIO-PLANS

Juin 1995 n° 571

Au sommaire : Générateur de lignes test vidéo. Analyseur de signature courant-tension. Un module amplificateur 60 W ultra-protégé. Dossier cartes PC : carte de décodage d'adresses - carte 32 entrées/sorties - carte convertisseur analogique/numérique - commande de moteur pas à pas avec maintien - carte de contrôle pour 4 moteurs pas à pas - commande de moteur pas à pas par microcontrôleur - carte de contrôle de moteur C.C. La station de mesure Altai MS-9150. Bus Can : le SLIO 82C150. Gros plan sur les mémoires. Compteur de passages à GAL avec Abel. Le radiotéléphone numérique GSM.

Publi-dossier : microcontrôleurs 8/16 bits.

ELECTRONIQUE RADIO-PLANS

Juillet 1995 n° 572

Au sommaire : Deux adaptateurs secteur à découpage 12 V/6 W. Générateur de fonctions 12 Mhz à la carte. VCO, oscillateur contrôlé par tension, 88-108 Mhz. Carte à puce à PIC 16C71/84. Distribution de sorties audio pour mini-régie. Alarme extensible à PIC 16C55. Carte d'application CAN à 82C150. Extensions pour programmeur-timer. Arbitre de bus à 82C22 V10. L'ensemble de développement RKIT-51 de raisonance. Le NAB 95 à Las Vegas. Calcul de dérivée sur microcontrôleur.

ELECTRONIQUE RADIO-PLANS

Septembre 1995 n° 573

Au sommaire : Enregistreur de données pour PC. Commutateur péritel avec incrustation OSD. Système d'ouverture automatique sécurisé. Programmation et exploitation. Interfaces, imprimante et extension RAM I2C. Deux amplis «intégrés» : modules à TDA 1514 et 7294. Le bootstrapping en électronique. Les modules hybrides HF MIPOT. Le routeur Winboard par Inex. Mini-simulateur de carte à puce asynchrone. Calcul d'intégrale sur microcontrôleur.

ELECTRONIQUE RADIO-PLANS

Octobre 1995 n° 574

Au sommaire : Interface souris pour bus I2C. Deux montages pour téléphonie. Liaison vidéo par fibre optique. Serrure codée à 68705P3. Système de surveillance périmétrique. Ellips, satellite d'horloge radio. Les Tekscopes THS 710 et 720 Tektronix. Le mini-analyseur logicien SLA-16 Pico Technology. Test des télécommandes et modules IR. Transmissions numériques et modems. Tronçons 95 : la TV numérique. Traces de droites sur microcontrôleurs.

Publi-dossier : systèmes de développement pour microcontrôleurs.

ELECTRONIQUE RADIO-PLANS

Novembre 1995 n° 575

Au sommaire : Interface clavier PC pour bus I2C. Commande de moteur à courant continu. Lecteur-programmateur de carte T2G. Trois modules pour sono et studio. Volubateur vidéo 15 Mhz. Émetteur AM vidéo + audio. Carte d'acquisition vidéo. Synchronisateur vidéo à comptage lignes. Distributeur audio-vidéo trois voies. Génération de signaux arbitraires HP : HP33120A + BEN-CHILINK-ARB. Applications du SLIO CAN 82C150. Transmissions numériques et modems (2). Tracé de cercles sur microcontrôleurs.

Publi-dossier : les oscilloscopes

ELECTRONIQUE RADIO-PLANS

Décembre 1995 n° 576

Au sommaire : Émetteur et récepteur vidéo FM 400 Mhz. Carte automate programmable pour PC. COME-PRO : roues codeuses par EPROM. Platine d'expérimentation pour FPGA Xilinx. Module de communication pour liaisons série et mini-16. Renifleur électromagnétique large bande. L'instrument virtuel Handyprobe. Les shunts électroniques MAX 471/472 Maxim. Les composants pour télécommandes à «Rolling Code». Abel et les tables de vérité. Connaitre Internet. Nano noyau multitâche pour 8051.

Publi-dossier : la distribution par catalogue.

ELECTRONIQUE RADIO-PLANS

Janvier 1996 n° 577

Au sommaire : Alimentation de laboratoire à redressement contrôlé. Cartes d'entrées-sorties analogiques pour le test. Carillon avec le ST 6225. Interface I2C de commande de moteurs pas à pas. Détecteur horaire Radiotop. Temporisateur multi-usages avec le PIC Basic. Synchronisateur numérique pour oscilloscope. Liaison HF RS232 unidirectionnelle. L'alimentation ELC AL 936. Le démodulateur son stéréo satellite TDA8745. Le simulateur Logique Works. Le CD ROM Data SGS-Thomson. Le salon «Cartes 95». Internet : les applications électroniques. Microcontrôleurs : problèmes et solutions.

Publi-dossier : les starters kits.



**Sommaire des
anciens numéros
disponibles
25 F**

+ 5 F de frais de port

BON DE COMMANDE DES ANCIENS NUMEROS D'ELECTRONIQUE RADIO-PLANS

à retourner accompagné de votre règlement libellé à l'ordre de :

Publications Georges Ventillard, service abonnement, 2 à 12, rue de Bellevue, 75940 Paris Cedex 19

☐ Chèque bancaire ☐ CCP ☐ Mandat ☐ CB (à partir de 100 F)

Veuillez me faire parvenir les n° suivants x 30 F = F

Nom Prénom

Adresse

Ville

Signature :

date d'expiration

TRANSISTORS

2N1711	2.50
2N2219A	2.50
2N2222A	1.60
2N2369A	3.00
2N2905A	2.50
2N2907A	1.60
2N3055	7.00
2N3553	25.00
2N3819	4.50
2N3866	22.00
2N4416	15.00
2N5109	15.00
2N5460	10.00
2SA473	10.00
2SC1969	29.00
2SC2075	15.00
2SC2166	24.00

BC327	0.90
BC337	0.90
BC547B ou C	0.90
BC548B ou C	0.90
BC550B ou C	0.90
BC557B ou C	0.90
BC558B ou C	0.90
BC560B ou C	0.90
BC639	2.50
BC640	2.50
BD135	1.80
BD136	1.80
BD139	2.80
BD140	2.80
BD243C	6.00
BD244C	5.00
BD679	5.00
BD680	5.00
BD911	6.50
BD912	6.50
BDW93C	8.00
BDW94C	8.00
BDX53F	15.00
BDX54F	17.00
BDX67C	22.00

BF199	1.20
BF245B	4.40
BF256C	4.50
BF324	2.50
BF423	2.20
BF459	5.80
BF470	4.50
BF494	1.80
BF900	12.00
BF961	6.50
BF979	8.00
BF981	9.50
BF982	12.50
BF665	28.00
BF691A	25.00
BF991	6.50
BF991A	6.80
BF996	12.50
BF996S	12.50

BS107	4.00
BS170	4.00
BS250	6.00
BU208	15.00
BU208D	16.50
BU326	16.00
BU508A	17.00
BU508D	18.00
BU508DF	18.00
BU526	19.00
BU806	12.00
BUT11A	8.00
BUT11AF	9.50
BUT56A	9.00
BUW12A	33.00
BUX37	21.50

GT20D101	95.00
GT20D201	95.00
J309	6.00
J310	6.00
MPF102	14.00
MPSA04	2.50
MPSA16	3.00
MPSA56	2.50
MPSH10	2.50
MRF455	195.00

S2000A	25.00
S2000AF	22.00
S2055A	28.00
S2055AF	28.00
TIP31C	5.00
TIP32C	5.00
TIP110	5.00
TIP115	4.50
TIP122	4.50
TIP126	4.50
TIP142	13.50
TIP147	13.50

EURO-COMPOSANTS

4, Route Nationale - BP 13

08110 BLAGNY

Tél.: 24.27.93.42

Fax : 24.27.93.50

MAGASIN OUVERT du lundi au vendredi de 9h à 12h et de 14h à 18h; le samedi de 9h à 12h.

CMOS 4000

4001	1.80
4007	3.00
4008	4.80
4011	1.80
4013	2.30
4014	4.80
4015	3.30
4016	2.70
4017	3.80
4020	3.60
4022	3.50
4023	2.50
4024	3.50
4025	2.20
4027	3.50
4028	3.80
4029	3.50
4030	2.30
4033	6.20
4040	3.00
4046	4.50
4047	3.90
4048	4.00
4049	2.60
4050	2.90
4051	4.00
4052	4.00
4053	3.60
4060	3.50
4066	2.80
4069	2.00
4081	2.20
4093	2.50
4511	3.80
4514	10.80
4518	3.50
4520	3.50
4528	4.00
4538	4.00
4543	4.50
4584	3.60
4585	4.60
40106	3.00

LINEAIRES

AD633JN	79.00
ADC0804	29.50
ADC0831	49.00
CA3080E	8.50
CA3081E	13.00
CA3089E	17.00
CA3130E	11.50
CA3140E	7.50
CA3161E	14.00
CA3162E	49.00
CA3189E	18.50
CA3240E	12.00
CA3240E1	20.00
CD22202E	32.00
COM8017	90.00
DAC0800	15.00
DAC0808	28.00
ICL7106	29.00
ICL7107	29.00
ICL7136	39.50
ICL7660	15.00
ISD1020	109.00
L200CV	12.50
L293B	35.00
L296	59.00
L297	65.00
L298	45.00
LF347N	9.50
LF353N	6.00
LF355N	8.00
LF356N	8.00
LF357N	8.00

LM35CZ	62.00
LM35DZ	33.00
LM301N	6.50
LM311N	2.90
LM317K	18.50
LM317T	4.80
LM324N	3.00
LM331N	42.00
LM335Z	8.50
LM337T	12.00
LM338K	65.00
LM339N	3.80

LM350K	62.00
LM358N	2.70
LM386N	6.00
LM393N	2.80
LM723	4.60
LM741	2.50
LM1036	55.00
LM1040	59.00
LM1893	59.00
LM2917N14	33.00
LM2925T	32.00
LM3886T	70.00
LM3914	21.00
LM3915	21.00
LM13600	18.00
LM13700	15.00

LS7220	45.00
LS7222	58.00
LS7223	55.00

MAR-3	35.00
MAR-6	35.00
MAR-8	42.00
MAV-11	52.00
MAX038	150.00
MAX232	14.50
MC1310	18.00
MC1350P	12.00
MC1458P1	3.20
MC1488P	5.00
MC1489P	5.00
MC3357P	15.00
MC3361BP	15.00
MC3362P	38.00
MC3371P	18.00
MC145106	66.00
MC145151	66.00
MC145406	22.60
MM53200	27.00

NE555	2.50
555 CMOS	5.50
NE556N	3.00
NE565N	18.50
NE566N	10.00
NE567N	5.00
NE570N	34.00
NE575N	30.00
NE592N8	10.00
NE592N14	11.00
NE602N	20.00
NE604N	55.00
NE605N	59.00
NE612N	20.00
NE614N	48.00
NE5532	9.00
NE5534	8.50
NE5539N	10.00

PCF8571P	29.50
PCF8573P	49.50
PCF8574P	38.00
PCF8582	25.00
PCF8583	45.00
PCF8591	59.00
PCF8584	74.00

SAA1064	60.00
SAA3010	30.00
SBL-1	69.00
SLB0587	32.00
SO41P	39.00
SO42P	25.00
SSI202	32.00

TBA120S	11.00
TBA120T	11.00
TBA120U	11.00
TBA820M	3.80
TCA440	19.00
TCA785	55.00
TCA965	34.00
TCM3105	78.00
TCM5089	15.00
TDA1023	19.00
TDA1072A	34.00
TDA1083	20.00
TDA1085C	25.00
TDA1200	17.00
TDA1220B	12.50
TDA1514A	45.00
TDA1516Q	32.00
TDA1518Q	40.00
TDA1520B	30.00
TDA1521Q	33.00

BP104	9.00
BPW34	8.00
LD271	3.50
CNY37	12.00
LDR 7mm	6.00
MOC3020	6.00
MOC3021	7.50
MOC3041	10.00
4N27 (TIL111)	4.00

ROUGE 13mm AC 8.40	
ROUGE 13mm CC 8.40	
TIL312	11.00
TIL313	11.00
MAN74A	9.50
LCD 3.5 dig.	44.00

TDA1524A	25.00
TDA1558Q	48.00
TDA1560Q	85.00
TDA1675A	32.00
TDA1904	18.50
TDA1905	19.50
TDA2003	9.00
TDA2004	17.00
TDA2030V	14.00
TDA3810	25.00
TDA5850	26.00

NEGATIF TO-220: 5 - 6 - 8 - 12 - 15 - 18 - 24 V (à préciser)	
La pièce	4.50

DIODES	
1N4007 les 10	3.00
1N4148 les 25	3.50
1N5404	1.50
6A-600V	3.20

COMPOSANTS ACTIFS EUROPEENS ET JAPONAIS, pour audio, vidéo, TV, industrie... Plusieurs milliers de références disponibles, sans quantité minimum. Nous consulter.	
TDA7000	19.00
TDA7050	10.50
TDA7052	12.00
TDA7240AV	25.00
TDA7250	45.00
TDA7294V	95.00
TEA1014	16.00
TEA1039	19.00
TEA2014	17.00
TEA5500	35.00

TL071	3.80
TL072	3.80
TL074	4.80
TL081	3.50
TL082	4.20
TL084	6.00
TL489	16.00
TL497ACN	27.00
TLC271	6.90

U664BS	30.00
U2400B	25.50
UAA180	24.00
UC3842N	12.00
UM3561	9.00
UM66T01S	7.50
UM66T11S	7.50
UPC1677C	69.00
XR2206	39.00
XR2211N	29.00
XR4136	10.00
XR4151	12.50

LEDS	
10 Leds 3mm R	5.00
10 Leds 3mm J	6.50
10 Leds 3mm V	6.00
10 Leds 5mm R	5.00
10 Leds 5mm J	6.50
10 Leds 5mm V	6.00
Bargraph 10 Leds rouge	15.00

OPTO	
BP104	9.00
BPW34	8.00
LD271	3.50
CNY37	12.00
LDR 7mm	6.00
MOC3020	6.00
MOC3021	7.50
MOC3041	10.00
4N27 (TIL111)	4.00

AFFICHEURS	
Rouge 13mm AC 8.40	
Rouge 13mm CC 8.40	
TIL312	11.00
TIL313	11.00
MAN74A	9.50
LCD 3.5 dig.	44.00

REGULATEURS	
POSITIF TO-220: 5 - 6 - 8 - 9 - 10 - 12 - 15 - 18 - 24 V (à préciser)	
La pièce	3.50

47nF	1.70
100nF	2.00
220nF	3.30
330nF	4.00
470nF	5.00

RESISTANCES	
1/4W - 5% de 1 ohm à 10 Mohms Série E12	
Les 10 de même valeur	1.00
Les 100 de même valeur	6.00
CMS 1206 5% E12	
Les 10 de même valeur	2.00

AJUSTABLES	
De 100 ohms à 2M2	
1 tour horiz	1.80
1 tour vert	1.80
15 tours horiz	6.50
25 tours vert	11.00

POTENTIOMETRES	
Potentiom. axe 6mm	
Linéaire	7.20
Logarithmique	7.20

TUNERS	
UV616S/6456	478.00
SAT5601	349.00

BOBINAGES	
TOKO	
KACS1506	12.00
KANK3333R	12.00
LMCS4100	12.00
LMCS4101	12.00
LMCS4102	12.00
YMCS14600	12.00
YMCS14601	12.00
YMCS14602	12.00
113CN2K159	12.00
113CN2K218	12.00
113CN2K241	12.00
113CN2K256	12.00
113CN2K509	12.00
161XNA207	12.00
707VXA042	15.00
707VXA043	15.00
FI-10.7MHz	12.00

NEOSID	
5034-10	36.00
5049 (330nH)	36.00
5118-30	46.00
7T1-K-F40	20.00
7V1-K-F100	20.00

CHIMIQUES RADIAUX	
1µF/63V	0.50
2.2µF/63V	0.50
4.7µF/63V	0.50
10µF/25V	0.50
22µF/25V	0.50
10µF/50V	0.50
47µF/25V	0.50
100µF/25V	0.80
220µF/25V	1.50
470µF/25V	2.50
1000µF/25V	

LE COURRIER DES LECTEURS

Le service du Courrier des lecteurs d'Electronique Pratique est ouvert à tous et est entièrement gratuit. Les questions d'« intérêt commun » feront l'objet d'une réponse par l'intermédiaire de la revue. Il sera répondu aux autres questions par des réponses directes et personnelles dans les limites du temps qui nous est imparti.

M. OLIVIER CHAUMIER

Concernant la radiocommande de porte de garage du n° 202 d'Electronique Pratique : pour le récepteur, vous indiquez dans le texte que le circuit IC₂ a son entrée 1 reliée à l'état bas et que le circuit IC₃ a son entrée 2 reliée à l'état bas ; or, sur le schéma, il y a deux IC₂ ayant le même schéma de câblage. Que doit-on comprendre ?

1° Le schéma de principe comporte effectivement une erreur : le circuit placé à la droite de IC₂ est en réalité le circuit IC₃, et sa broche 2 doit être reliée à la masse. Signalons que le circuit imprimé ne comporte pas cette erreur et que le montage fonctionne correctement. 2° Afin de commander des télérupteurs, il suffit de connecter leurs bornes d'alimentation aux contacts des relais de sortie du circuit.

M. C. CHAUVIN

Ayant réalisé le montage (schéma joint), il m'est impossible de faire déclencher le relais à une température de 0°C ; celui-ci est excité à + 5°C... Que puis-je faire pour

avoir une plage de, par exemple, - 20°C à + 20°C ?

Afin de mesurer des températures négatives à l'aide du capteur LM35, il convient d'utiliser la référence LM35C (- 40°C à + 110°C) et d'utiliser une tension d'alimentation symétrique de + 12V et - 12V par rapport à la masse. La sortie du LM35C sera reliée à la tension négative par une résistance dont la valeur sera à calculer à l'aide de la formule suivante : $R = -VS/50 \mu A$. La tension de sortie du capteur est de 10 mV par °C.

M. BERNARD LENFANT

Dans Electronique Pratique de juillet-août 1995, il est proposé un récepteur canal 19 à la page 81...
1° valeurs de L et C
2° valeur du quartz Q₁
3° sens du filtre F₂.

1° La bobine L devra comporter une dizaine de spires de fil émaillé de 5/10^e de mm, sur un diamètre de 6 mm, et le condensateur C aura une capacité de quelques dizaines de picofarads (procéder par essais). La formule qui permet de connaître la fréquence d'un réseau LC est : $1/2 \pi \sqrt{LC}$, avec L en henrys et C en farads.

2° La fréquence d'émission du canal 19 est de 27,185 MHz ; pour connaître la valeur du quartz dans la bande 36 MHz à 38 MHz, il suffit d'ajouter 27 185 kHz et 10 245 kHz auquel on soustrait 455 kHz (qui est la seconde fréquence intermédiaire) ; on trouve 36 975 kHz.

3° Le double filtre céramique 455 kHz a un sens (l'encoche qui est sur le dessus du boîtier). Sur le circuit imprimé, il manque effectivement la masse du filtre F₁ dont la pastille centrale n'est pas reliée. Il suffira, à l'aide d'un petit morceau de fil, d'effectuer cette liaison.

M. HUBERT TOURRETTE

J'ai lu avec grand intérêt le montage « Transmission de données série en HF » que vous avez publié dans Electronique Radio-Plans de décembre 1996. Avec-vous publié depuis une transmission bidirectionnelle avec codage ? Pour une transmission bidirectionnelle, le montage de

décembre 1995 doublé d'un émetteur et d'un récepteur supplémentaires fonctionnerait-il ?

Notre mensuel Electronique Radio-Plans ayant cessé de paraître en décembre 1995, nous n'avons pas publié de suite à l'article que vous mentionnez.

Il ne suffit pas d'ajouter un émetteur et un récepteur supplémentaire afin d'assurer une liaison bidirectionnelle. En effet, comme vous le constaterez dans le numéro double de juillet-août 1996, la liaison bidirectionnelle que nous proposons utilise en plus les lignes de protocole de l'interface RS 232 afin de synchroniser les envois et les réceptions de données.

On ne peut coder la transmission à l'aide de codeurs de type MM53200. L'un des codages utilisables est le codage biphasé qui consiste à remplacer les bits 0 et 1 par des flancs ascendants ou descendants. L'article à paraître décrivant cet ensemble de transmission n'utilise pas de codage des informations.

M. TERNEUS

Pourriez-vous me donner les caractéristiques du composant actif référence NEC - D882 Q ou l'équivalence que je pourrais trouver dans le commerce ?

Le composant référencé NEC - D882 Q est un transistor de type NPN au silicium. C'est en fait la contraction de la référence 2SD882. Ses caractéristiques sont les suivantes :

- boîtier TO126
- V_{CB} max = 40 V
- V_{CE} max = 60 V
- V_{EB} max = 5 V
- I_C max : 3 A
- T_j max = 150 °C
- P max = 10 W
- f_t = 45 MHz (fréquence)
- h_{FE} = 160
- I_C pour h_{FE} = 1 A

Il n'existe pas d'équivalent très proche. Le BD777 est pratiquement le seul transistor européen qui pourrait le remplacer, mis à part la fréquence de fonctionnement qui est au maximum de 20 MHz. Nous vous conseillons plutôt de vous approvisionner auprès de l'un des annonceurs de notre revue qui vendent des composants japonais.

Pièces détachées TV - vidéo Composants électroniques Antennes

KN electronic s'agrandit

Ouvert tout l'été de 9 h 30 à 12 h et de 14 h à 18 h

100, bd Lefèbre

75015 PARIS

Tél. : (1) 48 28 06 81

Fax : (1) 45 31 37 48

Métro : Porte de Vanves

Tous nos prix sont donnés à titre indicatif pouvant varier selon le cours de nos approvisionnements.

Vente aux professionnels - particuliers - gros - détail - détaxe à l'exportation

Votre distributeur spécialisé - Station technique agréée Thomson - Telefunken - Saba - Brandt.
Nombreuses THT - têtes vidéo - pièces mécaniques et kits de maintenance TV et vidéo en stock



THOMSON

OCEANIC

MITSUBISHI

GRUNDIG

TELEFUNKEN

SHARP

AKAI

SONY

ORION

Brandt

PHILIPS

Liste sur demande contre 20 F + 200 modèles en stock

Composants japonais

STK

STK0029	91,00	STK4392	85,00
STK0039	79,00	STK441	110,00
STK0040	166,00	STK443	175,00
STK0049	105,00	STK459	115,00
STK0050	125,00	STK461	120,00
STK0050H	148,00	STK463	155,00
STK0055	135,00	STK465	185,00
STK0059	129,00	STK4833	139,00
STK0060	145,00	STK4843	149,00
STK0080	169,00	STK4853	199,00
STK011	85,00	STK4863	185,00
STK016	150,00	STK4873	182,00
STK022	95,00	STK4893	176,00
STK040 = STK043		STK4913	192,00
STK043	188,00	STK5315	89,00
STK050	380,00	STK5325	90,00
STK077	185,00	STK5326	125,00
STK078	150,00	STK5331	42,00
STK080	165,00	STK5332	55,00
STK082	135,00	STK5333	210,00
STK082G	190,00	STK5335	40,00
STK086	185,00	STK5338	120,00
STK1050	135,00	STK5339	145,00
STK1060	120,00	STK5340	55,00
STK2025	145,00	STK5342	45,00
STK2028	125,00	STK5372	99,00
STK2029	120,00	STK5372H	108,00
STK2038	168,00	STK5382	70,00
STK2038H	149,00	STK5422	70,00
STK2125	110,00	STK5432	55,00
STK2129	145,00	STK5434	105,00
STK2145 = STK2155		STK5436	92,00
STK2148	145,00	STK5451	54,00
STK2155	185,00	STK5461	70,00
STK2230	100,00	STK5468	125,00
STK2240	135,00	STK5471	55,00
STK2250	165,00	STK5473	50,00
STK3041	70,00	STK5474	99,00
STK3042	95,00	STK5475	88,00
STK3044	90,00	STK5481	99,00
STK3062	89,00	STK5482	75,00
STK3062H	120,00	STK5490	70,00
STK3082	145,00	STK5720	129,00
STK3082H	105,00	STK5725	135,00
STK4024	125,00	STK5730	90,00
STK4026	85,00	STK6431	105,00
STK4036	155,00	STK6922	138,00
STK4038H	145,00	STK6962	85,00
STK4042H	145,00	STK7226	110,00
STK4048H	145,00	STK7253	95,00
STK4050H	210,00	STK7308	55,00
STK4111	108,00	STK7309	77,00
STK4121H	115,00	STK7310	70,00
STK4121V	149,00	STK7348	68,00
STK4122H	125,00	STK7358	85,00
STK4131H	135,00	STK73605	90,00
STK4132H	120,00	STK7406	145,00
STK4141H	145,00	STK7408	205,00
STK4141V	155,00	STK770	125,00
STK4142H	105,00	STK772	250,00
STK415	210,00	STK8050	149,00
STK4151H	152,00	STK8250	140,00
STK4152H	115,00		
STK4161H	185,00		
STK4161V	149,00		
STK4162	130,00		
STK4171H	145,00		
STK4171H	163,00		
STK4172H	138,00		
STK4181H	145,00		
STK4191H	190,00		
STK4191V	149,00		
STK4192H	142,00		
STK4221H	192,00		
STK4231H	175,00		
STK4231V	199,00		
STK4241V	198,00		
STK4273	115,00		
STK430	115,00		
STK4301	110,00		
STK4311	98,00		
STK433	95,00		
STK435	95,00		
STK436	88,00		
STK437	70,00		
STK4372	70,00		
STK439	129,00		

STR

STR10006	79,00
STR11006	99,00
STR40090	65,00
STR4090	169,00
STR41090	79,00
STR450	110,00
STR50103	85,00
STR50115	69,00
STR53041	89,00
STR54041	79,00
STR5412	65,00
STR58041	70,00
STR59041 = STR58041	
STR60001	69,00
STR6108	109,00
STR80145	89,00
STRD1706	119,00
STRD1806	85,00
STRD1816	88,00
STRD5441	110,00
STRD5541	185,00
STRD6601	99,00

Extraits de nos disponibilités

Expéditions : minimum 50 F - Port : 1 kg : 30 F - 3 kg : 45 F - 7 kg : 62 F. Mandat ou chèque à la commande.

Kits de maintenance pour
magnétoscopes toutes marques,
têtes de lecture, embrayage, etc !



Tous les
accessoires
NOKIA
CONNECTING PEOPLE
pour téléphones
portables GSM



Kit véhicule mains libres complet - Kit d'installation rapide - kit combiné - console de bureau mains libres - console chargeur de bureau - batteries - étuis de protection - clip ceinture amovible, etc.

Accus pour
caméscopes
toutes marques
à partir de 190 F
nous consulter

TELECOMMANDES (TV d'origine et de remplacement)

THOMSON origine 290 F
PHILIPS origine 330 F
GRUNDIG remplacement 290 F
OCEANIC remplacement 290 F
SONY remplacement 290 F
pour toute commande précisez le modèle de l'appareil



VISA
MELICONI
télécommande universelle 299 F
5 fonctions 299 F
télécommande universelle avec
afficheur cristaux liquides 399 F
télécommande universelle
simplifiée 149 F
coque universelle 69 F
coque sur mesure 89 F



BLOCS OPTIQUE LASER

pour lecteur CD
KSS150A = KSS210A 250 F
KSS250B = KSS210B 250 F
KSS240A 380 F
Autres modèles en stock ou sur commande, nous consulter.



Toute la gamme des casques PHILIPS sans fil

SBC 3930
casque stéréo sans fil -
régl. vol. portée 7 m
490 F

SBC 3925
casque mono sans fil -
régl. vol. portée 7 m
299 F

SBC 3935
casque stéréo sans fil -
régl. vol. sur chaque
oreille - portée 7 m
390 F

SBC 3945
casque stéréo sans fil -
régl. vol. - contrôle auto
de la transmission - mute
- portée 8 m
690 F

SBC HC710
casque stéréo
sans fil FM pour TV
- régl. vol. - portée
100 m - mute -
autonomie 15 h
990 F

Gamme de casques
filaire également
disponible : N.C.



SBC 3955
casque stéréo
sans fil rechargeable double
bandeau - mute -
portée 8 m
790 F



MX 1000 Console de montage vidéo et mixage sonore

Cette console permet d'effectuer de véritables montages à partir d'enregistrements sur bandes vidéo, d'ajouter des fonds musicaux sonores ou des commentaires sur des montages vidéo. Vous pourrez réaliser des fonds image et son croissants ou décroissants. Correction des niveaux vidéo et son. Livrée complète avec : microphone, connectique, alimentation. (dans la limite des stocks disponibles)



410 F TTC

CATALOGUE GENERAL KN
composants - outillages - pièces TV -
magnétoscopes - accessoires -
mesure, etc. **200 pages**
Remboursé pour 1000 F de commande
sur demande **45 F** franco

Liste des circuits intégrés
et transistors japonais
et européens d'origine ou
équivalents
sur demande **20 F** franco

VSM-101

Régie de montage audio-vidéo
Cette régie permet de réaliser des copies vidéo, par exemple d'un magnétoscope vers un magnétoscope avec compensation des pertes par amplificateur intégré, en réalisant un mixage audio du son d'origine, avec une musique de fond (CD ou AUX) et des commentaires (microphone mono). La régie VSM-101 peut être utilisée en table de mixage audio. Livrée complète avec : casque, microphone, connectique, alimentation.

355 F TTC
(dans la limite des stocks disponibles)

Veuillez me faire parvenir :
votre catalogue général ☐ 45 F franco
ou votre tarif CI + transistors ☐ 20 F franco
(chèque à l'ordre de KN Electronique)

Nom : _____
Adresse : _____
Ville : _____

Réparations et SAV toutes marques
TV et magnétoscopes.
Nous consulter.

metrix

ose la différence

avec des **MULTIMÈTRES**
50000 points, TRMS



MX 55

Affichage 50000 points
Bargraphe 34 segments
TRMS
Précision: 0,025%
Bande passante :100 kHz
VDC, VAC, IDC, IAC, Ω ,
continuité et test
de diode, capacimètre,
fréquence mètre dB

Prix promo 1990 FTTC

avec des **MULTIMÈTRES**
2000 points



X2010

2000 points
Mesure relative
automatique
Deux bornes
d'entrée VAC, VDC, Ω ,
Mémoire
Protection 600Veff

Prix promo 550 FTTC



X1000

Affichage 2000 points
Auto-ranging automatique
VAC, VDC, IAC, IDC, Ω
Test de continuité sonore
Test de diode

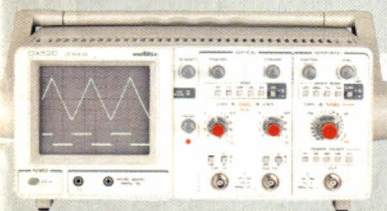
Prix promo 360 FTTC

X2093

Affichage 2000 points
Auto-ranging automatique
VAC, VDC, IAC, IDC, Ω
Test de continuité sonore
Test de diode
Fréquence mètre - Capacimètre
Test transistor HFE

Prix promo 799 FTTC

avec des **OSCILLOSCOPES**
analogiques



OX520S

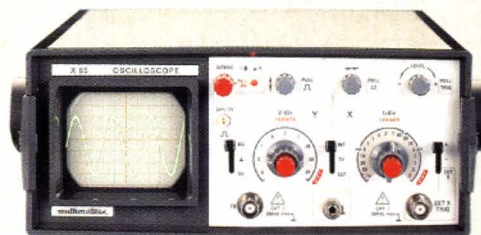
Oscilloscope analogique double trace
Bande passante: 20MHz.
Sensibilité: 5 mV à 5 V / div. (expansion verticale x5)
Vitesse de balayage : 0,2 ms / div. à 0,2 s / div. (expansion x10)
Modes de fonctionnement : CH1, CH2, CHOP, ALT ADD, XY.
Modes de déclenchement : TRIG, AUTO, TV.
Tension max. d'entrée : 400 Vcc
Conforme à la norme CEI 1010, Cat. II.

Prix de lancement 3490 FTTC
(livré avec sondes)

X65

Oscilloscope analogique
Bande passante: 10MHz
Amplificateur vertical 1 voie
Sensibilité: 10mV à 5V/div. (séq. 1-2-5)
Couplage AC, DC, masse
Modes Y, XY
Impédance d'entrée: 1M Ω
Conforme à la norme CEI 1010-1

Prix promo 1690 FTTC



metrix

METRIX S.A.
Chemin de la Croix Rouge BP 2030 - 74010 Annecy Cedex
Tél. 50 33 62 62 / Fax. 50 33 62 00

Partenaires Distributeurs :
ACER Composants - 42, rue de Chabrol - 75010 Paris
Tél. 47 70 28 31 - Fax 42 46 86 29

LCR Electronics - 88, quai Pierre Seize - 69005 Lyon
Tél. 78 39 69 69 - Fax 78 30 54 83

Prix promotionnels valables jusqu'au 31 août 1996 et dans la limite des stocks disponibles.